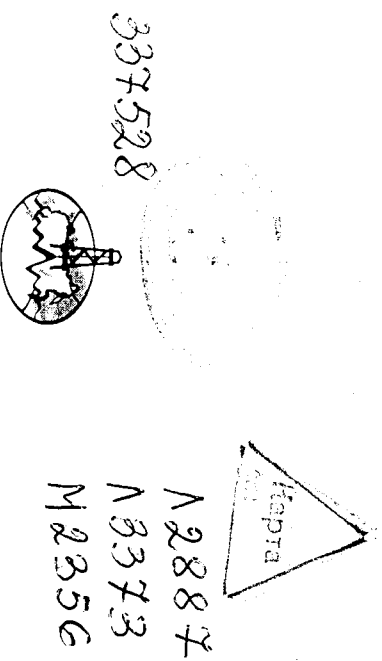


Р-52, 53
Министерство природных ресурсов Российской Федерации
Всероссийский научно-исследовательский геологический
институт имени А. П. Карпинского (ВСЕГЕИ)
Государственное научно-производственное предприятие
«Аэрогеология»

ГОСУДАРСТВЕННАЯ ГЕОЛОГИЧЕСКАЯ КАРТА РОССИЙСКОЙ ФЕДЕРАЦИИ

Масштаб 1 : 1 000 000 (новая серия)
Лист Р-52, 53 — Якутск

Объяснительная записка



Государственная геологическая карта. Масштаб 1 : 1 000 000 (июли серия). Объяснительная записка. Лист Р-52, 53 — Якутск. СПб., 1999. 186 с. + 8 вкл. (МПР России, ВСЕГЕИ, «Аэрогеология»).

Обобщен большой фактический материал по стратиграфии, интрузивным образованиям, тектонике, геоморфологии, гидрогеологии, полезным ископаемым рассматриваемой территории. Используются данные геофизических съемок, дешифрирования космических снимков и основные результаты геологических исследований до 1992 г.

Книга рассчитана на широкий круг специалистов, занимающихся речено-нальной геологией.

Табл. 16, ил. 12, список лит. 141 назв.

Материалы по листу Р-52, 53 — Якутск рассмотрены и рекомендованы к печати Главной редакцией Геологкарты.

Редакционная группа Главной редакции:

Г. Н. Шапошников (председатель), *С. В. Егоров*,
К. В. Ильин, *В. В. Соловьев*, *С. И. Стрельников*

Ответственный редактор *Л. М. Наманов*

© Министерство природных ресурсов Российской Федерации, 1999

© Всероссийский научно-исследовательский геологический институт им. А. П. Карпинского (ВСЕГЕИ), 1999

© Государственное научно-производственное предприятие «Аэрогеология», 1999

ВВЕДЕНИЕ

Территория листа Р-52, 53 — Якутск охватывает центральную часть Республики Саха (Якутия) и занимает площадь 287 тыс. км². В ее состав полностью или частично входят административные районы: Алданский, Алексеевский, Амгинский, Горный, Кобяйский, Мегино-Кангаласский, Намский, Олекминский, Ордониккидзевский, Томпонский, Усть-Алданский, Усть-Майский, Чурапчинский. Большую часть площади занимают выровненные просторанства Центрально-Якутской низменности (абсолютные высоты 160—360 м) и Лено-Алданского (Приленского) плато (360—685 м). Долины крупных рек Лена и Алдан четко врезают склоны их террасированы. Северо-восточная и восточная окраины плато входят в пределы Верхоянской горной системы. Наиболее четко выражены меридионально вытянутый хр. Сетте-Дабан и его западные отроги — хребты Улахан-Бам (абсолютные высоты до 1300—1700 м), Кылахский (700—1300 м), южные отроги широтной ветви Верхоянского хребта (абсолютные отметки до 1839 м) и входящий в него Сордогонский хребст. Рельеф здесь интенсивно расчленен, и превышения над днищами долин достигают 500—800 м. В предгорной части весьма широко проявлены следы деятельности ледников.

Вся территория принадлежит к бассейну Лены, которая пересекает весь район на протяжении 530 км. Этот отрезок реки относится к ее среднему течению. Река Лена сначала протекает по дну узкой долины со скалистыми берегами; ниже г. Якутск долина реки расширяется, ее русло разбивается на многочисленные рукава и вместе с протоками и островами достигает ширины 10—28 км. Глубина фарватера реки в межень 6—10 м, скорость течения 0,8—1,3 м/с. В период весеннего ледохода образуются мощные заторы льда, вызывающие большие подъемы уровня воды (на 8—12 м). Замерзает Лена обычно во второй половине октября, вскрывается в середине мая. Крупнейший правый приток Лены — р. Алдан, бассейн которой (реки Амга, Томто, Бегая, Алдах-Юнь и др.) охватывает большую половину территории. Режим рек неустойчивый с большими паводками. В северо-западной части района в долине Лены множество понижений озер, а на Лено-Амгинском междуречье широко распространены термокарстовые озера.

Климат территории суровый, резко континентальный, с продолжительной холодной зимой и коротким жарким летом и очень короткими весенним и осенним периодами. Устойчивые отрицательные температуры устанавливаются во второй половине октября. Продолжительность зимнего периода семь месяцев. Самым холодным является январь: средняя температура минус 38—43 °С, а минимальная — минус 61 °С. Лето длится три месяца. Самый теплый месяц — июль, со средней температурой в г. Якутск 18,8 °С, нередко температура поднимается выше 30 °С. Особенностью климата Центральной Якутии является его сухость. Максимальное количество осадков (не менее 60—70 %) приходится на три

летних месяцев. Скудный снежный покров слабо предохраняет грунты от сильного промерзания и благоприятствует сохранению и развитию вечной мерзлоты.

Основным типом растительности является лиственничная тайга, в которой преобладает даурская лиственница. Вдоль русел рек и ручьев встречаются ель, береза, тополь. На песчаных террасах и массивах слаборазвиваемых песков располагаются сосново-лиственничные леса и основные боры. Среди обширных лесных массивов, особенно вокруг многочисленных озер, формируются луговые (аласы) с господством полустепных растительных формаций (злаки, разнотравье). В условиях Якутии аласы являются ценными сенокосными угодьями. Для торно-таежного ландшафта характерно повсеместное распространение кедрового стланика. Значительная часть площади заболочена.

Население малочисленно и сосредоточено главным образом в населенных пунктах вблизи рек Лена и Алдан, а также вдоль дорог. Основное население в сельских районах — якуты; значительная часть жителей городов и рабочих поселков — русские, много также представителей других национальностей.

Основной транспортной магистралью является р. Лена, по которой завозятся грузы как с юга, от железной дороги (станция Лена), так и со стороны Северного морского пути (пос. Тикси). Амуро-Якутская автомагистраль используется круглогодично и соединяет г. Якутск с Байкало-Амурской железной дорогой (станция Бержакит). Поселок Хандыга (на правом берегу р. Алдан) связан круглогодичной автодорогой с г. Магадан (протяженность 1472 км), а пос. Эльдикан — с Солнечным и Ытыкчанским.

Наиболее экономически освоеными являются Приленская и алданская зоны. Здесь находится г. Якутск — столица Республики Саха (Якутия), а также ряд крупных поселков: Сангар, Покровка, Хандыга, Усть-Мая, Эльдикан, Ытыкчанский и др.

Якутск — крупный узел автодорог и авиалиний. Здесь сосредоточены основные административные, культурные и научные учреждения республики. Часть территории освоена торнодобывающей промышленностью. Здесь находится угольный карьер (пос. Кангалассы) и шахты в пос. Сангар, целый ряд карьеров по добыче строительных материалов (цементное, керамзитовое, кирпичное сырье, щебень, гравий и т. п.). В нижнем течении р. Вилюй освоен ряд месторождений природного газа, связанных газопроводом с Якутском и ближайшими поселками. Основу экономики Томпонского и Усть-Майского районов составляет добыча золота на базе месторождений Аллах-Юньской золотоносной провинции и каменных углей (пос. Жебарикки-Хая).

В истории геологических исследований региона намечаются пять этапов. Первый охватывает период с XVII в. до 40-х годов XIX столетия. Исследования носили реконструктивный характер и представляют сейчас лишь исторический интерес. Сведения геологического содержания приводят С. П. Крашенинников (1751—1752 гг.), Т. А. Сарычев (1802 г.), В. Н. Зверев (1812—1813 гг.), М. Злобин (1831 г.) и др.

Второй этап, продолжавшийся с 40-х годов XIX в. до октября 1917 г., характеризуется увеличением геологических исследований и первыми обобщениями по геологии, геоморфологии и полезным ископаемым. Наиболее значительны работы А. Ф. Миддендорфа (1848, 1861 гг.), Н. Г. Меглицкого (1850—1893 гг.), А. Л. Чекановского (1891 г.), Н. Д. Черского (1892 г.), А. Г. Ржонсницкого и др.

Третий этап (1917—1949 гг.) является началом проведения планомерного изучения геологического строения Якутии и ее производственных

сил. Наиболее значительны труды С. В. Обручева (1926 г.), А. Г. Ржонсницкого (1918—1928 гг.), А. А. Григорьева (1927 г.), И. П. Агасова (1931 г.), О. В. Флоровой (1930—1936 гг.) и др., в которых намечены основные черты стратиграфии и полезных ископаемых Центральной Якутии. В этот же период А. Д. Архангельским (1929 г.) и М. С. Шатским (1932—1936 гг.) высказывается мнение о перспективности территории на нефть и газ (бассейны Лены и Вилюя). В долине р. Амга намечены три участка для постановки разведочного бурения на нефть. Проводятся геологические работы, ориентированные на поиски каменного угля; открыты угольные месторождения Сангарское (В. Ф. Кузьмин) и Жебарикки-Хая (В. Н. Зверев); подсчитаны запасы на угольном месторождении Кангалассы (И. Л. Янилович). В устьевой части р. Вилюй обнаружены выходы горючих газов (Н. Д. Цитенко). В 1942 г. В. Ф. Донцовым была произведена разведка бурых железняков в низовьях р. Ботома, установлены размеры их пластовых залежей и определены прогнозные запасы, а на некоторых участках подсчитаны запасы железа по категории А, В, С.

Четвертый этап (1950—1960 гг.) является периодом площадного мелкомасштабного (1 : 1 000 000 и 1 : 500 000) геологического картирования, проведенного на всей территории ПГО «Якутскгеология», «Аэрогеология» и ВСЕГЕИ (Е. Э. Разумовская, 1950 г.; В. В. Колпакова, 1952 г.; В. В. Панова и др.). Наряду с мелкомасштабным геокартинанием на площадях, перспективных на нефть и каменный уголь, проводятся среднemasштабные геологосъемочные и структурно-геологические работы (В. А. Андрианов, 1951 г.; А. Е. Киселев, 1951 г.; Г. В. Бархатов, 1951 г.; Г. С. Фрадкин и А. Г. Косовская и др.). Тематические исследования, посвященные вопросам стратиграфии, тектоники, полезных ископаемых, проводили М. Н. Алексеев, Н. А. Игнатченко, И. И. Тучков, А. И. Олли, М. М. Маландин и др. Этап завершается составлением Государственных геологических карт масштаба 1 : 1 000 000 листов Р-52 (Р. А. Виджиев и др., [59]) и Р-53 (Г. С. Кирюсенько, [60]). Эти карты использовались в практической работе на протяжении более 20 лет.

Пятый этап (с 1960 г. до настоящего времени) является этапом проведения средне- и крупномасштабных (1 : 200 000 и 1 : 50 000) геологосъемочных и тематических работ. В 1961 г. на Межведомственном стратегическом совещании была принята Унифицированная схема деления палеозойских и мезозойских отложений Верхояныя и Сибирской платформы, однако в дальнейшем она неоднократно дополнялась и уточнялась. На подавляющей части территории среднемасштабное геологическое картирование выполнено ускоренным методом (аэрофотогеологическое картирование). Геологическая съемка масштаба 1 : 50 000 покрывает большую часть Южного Верхояныя (Аллах-Юньская геологоразведочная экспедиция). Геологическая съемка среднего масштаба проводилась геологами ПГО «Аэрогеология» и «Якутскгеология»: В. А. Белях, Н. В. Багановым, В. И. Болоневым, В. С. Гриненко, А. И. Горбуновым, И. Г. Додиным, Ю. А. Зубковым, В. А. Ивановым, В. А. Камалетдиновым, М. И. Кочетовым, В. Ф. Механовым, Е. Д. Молдаглевским, Д. М. Нагатовым, В. С. Прокотьевым, Н. Н. Пушкарем, А. Е. Соболевым, А. И. Стариковым, И. М. Собошкиновым, В. И. Суходурковым, В. А. Ян-жин-шиновым и др. В последние годы проведено космофотогеологическое картирование масштаба 1 : 500 000 всей территории (В. В. Агентов, Д. К. Валдавин, С. А. Чернов). Для решения производственных задач поставлено большое количество тематических работ. Изучение золоторудных и полиметаллических месторождений проводилось И. Г. Волжодавом, В. В. Еловских, А. И. Стариковым, А. К. Иогансоном, Э. И. Кутыревым и др. Произведен структурно-формационный анализ размещения месторождений и

проявлений погребных ископаемых с выделением продуктивных формаций. Вопросы стратиграфии занимались Б. С. Абрамов, Ю. В. Архипов, М. Г. Афанасьев, А. В. Коробинин, В. А. Камалетдинов и др. Изучение тектонического строения региона осуществлялось А. П. Кропачевым, К. К. Левашовым, Л. М. Нагаповым и др.

Геофизическая изученность характеризуется наличием гравиметрических и аэромагнитных съемок, комплексом сейсмических работ и электродазведки. Имеются издания мелкого- и среднемасштабные аэромагнитные карты, составленные Т. С. Кутузовой. Гравиметрические исследования обобщены М. Е. Дяховой при составлении Гравиметрической карты Якутской АССР в масштабе 1 : 1 500 000. На основе многочисленных сейсмозаведочных и электроразведочных работ построены структурные карты по отражающим горизонтам. Большой информативный материал, полученный в результате глубокого бурения, позволяет охарактеризовать глубинное строение региона.

При составлении карты дочетвертичных образований и карты четвертичных отложений, а также объяснительной записки к ним использован весь комплекс перечисленных материалов.

Территория листа содержит разнообразные полезные ископаемые, широко используемые местной промышленностью. В первую очередь это уголь и строительные материалы. Площадь перспективна на обнаружение промышленных скоплений нефти и газа, железа, золота, подметаллов и редкоземельных элементов. Последние три вида полезных ископаемых развиты преимущественно в восточной части региона, к югу от главной транспортно-артерии — автомобильной трассы Хандыга—Матадан.

Площадь листа описана с различной степенью детальности: горные части территории достаточно интенсивно покрыты съемкой масштаба 1 : 50 000, сопровождающейся общими поисками, а равнинная часть, составляющая три четверти листа, перспективная в первую очередь на торфяные полезные ископаемые, изучена относительно слабо. Это касается как объемов поискового бурения, так и сейсмозаведочных работ.

Границы листа Р-52, 53 увязаны по западной рамке почти полностью, восточная рамка открыта. По южной рамке имеется несбой, связанный с тем, что на каждом листе (О-(53), 54 — Охотск) стратиграфические подразделения верхнего протерозоя не привязываются к стратиграфическому шкале рифея, а верхи протерозоя не называются вендом. Геологические контуры подразделений увязаны. Несбойки границы карбона, перми и юры объясняются тем, что при составлении геологической карты листа Р-52, 53 использованы материалы геологических съемок масштаба 1 : 50 000, позволяющие расчленивать эти толщи более подробно и уточнить положение отдельных границ. По северной рамке несбойки касаются отрезка границы между 127 и 132° в. д. и связаны с тем, что к моменту издания Гео-логической карты листа О-52, 53 — Верхоянск не была проведена съемка масштаба 1 : 200 000 на листе О-52-XXXXVI. Данные АФГК масштаба 1 : 200 000 [109] и полевых наблюдений авторов настоящей записки позволили более детально откартировать этот участок. Частичная несводка контуров по рамкам связана с несопадением топослов.

СТРАТИГРАФИЯ

Комплексе отложений, распространяющихся на территории, охватывает все группы и системы геологической шкалы от архея и протерозоя до кайнозоя включительно. В западной и центральной частях территории, являющихся краем Сибирской платформы, развиты интрузивные комплексы, в составе которых преобладают ассоциации континентальных и мелководно-морских терригенных, карбонатных и эвапоритовых формаций, характеризующихся широким площадным распространением. На востоке и северо-востоке площади, в пределах Верхояно-Колымской складчатой системы, распространены преимущественно морские карбонатные, терригенные и вулканогенно-осадочные комплексы пород, сформировавшиеся в обстановках пассивных континентальных окраин, рифтов и в зонах коллизии. Они характеризуются линейностью выходов на поверхность и значительными изменениями мощностей.

В силу относительной доступности территории и хорошей обнаженности пород в долинах рек Лена, Алдан, Амга, в бассейне Вост. Хандыги, в пределах хребтов Кылахацкого и Сетте-Дабан и др. описан целый ряд опорных стратиграфических разрезов, положенных в основу современных региональных и местных стратиграфических схем. Существенный фактический материал по стратиграфии получен и в результате бурения глубоких скважин в разных частях района.

АРХЕЙ

Архейские образования (АР), относящиеся к кристаллическому фундаменту платформы, вскрыты рядом скважин. Представлены они породами, регионально метаморфизованными в гранулитовой, амфиболитовой и зеленоцветной фациях. В скважинах глубина залегания архея установлена в интервалах: Урдахская — 1972—2040 м, Якутская — 502—562 м, Синская — 502,5—516 м, Ивановская — 3508—3625 м, Хочомская — 2029—2072 м, Амгинская — 1023—1109 м [77, 78, 83, 97 и др.]. Судя по характеру физических полей и данным бурения, в фундаменте намечается существование близмеридионально ориентированных блоков, раздельных зонами интенсивной деструкции пород, обычно выделяемых в качестве зон глубинных разломов или шовных зон, а в некоторых случаях как зон шовных прогибов [10]. С запада на восток сменяют друг друга блоки преимущественно гранито-гнейсового, гранулит(эндербит)-гнейсового и сероцветно-зеленокаменного состава [18].

Наиболее распространенными породами архейского метаморфического комплекса являются пироксен-амфибол-плагноклазовые кристаллические сланцы, биотит-гранатовые, биотит-гиперстеновые и биотит-амфиболовые

Схема стратиграфии рифейских отложений

Эратема	Отдел	Возраст, млн лет	Серия	Междуречье Белой, Аглах-Юни, Юдомы		
				Западный тип разреза. Бассейн нижнего течения р. Беда (Эзбейк-Хатинская и Кыдлахская антиклиналь)	Восточный тип разреза. Бассейн среднего течения р. Беда (Орностахская антиклиналь)	
Рифей	Верхний	950	Уйская		Давыдинская (устьжирбинская) свита Даронская свита Малосахаринская свита	
					Кандыкская свита	Гресская свита
						Саларская свита
						Эльдяканская свита
					Давыдинская свита	Вильская свита
						Ципандинская свита
						Малгинская свита
						Мускельская свита
					Керпильская свита	Бикская свита
						Светлинская свита
Тальнская свита						
Алмчанская свита						
Средний	1400			Белореченская свита		
				Динская свита		
				Трехгорная свита		
				Кыдлахская свита		
				Пионерская свита		
Рифей	Нижний	1100		Кыдлахская свита (600—800 м)		

плаггионейсы, биотитовые плаггиораниты и гранито-пнейсы. Реже встречаются мигматиты, кварциты и амфиболиты. Породы часто милонитизированы. По вещественному составу метаморфический комплекс западных районов территории отвечает скорее всего иенгрской и типитно-джелтулинской, а восточных районов — становой и батомской сериям [15]. В кровле кристаллического фундамента развита кора выветривания мощностью до 2 м, задокументированная в Якутской (интервал 560—562 м) и в Амгинской (интервал 1021—1022,6 м) скважинах.

По расчленяваемой территории нет данных, позволяющих судить о возрасте метаморфических толщ. Кархено они отнесены по аналогии с кожными территориями, где выходят на поверхность [61, 62].

РИФЕЙ

Отложения рифея обнажены на востоке территории, в бассейне рек Беда, Джюнекан, Аглах-Юнь, Хамна, а также вскрыты Мокуйской скважиной на левобережье р. Алдан. Выделены отложения нижнего, среднего и верхнего рифея. Последние расчленяются на серии, соответствующие ритмостратиграфическим подразделениям [42] — амчанскую, керпильскую, дахадинскую и уйскую (табл. 1), в свою очередь подделенные на свиты.

НИЖНИЙ РИФЕЙ

Нижерифейские отложения (R.) отнесены к двум типам разреза — западному и восточному [46]. Западный тип охватывает низовья р. Беда (Эзбейк-Хатинская и Кыдлахская антиклиналь), а второй — ее среднее течение (Орностахская антиклиналь).

Нижний рифей в западном разрезе включает кыдлахскую, чардалинскую и билегиченскую свиты. Здесь преобладают песчаники кварц-полевощитовые, кварцевые, реже аркозовые и полимиктовые, разнозернистые, ко-сослоистые и пестрокрашенные. На разных уровнях песчаники включают прослой и линзы конгломератов, гравелитов, армилитов и (преимущественно в верхах серии) доломитов.

Кыдлахская свита (600—800 м) представлена красноцветной песчаниковой толщей с прослоями и линзами конгломератов и гравелитов. Перекрытая ею с незначительным размывом чардалинская свита (300 м) сложена красноцветными и зеленовато-серыми (в верхах) песчаниками с прослоями красноцветных алевролитов. К нижней половине свиты приурочены пласты строматолитовых доломитов с *Sondylina differens* K. от. Залегающая выше с заметным размывом билегиченская свита (400 м) в нижней трети образована чередующимися светло-серыми и красноцветными песчаниками, сменяющимися выше доломитами с линзами и прослоями песчаников, строматолитовых песчанистых доломитов и пестрых кремней. В доломитах встречены строматолиты *Sondylina differens* K. от., *Valsaila inerta* Schar. Общая мощность нижнего рифея в западном разрезе 1300—1500 м.

В восточном типе разреза друг друга последовательно сменяют (табл. 1) пионерская, трехгорная, динская и белореченская свиты. Отложения характеризуются существенно тонкообломочным составом, насыщенностью карбонатными породами и значительной мощностью. Нижняя часть (пионерская свита — 800 м) представлена песчаниками, которые выше сменяются часто чередующимися армилитами и доломитистыми известняками. Перекрывающая ее с размывом трехгорная свита (700—850 м) характе-

ризуется ритмичным строением, обусловленным широким развитием трехкомпонентных ритмов. В нижней и особенно в верхней частях свиты заметную роль играют доломиты с микрофитолитами *Osgadia pilla* Zh и т. и строматолитами *Stratiera* sp. Димская свита (950 м) имеет согласные соотношения с трехпорной свитой. Она представлена толщей неравномерно чередования сероцветных доломитов, алевролитов и песчаников. В верхней части свиты широко развиты органогенные известняки и доломиты, в которых обнаружены *Kussella kussiensis* (Masl.), *Osgadia pilla* N. a. g., *Radolox simplex* Z. a. b. Согласно залегающая на ней белогореченская свита (1300 м) сложена пестроцветными алевролитами, песчаниками и доломитами, спруллированными в мелкие ритмичного строения пачки. В направлении к западу мощность свиты уменьшается до 240 м, а в составе преобладают доломиты. Общая мощность нижнего рифея в восточном типе разреза (ядро Горностахской антиклинали) 2690—3900 м.

На левобережье р. Алдан нижнерифейские отложения (без нижней части) вскрыты Мокуйской скважиной в интервале глубин 2193—3090 м. Здесь они представлены толщей краснового-бурых кварц-полевшпатовых песчаников, чередующихся с алевролитами, ардиллитами и доломитами. В последних определены многочисленные раннерифейские микрофитолиты [19].

СРЕДНИЙ РИФЕЙ

Среднерифейские отложения пространственно тесно связаны с нижнерифейскими. Они образуют мощную (до 2500 м) терригенно-карбонатную толщу, нижняя часть которой соответствует аичанской, а верхняя — керпильской сериям.

Аичанская серия (Р_{аш}) включает тальнинскую и светлинскую свиты (табл. 1). Тальнская свита (150—250 м) с горизонтом конгломератов в подошве (0,5 м) и резким угловым несогласием налегает на различные горизонты нижнего рифея. В составе ее преобладают светло-серые кварцевые и кварц-полевшпатовые песчаники. В средней части свиты наблюдается рудноосная пачка (20 м) красноцветных тематипизированных ардиллитов. Радиологический возраст пород из основания свиты на смежной с юга территории — 1200 млн лет (St-Rb) [62].

Согласно залегающая выше светлинская свита (150—450 м) образована ритмично чередующимися пачками (10—30 м) светло-серых и серых строматолитовых доломитов, ардиллитов, алевролитов и песчаников. В доломитах обнаружены типичные среднерифейские представители строматолитов: *Sveitella sveitica* Schar., *Valsalia* cf. *prima* Semikh. Общая мощность аичанской серии на западе 300 м, на востоке — 700 м.

Керпильская серия (Р_{кп}) состоит из бикской, мускельской, малпинской и дипандинской свит. Бикская свита (115—350 м) с размывом, а местами с угловым несогласием перекрывает различные горизонты аичанской серии или нижнего рифея. Она представлена чередующимися пачками серо- и красноцветных песчаников, алевролитов и ардиллитов.

Мускельская свита (190—400 м) согласно лежит на бикской свите и имеет двухчленное строение. Нижняя часть ее сложена тонкослоистыми красноцветными мергелями, известняками и ардиллитами. В верхней части преобладают тонкообломочные породы с прослоями песчаников и доломитов. Прекрасно выдержанная по laterали малпинская свита (250—350 м) в основании (30—50 м) представлена красноцветными породами — мергелями, известняками, тонко переслаивающимися с ардиллитами. В средней части (170—230 м) преобладают светлых тонов тонкослоистые, а в верхней (50—100 м) — темно-серые битуминозные известняки с *Malginella malgica*

Kom. et Semikh. Радиологический возраст глуконита из основания свиты на смежной с юга территории 1000 млн лет [61].

Дипандинская свита (250—440 м) образована светло-серыми доломитами и доломитовыми брекчиями, среди которых встречаются строматолитовые биотеры (20—40 м) среднерифейского возраста [54]. Общая мощность керпильской серии колеблется в пределах 805—1540 м, возрастает к востоку региона.

В разрезе Мокуйской скважины (интервал 1839—2193 м) керпильская серия с размывом залегает на нижнем рифея. В нижней половине разреза распространены преимущественно ардиллиты и алевролиты (в подошве — пласт кварц-полевшпатовых песчаников мощностью 7 м), которые в верхней половине тонко ритмично чередуются с песчаниками и известняками. В последних встречаются типичные для среднего рифея микрофитолиты [19].

ВЕРХНИЙ РИФЕЙ

К верхнему рифею отнесены лахандинская и уйская серии [42].

Лахандинская серия (Р_{лн}) обладает крупноритмичным строением, которое используется для ее расчленения. В составе серии выделены вильская, эльдижанская, саларская и тренская свиты.

Вильская свита согласно перекрывает дипандинскую свиту керпильской серии среднего рифея. В базальной части она сложена пестроцветными алевролитами и ардиллитами, сменяющимися выше серыми доломитами с *Valsalia lasera* Semikh., *Jaschurkutin ramosum* Schar. Мощность свиты возрастает от 20—75 м на западе региона до 250 м в его центральных частях.

Эльдижанская свита (250 м) характеризуется существенно ардиллитовым составом. В верхней части ее заметна роль строматолитовых известняков с *Valsalia prima* Semikh., *V. lasera* Semikh. и др.

Саларская свита (300 м) образована переслаивающимися пачками строматолитовых доломитов, алевролитов и ардиллитов.

Тренская свита (240—300 м) с размывом залегает на разных горизонтах саларской свиты. В составе ее преобладают красноцветные (в нижней половине) и сероцветные известняки и доломиты, содержащие прослои алевролитов и ардиллитов. Из нижней части известны *Conflagosia conflagosa* Semikh.

Общая мощность лахандинской серии 865—1100 м.

На левобережье р. Алдан Мокуйской скважиной в интервале 1370—1839 м вскрыта толща глинистых доломитов, переслаивающихся с ардиллитами, мергелями, алевролитами, известняками и песчаниками (в кровле — пачка темно-серых доломитов мощностью 130 м). Она несогласно перекрывается терригенно-карбонатными породами юдомской серии венда и по литофациальной и палеонтологической характеристикам сопоставляется с лахандинской серией.

Уйская серия (Р_{уз}) объединяет кандыкскую, малосахаринскую, джоронскую и дальдинскую (устыкирбинскую) свиты и в целом представляется собой флишевую толщу с изменяющейся в широких пределах мощностью.

Кандыкская свита согласно или с локальными размывами залегает на лахандинской серии, имеет выдержанный состав на всей территории и представлена толщей переслаивавшихся кварцевых, полевшпат-кварцевых песчаников, алевролитов и ардиллитов. В кровле свиты отмечаются покровы базальтов. В прослоях строматолитовых известняков из нижней части свиты определены *Tinnia* cf. *ratonica* Dolp., *Kretzschka nahoyi*

Кол. Возраст глыбонита из песчаников свиты на смежной с юга территории 720 млн лет [61]. Мощность свиты колеблется в широких пределах, увеличиваясь от 600 м в бассейне р. Белая до 1500 м в бассейне р. Аг-лах-Юнь.

Литофациальным аналогом кандыкской свиты, вблизи южной границы листа, является улаханбагская свита [46].

Малосахарнская свита (200—750 м) с разным сменяет кандыкскую. Она представлена темно-зелеными граувакковыми песчаниками, ритмично чередующимися с алевролитами и аргиллитами, и редкими породами базальтов. В хр. Улахан-Бам нижняя часть свиты, насыщенная породами базальтов, В. И. Сухоруковым [133] выделена как рябинкинская свита.

Джоронская свита (200—600 м) распространена локально в связи с преобладающим разрывом и образована ритмично чередующимися темно-зелеными и светло-серыми песчаниками, алевролитами и аргиллитами. Максимальную мощность (600 м) она имеет в бассейне р. Аглах-Юнь. Далиндынская (устькирбинская) свита (160—600 м) сложена зелено- и темно-серыми песчаниками, алевролитами и аргиллитами, спрумпированными в мелкие (0,03—0,15 м) ритмы. Преобладают тонкообломочные разновидности.

Общая мощность уйской серии колеблется от 1200 м (бас. р. Белая) до 3450 м (бас. р. Аглах-Юнь).

ВЕНД

Вендские отложения выделены в объеме юдомской серии [52]. Они широко распространены в пределах Сетте-Дабана и юго-востока Сибирской платформы, где трансгрессивно залегают на рифейских отложениях. Выделяются два типа разреза — юдомский и суурдахский, сменяющие друг друга с запада на восток, а юдомская серия рассматривается в составе двух свит [45], разделенных поверхностью размыва. На карте она по условиям масштаба показана неразчлененной.

Юдомская серия (Urd) со стратиграфическим несогласием перекрывает толщи верхнего рифея. В нижней части (юкандинская свита) она сложена известняками и доломитами, включающими прослой пестроцветных алевролитов и мергелей с линзами (0,3 м) кремней. В восточной части региона (бас. р. Белая) свита четко делится на четыре литологически различные пакки, которые иногда рассматриваются в ранге свит: начарской, яланской, малюкской и токурской. Начарская и малюкская имеют существенно терригенный состав, яланская и токурская — преимущественно карбонатный. Мощность юкандинской свиты 210—270 м. К востоку она увеличивается до 600 м. Возраст ее обоснован многочисленными находками микрофитолигов *Vesiculites sociegus* Z. Zhur., *V. lobatus* Reill. и др.

Верхняя часть серии (сарданнинская свита) трансгрессивно перекрывает нижнюю, а местами и породы среднего рифея. Она характеризуется разнообразием типов слогающих ее пород. Нижняя половина свиты с горизонтом кварцевых песчаников, гравелитов и конгломератов в подолше состоит из переслаивающихся в различных соотношениях пестроцветных аргиллитов, песчаников и кремнистых пород. В верхней половине ее доминируют известняки и доломиты. В междуречье Юдомы и Аглах-Юни свита содержит прослой туфов трахитов. Заметное изменение фациальных особенностей свиты установлено в междуречье Белой и Юдомы, где с запада на восток карбонатные породы верхней части свиты постепенно замещаются пестроцветными аргиллитами и алевролитами, одновременно

прогрессивно насыщаясь песчаными материкалом. В среднем течении р. Белая свита характеризуется уже карбонатно-алевролитно-песчаниковым составом, где выделяются сытыгинскую свиту (сытыгинский тип разреза, по А. К. Иогансону и др., 1979 г.). Мощность свиты увеличивается в этом же направлении от 50 до 300 м. Породы охарактеризованы строматолитами *Anabaries trisulcatus* Miss., *Shangnella seralasia* Kol. и др., подтверждающими вендский возраст свиты.

На юго-востоке Сибирской платформы, частью входящей в пределы характеризуемой территории, юдомская серия вскрыта Синской, Урдахской, Амгинской, Хочомской и Мокуйской скважинами. Повсеместно устанавливается налегание венда непосредственно на кристаллический фундамент или на разные уровни рифея. Юдомская серия в разрезах скважин имеет двучленное строение.

Нижнеюдомская подсерия в базальных частях представлена разнозернистыми кварц-полевошпатовыми песчаниками, алевролитами и редкими прослоями доломитов, сменяющимися выше битуминозными волюрослевыми доломитами с линзами ангидритов. Мощность подлиты возрастает в северном и восточном направлениях от 117 м (Синская скважина) до 220 м (Урдахская скважина).

Верхнеюдомская подсерия наиболее полно представлена в разрезе Урдахской скважины (интервал 1581—1754 м), где в основании (50 м) она сложена разнозернистыми кварцевыми и кварц-полевошпатовыми песчаниками, часто чередующимися с алевролитами, аргиллитами и глинисто-карбонатными породами. Вышегажащая часть (123 м) представлена сероцветными известняками и доломитами с прослоями (2—3 м) глинистых битуминозных доломитов, часто окремненных. Мощность подсерии 173 м.

В доломитах и известняках юдомской серии определены микрофитолиги *Vesiculites lobatus* Reill., а также акригархи *Granomarginalia prima* Naum., *Martusgridium insculum* Gestsh. и др., характерные для венда Центральной Якутии [19]. Общая мощность юдомской серии юго-востока Сибирской платформы 280—393 м.

КЕМБРИЙСКАЯ СИСТЕМА

Кембрийские отложения широко распространены в южной части территории (северный склон Анабарской антеклизы) и на востоке.

В общей схеме районирования кембрия Сибирской платформы (Решения МСК, 1983) юго-западная часть описываемой площади относится к пестроцветному Анабаро-Синскому региону, характеризирующемуся развитием рифейных комплексов, а восточная принадлежит к Юдомо-Оленекскому региону с отложениями преимущественно открытого морского бассейна (рис. 1).

Наиболее сложное строение кембрия на площади, относящейся к пестроцветному Анабаро-Синскому региону. Здесь выделена Толбо-Мухаттинская рифовая зона, в пределах которой развиты рифогенные комплексы в виде биогермных, биогермно-обломочных и органогенно-обломочных образований. Толщи преимущественно карбонатных и терригенно-карбонатных пород предрифового склона и открытого бассейна развиты в Айдано-Амгинском и Синско-Ботомском районах. Расположенные зоны и районы показаны на схеме (рис. 1). В качестве примера фациального замещения комплекса пород барьерного рифа отложениями предрифового склона приведен профиль по разрезу Сайлык—Еланька (длина р. Лена) (рис. 2).

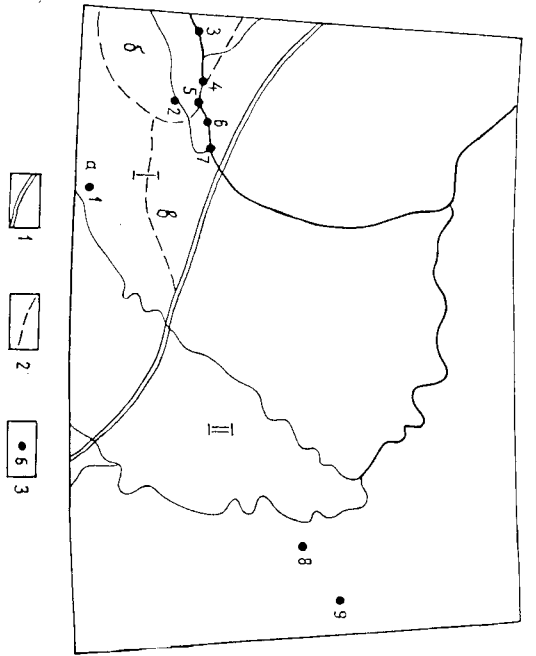


Рис. 1. Схема районирования для кембрийского периода.
 1 — Анабаро-Синский фациальный регион; а — Амгинский район; б — Толбо-Мухаттинская зона; в — Синско-Ботомский район; II — Юдомо-Оленекский фациальный регион; 1 — граница между фациальными регионами; 2 — граница между фациальными зонами; 3 — опорные разрезы (на рис. 3, 4).

Многие из выделяемых стратиграфических подразделений имеют локальное распространение. Поэтому общая схема стратиграфического расчленения кембрия для описываемого района достаточно сложна (табл. 2).

НИЖНИЙ ОТДЕЛ

В состав нижнекембрийских отложений входят образования, относящиеся ко всем четырем ярусам отдела. Наиболее полно они представлены в юго-западной части территории, входящей в переходный Анабаро-Синский регион (рис. 1). Здесь развиты отложения, связанные как с барьерными рифами, так и с предрифовыми склонами и открытыми бассейнами. Соответствующие комплексы отложений положены в основу выделения свит. Возрастные соотношения между ними показаны в табл. 2.

Томмотский—атлабанский ярусы

К этому возрастному интервалу отнесена пестроцветная свита, залегающая в основании кембрийских отложений.

Пестроцветная свита (E_{1ps}) обнажена в долинах Лены и Ботомы, у западной рамки листа. В этом же районе ее основание вскрыто скважинами.

Свита представлена комплексом пестроокрашенных глинисто-карбонатных пород. Она залегает на юдомской серии венда с горизонтом глауконитовой карбонатной брекчии (0,2 м) в основании (Синская скважина). В нижней части свиты (54 м) преобладают красно-бурые и бледно-розовые мергели с подчиненными прослоями серых и светло-серых глинистых известняков. Вышележащая часть (90 м) — пестроокрашенные, преимущ-

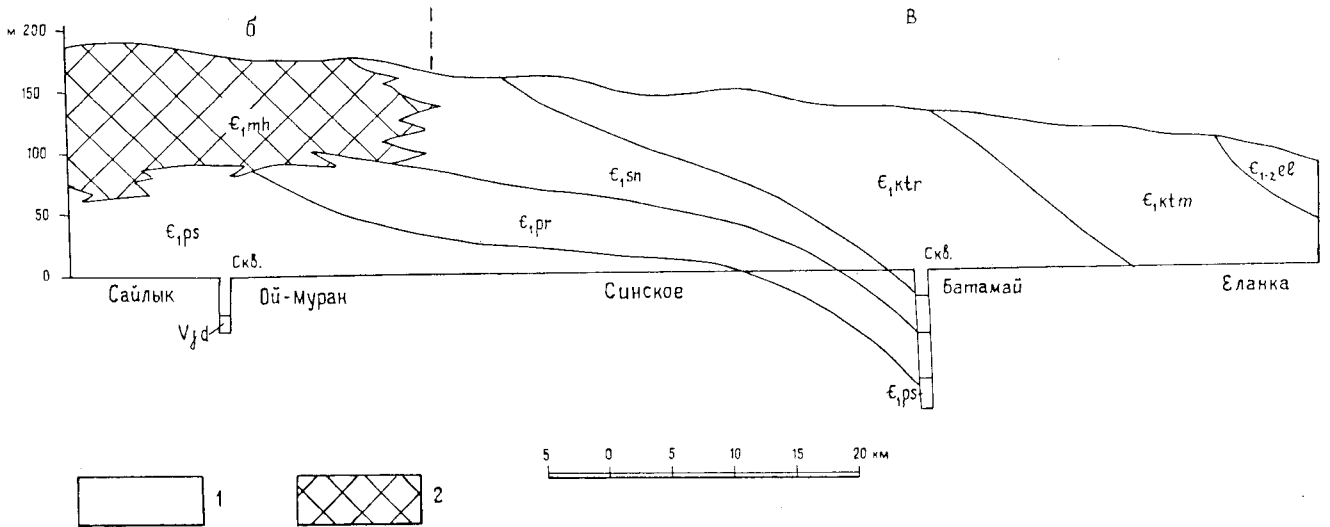


Рис. 2. Схематический разрез кембрийских отложений в долине Лены на участке Сайлык—Еланка (соотношение разрезов Толбо-Мухаттинской зоны (б) и Синско-Ботомского района (в)).

1 — фации предрифового склона и открытого бассейна; 2 — фации барьерного рифа.

Схема стратиграфического расчленения кембрийских отложений

Отдел	Надъярус	Ярус	Анабаро-Синский переходный регион				Юдомо-Оленекский регион	
			Амгинский район	Толбо-Мухаттинская зона		Синско-Ботомский район		Бассейны рек Вост. Хандыга, Тыры, Белая, Аллах-Юнь
				Бас. р. Ботома у западной границы района	Река Лена, у устья р. Мухатта	Река Лена, ниже устья р. Синяя		
Верхний							Кербинская свита	
Средний	Майский	Танхайская свита					Усть-майская свита	
	Амгинский	Амгинская свита					Чайская свита	
Нижний	Ленский	Тойонский	Хомустахская свита					Нижне-среднекембрийские отложения нерасчлененные (инианская, пестроцветная свиты)
		Барылайская свита	Кетеменская свита	Кетеменская свита	Кетеменская свита	Кетеменская свита		
	Ботомский	Куторгиновая свита	Куторгиновая свита	Куторгиновая свита	Куторгиновая свита	Куторгиновая свита		
		Унгелинская свита	Унгелинская свита	Мухаттинская толща	Синская свита	Синская свита		
	Алданский	Атдабанский	Тумулдурская свита	Толбочанская свита	Мухаттинская толща	Переходная свита		
		Томмотский	Пестроцветная свита	Пестроцветная свита	Пестроцветная свита	Пестроцветная свита		

ственно вишнево-красные мергели и глинистые известняки, переслаивающиеся с светло-розовыми, серыми и голубовато-серыми афанитовыми нередко водорослевыми известняками. Некоторые пласты известняков имеют характерные особенности и весьма выдержаны по простиранию (на Лене против пос. Ат-Дабан это пласты: туойдахский, саккырский, чопчунский, кодейский, бачыкский). Они используются в качестве реперов при сопоставлении разрезов. В верхней части свиты в районе пос. Ой-Муран на Лене описаны водорослево-археоплатовые известняки и доломитами с характерной выгукло-сферической отдельностью. Мощность свиты 140—200 м.

Свита содержит предельно высокие комплексы фауны, характеризующие томмотский и атдабанский ярусы.

Верхняя возрастная граница свиты диахрона. Она несколько омолаживается к востоку от Толбо-Мухаттинской зоны, располагаясь внутри атдабанского яруса.

Атдабанский—ботомский ярусы

В состав отложений, относимых к атдабанскому—ботомскому ярусам, входит ряд свит, включающих комплекс отложений, сформированных в разных фацциальных условиях и связанных между собой постепенными переходами. Сюда входит переходная свита в Синско-Ботомском районе, тумулдурская и унгелинская свиты в Амгинском районе, толбочанская, унгелинская свиты и мухаттинская толща в Толбо-Мухаттинской зоне (рис. 1).

Переходная свита (Ерр) со стратотипом по р. Синяя распространена ограниченно на юго-западе территории, по долинам рек Лена, Синяя и Ботома. Она согласна перекрывает пестроцветную свиту и предельно преимущественно светлоокрашенными глинистыми известняками, чередующимися с пятнистыми, зеленовато-серыми или коричневыми известняками. Преобладает зеленовато-серая окраска и массивностойкие текстуры пород. Фацциальные изменения выражаются в постепенной вторичной доломитизации известняков при сохранении общего характера разреза. Мощность свиты 28,5 м, к западу она возрастает до 80—100 м.

Палеонтологическая характеристика свиты достаточно полна. Стратиграфический интервал охватывает верхнюю часть лоны *Idolmita* атдабанского яруса и лону *Vegetomilidius micrasciformis* ботомского яруса. Имеются основания предполагать определенное возрастное скопление границ свиты и отдельных ее наек с некоторым омоложением литофацциальных подразделений в северо-восточном направлении. На западе площади, в пределах Толбо-Мухаттинской зоны, переходная свита фацциально замещается доломитами мухаттинской толщи.

Тумулдурская свита (Е_{1тм}) широко распространена в бассейне р. Амга, где согласно задлепает на пестроцветной свите. В пределах опирающейся территории ее выходы имеются на органических площадях в верховьях р. Арбай-Найгакы. Свита состоит из доломитов светло-серых, серых, желтовато-серых, иногда пятнистых и пористых. Породы обычно массивные, иногда плитчатые или волнистослоистые. Присутствуют оолитовые и битуминозные разности. В нижней части разреза встречаются прослои пестроокрашенных мергелей и доломитов. Собранный в породах свиты комплекс археоциат относится к атдабанскому ярусу (скажина в пос. Улу). Не исключено, что верхние свиты соответствуют ботомскому ярусу. Мощность свиты 95—100 м.

227528

Унгелинская свита (E_1m) слаяет водораздельные пространства между речья Ботома и Амги на юго-западе территории. Свита сложена преимущественно доломитами. Она согласно с постепенными переходами залегает на породах тумулдурской свиты (вероятны и фациальные замещения). В нижней части разреза преобладают глинистые доломиты, выше следуют пестроокрашенные мергели и доломиты, в верхах — светлые окрашенные доломиты. Мощность 120—150 м. Возраст свиты (аттабандурской—ботомской вска) устанавливается по ее положению между тумулдурской и куторгиновой свитой. Последняя относится к верхней части ботомского яруса.

Толбочанская свита (E_1n) выделена на юго-западе территории, в бассейне среднего течения р. Ботома. Она занимает преимущественно водораздельные пространства. Свита согласно залегает на пестроцветной и по положению в разрезе сопоставляется с переходной и тумулдурской свитами. Одновременно устанавливаются прямые фациальные переходы с унгелинской свитой и мухаттинской толщей, что соответственно отражено на геологической карте.

Свита сложена преимущественно доломитами. Наиболее широко распространены мелкозернистые, пористые, массивные и толстоплитчатые разновидности пород, в верхах разреза — глинистые доломиты и доломитистые мергели пестрой окраски. Присутствуют водорослевые известняки. По палеонтологической характеристике [42] свита относится к аттабандурскому—ботомскому ярусам. Мощность ее 150—200 м.

Мухаттинская толща (E_1nh) представлена органогенно-обломочными отложениями (преимущественно доломиты) барьерного рифового комплекса. Распространена у западной границы района по долине Лены в районе устья р. Мухатта, мыса Ой-Мурат, пос. Сайлык. Кроме того, она слаяет значительные площади на водоразделах Лены и Ботома.

Толща сложена светло-серыми, желтово-серыми слабоплитчатыми массивными и разноплитчатыми доломитами. Характерны солитовые разности. Отмечаются плитчатые и известковистые доломиты, известняки. Более или менее монолитные пачки пород имеют мощность от 3—5 до 12—25 м. Характерна доминирующая роль биотермно-органогенных пород и трилобиты лоны *Iudomia* (аттабандурской яруса), а в верхах — археоциаты лоны *Vergetonellus micascifolius* (ниж ботомского яруса). Таким образом, на данном участке мухаттинская толща соответствует верхам пестроцветной свиты и полностью переходной свите. Севернее (12—20 км по долине р. Мухатта) и южнее (на Лено-Ботомском междуречье) она замещает и более молодые доломитовые отложения низов синьской свиты. Мощность мухаттинской толщи в разрезах на Лене 90—100 м.

Ботомский ярус

В ботомский ярус входят синьская и куторгиновая свиты.

Синьская свита (E_1sn) распространена на юго-западе территории в долинах Лены, Ботома и на прилегающей к ним площади. Стратотипический разрез свиты общей мощностью в 32,7 м описан на р. Синья в 6 км от ее устья [42].

Синьская свита залегает на подстилающих породах переходной свиты согласно. Для нее в целом характерна темно-коричневая окраска, отчетливая тонкослоистая (до листоватой) текстура пород и их высокая битуминозность (доманикоидные разности). Доминируют коричнево-серые

битуминозные известняки, чередующиеся с тонкорасчлененными глинистыми их разностями. При содержании органического вещества до 20—25% они обычно называются битуминозными или торочными сланцами. Свита хорошо охарактеризована палеонтологически. Стратиграфический интервал соответствует лоне *Vergetonellus gylati* и нижней части лоны *Vergetonellus asiaticus* ботомского яруса. Мощность свиты возрастает в юго-западном направлении до 100—120 м, при этом породы становятся более массивными. Далее в том же направлении они замещаются карбонатными рифогенными образованиями верхней части мухаттинской толщи. Из-за слабой обнаженности фациальные переходы изучены недостаточно, хотя проницают четко и на ограниченном расстоянии (рис. 3).

Куторгиновая свита (E_1kt) согласно залегает на породах синьской и унгелинской свит и занимает значительные площади юго-западной части территории в бассейне Лены и Амги. Стратотипический разрез описан по серии обнажений, в береговых обрывах правого берега Лены ниже устья руч. Дабый, известных как «Ленские Столбы». Разрез свиты однообразен на всей площади ее распространения. Представлен толщей слабобитуминозных коричневатых, светло-серых известняков, плитчатых и волнистослоистых, часто переслаивающихся с маломощными прослоями грязно-желтых доломитов и доломитистых известняков. Вблизи ее подошвы имеется пласт (0,6—1,0 м) водорослевых образований цилиндрической и конусоидальной формы. В верхней половине разреза встречаются брекчиевидные известняки, состоящие из мелких неокатанных плитчатых обломков афанитовых известняков, цементированных слабоглинистым тонкозернистым известняком. Вверху преобладают пласты массивных известняков, а прослой доломитов уменьшаются до долей сантиметра. Мощность куторгиновой свиты постоянна и составляет 200 м. Богатые комплексы трилобитов и брахопод: в нижней части свиты (70—80 м) относятся лону *Vergetonellus asiaticus*, в верхней — лону *Vergetoniaspis onida* верхней половины ботомского яруса.

Тойонский ярус

К нижней части тойонского яруса относятся кетменская и барылайская свиты; они залегают в целом примерно однообразными образованиями. При этом кетменская свита, состоящая из отложений мелководного морского бассейна, распространена шире, чем барылайская свита, в составе которой входят рифогенные образования (Амгинский район). К верхней части яруса относится хомустахская свита.

Кетменская свита (E_1kt) распространена в юго-западной части территории, на Лено-Ботомском и Ботома-Амгинском междуречьях, где согласно залегает на породах куторгиновой свиты. Опорные разрезы описаны на левом берегу Лены от устья руч. Кетмене до пос. Еланское [42, 58]. Свита представлена толщей доломитов и известняков и подразделяется на две пачки: нижнюю (100—110 м) — известняково-доломитовую и верхнюю (50—75 м) — доломитовую. В основании нижней пачки лежат пласты светлых и буровато-желтых пористых и кавернозных доломитов, плитчатых и массивных, мощностью 3—7 м на р. Ботома, а на Лене, ниже руч. Дабый — до 30 м. Выше залегает тонко переслаивающаяся известняки (3—7 см) и доломиты (1—2 см), которые образуют горизонтальные слои, разделенные в нижней и верхней частях пачки грубослоистыми доломитами и известняками с тончайшими слоями доломитов. Верхняя пачка представлена толсто- и грубослоистыми массивными светло-желтыми, коричневыми и светло-серыми пористыми и кавернозными доломитами. Общая

Мощность свиты 160—185 м. Комплекс трилобитов и брахиопод в кетемнской свите принадлежит к лоне *Vegetonitellus ketemensis*. Основание лоны (и тойонского яруса) совпадает с подшоной свиты.

Барылайская свита (E_1br) в составе тойонского яруса распространена на юге территории, по долине р. Амга и в бассейне ее левых притоков. Она залегает согласно на породах купоргиновой свиты, сложенная светлоокрашенными доломитами, реже известняками и мергелями. Особности литологии и строения толщ свидетельствуют о формировании ее в условиях рифовой области. В нижней части свиты преобладают светлые доломиты порфиры, иногда брекчированные, которые содержат многочисленные псевдоморфозы кальцита по гипсу, каравасообразные кремнистые стяжения, а также остатки окремненных водорослевых колоний. Выше по разрезу массивные доломиты рифовенного типа продолжают доминировать, но появляются линзовидные прослои коричневатого-серых, зеленоватых известняков и мергелей. В верхах разреза части мелкие округлые конкреции и включения грязно-серого или коричневого кремня, рассеянные в массивных доломитах или сконцентрированные на плоскокостях наслоения. Общая мощность свиты 110—120 м. Фаунистические ассоциации, включающие такие формы трилобитов, как *Raparollia obuschevi* (Letm.), *Pseudoleaspis aldaensis* N. Tschert. и др., определяют принадлежность свиты к кетемскому горизонту (нижняя часть тойонского яруса).

Хомуестахская свита (E_1ht) распространена на юге территории в бассейне р. Амга, где она согласно залегает на барылайской и кетемской свитах (р. Мундулуучу) и представлена известняками и доломитами. В разрезах свиты доминируют известняки, что отличается ее от нижележащей барылайской свиты. Характерно наличие среди карбонатных пород многочисленных стяжений и тонких прослоев (2—5 см) коричневатого-серых кремней.

В северо-восточном направлении в составе свиты еще более увеличивается роль известняков, особенно их органогенных разновидностей и водорослевых археоциатовых биогерм. В породах многочисленных остатков трилобитов *Raparollia sulcata* N. Tschert., *Pseudoleaspis aldaensis* N. Tschert., *Edelsteinaspis opala* Letm. и др., что позволяет отнести хомуестахскую свиту к верхам кетемского и низам еланского горизонта тойонского яруса. Общая мощность свиты 110—140 м.

НИЖНИЙ—СРЕДНИЙ ОТДЕЛЫ

Тойонский—амгинский ярусы

Отложения, принадлежащие к верхам тойонского яруса (нижний отдел) и к низам амгинского (средний отдел), входят в состав еланской свиты (Синско-Ботомский район). На востоке территории нерасчлененными показаны отложения, относящиеся ко всему нижнему отделу кембрия и к низам амгинского яруса среднего отдела.

Еланская свита (E_1-el) обнажена ограниченно в долине Лены, восточнее руч. Кучулууй-Кетеме, и на правобережье р. Ботома. На подстилающих породах кетемской свиты она залегает согласно, представлена известняками, доломитами и песчаниками с характерной светлой окраской и четкой выдержанной слоистостью. Стратигипический разрез описан на левом берегу Лены, в 2,5 км выше пос. Еланское [42]. В основании свиты залегают известково-кремнистые доломиты с глауконитом и доломитовые конглобрекции. Вышележащая часть разреза представлена толщей

светлых плитчатых известняков, включающих органогенные и обломочные разности. В разрезе описаны известковистые песчаники (калькарениты), конглобрекции, линзовидные прослои доломитов. Мощность свиты 50—60 м. В ее нижней части (30 м) собраны представительные комплексы фауны еланского горизонта тойонского яруса с видом-индексом *Letmoptilia grandis* (Letmoptova). На уровне 30 м над подшоной свиты проходит граница лоны *Oristocera*—*Schistosepherulus*, входящей уже в состав амгинского яруса. Соответственно возраст свиты — ранне-среднекембрийский.

Нижний—средний отделы нерасчлененные (E_1-2) показаны на карте в пределах хр. Сетте-Дабан. Слагающие их комплексы отложений достаточно четко подразделяются на две части, соответствующие пестроцветной и иньянской свитам, широко распространены на востоке Сибирской платформы. Разрезы описаны в бассейне рек Аллах-Юнь, Велая, Тыры и др. (рис. 4). Кембрийские отложения залегают на вендских в целом согласно, хотя местами отмечены следы небольшого размыва, остатки кор выветривания.

Нижний комплекс отложений, отвечающий пестроцветной свите, представлен на большей части площади розоватыми и зеленоватыми известняками и доломитами глауконитовыми, слабоглинистыми, с прослоями темно-серых алевролитов. Мощность 30—200 м. Верхняя часть разреза (иньянская свита) начинается с пачки зеленоватого-серых алевролитов с редкими прослоями кремнистых пород с мелкими желваковыми фосфоритами (мутулинский горизонт). Выше преобладают черные армиллиты с кремнистыми прослоями и темные битуминозные и окремненные известняки и доломиты. Характерен маркирующий горизонт светлых комковатых известняков. Мощность этой части разреза от 50 до 400 м, возрастает в бассейне р. Тыры.

Возраст описанных отложений определен представительными сборами фаунистических остатков, главным образом трилобитов (данные И. Я. Голина). В низах разреза собраны *Loxilithes amillala* S. S., *Ladilithes* cf. *alpaie* S. S. и др., относящиеся к низам алданского надъяруса. В части разреза, отвечающей верхам пестроцветной свиты, найдены остатки трилобитов, свойственных алдабанскому ярусу. В нижней части разреза, относимой к иньянской свите, собраны брахиоподы и трилобиты алдабанского яруса, а в кровле его — формы, характерные для амгинского яруса среднего кембрия (*Tomagnostus fissus* (Lipnits.), *Paradoxides hicksi* Salt. и др.).

СРЕДНИЙ ОТДЕЛ

Амгинский ярус

Амгинская свита (E_2am) выходит на дневную поверхность на небольших участках в долине р. Амга и ее притоке руч. Тенютте-Бизлине. Контакт с подстилающей ее хомуестахской свитой не вскрыт. Наиболее полно свита обнажена на правом берегу Амги ниже руч. Оннее, где прослеживается на протяжении 2 км в скальных обрывах. Она представлена светлыми известняками эпифитоновыми и строматолитовыми, а также разнообразными обломочными карбонатными породами. До 15—20 % от общего объема свиты составляют биогермы эпифитоновых известняков, которые разбросаны по всему разрезу. Несколько меньше биогерм строматолитовых известняков. Вмещающие их породы отличаются сложной косой, волнистой и перекрестной («корзинчатой») слоистостью и состоят

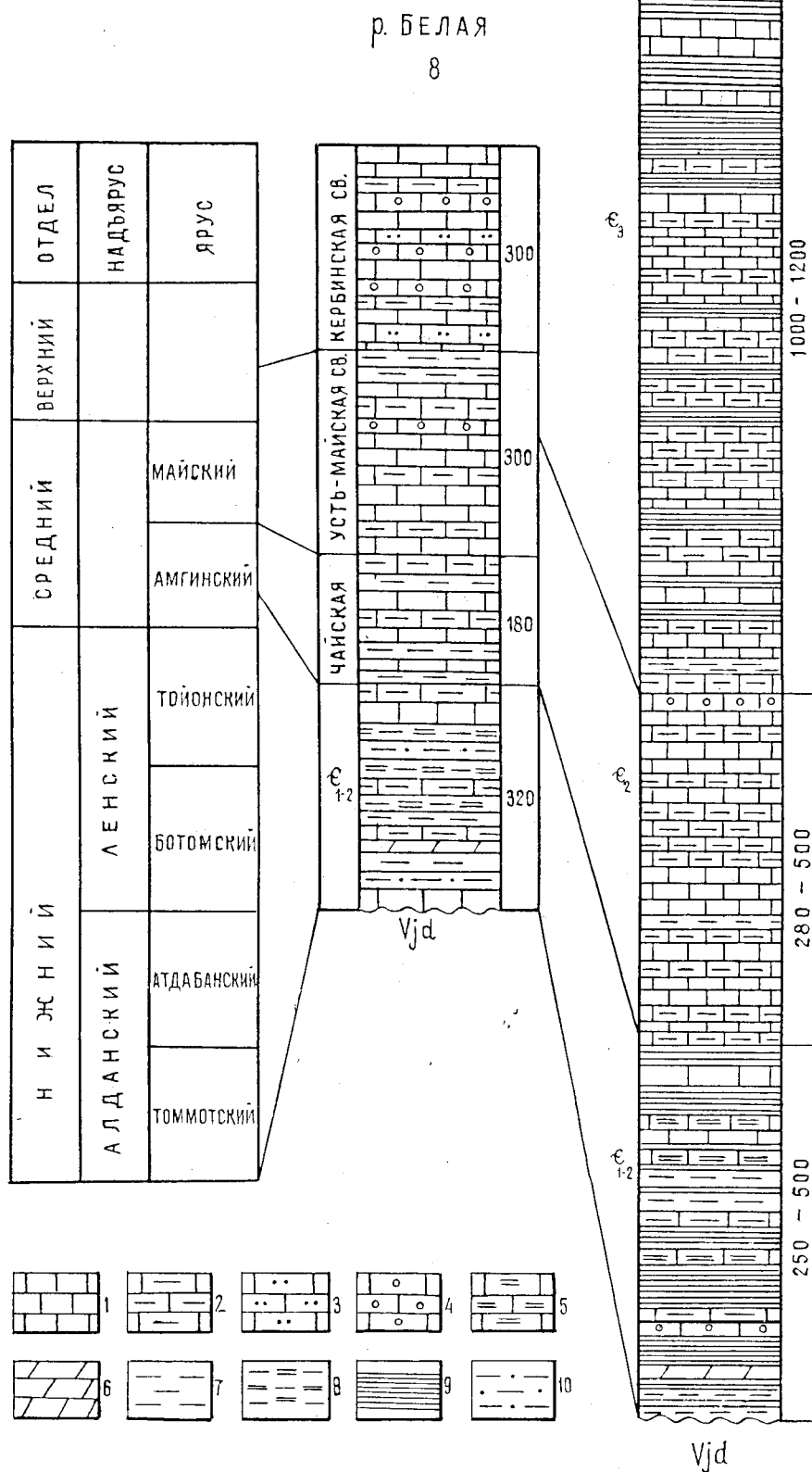


Рис. 4. Разрезы кембрийских отложений Юдомо-Оленекского региона.
 1 — известняки; 2 — глинистые известняки; 3 — песчаные известняки; 4 — оолитовые известняки; 5 — битуминозные известняки; 6 — доломиты; 7 — аргиллиты; 8 — битуминозные аргиллиты; 9 — глинистые сланцы; 10 — глинистые алевролиты.

из известковистых и известково-доломитистых разномощных песчаников и алевролитов. Характерны мощные пласты известковистых ракушнякав, правилитов, грубообломочных брекчий. Последние нередко содержат смешанные и даже перевернутые биогермы. Таким образом, для свиты характерны многие особенности, свойственные фациям рифогенно-аккумулятивного комплекса. Об этом же свидетельствуют вскрытые доломито-глинистым и обломочным известняковым материалом. Общая мощность свиты 800—840 м. По представительным сборам остатков трилобитов, относящихся к лоне *Coilmattles*, амгинская свита может быть отнесена к амгинскому ярусу.

Амгинский—майский ярусы

К верхней части амгинского яруса и майскому ярусу отнесены устьботомская свита в пределах Анабаро-Синского фациального региона и чайская свита Юдомо-Оленекского региона.

Устьботомская свита (E_{2id}) распространена на Лено-Ботомском междуречье, на правобережье Лены. Обнажения ее прослеживаются в скальных обрывах и по Лене от пос. Еланское до пос. Покровское. Свита залегает в общем согласно на породах сланцевой свиты, хотя местами имеются следы незначительного размытия погистающих толщ с образованием простояв внутрифациальных конгломератов.

Стратигипическими являются разрезы на левом берегу Лены ниже пос. Еланское и в районе устья р. Ботома [42]. Свита представлена в основном известняками и доломитистыми мергелями, а также правилитами, песчаниками, конглобрекчиями. Для нижней части разреза (60—90 м) характерны ритмично чередующиеся (флишодный тип) желто-серые, коричневато-серые известняки и доломитистые мергели. В верхней части (более 350 м) возрастает роль мергелей при ритмичном их чередовании с мергелистыми известняками. Кровля свиты денудирована. Свита перекрыта юрскими отложениями. Общая мощность от 400 до 550 м. В юго-восточном направлении комплекс танхайской свиты. Нижняя часть свиты содержит фауну трилобитов верхней части амгинского яруса (зональные виды *Tomagnostus fissus* (Lipnits.), *T. deformis* Rokt.); верхняя часть характеризуется представителями майского яруса *Aporolepis hentici* Salt., *Amotocaria lumbata* (Angr.), *Amotocaria excavata* (Angr.) и др.

Чайская свита (E_{2c}) распространена в пределах Кылахахского хребта. Стратопип ее выделен несколько южнее, в нижнем течении р. Мая (О. В. Флерова, 1941 г.). Типичные разрезы свиты описаны в бассейнах рек Белая, Керби, Джюнекян, Алдах-Юнь, где она с погистающими отложениями инканской свиты имеет постепенные переходы. Свита сложена слоистыми мергелями, известняками, доломитами, известковистыми арцилитами, песчанистыми и алевролитистыми известняками. Характерны четковидные и будинированные прослои, образованные слупками известняка. В нижней части разреза породы сероцветные, в верхней — песроцветные. Мощность свиты на юге площади распространения 180—200 м, в центральной части снижается до 100—130 м и возрастает к востоку до 200 м. Комплекс трилобитов, включающий виды *Tomagnostus fissus* (Lipnits.), *Paradoxides nicki* Salt., *Lingulostius grolwaldi* Kob. и др., позволяют нижнюю часть свиты отнести к амгинскому ярусу, а верхнюю — к майскому.

К майскому ярусу отнесена танхайская свита.

Танхайская свита (E_{2in}) выходит в долинах р. Амга и ее притока Бигиме на юге территории. Она синхронна верхней части устьботомской свиты. В то время как последняя формировалась в зоне предрифового склона, танхайская свита состоит из собственно рифогенно-аккумулятивных образований. На амгинской свите она залегает согласно.

Представлена танхайская свита светло-серыми и темно-серыми известняками, глинистыми известняками со скорлуповатой отделенностью (характерной для органогенных образований), песчанистыми и правилитистыми. В состав сланцевых пород входят тонкосланцеватые темно-зеленые алевролиты. Характерны известковистые брекчии. У с. Покровка на Амге свита вскрыта скважиной в интэрвале 558,8—16,0 м. Разрез характеризуется чередованием пачек мощностью от 12—20 до 80—90 м мергелей и известняков. Мергели обычно темно-зеленые, тонкослоистые, сланцеватые, столбчатыми прослоями известняка. Известняки серые, темно-серые, плотные, часто мелкозернистые. Общая мощность свиты 560 м. В обнажениях на р. Амга собраны остатки трилобитов: *Volpeltina uela* N. Tchegln., *Usoviana tinida* N. Tchegln., *Liostracius* sp. и др., что позволяет отнести танхайскую свиту к майскому ярусу.

Средний отдел — нерасчлененные отложения (E_{2s}) показаны на карте в пределах хр. Сетте-Дабан к северу от р. Алдах-Юнь. В подразделение входит весь комплекс отложений, относящихся к среднему отделу кембрия, кроме его нижней части, представляющей инканской свитой; последняя включена в состав нерасчлененных отложений нижнего и среднего отделов. К характернейшему стратиграфическому подразделению относятся нижняя часть улахской серии, включающей качелкуанскую и словскую свиты [60, 134]. Переход от инканской свиты к характернейшему отложениям постепенный.

Для нижней части разреза (150—200 м) характерно ритмичное перелавливание серых, зеленовато-серых и темных известняков, мергелей, доломитов, арцилитов. Отмечены прослои серых известняков, образующих цепочки будинообразных стяжений (типично для чайской свиты). В верхней части разреза (300—550 м) развиты пачки темно-серых плитчатых известняков, переслаивающихся с листоватыми арцилитами и алевролитами. Типичны единичные пласты грубоплитчатых песчанистых известняков и известняковых конглобрекчий. Общая мощность отложений обычно колеблется от 350—500 до 600—1000 м. Она резко возрастает до 2000—2900 м в бассейне рек Ханда, Бурхала [72]. Значительную роль играют здесь хлорито-глинистые и известково-глинистые сланцы, окремненные породы. Находятся остатки трилобитов (р. Сугжа, И. Д. Голин) *Solenopelta biluensis* Letm., *Liostracius allasovi* Letm. и др. в нижней части толщ и *Paradoxides* ? sp., *Bailella* sp., *Solenopelta* sp. и др. в верхней дает основание отнести ее к амгинскому и майскому ярусам.

СРЕДНИЙ—ВЕРХНИЙ ОТДЕЛЫ

Устьмайская свита (E_{2-um}) выделена О. В. Флеровой (1941 г.) в приустьевой части долины р. Мая. В пределах характернейшей площади распространена в нижнем течении р. Мая, по рекам Алдан, Алдах-Юнь, Джюнекян, Керби, Белая и др. Свита согласно, без четкой границы залегает на чайской свите.

В целом устьмайская свита представляет собой мощную монотонную флишного строения толщу серцветных преимущественно тонкослоистых карбонатных и карбонатно-глинистых пород. В ее состав входят известняки разной степени глинистости, аргиллиты, мердели, реже алевролиты. Характерны прослои и линзы конгломератов и конгломерато-брекчий. Слюистость пород горизонтальная, местами косая. На плоскостях напластованиях характерны волнопробойные знаки, следы познания организмов. Мощность свиты 300—450 м.

Средне-позднекембрийский возраст свиты определяется находками трилобитов. В низзах свиты в бассейне р. Керби (И. Я. Голин) собраны остатки трилобитов: *Otdagnostus trispinifer* Wgard., *Rhacoma glandiforme* (An g.), *Anomocarina splendens* Letm. и др. — руководящие формы майского яруса. В центральной части Кербинского нагорья собраны остатки трилобитов саякского яруса верхнего кембрия: *Glyptagnostus reticulatus* An g., *Imagnostus inhexastans* (Kob.) и др.

ВЕРХНИЙ ОТДЕЛ

Верхнекембрийские отложения распространены в восточной части территории. В пределах хр. Сетге-Дабан они показаны нерасчлененными, западнее — в виде кербинской свиты.

Верхний отдел — нерасчлененные отложения (Е₃) вкляю-часть среднюю и верхнюю части улахской серии. Это мощная относительно однородная толща карбонатных пород, представленных в основном песчанистыми и глинистыми известняками и известково-глинистыми сланцами. Нижняя часть разреза (толщя 1000 м), залегающая согласно на отложенных среднето кембрия, представлена чередованием пластов (5—15 м) темно-серых от мелко- до крупнозернистых массивных грубоплитчатых песчанистых и глинистых известняков и пачек (до 5 м) тонкого переслаивания темно-серых глинистых сланцев и серых глинистых известняков. Выше по разрезу пачки тонкого переслаивания глинистых сланцев и тонкоплитчатых известняков достигают мощности 40 м и разделены пластиами (до 10 м) массивных неслоистых грубоплитчатых известняков. Верхняя часть разреза (200—250 м) представлена равномерным (3—5 до 10—15 см) переслаиванием темно-серых глинистых неслоистых известняков и черных мелкозернистых листоватых известняково-глинистых сланцев. Общая мощность описываемого комплекса отложений 1000—1385 м. Здесь собраны трилобиты *Callagartius* sp., брахиоподы *Acroplelidae* sp., *Indet.*, водоросли *Girvanella sibirica* Masl. и др., что определяет позднекембрийский возраст накоплений.

Кербинская свита (Е_{кп}) выделена на р. Агдан в районе устья р. Керби (Бобин, 1939), распространена к востоку от Кырлахского хребта. В бассейнах нижних течений рек Белада, Керби, Аглах-Юнь и др. свита согласно залегает на усть-майской свите. Здесь она представлена светло-серыми известняками, часто водорослевыми, сохранившими структуру соответствующих построек, оолитовыми. Присутствуют мелкообломочные известняки, известняковые конгломераты, гравелиты. Также развиты известковистые аргиллиты, мердели, алевролиты. Мощность свиты здесь 50—80 м.

В восточном и особенно в северо-восточном направлении мощность свиты возрастает до 300—350 м. В ее составе преобладают пелитоморфные известняки, мердели. В основании свиты — пачка конглобрекчий, выше лежат тонкослоистые известняки, мердели, окремененные известняки. По плоскостям напластования прслеживаются следы ряби, трещины усыхания.

В верхах свиты обнаружены прослои пелловых туфов (5—15 см). Кровля свиты размыта.

На западе района в свите собраны остатки трилобитов *Plethorhoides kuldurbensis* (Ros.), *Acidospiridina plana* Laz., *Volksridellus modestus* Laz. и др., на востоке — *Acrocephalites militans* Letm., *Pseudagnostus ex gr. comitinus* (Holl. and Wh.) P. quadrata Laz. Комплексы соответствуют верхнему кембрию.

Нерасчлененные кембрийские отложения (Е) описаны в Урдахской и Хююмской сваяжике, где присутствуют нижне- и среднекембрийские породы, представленные известняками, доломитами, мерделими и сланцами. Мощность их изменяется от 400 до 1000 м, что связано с размывом верхов толщи.

ОРДОВИКСКАЯ СИСТЕМА

Территенно-карбонатные отложения ордовика в виде меридионально вытянутой полосы занимают осевую часть хр. Сетге-Дабан, охватывая бассейны рек Менкюле, Вост. Хандыга, Тыры и Белада. Подробные сведения о стратиграфии и литофациальных особенностях отложений были получены Б. В. Преображенским [37], Х. С. Розман [7], В. А. Ян-жин-шином [56] и др. Ордовик представлен отложениями всех трех отделов, объединенными в свиты.

НИЖНИЙ ОТДЕЛ

К нижнему отделу отнесены атырбахская и саккырйрская свиты. Атырбахская свита (O_{ад}) выделена в 1957 г. Ю. М. Пущаровским в бассейне р. Вост. Хандыга. До последнего времени она не имела надежной палеонтологической характеристики и картировалась в составе верхнего кембрия. По литологическим особенностям свита делится на три подсвиты.

Нижнеатырбахская подсвита (120—300 м) местами с линзами конглобрекчий в подошве сложена серыми песчанистыми известняками, переслаивающимися с зеленоваты-серыми хлоритово-известково-глинистыми сланцами. Среднеатырбахская подсвита (200—400 м) представлена толщей чередующихся серых и зеленовато-серых известково-глинистых сланцев и алевролитов с пластами (до 1,5 м) темно-серых известняков. Верхнеатырбахская подсвита (90—300 м) — чередование серых и зеленовато-серых известняков с известково-глинистыми сланцами и алевролитами. В подошве — регионально выдержанная пачка (10—15 м) известняков. Общая мощность атырбахской свиты изменяется в пределах 400—1000 м. В южном направлении она заметно сокращается до полного выклинивания в междуречье Юдомы и Аглах-Юня.

В нижнеатырбахской подсвите собраны трилобиты: *Erdolia* sp., *Shushardidae*, *Olenidae*, Реморепидиды, брахиоподы *Obolus* sp., *Euriteia* sp., *Lerptobolus* sp., *Lingulella* sp., трилобиты *Disculobolus* sp. и конодонты *Cordiodus ex gr. angulatus* Pander, свидетельствующие о раннеордовикском возрасте вмшляющих отложений [106].

Саккырйрская свита (O_{ск}) выделена в 1960 г. В. А. Ян-жин-шином в бассейне р. Вост. Хандыга. Позднее установлено ее трансгрессивное залегание на различных горизонтах атырбахской свиты, а в бассейне р. Аглах-Юнь — на породах верхнего кембрия. Свита имеет трехчленное строение.

Нижнесаккырырская подсвета (200—1000 м) сложена зеленоцветными песчаниками и глинистыми известняками, известковистыми хлорит-серпичитовыми и хлорит-глинистыми сланцами, залежьными хлорит-серпичитом. Севернее р. Белая, где наибольшая мощность, подлиниты достигают 1000 м, в основании ее повсеместно отмечается гинка (300 м) зелено-серых известняков, насыщенных линзами и пластами конглобративной, срединной и торной встречаются глинисто-карбонатные породы с текстурой осадочного кырырского трансгрессивного цикла.

Среднесаккырырская подсвета (250—550 м) характеризуется выдержанным составом и представлена темно-серыми известняками (5—40 м), ками (0,5—1 м) и зеленовато-серыми хлорит-серпичит-глинистыми сланцами, мергелями и алевролитами.

Верхнесаккырырская подсвета (450—900 м), завершающая разрез нижнего ордовика хр. Сетте-Дабын, отличается темной окраской и преимущественно карбонатным составом. Она образована темно-серыми алевролитами и песчанистыми известняками, ритмично чередующимися (через 1—2 см) со слюдисто-глинистыми сланцами. В нижней части подсветы — маломощные пласты желто-серых доломитов и линзы темно-серых кремней.

Общая мощность саккырырской свиты меняется в широких пределах и составляет в бассейне рек Томпо, Вост. Хандыга и Белая 1700—2400 м, в бассейне р. Аглах-Юнь — 850—1100 м. Раннеордовикский возраст свиты подтвержден находками брахиопод семейства *Orthis*, остракод *Volynella* sp., *Tergimella* sp. и граптолитов *Dicyonema* sp. [81].

Объединенные отложения (O₂) в бассейне р. Томпо выделяются в объеме, соответствующем атыраховской и саккырырской свитам, объединены по условиям мелкого масштаба геологической карты.

СРЕДНИЙ ОТДЕЛ*

Среднеордовикские отложения (O₂) выделены в объеме дабытаховской и кулонской свит. Дабытаховская свита установлена В. А. Ян-жин-шином в 1960 г. в бассейне р. Вост. Хандыга [56]. Она подразделяется на нижнюю, терригенно-карбонатную, и верхнюю, преимущественно карбонатную, подсветы.

Нижняя подсвета (900—1200 м) сложена пачками (35 м) известково-хлоритовых сланцев с прослоями песчанистых известняков, чередующихся с пачками (25 м) темно- и светло-серых известняков с подчиненными прослоями известково-хлоритовых, реже глинистых сланцев. Редкие линзы (0,2 м) органических известняков отмечаются по всему разрезу.

Верхняя подсвета (450—1500 м) образована темно-серыми песчанистыми известняками, грубо чередующимися с зеленовато-серыми слюдисто-глинисто-алевролитовыми сланцами и алевро-песчанистыми доломитами. В верхней половине преобладают серые и темно-серые алевро-песчаные известняки, чередующиеся с пластами (1—2 м) органично-обломочных известняков.

Среднеордовикский возраст (дланьирский—дландельский ярусы) дабытаховской свиты обоснован богатством комплексом ископаемых фаун: трилобитов *Plectambonites fischeri* (Eichw.) и др., брахиопод *Xenelasma glastosa*

Rozh. и др., табулят *Villingsia raria* (Sill.) и др., конодонтов и гастроподов [80, 99, 128, 133]. Мощность свиты изменяется от 450 м (бассейн р. Аглах-Юнь) до 1500 м (бассейн р. Томпо), испытывая устойчивую тенденцию к сокращению в южном направлении.

Выше залегают доломиты и известняки (кулонская свита), чередующиеся в нижней половине неравномерно, а в верхней — с преобладающим доломитом. Окраска пород темнеет вверх по разрезу. Характерные для свиты линзы кремней распределены по разрезу и площади неравномерно. Мощность свиты в бассейне рек Томпо, Вост. Хандыга и Тыры 300—400 м, а в бассейне р. Белая сокращается до 100—300 м. В бассейне р. Аглах-Юнь свита отсутствует. Среднеордовикский (ранний карадок) возраст отложений подтвержден многочисленными находками брахиопод *Mivella raria* Andr., *M. ex gr. gibbosa* Vill., *Rostkellia guymondi* papa Rozh. и др., кораллов [99, 106, 128].

Общая мощность среднеордовикских отложений в бассейне рек Томпо, Вост. Хандыга, Тыры, Белая колеблется в пределах 1700—3100 м, сокращаясь в южном направлении до 700—850 м (бассейн р. Аглах-Юнь).

ВЕРХНИЙ ОТДЕЛ

К верхнему отделу (O₃) отнесены гичинская и баранинская свиты. Гичинская свита выделена Б. В. Преображенским и В. А. Ян-жин-шином в 1974 г. в бассейне р. Вост. Хандыга [37]. Своеобразным и выдержанным составом пород, имеющих повсеместно с поверхности желто-оранжевую окраску, свита, как маркирующий горизонт, четко выделяется среди серопесчаных и черных ниже- и вышележащих толщ. В ее сложении участвуют глинистые и песчанистые доломиты серой, розовато-желтовато-серой окраски. В средней части присутствуют прослои серых известняков с линзами органогенно-детритовых разновидностей и единичными мелкими колониями нерекристаллизованных табулят. Подчиненное значение имеют зеленовато-серые алевролиты и хлорит-серпичит-глинистые сланцы, розовато-сиреневые туфо-песчаники (бассейн р. Аглах-Юнь), а в бассейне р. Вост. Хандыга — линзы и пласты (2—5 м) белых гипсов. Мощность гичинской свиты 50—100 м. В бассейне рек Белая и Аглах-Юнь свита выклинивается. Верхнеордовикский возраст свиты обоснован комплексами брахиопод *Samarolechia ramosa* Nikif., *S. sp.* [9, 14].

Завершается разрез ордовика темноцветными известняками, часто доломитизированными, и доломитами с маломощными прослоями зеленовато-серых мергелей и розоватых туфопесчаников (баранинская свита). В бассейне рек Белая и Аглах-Юнь в составе ее преобладают темно-серые битуминозные доломиты с редкими прослоями туфов калиевых трахитов. Здесь она подразделяется на две литологически контрастные подсветы, распространяющиеся локально. Нижней подсвете в схеме Т. А. Русецкой [87] соответствует сухореченская свита, а верхней — муольская (бассейн р. Белая) и преваляная (бассейн р. Аглах-Юнь) свиты. Мощность баранинской свиты изменяется без определенных закономерностей от 250 до 700 м. Минимальные значения она имеет в бассейне р. Томпо. Баранинская свита охарактеризована (бассейн рек Белая, Аглах-Юнь) бо-гатыми комплексами табулят *Mucroloca st. villingsi* Nich., *Syngoronia alata* (Ziib) и др., рудоз и строматолитов [99, 133, 134], однозачаточных определяющих возраст вмещающих отложений позднеордовикского (аш-пил). Мощность верхнеордовикских отложений варьирует в пределах 300—800 м. Наиболее низкими значениями она характеризуется в бассейне р. Аглах-Юнь.

* Средний и верхний отделы ордовика на геологической карте показаны нерасчлененными только по условным масштабам карты.

СИЛУРИЙСКАЯ СИСТЕМА

Выходы пород силура (S) пространственно связаны с полями развития ордовикских отложений. Расчлененность силурийских отложений точно детализирована на геологической карте они показаны объединенными вследствие незначительной ширины полей их распространения. В составе силура преобладают карбонатные отложения нижнего, нерасчлененных нижнего—верхнего и верхнего отделов.

Нижний отдел установлен в объеме тахской свиты, выделенной Б. В. Преображенским и В. А. Ян-жин-шином в 1974 г. [37] в бассейне р. Саккырыр. В бассейне рек Томпо, Вост. Хандыга и Тыры она согласно перекрывает баранинскую свиту, от которой отлится только характером строения разреза. Тахская свита разделяется на две подсвиты: нижнюю и верхнюю. Нижняя (150—350 м) в базальных частях сложена пятнистыми сероцветными доломитами с пластиами (0,5 м) органогенных разностей, насыщенных колониями табулят и строматопороидей. В средней ее части кроме доломитов присутствуют плиты (1—6 м) или пачки (до 20 м) темно-серых известняков. В верхах подсвиты преобладают сероцветные пятнистые доломиты. Характерно присутствие в органогенных доломитах маломощных прослоев (5—20 см) розовато-серых туффигов и туфов калиевых грахитов.

Верхняя подсвита (200—450 м) представлена серыми и темно-серыми доломитами и известняками, включающими пласти (1—5 м) органогенных разностей со скоплениями остатков строматопороидей, табулят, рудоз и брахипод. В доломитах нередко отмечаются линзовидные включения (до 3 см) халцедоновидных кремней. Южнее, в бассейне рек Белая и Аглах-Юнь, в основании тахской свиты на отдельных участках имеются локальные перерывы, выраженные линзами базальных конгломератов и изменениями мощности нижележащей баранинской свиты.

Богатые комплексы табулят с *Favosites gollandicus* Lat., *Palaeofavosites schmidtii* Sok. и рудоз из органогенных карбонатных пород однозначно указывают, по заключению К. Б. Хайяниковой [139], на ллановери-венлокский возраст тахской свиты. Мощность свиты варьирует в пределах 250—800 м, сокращаясь в южном направлении.

Нерасчлененные нижне-верхнесилурийские отложения представлены оронской свитой, выделенной Б. В. Преображенским и В. А. Ян-жин-шином в бассейне р. Саккырыр [37]. Она имеет ритмичное строение и отличается от тахской свиты преобладанием и большим разнообразием доломитов. В разрезе свиты грубо (через 5—10—20 м) чередуются сероцветные (до черных) известковистые доломиты и доломитистые известняки. В кровельных частях замешана смесь песчаного и алевролитового материала. Особенности свиты является слабая в бассейне р. Томпо и более существенная в бассейне р. Белая насыщенность отложений пирокластическим материалом, который локализуется в виде прослоев (0,2 м) желтовато-серых туфов калиевых грахитов, туфопопелчанников и туфодоломитов. К югу от бассейна р. Белая свита приобретает пестроцветный облик и испытывает заметные литофациальные изменения, выраженные в поведении песчанистых и алевролитистых доломитов и прослоев (до 15—20 м) полевцошпатово-кварцевых песчаников. Мощность оронской свиты убывает в южном направлении от 250—450 м в бассейне рек Томпо, Вост. Хандыга, Тыры и Белая до 170—250 м в бассейне р. Аглах-Юнь. Поздневенлокский возраст нижней части свиты обосновывается комплексами табулят с *Favosites mougeomensis* Sok. et Tes., *F. foëfbesi* E. d. v. et H. и др. и строматопор. Верхняя часть свиты условно датируется дудловом [81, 134, 135].

Верхний отдел представлен хуратской свитой, выделенной в 1957 г. Ю. М. Пущаровским в бассейне р. Вост. Хандыга. Свита имеет сложные соотношения с подсилурическими породами. Нижняя граница ее неровная, с западинами и карманами, проникающими на довольно глубокие горизонты оронской свиты (бассейн р. Бурхала), а иногда и достигающими подошвы верхнетахской подсвиты силура и верхнетахской подсвиты среднего ордовика. Учитывая характер нижней границы и другие признаки, многие исследователи рассматривают хуратскую свиту как гипотетическую измененную, с палеокретами, часть оронской свиты, представленную изначально сульфатно-карбонатными и карбонатно-сульфатными породами [87, 99, 106, 134]. Хуратская свита сложена светло-серыми, розовато- и яично-желтыми, реже серыми доломитами и доломитистыми известняками с линзовидными прослоями гипсованных карбонатных брекчий, гипсов и ангидридов (0,1—0,7 м). Мощность свиты колеблется в пределах 100—350 м. Фаунистических остатков не обнаружено. По положению в разрезе под нижнедевонскими отложениями хуратская свита условно отнесена к пржидлино.

Общая мощность силурийских отложений хр. Сетте-Дабан изменяется в пределах 750—1600 м, сокращаясь в южном направлении.

ДЕВОНСКАЯ СИСТЕМА

Девонские отложения распространены на востоке территории, в пределах хр. Сетте-Дабан. В составе их выделены образования нижнего—среднего, среднего и верхнего отделов, расчлененные на свиты. На некоторых участках по условиям масштаба карты девонские отложения показаны нерасчлененными.

НИЖНИЙ ОТДЕЛ

Сетте-дабанская свита (D_{1st}) установлена в 1986 г. В. А. Ян-жин-шином на правобережье р. Вост. Хандыга. Свита трансрессивно, иногда конгломератами в подошве налегает на различные горизонты силура. Предполагается она темно-серыми и черными глинистыми известняками, пелитоморфными доломитами, известковистыми ардулитами. Последние преобладают в средней части разреза. Мощность 250—370 м. Свита отличается выдержанностью литологических признаков на большой площади. Раннедевонский возраст свиты в объеме жданского, зигенского и эмского ярусов определяется по богатым комплексам табулят, брахипод, остракод и строматопор *Stellorota* ex gr. *spica* Bogojavl. [81, 82, 99, 128].

СРЕДНИЙ ОТДЕЛ

Бурхалинская свита (D_{2st}) установлена в 1970 г. М. А. Ржон-сницкой и В. А. Ян-жин-шином на левобережье р. Бурхала. Свита с прослоями и линзами конгломератов и гравелитов (до 20 м) в основании перекрывает породы нижнего девона, силура и ордовика. В северной части территории она имеет двучленное строение. Нижняя часть (270 м) сложена пестроцветными термитово-вулканогенно-карбонатными породами: розовыми, буроватыми и желтовато- и светло-серыми доломитами, песчанистыми известняками, мергелями и алевролитами, прослоенными покрывами темно-зеленых метабазалтов и базальтовых порфиритов и чередующимися с пластинами вишневых и зеленых туфопопелчанников. Верхняя часть (200 м) образована черными и серыми доломитами, известняками и прослоями известково-глинистых сланцев и арпилитов. Характерным признаком свиты

№ п. п.	Название породы, ее возраст, место опробования	SiO ₂	TiO ₂	Al ₂ O ₃	Fe ₂ O ₃	FeO	MnO
1	Базальтовый порфирит, Дз.б.р. левобережье р. Томпо [67]	41,80	3,72	12,92	6,70	10,03	0,13
2	Метабазальт, Дз.б.р. правобережье р. Улах [69]	48,00	2,34	14,69	3,46	7,19	0,12
3	Базальтовый порфирит, Дз. правобережье р. Менкюле [68]	48,00	1,85	14,60	1,53	9,99	0,18
4	Базальтовый порфирит, Дз. левобережье р. Томпо [67]	44,11	1,67	19,84	6,54	4,38	0,12
5	Базальтовый порфирит, Дз. р. Бурхала [70]	48,90	1,84	14,50	2,40	10,96	0,20
6	Базальтовый порфирит, Дз. р. Беда [70]	48,60	2,36	13,70	5,24	6,86	0,11

является присутствие линз гипсов и ангидридов. На юге территории серия представляется серыми и темно-серыми известняками, доломитами и известковистыми ариллитами. Живетский возраст верхней части серии обоснован многочисленными сборами табулят и брахиопод: *Schizophoria* ex gr. *stivalia* Schloth., *Atrypa aspera* Schloth. и др. [81]. Мощность 100—420 м.

ВЕРХНИЙ ОТДЕЛ

Верхнедевонские отложения (D₃) представлены вулканогенно-осадочным комплексом пород, объединяющим сегнахскую, маучанскую, трюваскую и переломную свиты.

Отложения нижней части разреза отнесены к сегнахской свите, выделенной в 1974 г. В. А. Ян-жин-шином на правобережье р. Вост. Хандыга. Свита трансрессивно залегает на различных горизонтах среднего девона. В бассейне р. Менкюле нижняя часть ее (70—100 м) представлена покровом метабазальтов темно-зеленых, состоящим из 5—10 потоков (до 20 м), разделенных пластиками (1—5 м) бордовых туфопесчаников и туфоариллитов. Верхняя часть свиты (80—100 м) сложена вышневыми, зелеными и серыми туфами базальтов, туфоариллитами, песчаниками, туф-фитами, линзами туфокоагломератов и единичными покровами метабазальтов и пластами серых известняков. В направлении к югу от стратопинеской местности количество и мощность базальтовых покровов в составе свиты уменьшаются, и в бассейне р. Аглах-Юнь она представляется исключительно терригенно-карбонатными отложениями. Франский возраст свиты определяется комплексами брахиопод с *Micropirifer novosibiricus* (Топп.), *Stadoroga verticillaris* (Мо Соу) и др. [67, 68, 81]. Мощность 100—400 м.

Вышележащие части разреза относятся к маучанской свите, выделенной в 1974 г. В. А. Ян-жин-шином на правобережье р. Вост. Хандыга, где она имеет максимальное распространение и согласные соотношения с

пород девона, вес. %

MgO	CaO	K ₂ O	Na ₂ O	H ₂ O	CO ₂	P ₂ O ₅	SO ₃	П. п. п.	Σ
4,69	7,69	5,37	2,10	0,40	Н. о.	0,67	Н. о.	4,22	100,04
8,62	8,03	0,32	3,89	0,18	Сд.	0,24	Сд.	3,10	100,18
7,33	8,63	0,83	3,26	0,49	Н. о.	0,21	Н. о.	2,38	99,28
10,19	7,80	2,08	1,90	Н. о.	Н. о.	0,13	Н. о.	4,33	100,07
5,07	10,20	1,16	1,99	Н. о.	Н. о.	Н. о.	Н. о.	1,78	99,00
6,82	5,68	1,60	4,31	Н. о.	—	Н. о.	—	3,57	99,85

сегнахской свитой. От последней она отличается сероцветностью и существенно карбонатным составом отложений. В строении ее преобладают серые, черные и зеленовато-серые известняки и доломиты, включенные прослои известково-глинистых сланцев и пласты светло-розовых мраморизованных известняков. Обычно породы плитчатые. Франский возраст свиты подтвержден многочисленными находками брахиопод, табулят, реже рлуоз, строматопор, остракод и науглилоидей [67, 68, 69, 81]. Мощность свиты изменяется в пределах 200—400 м, уменьшаясь в южном направлении от страторегiona.

Далее по разрезу следует комплекс отложений, относимых к трюваской свите, установленной в 1974 г. В. А. Ян-жин-шином на левобережье р. Вост. Хандыга. Она согласно и с четкой границей перекрывает маучанскую свиту, отличаясь от последней более грубой гранулометрией. Главными типами пород свиты являются желто- и розовато-серые и серые песчанистые доломиты, известняки, известковистые и доломитистые песчаники. Подчиненное положение занимают темно-серые мергели и известковистые ариллиты. Характерный признак свиты — бурая и рыжая окраска пород с поверхностью. Франский возраст свиты определяется находками остатков брахиопод [68]. Мощность 200—250 м.

Завершает разрез верхнего отдела переломная свита, распространенная в междуречье Томпо и Менкюле, установленная в 1978 г. А. П. Кропачевым и др. на левобережье р. Менкюле. Она трансрессивно перекрывает различные по возрасту отложения девона. В составе ее преобладают известковистые песчаники, известковистые известняки, песчанистые ариллиты и алевролиты. В базальных частях часто присутствуют пласти состоящий из 2—4-метровых потоков мощностью по 20—50 м. Отложения содержат остатки брахиопод *Enchondrosprifer* ex gr. *comitius* (Sin.), *Piddispriferinae* gen. et sp. indet., определяющих фаменский возраст свиты [67]. Мощность ее изменяется от 50 до 600 м.

Южнее р. Куранах возрастным аналогом переломной свиты является толща терригенно-карбонатных пород, образованная известняками и доломитами серой, зеленоватой, желтовато- и розовато-серой окраски, часто песчанистыми и алевролитами. Породы массивные или тонкослоистые. На разных уровнях в толще встречаются линзы конгломератов. Породы содержат остатки фаменских брахиопод [69, 72, 76]. Мощность 280—470 м.

Общая мощность верхнего девона изменяется в пределах 600—1520 м, уменьшаясь в южном направлении.

Покровы метабаазальтов бурхалинской серии среднего отдела, серо-нахской и переломной свит верхнего имеют сходные строение и естественный состав. Они делятся на несколько потоков, у которых нижняя часть (до 2 м) сложена темно-зелеными метабаазальтами с микропорфировой и гипокристаллической структурой, середина — порфировыми метабаазальтами с выкристалленными амфиболом, оливином, пироксеном, а кровля — спилитами с выделениями эпидота, кальцита, хлорита, халцедона. В прикровельных частях потоков переломной свиты отмечается самородная медь. Метабаазальты сложены девитрифицированным вулканическим стеклом, платноклазом (№ 30—55), пироксеном, оливином, кварцем, ильменитом, титаномалитом. По содержанию кремнезема и щелочности эффузивные породы девона принадлежат к субщелочным базальтам и трахибаазальтам (табл. 3).

Девонские объединенные отложения (D) выделяются в верховьях рек Беляя и Бурхала, где показаны объединенными из-за мелкого масштаба карты. Они представляют известняками, доломитами, аргилидами, меррелями, алевролитами, сланцами и метабаазальтами. Общая мощность девонских отложений колеблется от 900 до 2400 м.

ДЕВОНСКАЯ—КАМЕННОУГОЛЬНАЯ СИСТЕМЫ

ВЕРХНИЙ ДЕВОН—НИЖНИЙ КАРБОН

Менкколгенская свита (D_3 — S_{1m}), выделенная в 1978 г. А. П. Кропачевым и др. на левобережье р. Менкколе, распространена локально, главным образом в пределах страторегiona. Она с четкой согласной границей перекрывает переломную свиту верхнего девона.

По литологическим особенностям свита подразделяется на три толщи. Нижняя (до 300 м) сложена песчанистыми известняками, алевролитами, аргилидами, гравелитами и конгломератами с пластиками доломитов и песчанистых известняков. Выше (до 100 м) залегают песчаники с прослоями и линзами туфогенных конгломератов, гравелитов, алевролитов, аргилидов. Завершает разрез толща (до 70 м) буровато- и зеленовато-серых известковистых туфопесчаников и туфоалевролитов с прослоями серых песчанистых известняков и доломитов, зеленых туфоалевролитов и магнезитосодержащих песчаников.

Отложения охарактеризованы в нижней части свиты остатками позднедевонских фораминифер *Archidaiagena aff. globoides* Petz., *Struborphaeoides sp.*, а в верхней — остатками турнейских ругоз *Zaphrentes parallela* (Gaguthers), *Suehoides koltschi* (Meh.) [67, 81]. Мощность ее варьирует от 100 м в редуцированных разрезах до 470 м в полных.

Менкколгенская свита является основной продуктивной меденосной толщей девонского разреза. Выкристалленность сульфидов меди приурочена к пластам (0,2—1,6 м) зеленовато-серых песчаников (медистые песчаники)

в основании нижней толщи (до 30 м), к горизонту (0,3—1,4 м) светло-серых доломитов (медистые доломиты) и линзам (0,1—0,8 м) серых песчаников в ее кровле (до 23 м), к прослоям и линзам (до 3 м) зеленых туфопесчаников и туфоалевролитов в средней и верхней толщах.

КАМЕННОУГОЛЬНАЯ СИСТЕМА

Каменноугольные отложения широко распространены как в Южном, так и в Западном Верхоянье, обрамляя с востока, севера и запада выходы рифейско-среднепалеозойских толщ. В регионе выделяются две литофациальные зоны: Южно-Верхоянская (на междуречье Менкколе—Аллах-Юнь) и Западно-Верхоянская (междуречье Томпо—Хандыга—Барай).

Каменноугольные отложения представляются всеми тремя отделами. Расчленение их на горизонты и свиты проводится по стратиграфической схеме, предложенной Б. С. Абрамовым [1] и уточненной позднее. Стратотипами горизонтов послужили одноименные свиты, установленные в Южном Верхоянье (табл. 4).

НИЖНИЙ ОТДЕЛ

Объединенные отложения нижнего отдела (С₁) выделены в объеме яхской, хамамытской, куранахской, чукучанской и овлачанской свит в Южно-Верхоянской зоне. Они объединены по условиям мелкого масштаба геологической карты). В регионе редко можно встретить в одном пересечении полный набор этих свит, так как постоянно отмечаются тектонические соотношения и несогласия.

Яхская свита (20—100 м), выделенная А. П. Кропачевым в 1979 г. в бассейне р. Менкколе, где с разрывом перекрывает верхнедевонские отложения, распространена непостоянно. Сложена она серыми, зеленовато-серыми известковистыми песчаниками, песчанистыми известняками, длинными доломитами, аргилидами с горизонтом гравелитов, конгломератов, гипсов в основании. Возраст свиты определен находками позднеурнейских фораминифер и брахиопод.

Хамамытская свита (90—370 м) согласно залегает на яхской и трансгрессивно на различных горизонтах верхнего девона или более древних образованиях. Представлена она практически однородной известняковой толщей, иногда в ней присутствуют прослои аргилитов и кремней. Собранные в породах свиты пеллопиды с *Wikingia* типа Митомз., брахиоподы, фораминиферы, криноиды и табудаты определяют позднтурнейский возраст [81].

Наиболее сложно построена куранахская свита (350—400 м), имеющая четко выраженное двучленное строение. Она трансгрессивно залегает на хамамытской свите, чаще же с несогласием перекрывает различные слои силура и девона. В основании разреза залегает толща ритмично переслаивающихся известковистых аргилитов, организованно-обломочных известняков, гравелитов, иногда с пачками кремнистых пород, пелловых туфов. На некоторых участках в низах свиты обнаружены огромные отторженцы девонских пород [1]. В целом толща в нижней части свиты имеет ярко выраженный оползневой облик. Выше следует известняковая толща с подчиненными прослоями аргилитов, кремнистых пород, сменяющихся вблизи кровли свиты монотонной толщей известковистых аргилитов.

Южнее р. Тыры в бассейне р. Аллах-Юнь куранахская свита на различных участках представлена преимущественно известняками, иногда с

Схема расчленения и сопоставления каменноугольных отложений

Отдел	Ярус	Горизонт	Зона	
			Западно-Верхоянская	Южно-Верхоянская
Верхний	Касимовский Гужельский	Суречанский	Нижняя подсвита кыргытаской свиты	Суречанская свита
			Эжачанский	Эжачанская свита
Средний	Башкирский	Наталинский	Верхняя подсвита импанджинской свиты	Наталинская свита
			Хатынахский	Нижняя подсвита импанджинской свиты
			Серпуховской	Хатынахская свита
Нижний	Вязейский	Турнейский	Нерасчлененные отложения	Овдчанская свита
				Чуучанская свита
				Куранахская свита
				Хамамыйская свита
				Якская свита

линзами и прослоями конгломератов и кремней. Свита хорошо опознается при картировании благодаря наличию в ее составе пластов кремнистых пород, а также органогенно-обломочных известняков. Возраст ее устанавливается по эднестурнейско-ранневязейским по форминиферам *Graptolites graciliosa* E. Zeller, *Tetralaxis angusta* Villis, *Plectambonites* sp. и др. и брахиоподам *Unispirifer laidoniensis* Tolm. и др. [1, 81].

По данным А. П. Кропачева, вышеописанная часть нижнекаменноугольных отложений (якская, хамамыйская и куранахская свиты) в бассейне р. Менкюле отличаются непостоянством литологического состава, резкой изменчивостью осадков как по вертикали, так и по латерали. А. П. Кропачев выделяет здесь несколько типов разрезов: курпанджинский, менкюленский и куранахский [26].

Более высокие горизонты нижнего отдела карбона относятся к верхоянскому комплексу. Представлены они чуучанской и овдчанской свитами. Чуучанская свита (220—250 м) сложена известковистыми песчаниками, алевролитами и глинистыми известняками с прослоями органогенных известняков, содержащих большое количество раковин брахиопод, вязейских форминифер. На некоторых участках свита существенно песчаниковая с линзами и прослоями конгломератов. Она с размывом залегает на сигурийских известняках или на различных горизонтах среднего—верхнего девона. В основании свиты в этом случае содержится ба-

зальные конгломераты (до 4 м) с галькой базальтовых порфиров, черных известняков с фауной девонских табуллит и сигурийских брахиопод.

Чуучанская свита согласно перекрывается осадками овдчанской (400 м), которая развита более широко и представляется известняками алевролитами и аргиллитами. В породах встречаются линзы (0,1 м) кремнистых пород с пиритом и многочисленными конкрециями марказита. Овдчанская свита охарактеризована типичной для серпуховского яруса фауной форминифер, брахиопод и пелципод [81].

Суммарная мощность нижнекаменноугольных отложений в Южно-Верхоянской зоне составляет 1000—1200 м.

В Западно-Верхоянской зоне к нижнему отделу отнесена толща черных известковистых алевролитов с линзами и прослоями (до 2 м) песчанистых известняков, ракушнякав и известково-глинистых сланцев. В нижней части разреза отмечены окремненные алевролиты. Раннекаменноугольный возраст отложений обосновывается остатками брахиопод [66].

НИЖНИЙ—СРЕДНИЙ ОТДЕЛЫ

Хатынахский горизонт (S_1 -гнт) в Южно-Верхоянской зоне соответствует хатынахской свите (120—330 м), которая несогласно залегает на различных слоях сигура—нижнего карбона вдоль западного крыла Южно-Верхоянского синклинория. На всем протяжении свита легко опознается благодаря характерному облику. Она сложена темно-серыми слоистыми алевролитами, иногда переходящими в алевроитистые песчаники с прослоями аргиллитов. Породы слабоизвестковистые. В бассейне рек Кемос-Юрях и Прав. Наталья (бассейн р. Тыры) в породах отмечаются оползневые текстуры. В основании свиты развиты базальные конгломераты с галькой девонских пород. В породах часты крупные конкреции марказита и кристаллы пирита. Свита охарактеризована фауной брахиопод и пелципод серпуховского и башкирского ярусов [68, 76, 80].

В Западно-Верхоянской зоне к хатынахскому горизонту отнесена нижняя подсвита импанджинской свиты, залгающая на нижнекаменноугольных отложениях без видимого несогласия. Нижняя граница проводится по подошве пачки (100 м) песчаников, выше которой лежат черные глинистые алевролиты с подчиненными прослоями песчаников и песчанистых известняков. Отложения охарактеризованы среднекаменноугольной фауной брахиопод и аммоноидей [66, 67]. Мощность отложений 400—500 м.

СРЕДНИЙ ОТДЕЛ

Среднекаменноугольные отложения подразделены на два горизонта: наталинский и эжачанский. Первый относится к башкирскому ярусу, второй — к московскому (табл. 4).

Наталинский горизонт (S_2 гп) в Южно-Верхоянской зоне включает наталинскую свиту, а в Западно-Верхоянской зоне — верхнюю подсвиту импанджинской свиты. Наталинская свита (345—650 м) прослеживается на западном склоне Южного Верхоянья от бассейна р. Томпо до р. Аллах-Юнь. Свита сложена темно-серыми и черными алевролитами с редкими прослойками аргиллитов.

В средней и верхней частях свиты среди мощных монотонных алевролитов присутствуют прослой тонкоочередающихся алевролитов и известковистых песчаников. Стратиграфический разрез выделен по р. Хоспохон (бассейн р. Менкюле) Б. С. Абрамовым. Распространенные в отложениях многочисленные остатки брахиопод и пелципод характерны для башкирского яруса.

В Западно-Верхоянской зоне верхняя подвита имтанджинской свиты (600—800 м) сложена черными глинистыми алевролитами с прослоями песчаников и песчанистых известняков, количество которых возрастает в верхней части разреза. Среднекаменноугольный возраст подвита подтверждается многочисленными находками брахиопод и амmonoидей [67].

Эквачанский горизонт (S_2ck) в Южно-Верхоянской зоне включает эквачанскую свиту, а в Западно-Верхоянской — солончанскую. Эквачанская свита (670—1020 м) прослеживается пологой вдоль западного крыла Южно-Верхоянского синклиналия, от стратопипической местности (бассейн р. Томпо) до бассейна р. Аллах-Юнь. Она сложена алевролитами и арпиллитами с редкими и малоощипными пластинами песчаников и очень похожа на хатганахскую и наталинскую свиты. Нижняя граница эквачанской свиты проводится по подошве пачки (20—100 м) темно-серых линзовиднослонистых песчанистых и известняковистых алевролитов, интoда с линзами органигенных известняков с обильной фауной брахиопод.

Солончанская свита широко развита на междуречье Томпо—Вост. Грaдa, где сталаг своловую часть и юго-западное крыло Баранского антиклинория. Она согласно залегает на имтанджинской свите, сложена чередующимися пластинами песчаников и алевролитов. В основании свиты присутствуют 3—4 пласта (3—5 м) серых мелко-среднезернистых песчаников, выше которых лежат черные алевролиты с редкими пластинами песчаников. В бассейне р. Уяна отскачуют прослой (3—5 м) и линзы правейников и мелкогалечных конгломератов.

Мощность эквачанского горизонта 670—1020 м. Находки брахиопод *Setledavia sternali* Айт., *Orygania naimovi* Сол. и др. определяют, по мнению Р. В. Соломинной, среднекаменноугольный возраст солончанской свиты [63]. По заключению Г. Е. Черняка [81], комплекс остатков брахиопод с *Seriosameta* cf. *colutina* Зау., *Spiriferella laevis* Tschertjak и др. характеризует средне-верхнекаменноугольный возраст эквачанской свиты. Положение рассматриваемых слоев, залегающих под отложениями с верхнекаменноугольными гонититами, может служить основанием для отнесения их к московскому ярусу [63].

ВЕРХНИЙ ОТДЕЛ

Суркечанский горизонт (S_3st) в Южно-Верхоянской зоне включает суркечанскую свиту (335 м), в Западно-Верхоянской зоне — нижнюю подвиту кыгылтасской свиты.

Суркечанская свита выделена Б. С. Абрамовым из состава куканской свиты, которая ранее определялась как нижнепермский. Она представлена массивными темно-серыми алевролитами с редкими прослоями (до 2 м) известковистых серых и темно-серых песчаников. Такой состав свиты характерен для Южного Верхоянья (Томпо-Аллах-Юньского междуречья). Приведенный комплекс брахиопод в стратопипическом разрезе [1] подтверждает верхнекаменноугольный возраст суркечанской свиты.

В Западно-Верхоянской зоне суркечанскому горизонту соответствуют нижнекыгылтаская подвита (200—400 м), согласно залегающая на солончанской свите. Она сложена черными глинистыми алевролитами с редкими тонкими (до 1 м) прослоями мелкозернистых песчаников. Подвита содержит маркирующий пласт (15—20 м) диамиктитов, представляющих собой глинистые алевролиты, насыщенные неокатанскими обломками известняков, доломитов и мергелей, широко распространенных в карбонатном комплексе Сетте-Дабана. По мнению В. Н. Андрианова [3], генезис диамиктитов ледово-морской.

Мощность суркечанского горизонта изменяется от 200 до 400 м. В описанных отложениях собраны остатки брахиопод *Lakatorpodictus chekasoi* Каш. и др. и гонититов, характерных для верхов карбона [63].

ПЕРМСКАЯ СИСТЕМА

Пермские отложения широко распространены в северной и восточной части региона, в пределах Верхоянья. Особенности литологического состава и строения разрезов позволяют выделить в регионе две фациальные зоны: Западно-Верхоянскую (междуречье Тукулан—Томпо) и Южно-Верхоянскую (Томпо-Менкюленское междуречье и бассейн р. Аллах-Юнь). Устанавливается ряд основных участков, где вещество выполнено пермскими образованиями несколько различно, что нашло отражение в выделении здесь разных свит, объединенных в горизонты. В нижней перми выделяются быгантайский и тумаринский горизонты, в верхней — деленжинский и дулгадахский (табл. 5).

Граница между пермскими и каменноугольными отложениями на большей части Верхоянья согласна, проводится по кровле песчаных алевролитов, переходящих в песчаники суркечанской свиты верхнего карбона. Граница эта четко фиксируется фаунистически по смене брахиопод *Vercholanella chekasoi* (Каш.) каменноугольного возраста, пермскими *Lakatorpodictus verchouanicus* (Fred.).

НИЖНИЙ ОТДЕЛ

Быгантайский горизонт (Ры) в Западно-Верхоянской фациальной зоне включает верхнюю подвиту кыгылтасской свиты и эийскую свиту.

Верхнекыгылтаская подвита (400—500 м) сложена чередующимися пластинами темно-серых песчаников и алевролитов, реже арпилитов. Перекрывается она арпилитами эийской свиты. Представлена черными и темно-серыми алевролитами и арпилитами с редкими малоощипными прослоями песчаников. Обычно присутствуют глинисто-карбонатные конкреции. Мощности свиты колеблется от 300 до 500 м, а в Баранском антиклинории (бассейн р. Вабына) увеличивается до 1000 м. Выдержанность литологического состава и обилие фауны определяет ее маркирующее значение в южной части Западного Верхоянья.

В Южно-Верхоянской фациальной зоне быгантайский горизонт объединяет ольчанскую, хаталинскую и бонсалчанскую свиты.

Ольчанская свита (800—1000 м), выделяемая на Томпо-Менкюленском междуречье, согласно залегает на суркечанской. Нижняя ее граница проводится по подошве 60-метрового пласта черных арпилитов, перекрывающих песчанистые алевролиты суркечанской свиты верхнего карбона. Выше лежит пачка глинистых алевролитов (500 м) с двумя обильными пластинами (до 5 м) серых песчаников. Верхняя половина свиты (400—450 м) — темно-серые алевролиты с прослоями известковистых песчаников и кремнисто-глинистых конкреций.

В бассейне р. Аллах-Юнь к быгантайскому горизонту отнесены хаталинская и бонсалчанская свиты. Они имеют преимущественно алевролит-арпилитовый состав и содержат в небольшом объеме пласты мелкозернистых песчаников. Суммарная мощность их варьирует от 1000 до 1900 м.

На междуречье Аллах-Юнь—Юдома горизонт представлен курунгской свитой, сложной переслаивающимися песчаниками и алевролитами мощ-

Схема сопоставления пермских отложений Верхоянья

Общая стратиграфическая схема				Региональные стратиграфические подразделения			
Система	Отдел	Ярус	Горизонт	Западно-Верхоянская фациальная зона	Южно-Верхоянская фациальная зона		
				Междуречье Тукулан—Томпо (по В. Н. Андрианову)	Междуречье Томпо—Менкюле (по Б. С. Абрамову)	Бас. р. Аллах-Юнь (по Б. С. Абрамову)	
Пермская	Верхний	Татарский	Дулгалахский	Дулгалахская свита	Имтачанская свита		
		Казанский			Чамбинская свита		
		Уфимский	Деленжинский	Деленжинская свита	Менкеченская свита	Верхняя подсвита	
						Нижняя подсвита	
		Нижний	Кунгурский	Тумаринский	Тумаринская свита	Побединская свита	Ырчакская свита
			Аргинский		Хабахская свита		
	Аксельский+ сакмарский			Бытантайский	Эчийская свита	Ольчанская свита	Бонсалчанская свита
					Верхняя подсвита кыгылтасской свиты		Хальинская свита

ность свыше 600 м, трансгрессивно залегающей на средне-верхнекамбрийских отложениях.

Возраст горизонта на основании массовых находок *Lakiorodidiks uschoulinicus* (Fred.) считается нижнепермским. Комплекс брахиопод и пелелипод из отложений бытантайского горизонта характерен для нерасчлененных аксельского-сакмарского и аргинского ярусов.

НИЖНИЙ—ВЕРХНИЙ ОТДЕЛЫ

Тумаринский горизонт (P_{1-2tm}) в Западно-Верхоянской фациальной зоне включает хабахскую и тумаринскую свиты (табл. 4).

Хабахская свита (250—300 м) выделена В. Н. Андриановым в бассейне р. Дулгалах, сложена серыми песчаниками, переслаивающимися с темно-серыми и черными алевролитами. Характерно присутствие песчаников «красчатого» облика (за счет многочисленных точечных включений тридоокислов железа).

Тумаринская свита (500—700 м) согласно залегает на хабахской. Нижняя часть разреза (200—250 м) — черные глинистые алевролиты и аргиллиты с редкими прослойками песчаников. Верхняя часть (300—450 м) — алевролиты, переслаивающиеся с мелкозернистыми песчаниками. Характерны грубые, с комковатой текстурой разности. Породы обычно интенсивно пиритизированы, нередко встречаются горизонты сидеритовых конкреций.

В Южно-Верхоянской зоне тумаринскому горизонту соответствует побединская (реки Томпо—Менкюле) и ырчакская свиты (бассейн р. Аллах-Юнь). Побединская свита (500—800 м) согласно залегает на ольчанской. Она сложена чередующимися пластами (5—20 м) черных глинистых и песчанистых алевролитов и песчаников. В верхней половине разреза песчанистые алевролиты отсутствуют. В бассейне р. Аллах-Юнь на этом же уровне развита ырчакская свита, сложенная серыми и темно-серыми песчаниками и алевролитами, реже конгломератами и туфлитами. В нижней части свиты преобладают песчаники, а в верхней — алевролиты. Характерной особенностью свиты является обилие комковатых алевролитов с текстурами взмучивания — результаты подводно-оползневых процессов.

Породы бытантайского горизонта содержат остатки брахиопод и пелелипод (определения Б. С. Абрамова, Р. В. Соломиной и К. А. Урбайтис), которые характеризуют переходный, ринне-позднепермский возраст (кунгурско-уфимское время).

ВЕРХНИЙ ОТДЕЛ

Деленжинский горизонт (P_2dl) на междуречье Тукулан—Томпо (Западно-Верхоянская зона) включает деленжинскую свиту, согласно залегающую на тумаринской. Нижняя часть свиты (600—300 м) представлена в основном темно-серыми и черными алевролитами и аргиллитами с редкими прослойками (0,2—0,5 м) песчаников. В алевролитах встречаются многочисленные глинисто-карбонатные и марказитовые конкреции. Верхняя часть (400—500 м) сложена песчаниками темно-серыми, серыми средне-мелкозернистыми, переслаивающимися с черными алевролитами и аргиллитами. В песчаниках часто наблюдаются поводно-оползневые текстуры. В бассейне р. Хандыта в песчаниках встречаются прослои (0,5 м) каменных углей и линзы (0,1—0,12 м) конгломератов (р. Илин-Делинья).

В Южно-Верхоянской фациальной зоне деленжинскому горизонту соответствует нижняя подсвита (750—1000 м) менкеченской свиты, согласно залегающая на побединской, а в бассейне р. Аллах-Юнь — на ырчакской свите. Она сложена темно-серыми известковистыми песчаниками с редкими

прослоями (2—10 м) черных алевролитов и линз конгломератов. В верхней части подолиты наблюдаются ритмичное чередование черных ариллитов, алевролитов и серых мелкозернистых песчаников (мощность ритмов 20—100 м). Мощность дегенжинского горизонта 750—1100 м.

В средней части горизонта залегает так называемый «колымевый горизонт», состоящий из раковин двустворок *Колмита*. В разных частях горизонта кроме пеллипод собраны многочисленные растительные остатки (определения Н. А. Шведова). Все эти окаменлости не противоречат огнессению вмещающих их отложений к уфимскому ярусу верхней перми. Дуглалахский горизонт (P_2dg) в Западно-Верхоянской фациальной зоне соответствует дуглалахской свите, имеющей четкое двуучленное строение. Нижняя часть свиты (250—350 м) сложена черными ариллитами с многочисленными глинисто-карбонатными и марказитовыми конкрециями и редкими прослоями мелкозернистых песчаников. В алевролитах очень часто встречаются тончайшие углистые прослойки или примазки. В верхней части свиты (250—350 м) преобладают светло-серые разнородные песчаники, нередко с галькой кварца, карбонатных и изверженных пород. Наблюдаются редкие прослой черных алевролитов и линзовидные прослойки (0,1—1 м) гравелитов и конгломератов.

В Южно-Верхоянской зоне на Томпо-Менкюленском междуречье и в бассейне р. Алдах-Юнь дуглалахский горизонт включает верхнюю подолиту менкюленской свиты, а также чамбинскую и имтачанскую свиты. В основании дуглалахского горизонта (верхняя подолита менкюленской свиты — 400 м) — преимущественно темно-серые алевролиты с тонкими прослойками мелкозернистых песчаников. Алевролиты массивные известковистые, содержат различной величины обломки и гальки известняков, кремней, гранитов и других пород. Количество включений обломков пород неравномерное.

Эта толща так называемых «раббинков», является маркером верхнепермских отложений Верхоянья. В прошлом этим отложениям приписывалось ледово-морское происхождение. В последние годы их происхождение связывается с подводно-оползевыми процессами на континентальном склоне, вблизи выходов архейского фундамента и карбонатных толщ древнего шельфа [15]. Особенно ярко эти образования развиты в междуречье Тукулан-Барайы, где насыщенная ими толща даже выделялась Д. М. Натановым в самостоятельную ойурахскую свиту [64].

Средняя часть горизонта (чамбинская свита — 600—900 м) имеет песчанковый состав. Песчаники серые средне- и мелкозернистые с редкими прослоями темно-серых алевролитов, конгломератов и гравелитов.

Имтачанская свита (600—800 м), венчающая разрез перми в данном районе, сложена черными алевролитами и ариллитами, чередующимися со светло-серыми песчаниками и линзами конгломератов с многочисленными растительными остатками.

Общая мощность дуглалахского горизонта 1600—2100 м. Дуглалахский горизонт, включающий перечисленные свиты, содержит многочисленные остатки фауны и флоры, указывающие и на их позднепермский возраст.

Нерасчлененные отложения (P_2) вскрыты Ивановской скважиной в интервале 3388—3508 м. Они залегают на кристаллических породах архея и перекрываются триасовыми отложениями. Представлены чередованием пачек серых кварц-полевошпатовых и полимиктовых песчаников и пачек переслаивания серых алевролитов и темно-серых углистых ариллитов. Позднепермский возраст отложений устанавливается по данным спорово-пыльцевого анализа [83].

ПЕРМСКАЯ И ТРИАСОВАЯ СИСТЕМЫ

Объемленные отложения ($P+T$) выделены только при описании Хочомской скважины [78]. В интервале 481—848 м вскрыта толща песчаников с прослоями алевролитов, ариллитов, конгломератов и гравелитов.

ТРИАСОВАЯ СИСТЕМА

На большей части территории триасовые отложения скрыты под мощным чехлом верхнемезозойских и кайнозойских отложений. Выходы их на поверхность сосредоточены на двух участках: вلود юго-западных склонов Верхоянского хребта и в бассейне верхнего течения р. Томпо.

Выделяются две структурно-фациальные области — Алдано-Вилкойская и Восточно-Верхоянская (рис. 5), характерными являются различными фациальными особенностями, строением разрезов и мощностями толщ. В пределах областей выделены структурно-фациальные зоны и подзоны. В Алдано-Вилкойской области распространены главным образом континентальные и лагунные фации, в Восточно-Верхоянской — морские.

Детальность расчленения триасовых толщ неоднозначна. Наиболее подробно подразделение (по бизон) установлены в составе отложений морского генезиса. Видны незначительной ширины выходы и частично из-за слабой их изученности большинство подразделений триаса объединены на карте до отделов (табл. 6).

НИЖНИЙ ОТДЕЛ

Нижнетриасовые отложения распространены в обеих структурно-фациальных областях. В Алдано-Вилкойской области выделен нерасчлененный нижний триас, в Восточно-Верхоянской — ярус. Почти повсеместно из разреза выпадают базальные слои в объеме оползевых зон.

Индский ярус (T_1) известен в Томпонской зоне. Здесь ему соответствуют лексерская свита [20], с незначительным перерывом залегаящая на верхнепермских отложениях. Разрез свиты имеет риджлическое

Рис. 5. Схема структурно-фациального районирования для триасового периода.

Структурно-фациальные подразделения: 1 — Алдано-Вилкойская, 2 — Восточно-Верхоянская; зоны (буквенные обозначения на схеме): *Вл* — Вилкойская, *Лн* — Ленская, *Пр* — Приверхоянская, *Тл* — Томпонская; подзоны (цифры на схеме): 1 — Тукуланская, *Л1* — Хандыгская, 3—5 — границы структурно-фациальных подразделений: 3 — области, 4 — зона, 5 — под-

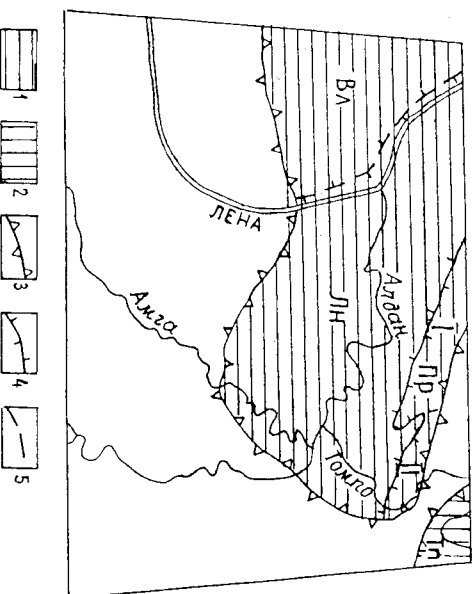


Схема сопоставления триасовых отложений*

Отдел	Ярус	Подъярус	Структурно-фациальные области, зоны, подзоны									
			Зона	Алдано-Виллюйская					Восточно-Верхоянская			
				Виллюйская	Ленская	Приверхоинская						
						Тукуланская	Хандыгская					
				Река Тинкиче	Междуречье Кура—Байбакан—Томло	Река Куранах	Томпонская					
Верхний	Порийский	Верхний	<i>Tosarepten efimovae</i>	Тулурская свита 600—1000 м	Тулурская свита 0—300 м	Т ₃	Кыбытыгаская свита 150—200 м	Кыбытыгаская свита 150—200 м	Отложения не обнажены			
		Средний	<i>Monotis ochotica</i>				Муосучанская свита 200 м	Муосучанская свита 200 м				
			<i>Monotis scutiformis</i>									
		Нижний	<i>Otapiria ussuriensis</i>				Хедаличенская свита 300—420 м	Хедаличенская свита 350—400 м				
			<i>Pterosirenites obruchevi</i>									
	<i>Sirenites jacutensis</i>											
	Карнийский	Верхний	<i>Neosirenites pentastichus</i>			500 м						
		Нижний	<i>Neoprotrachyceras seimkanense</i>									
			« <i>Protrachyceras</i> » <i>omkutchanicum</i>									
			<i>Nathorstites tenuis</i>									
Средний	Ладинский	Верхний	<i>Nathorstites mconelli</i>	Т ₂₊₃	Т ₂₊₃	Т ₂	Толбонская свита 400—500 м	Толбонская свита 420—500 м	Т ₂	Т _{2l}	Сакандинская свита 750—1800 м	
		Нижний	<i>Indigirites krugi</i>				Т ₂					
			<i>Arctoptychites omoloensis</i>									
	Анизийский	Верхний	<i>Intornites oleshkoi</i>			Т ₂						
			<i>Frechites nevadanus</i>									
		Средний	<i>Gymnoceras rotelliformis</i>									
			<i>Arctohungarites kharaulachensis</i>									
			<i>Czekanowkites decipiens</i>									
		Нижний	<i>Lenotropites tardus</i>				400 м					
			<i>Grambergia taimyrensis</i>									
Нижний	Оленекский	Верхний	<i>Olenekites spiniplicatus</i> , <i>Parasiberites grambergi</i>	Т ₁	Т ₁	Т ₁	Сыгынканская свита 100—250 м	Сыгынканская свита 100—400 м	Т ₁	Т _{1o}	Сиренская свита 930—1750 м	
			Нижний				<i>Nordophyceras contrarium</i>	Мономская свита 100—300 м				Мономская свита 120—150 м
		<i>Vajarunia cuomphala</i>										
		<i>Wasatchites tardus</i>										
		<i>Lepiskites kolymensis</i>										
	<i>Hedenstroemia hedenstroemi</i>											
	Индский	Верхний	<i>Vavilovites</i> spp.			Таганджинская свита	Таганджинская свита	Таганджинская свита	400 м	Т _{1i}	Лекеерская свита 320—750 м	
		Нижний	<i>Wordieioceras decipiens</i>			Неджелинская свита 115 м	Неджелинская свита 10—90 м	Неджелинская свита 150—230 м				Неджелинская свита 170—270 м
			<i>Tomphoceras nielsenii</i>									
			<i>Otoceras boreale</i>									
<i>Otoceras concavum</i>												
Подстиляющие отложения			P ₂	P ₂	P ₂	P ₂	P ₂					

* В левой колонке каждого структурно-фациального подразделения показаны индексы стратонов, принятые на карте.

строение. В нижней части свита представлена ардиллитами и алевролитами с тонкой горизонтальной и косой слоистостью. В 200 м от основания она постепенно насыщается песчаным материалом и в верхней половине приобретает признаки песчаниково-алевролитового флиша. Для пород характерны кремнисто-карбонатные и карбонатно-глинистые конкреции, образующие иногда лепочечные горизонты. Отложения охарактеризованы ядрами аммонидей и двустворок, позволяющих установить все зоны индского яруса, кроме нижней [20]. Мощность свиты 320—750 м.

Оленекский ярус (Г₁₀) в полном объеме установлен там же. Местным эквивалентом его является сиреньская свита — второй после лекерской свиты рециклит в разрезе триаса [20]. Она согласно перекрывает лекерскую свиту и имеет трехчленное строение. В нижней и средней частях свиты преобладают ардиллиты и алевролиты, в верхней — песчанники, где они совместно с алевролитами и ардиллитами образуют пакки флишеподобного чередования. Прикровельные горизонты свиты отличаются грубым чередованием пластов песчаников и алевролитов. В базальных горизонтах повсеместно отмечается пласт водорослевых известняков (2—5 м), являющийся региональным стратиграфическим репером нижнеоленских отложений Верхояны. В средней части свиты присутствуют прослои туфоалевролитов и туфопесчаников. Мощность свиты 930—1750 м. Отложения охарактеризованы остатками аммонидей всех зон оленекского яруса [20].

Объединенные отложения (Г₁) вскрыты в Вилюйской и Ленской зонах бурением, а в Приверхоянской зоне выделены по условиям масштаба карты. Они со стратиграфическим несогласием перекрывают верхнепримские отложения.

В Вилюйской и Ленской зонах нижний триас объединяет нежделинскую, таганджинскую, мономскую свиты и нижнюю часть тулурской свиты. В таком же составе нижнетриасовые отложения выделяются и в Приверхоянской зоне, только низам тулурской свиты здесь соответствует сытынканская свита.

Разрез нижнего триаса начинается пестроцветными ардиллитами и алевролитами, включающими прослой мелкозернистых песчаников, туфов базальтов и туфитов (нежделинская свита). Базальные горизонты ее сложены гравелитами, часто с галькой халцедонов. В бассейне рек Келе, Тукулан, Байрай в низах свиты присутствуют покровы диабазов и диабазовых порфиритов мощностью до 20 м. Характерным признаком свиты является насыщенность ее эллипсообразными кремнисто-глинистыми и шарообразными карбонатно-глинистыми конкрециями. В Приверхоянской зоне в составе ее выделяются прослой и линзы межформационных конгломератов с галькой глинистых пород. Мощность этой части разреза в Вилюйской зоне 90—112 м, в Приверхоянской — до 150—270 м. Отложения охарактеризованы остатками конхострак, редких пресноводно-лагуновых двустворок и брахиопод. Возраст свиты с точки зрения условия определяется раннеиндским [39].

Вышегжащая толща (таганджинская свита) представлена мелко-среднезернистыми песчаниками серой и зеленовато-серой окраски, включающими прослой алевролитов, ардиллитов и конгломератов. Песчаники аркозовые, полимиктовые, содержат многочисленные обломки и гальку глинистых пород, косослоистые. В подошве слоев часты глубокие (до 1 м) эрозийные врезы. Фациальные изменения выражены в возрастной роли тонкообломочных пород с запада на восток Агдано-Вилюйской области. В Приверхоянской зоне количество их в составе свиты уже достаточно велико. Максимальной мощностью (520 м) свита характеризуется в центральной части Вилюйской зоны, резко сокращается (первые десятки мет-

ров) к востоку и вновь возрастает (до 200—400 м) в Приверхоянской зоне. Отложения охарактеризованы остатками конхострак, редких пресноводно-лагунных двустворок и беззачемовых брахиопод [39]. Позднеиндский возраст свиты определяется большей частью ее стратиграфическим положением.

Основным маркирующим горизонтом в средней части нижнего триаса в пределах Агдано-Вилюйской области является мономская свита. В Вилюйской зоне она представлена континентальными фациями, которые в направлении к северо-востоку постепенно становятся более морскими и в Тукуланской подзоне полностью замещаются морскими образованиями. Основная роль в сложении свиты принадлежит ардиллитам и алевролитам, на западе области часто красноцветным, на востоке — сероцветным. В разных количествах, в зависимости от структурного положения свиты, в составе ее присутствуют прослой и линзы мелкозернистых песчаников. Особенно велика их роль на борту Вилюйской синклизы. Для свиты характерны многочисленные крупные карбонатно-глинистые конкреции, линзы глинистых известняков-ракушечников. Мощность свиты непостоянна: в центральной части Вилюйской зоны она составляет 200—300 м, сокращаясь к востоку до первых десятков метров. В Приверхоянской зоне мощность 100—300 м.

Палеонтологическая характеристика свиты неоднородная: в Вилюйской и Ленской зонах и Хандыгской подзоне она охарактеризована конхостраками, реже прямыми наутиллоидеями; в Тукуланской подзоне породы содержат богатые комплексы аммонидей, двустворок, брахиопод и пастропод, позволяющие провести зондальное расчленение и определить раннеоленекский возраст свиты.

Сытынканская свита [4] устанавливается в Тукуланской и Хандыгской подзонах. В Ленской и Вилюйской зонах ей соответствует нижняя часть тулурской свиты. Сытынканская свита имеет двухчленное строение: нижняя пачка (20—180 м) сложена зеленовато-серыми мелкозернистыми песчаниками с прослоями конгломератов, верхняя (50—120 м) — алевролитами с прослоями песчаников. Породы насыщены растительным детритом, мелкими конкрециями марказита. Мощность свиты увеличивается с северо-запада на юго-восток от 100 до 400 м. Породы охарактеризованы остатками конхострак. Возраст свиты принят позднеоленекским.

Соответствующая сытынканской свите нижняя часть тулурской свиты [41] представлена разномзернистыми пестроцветными песчаниками полимиктовыми, реже кварц-полевощапатовыми, слоистыми, насыщенными углестым материалом на плоскостях напластования. Мощность толщи в Вилюйской зоне около 150 м, резко сокращается (десятки метров) к окраинным участкам зоны.

СРЕДНИЙ ОТДЕЛ

Он выделен в Приверхоянской (нрасчлеченные отложения) и Томпонской (ярус) зонах.

Аназайский ярус (Г_{2а}) в Томпонской зоне охватывает бабранскую свиту. Она согласно перекрывает сиреньскую свиту и имеет существенно песчанниковый состав. Свита характеризуется отчетливым рециклическим строением. В разрезе ее пласты и пакки песчаников, реже алевролитов чередуются с пакетами тонкого переставленного песчаников и алевролитов. Песчаники преобладают в нижней трети свиты и в верхней. Они серые и зеленовато-серые, массивные и косослоистые, мелко- и среднезернистые, полимиктовые. Тонкообломочные различия обычно тонкополосчатые. Мощность в пределах Томпонской зоны изменяется от 750 до 1850 м. Свита

достаточно полно охарактеризована остатками аммонидей, позволяющих установить ее возрастной интервал в полном объеме аннэиза [20].

Длинный ярус (T_2) установлен там же в объеме сакандинской свиты, имеющей алевролито-песчанниковый состав. Свита представляет собой мощный речниклит, в нижней половине которого широко развиты флишоподные пачки, чередующиеся с пластами песчаников и алевролитов, а в верхней — песчаники серые, зеленовато-серые и светло-серые, мелко- и среднезернистые, полимиктовые. Они содержат редкие прослои конгломератов и рассеянную гальку кварца. Мощность свиты в стратотипе 906 м. В пределах Томпонской зоны она довольно резко изменяется от 750 до 1800 м, возрастая к северо-востоку. Длинский возраст свиты определяется стратиграфическим положением [41].

Нерасчлененные среднетриасовые отложения (T_2) присутствуют в Приверхоанской зоне. Они соответствуют толбонской свите, сложной разнообразными песчаниками и конгломератами. В незначительном количестве в нижней половине свиты присутствуют алевролиты. Песчаники плохоотсортированные, разнозернистые, косослоистые, с многочисленными конкрециями марказита, с рассеянной полимиктовой галькой и обломками глинистых пород, с крупными обуглившимися стволами неокальмитов (1—2 м) и углелигнированными и минерализованными остатками листовой флоры, с обилием пленок гидроксилов железа на выветрелых поверхностях. В подошве прослоев песчаников часты следы размылов, знаки течений и эрозийные врезы (0,5—1 м). К базальным частям листов песчаников приурочены обычно прослои конгломератов и брекчий, особенно многочисленны в верхней половине свиты.

Толбонская свита характеризуется резкой фацциальной изменчивостью по laterали. Зачастую варьируют значения роли алевролитов и конгломератов, изменяется характер строения разрезов. Мощность 400—500 м. Палеонтологически свита охарактеризована слабо: редко встречаются ядра пресноводных двустворок, чаще — конхостраки и остатки растений. Возрастной объем свиты соответствует среднему триасу [4].

СРЕДНИЙ И ВЕРХНИЙ ОТДЕЛЫ

Объединенные средне- и верхнетриасовые отложения (T_{2+3}) выделены в Адлано-Вилнойской области. В Вилнойской и Ленской зонах они вскрыты в глубоких скважинах и соответствуют тулурской свите (без низов). В Приверхоанской зоне по условиям масштаба карты объединены отложения среднего отдела, соответствующие толбонской свите, и верхнего отдела, соответствующие хедлической, мусочанской и нижней части кыбытыгаской.

Тулурская свита в нижней и верхней частях сложена серыми и светло-серыми разнозернистыми песчаниками полимиктовыми или полеволитат-кварцевыми, с постоянными включениями гальки кварца и кремней, с углесто-слоистым материалом на плоскостях настижения и скоплениями кристаллов пирита. На разных уровнях содержится прослой алевролитов и армилитов. В средней части свиты обособливается пачка чередования армилитов, алевролитов и мелкозернистых песчаников. Кровля пачки условно считается границей среднето и верхнего триаса. Прикровельные части свиты обычно представляют собой кору выветривания, сложную разнозернистыми кварцевыми песчаниками светлосерой и белой окраски, с маломощными прослоями правелитов, конгломератов и серых каолинизированных глин. Мощность изменяется от 600 до 1000 м. Породы охарактеризованы в нижней части остатками конхострак, выше — растений [41].

Объединенные верхнетриасовые отложения (T_3) закарпированы в Приверхоанской зоне. В Тукуланской подзоне и на северо-западе Хандыгской они объединяют хедлическую, мусочанскую и кыбытыгаскую (нижняя часть) свиты, которые представляются континентальными фациями и образуют мощную песчаниковую толщу.

Нижняя ее часть (хедлическая свита) сложена серыми и светло-серыми мелкозернистыми песчаниками существенно кварцевого состава, включающими прослои алевролитов, крупнозернистых и гравийных песчаников и конгломератов, линзы сидеритов, конкреции марказита, рассеянную гальку кварца. В нижней половине свиты заметна роль алевролитов. Нижняя граница свиты (и верхней отдела) проводится в подошве первой мощной (15—50 м) пачки алевролитов. Мощность свиты 300—420 м. Максимальные значения она имеет на востоке подзоны. Породы содержат редкие остатки листовой флоры. Возраст свиты принимается карнийским [39].

Выше с размывом на них залегают существенно кварцевые песчаники (мусочанская свита) светло-серые, белые, реже буроватые, кварцито-видные, часто косослоистые. Песчаники насыщены рассеянной галькой кварца и кремней, количество которой возрастает от подошвы к кровле свиты. Для нижней и верхней частей разреза характерны прослои и линзы конгломератов, состоящих из хорошоокатанной гальки кварца и кремней, в средней части прослои тонкопелосчатых алевролитов и армилитов. Породы содержат остатки листовой флоры. Мощность 140—200 м. Возраст свиты принимается ранне-средненорийским [39].

Завершает разрез верхнего триаса нижняя часть кыбытыгаской свиты, залегающей с размывом на мусочанской свите. В основании ее часто прослеживается горизонт конгломератов (0,5 м). Свита сложена песчаниками, алевролитами, конгломератами, правелитами, редкими прослоями глинистых песчаников. В нижней половине разреза преобладают алевролиты, чередующиеся с разнообразными песчаниками, в верхней — песчаники и конгломераты. Песчаники обычно серые, темно-серые, буроватые, мелкозернистые, горизонтально- и косослоистые, насыщены углелигнированными распыленным детритом, встречаются остатки корневой системы, в подошвах листовых части знаки раби. В песчаниках постоянно присутствует примесь травянистого материала, части глинистые конкреции. Песчанность толщи возрастает с северо-запада на юго-восток Тукуланской зоны. Мощность свиты 150—200 м. Отложения охарактеризованы остатками двустворчатых моллюсков, типичными для надмонгольских слоев норийского яруса [41].

На юго-востоке Хандыгской подзоны верхнему триасу соответствует толща средне-крупнозернистых песчаников розоватой и кремово-серой окраски с прослоями и линзами правелитов и конгломератов. Для пород характерны косослоистые текстуры. Мощность 500 м.

Нерасчлененные триасовые отложения (T_3) вскрыты Ивановской скважиной в Адлано-Вилной области. Это песчаники с прослоями конгломератов, алевролитов и армилитов, охарактеризованные остатками в нижней части раннетриасовых конхострак, выше — средне-позднетриасовой листовой флоры. Мощность отложений 350 м.

ДОЮРСКАЯ КОРА ВЫВЕТРИВАНИЯ ($T_3?$)

В ряде пунктов (правобережье р. Ботома, бассейн рек Маз, Адлан) известна кора выветривания. Она описана под отложениями нижних горизонтов укугугской свиты нижней юры. Процессы гипергенеза (короб-

разования, окисление и т. д.) развиваются на карбонатных породах кембрия, а также на породах архея и рифея. По данным Э. А. Шамшиной и др. (1975 г.), кора выветривания на кембрийских карбонатных породах развита повсеместно в пределах восточной части Сибирской платформы. Чаще всего она размыта, и сохранившаяся ее мощность составляет от 1 до 15 м. Глинистые минералы в коре представляются остаточной гидратированной гидрослюдой и продуктами ее изменения: монтмориллонитом и смешанными минералами: монтмориллонит—гидрослюда.

В верхней части коры выявляется каолинит. Присутствие различных составных компонентов определяет чаще гидрослюдисто-монтмориллонитовый с каолинитом состав коры выветривания.

На левобережье р. Алдан против устья р. Белая В. С. Прокопьевым [127] изучен разрез доюрской коры выветривания, где на известняках устьмайского свиты среднего—верхнего кембрия залегают: правелиты, ва-лунды, песчано-глинистая смесь (0,25 м); выше лежит слой (4 м) глины гидрослюдистой с каолинитом зеленоватого-голубого, красного и оранжевого цвета. Она перекрывается терригенными породами нижней юры. Глинистые минералы в коре выветривания здесь представлены гидрослюдой (монтмориллонитом) и каолинитом.

Возраст кор выветривания определяется предположительно как конец триаса, так как они перекрывают нижнеюрскими породами, а наиболее молодыми породами, подвергшимися выветриванию, являются раннетриасовые доломиты. Кора выветривания этого времени широко распространена в восточной части Сибирской платформы и связана с эпохой регионального переурыва осадконакопления, выравнивания обширных пространств и активной процессом корообразования [13, 15].

ЮРСКАЯ СИСТЕМА

Юрские отложения широко распространены на всей территории, занимая наиболее обширные площади в южной ее половине. Они представлены преимущественно терригенными породами как морского, так и континентального происхождения. Выделяются три структурно-фациальные области, разделенные на зоны и подзоны (рис. 6).

Расчленены юрские отложения достаточно детально, с выделением свит (табл. 7), возраст которых в большинстве случаев палеонтологически обоснован. На карте они по условиям масштаба, реже из-за слабой изученности иногда объединены до отсегов.

НИЖНИЙ ОТДЕЛ

Нижнеюрские отложения в объеме уккугутской и сунтарской свиты выделены в Южно-Вилкойской и Приленской зонах, в Амгинской зоне установлены уккугутская и красноалданская свиты. На остальной территории выделены нерасчлененные нижнеюрские отложения.

Уккугутская свита (J₁к) со стратотипом в бассейне Вилкы [39] распространена в основном в Алданской и Вилкойской (Южно-Вилкойская зона) структурно-фациальных областях. Она повсеместно с резкими стратиграфическим несогласием залегает на разновозрастных (архей, рифей, кембрий, триас, участками доюрская кора выветривания) отложениях и представлена терригенными образованиями, главным образом континентально-таляного происхождения.

На большей части территории разрез свиты имеет двухчленное строение. В нижней половине совместно с разнотерригенными (до грубозернистыми),

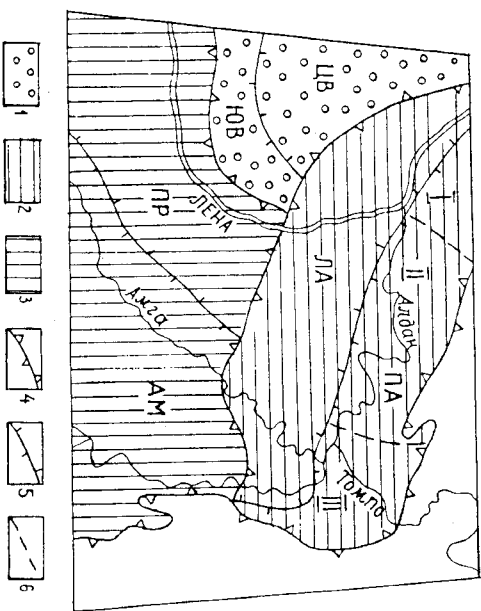


Рис. 6. Схема структурно-фациального районирования для юрского периода.

Структурно-фациальные подразделения: 1—3 — области: 1 — Вилкойская, 2 — Приверхоянская, 3 — Алданская; зоны (буквенные обозначения на схеме): ЦВ — Центрально-Вилкойская, ЮВ — Южно-Вилкойская, ПР — Приленская, АМ — Амгинская, ЛА — Ленолданская, ПА — Праволданская; подзоны (цифры на схеме): 1 — Китянская, 2 — Тукталанская, 3 — Хандаланская; 4—6 — границы структурно-фациальных подразделений; 4 — областей, 5 — зон, 6 — подзон.

часто косослоистыми песками и песчаниками широко распространены конгломераты и гравелиты, сложенные хорошоосаженной галькой терригенных, карбонатных, метаморфических и изверженных пород. Части включения углефицированных стволов деревьев, мелкого растительного детрита, марказитовых конкреций, угля. В верхней половине преобладают разнотерригенные (до средне-крупнозернистых) песчаники, часто косослоистые, с марказитовыми конкрециями, с редкими линзовидными прослоями конгломератов и углей. Вверх по разрезу уменьшается зернистость пород и увеличивается их известковистость. В составе тяжелой фракции пород отмечается большое количество граната, пирита, дистена и ставролита.

Датеральная изменчивость свиты выражена в смене грубой гранулометриии пород на западе территории более мелкой на востоке. Мощность ее изменяется в этом же направлении от 100 м в бассейне Синей до 300 м в бассейне Алдана. Ранне-среднеплейстоценовый возраст уккугутской свиты устанавливается на большей части площади по ее стратиграфическому положению и палеонтологической характеристике [25].

На востоке Амгинской зоны и на юге Хандаланской подзоны уккугутской свиты в полном объеме соответствует толща, сложенная средне-крупнозернистыми песчаниками с линзовидными прослоями и линзами правелитов и конгломератов общей мощностью 225 м, относимая разными авторами к уккугутской [62, 98] или килляхской [70, 75] свите.

Красноалданская свита (J₁к'), имеющая стратотип на р. Алдан, распространена в Амгинской зоне и соответствует длинбасхой части уккугутской свиты. Она согласно, местами с незначительным разрывом перекрывает уккугутскую свиту. В составе свиты преобладают песчаники,

СХЕМА СОПОСТАВЛЕНИЯ ЮРСКИХ ОТЛОЖЕНИЙ *

Отдел	Структурно-фациальные области, зоны, подзоны												
	Волжская			Алданская			Приверховнская			Правобалтийская			
Ярус	Центрально-Волжская			Южно-Волжская			Присенская			Амгинская			
	Лендолданская			Китаянская			Турулданская			Хондильская			
Верхний	Волжский	Беренгская свита 220—570 м			Беренгская свита 200—380 м			Отложения отсутствуют			Сытоинская свита 120 м		
	Камеражский	Марьячанская свита 100—200 м			Марьячанская свита 80—160 м			Отложения отсутствуют			Марьячанская свита 140 м		
	Октябрьский	Нижневолжская свита 130—330 м			Нижневолжская свита 130—320 м			Отложения отсутствуют			Нижневолжская свита 220 м		
Средний	Ватский	Охтаканская свита 130—350 м			Якутская свита 100—300 м			Якутская свита 100—300 м			Суджжинская свита - J _{2sg}		
	Давосский	Верхний			Верхний			Верхний			Верхний		
	Алганский	Верхний			Верхний			Верхний			Верхний		
Нижний	Тарский	Сунтарская свита 45—50 м			Сунтарская свита 45—50 м			Сунтарская свита 23—45 м			Алтайская свита 20—25 м		
	Принсбахский	Кзылджарская свита 180—360 м			Ухутугская свита 150 м			Ухутугская свита 300 м			Краснодланская свита 130—150 м		
	Синеморский	Верхний			Верхний			Верхний			Верхний		
Леганский	T ₃			PZ			PZ			PZ			
	T ₃			PZ			PZ			PZ			
Верхний	Волжский	Беренгская свита 200—380 м			Беренгская свита 200—380 м			Беренгская свита 200—380 м			Беренгская свита 200—380 м		
	Камеражский	Марьячанская свита 100—200 м			Марьячанская свита 80—140 м			Марьячанская свита 80—140 м			Марьячанская свита 40—130 м		
	Октябрьский	Нижневолжская свита 130—330 м			Нижневолжская свита 130—320 м			Нижневолжская свита 40—150 м			Нижневолжская свита 80—150 м		
Средний	Ватский	Охтаканская свита 130—350 м			Якутская свита 100—300 м			Якутская свита 100—300 м			Суджжинская свита - J _{2sg}		
	Давосский	Верхний			Верхний			Верхний			Верхний		
	Алганский	Верхний			Верхний			Верхний			Верхний		
Нижний	Тарский	Сунтарская свита 45—50 м			Сунтарская свита 45—50 м			Сунтарская свита 23—45 м			Алтайская свита 20—25 м		
	Принсбахский	Кзылджарская свита 180—360 м			Ухутугская свита 150 м			Ухутугская свита 300 м			Краснодланская свита 130—150 м		
	Синеморский	Верхний			Верхний			Верхний			Верхний		
Леганский	T ₃			PZ			PZ			PZ			
	T ₃			PZ			PZ			PZ			

Примечания. 1. Решением МСЖ (1996 г.) келловейский ярус переведен в состав среднего отдела юры. 2. В левой колонке каждого структурно-фациального подразделения приведены названия стратонавой общей шкалы и местных единиц, принятые на карте.

чередующиеся с прослоями алевролитов и аргиллитов. Песчаники желто-новато-серые, мелко-среднезернистые, полимиктовые, часто известковатые. Обломочный материал песчаников плохосорпированный и слабоокатанный, обычно они козослоистые. Характерны мелкие марказитовые конкреции и более крупные каравасообразные конкреции известковых песчаников. На востоке Амгинской зоны в низах свиты присутствуют прослои гравелитов и конгломератов. В комплексе акцессориев преобладают антаз, брукит, циркон, рутил, гранат. Мощность 130—150 м. Многоцистенные остатки двусторчатых и головоногих моллюсков определяют позднеплинбеахский возраст красноалданской свиты [41].

Сунтарская свита (*S_{1st}*), стратотип которой установлен в бассейне Вилюя, уакой погосой выходит на поверхность вдоль южного обрамления Южно-Вилюйской и на севере Приленской зон. Она согласно, местами с небольшими разрывами перекрывает уккутскую свиту.

Свита характеризуется однообразным составом, выдержанной мощностью, однородными промыслово-геофизической и палеонтологической характеристиками на обширной площади. Сложена аргиллоподобными глинами и листоватыми аргиллитами, содержащими редкие прослои песков, песчаников и алевролитов. Местами в основании разреза встречаются грубоокатанные гальки кремней, агатов и изверженных пород. Части конкреции сидеритов, маломощные ценочные горизонты конкреций известковых песчаников и стяжений песчанистых и пелитоморфных известняков. Благодаря своему линистому составу, сунтарская свита является одним из основных изолирующих горизонтов в Лено-Вилюйской газонесущей области. Свита в целом фациально выдержана, незначительное насыщение ее песчаным материалом намечается в Южно-Вилюйской зоне. Мощность возрастает от 25 до 45 м с запада на восток.

Повсеместно свита охарактеризована остатками двустворок и бемелитов, а на соседней с северо-запада территории — и аммонитидей. Комплексы фаун устанавливают тоарский и, возможно, раннеалденский возраст свиты [23, 39].

Объединенные нижнеюрские отложения (*J₁*) выделены в Вилюйской и Приверхоанской областях. По литофациальной и палеонтологической характеристикам они полностью отвечают расчлененным отложениям этого региона.

В Центральнo-Вилюйской зоне лeйас объединяет кызылырскую и сунтарскую свиты. Кызылырская свита [41] с перерывом залегает на триасовых белых каолинизированных песчаниках. Базальные слои ее представлены пачкой (5—25 м) темно-серых аргиллитов с прослоями алевролитов и песчаников, вышележащая часть — песчаниками с прослоями алевролитов и аргиллитов. В разрезе отчетливо наблюдается смена континентальных фаций морскими снизу вверх. Морские образования охарактеризованы комплексом плинбеахских двустворок. Мощность возрастает от 180 м на западе Центральнo-Вилюйской зоны до 360 м — на востоке, где является максимальной.

Сунтарская свита, как и в других регионах, имеет существенно глинистый состав. Мощность 45—50 м. Суммарная мощность нижнеюрских отложений в пределах Центральнo-Вилюйской зоны увеличивается с запада на восток от 225 до 410 м.

В Левовалданской зоне вскрыты в скважинах нижнеюрские отложения объединяют уккутскую и красноалданскую свиты, представляющие типичными для них комплексами пород и окаменелостей. Мощность 300—500 м.

Несколько иная литофациальная характеристика и стратификация приущи нижнеюрским отложениям Правовалданской зоны. В Тукуланской

подзоне в составе лeйаса выделены: верхняя часть грубообломочной кыбытыгской свиты мощностью 70—100 м (геттан—синемор), песчаниковая элондженская свита мощностью 140—530 м (нижний плинбеах), алевролитово-песчаниковая семидынская свита мощностью 220—270 м (низы верхнего плинбеаха) и алевролитовая байбыканская свита мощностью 62 м (верхний плинбеах). С верхнетриасовыми отложениями нижнеюрские связаны постепенный переходом (кыбытыгская свита). Верхняя возрвстная граница нижнеюрского терригенного комплекса в этой зоне соответствует концу плинбеаха. Мощность 500—1000 м.

В Хандыгской подзоне нижнеюрские слои объединяют конгломератово-песчаниковую уккутскую (кыляхскую, 300 м) и существенно алевролитовую красноалданскую (200 м) свиты. Нижнеюрская толща согласно перекрывает грубозернистые верхнетриасовые отложения. Низы ее охарактеризованы остатками растений, верхи — морскими окаменелостями. Возрастной объем толщи ограничивается ранним—средним лeйасом. Суммарная мощность 700 м.

СРЕДНИЙ ОТДЕЛ

В его составе в Южно-Вилюйской и Приленской зонах установлены якутская, а в Амгинской и Левовалданской зонах — сугджинская свиты. В Приверхоанской области и Центральнo-Вилюйской зоне, главным образом по условиям масштаба, выделены нерасчлененные среднеюрские отложения.

Якутская свита (*J_{2sg}*) со стратотипом в районе г. Якутск распространена на юге Южно-Вилюйской и северо-востоке Приленской зон. Она с незначительным разрывом и горизонтом конгломератов (0,5—0,8 м) или гравийных песчаников (10—20 м) в основании перекрывает нижнеюрские образования и представлена континентальными, реже прибрежно-морскими фациями. Преобладают мелко-среднезернистые песчаники и пески, включающие прослои и линзы алевролитов, аргиллитов, глины и известковистых песчаников, маломощные линзы углей, обломки древесины и растительный детрит. Мощность от 100 до 300 м. По стратиграфическому положению и палеонтологической характеристике [25] возраст якутской свиты определяется алдемом—батором.

Сугджинская свита (*J_{2sg}*), имеющая стратотип по р. Алдан, широко распространена, главным образом в северной и восточной частях Амгинской и на востоке Левовалданской зон. Она с перерывом и горизонтом конгломератов в основании (0,4 м) трансгрессивно перекрывает красноалданскую свиту нижней юры.

Свиту слогают песчаники мелкозернистые, сероцветные, иногда бурые, часто козослоистые, с прослоями и прорывистыми горизонтами линз известковистых песчаников. Алевролиты и аргиллиты присутствуют в виде редких и маломощных прослоев (1 м) обычно в нижней половине свиты. Характерны антраконитовые и марказитовые конкреции. Свита представлена исключительно морскими фациями. Породы в значительных количествах содержат остатки двустворок (в основном митилоцерамиды) и морских ежей, отпечатки морских звезд, членики лилий [25]. Мощность свиты возрастает с запада на восток Амгинской зоны от 165 до 330 м. Возраст соответствует алдену, байосу и бату.

В последние годы в бассейне Алдана в составе среднеюрских отложений выделена апайская свита [41], с прослоями залегающая на красноалданской свите и согласно перекрывающаяся песчаниками сугджинской свиты. Она сложена алевролитами и аргиллитами с редкими прослоями мелкозернистых песчаников. Породы охарактеризованы остатками алден-

ских двусторонних. Мощность 20—25 м. Ранее эта пачка ошибочно относилась к тоарским отложениям [25]. Ввиду незначительной мощности, близости возраста и литологического состава, она включена в состав сулджинской свиты.

Объединенные отложения (J₂) выделены в Центральнo-Вилнойской зоне (в скважинах) и в Приверхоанской области.

В Центральнo-Вилнойской зоне доггер установлен в составе октаханской свиты [39]. Толща без видимого перерыва залегает на султарской свите и представлена в основном косослоистыми песчаниками с крупными обломками древесины и прослоями аргиллитов, сменяющимися вверх по разрезу мелкозернистыми песчаниками с прослоями алевролитов. Крупные горизонты сложены светло-серыми песчаниками с включениями обугленных и окаменелых растительных остатков, редких и тонких прослоев аргиллитов и углей. Остатки морской фауны сосредоточены в нижней и средней частях разреза, выше которых прибрежно-морские мелководные фации сменяются континентальными. Мощность доггера возрастает от 130 м на западе зоны до 350—450 м — на се востоке. Возрастной объем толщи ограничивается серединой аалена—концом бата.

В Праводланской зоне стратиграфия средней коры разработана более подробно. В Китчанской и Тукудланской зонах в составе доггера выделены следующие местные литостратиграфические подразделения: алевролитово-глинистая билдхская (30—80 м, нижний аален и, возможно, верхи тоара), алевролитово-песчаниковая нолькочанская (180—200 м, верхний аален—нижний байос) и песчаниковая иванчанская (110—150 м, верхний байос—бат) свиты. Общая мощность среднеюрского терригенного комплекса 320—430 м. Он с размытым перекрывает нижнеюрские отложения (бай-бяканская свита), представляет морскими фациями и обладает «репрессивным» характером разреза. Возрастной объем комплекса соответствует аалену, байосу и бату.

ВЕРХНИЙ ОТДЕЛ

Верхнеюрские объединенные отложения (J₃) распространены в Вилнойкой и Приверхоанской областях. На большей части территории они вскрыты разведочными скважинами. Отдельные выходы их на поверхность известны в Южно-Вилнойкой и Левовалданской зонах, а в северо-восточном и восточном обрамлении Правовалданской зоны поля развития верхнеюрских отложений пространственно тесно сопряжены с выходами ниже- и среднеюрских пород, вписываясь в общий рисунок структурного плана.

Практически однородный угленосный терригенный верхнеюрский комплекс непрерывно наращивает разрез средней юры. Повсеместно отложения представляются континентальными фациями, и только на юго-востоке Приверхоанской области верхи разреза сложены морскими терригенными образованиями.

В составе верхнего отдела выделяются согласно перекрывающиеся друг друга нижневилнойская, марыкчанская и бергенская свиты [39], прослеживающиеся почти на всей территории Вилнойкой и Приверхоанской областей, за исключением юго-востока последней, где верхи континентальной бергенской свиты замещаются морской сытопинской свитой.

Нижневилнойская свита сложена светло-серыми кварц-песчаной среднезернистыми песчаниками, включающими прослои алевролитов и аргиллитов. Обычно песчаники грубослоистые, редко косослоистые, скоплениями углестого деприта на плоскостях наклонения, с многочисленными включениями обугленных и окаменелых растительных остатков,

линеями и тонкими прослоями углей. В нижней части свиты встречаются отпечатки позднеюрских папоротников. Мощность свиты изменяется от 530 м на западе до 90—150 м на востоке.

Марыкчанская свита отливается более тонким составом. Она представлена толщей часто чередования углестых аргиллитов, глинистых алевролитов и серых мелкозернистых песчаников. Изредка встречаются прослои каменных углей. Породы тонкослоистые. Присутствуют отпечатки позднеюрских растений. Мощность свиты составляет 80—170 м.

Бергенская свита образована чередующимися мощными (20—70 м) пластинами мелко- и среднезернистых белесых песчаников и пачками (15—30 м) переслаивающихся песчаников, алевролитов и аргиллитов. Свита является промышленно-угленосной. В разрезе ее насчитывается 5—7 пластов каменного угля рабочей мощности (0,5—2,5 м). Породы охарактеризованы остатками позднеюрских растений. Мощность свиты 570—190 м, сокращается с запада на восток.

Сытопинская свита [39] с размытым и трансгрессивно налегает на континентальные образования марыкчанской свиты. В бассейнах рек Сытога и Томпурж преобладают серые средне- и крупнозернистые песчаники, включающие единичные прослои алевролитов и аргиллитов и редкие обломки обугленной древесины. В базальных частях свиты отмечается обильная галька кварца и щебень глинистых пород, образующие иногда маломощные прослои. Породы охарактеризованы остатками морских беспозвоночных, определяющих волжский возраст свиты. Мощность 100—120 м.

Общая мощность верхнеюрских отложений изменяется от 370—400 м на юге Центральнo-Вилнойкой и Левовалданской зон до 900 м на севере этих зон.

МЕЛОВАЯ СИСТЕМА

Меловые отложения представлены комплексом континентальных угленосных отложений, распространяющихся в пределах Приверхоанского прогиба, Вилнойкой синеклизы и северного склона Алданской антеклизы. Они, расчленены на свиты, выделение которых основывается как на литолого-фациальных признаках, так и на палеофлористических данных. В структурно-фациальном отношении меловые отложения принадлежат к единой Лено-Вилнойкой фациальной области. Расчленение этих отложений проведено с учетом Решения 3-го Межведомственного регионального стратиграфического совещания (1981 г.).

НИЖНИЙ ОТДЕЛ

Выходы раннемеловых отложений окаймляют Вилнойскую синеклизу на северо-западе региона, а на границе Приверхоанского прогиба с Верхоаньем образуют узкие, иногда дислоцированные поля во внутренней зоне прогиба. Они представлены мощной континентальной угленосной толщей, делящейся на три свиты: батальхскую (угленосную), эксеняхскую (песчаниковую) и хатырыкскую (угленосную). Возрастная граница юры и мела устанавливается по изменению таксономического состава комплекса тафофлоры. В некоторых районах положение этой границы коррелируется со сменой минералогического состава тяжелой фракции песков, в составе которых резко преобладает эпидот, присутствующий в верхнеюрских отложениях в ничтожных количествах.

Батальхская свита (К_{1b}) выделена А. Г. Косовской и В. А. Вахрамеевым в 1957 г. на возвышенности Батлы-Хая, восточнее пос. Сан-

гарты. Она представлена разнозернистыми песками и песчаниками зеленоватого-серого и серого цвета, массивными, иногда толстоплитчатыми, с мелкой галькой. Встречаются прослои алевролитов и углей. Батальхская свита подразделяется на две подбиты.

Нижняя подбита (900 м) — ритмичное чередование песчаников и песков (от 5—20 до 60—100 м) с алевролитами (от 5—10 до 20—25 м) и бурыми углями (0,2—1,6 м). Глинистые породы и бурые угли распространены по разрезу довольно равномерно и составляют от общего объема пород 27—30 %. Постоянно в разрезе присутствуют известково-песчанистые крупные стяжки.

Верхняя подбита (600—750 м) состоит из серых песчаников с прослоями уплотненных песков и алевролитов. В верхней части подбиты прослои алевролитов более частые. Резко сокращается количество угловатых пластов, приуроченных в основном к верхней части разреза. Отмечаются мало-мощные линзы (0,1 м) внутриформационных конгломератов с галькой кварца, кремней, песчаников и алевролитов. Мощность батальхской свиты колеблется от 350 до 960 м. Многочисленные остатки растений и пресноводных палеонтоид определяют возраст батальхской свиты как неокон.

Экссеньская свита (*K₁ek*) согласно залегает на породах батальхской свиты. Она отличается однообразным песчаным составом, очень слабой цементацией песчаников и сравнительно слабой угленасыщенностью. Свита сложена песками и песчаниками желтыми и зелено-серыми, средне- и крупнозернистыми, кварц-полевошпатовыми и полимиктовыми. В породах часто наблюдается косяя слоистость. Отмечаются редкие прослои (от 0,5 до 5—10 м) алевролитов и аргиллитов и линзовидные пропластки (0,1—0,2 м) бурых углей, редко талечников и конгломератов. Состав гальки разнообразен: кварц, кварциты, кварцевые порфиры, трапп-порфиры и песчаники. Мощность экссеньской свиты по данным глубокого бурения 270—520 м. Многочисленные растительные остатки, определенные В. А. Вахрамеевым, Н. Д. Василевской и А. И. Кирячковой, датируют возраст свиты как алтский.

Хатырьская свита (*K₁h*) — верхняя угленосная толща раннемеловых отложений согласно залегает на отложенных экссеньской свиты. В отличие от нижележащей характеризуется повышенной угленасыщенностью, более грубозернистым материалом, присутствием линз конгломератов. Свита вскрыта опорными скважинами в Вилонской синклизи и Приверхоанском прогибе, где она представлена песками и рыхлыми песчаниками (80—90 %), глинами и аргиллитами (4—15 %), алевролитами (1—3 %) и бурыми углями (до 1,8 %). В разрезах свиты насчитывается до 18 пластов (0,1—0,5 м, реже 2,2 м) бурых углей.

В грубо- и среднезернистых светло-серых песках и песчаниках характерны конкреции сидерита и рассеянная галька кварца, кварцевых порфиров, кремня, алевролитов, гранито-тнейсов размером до 5 см. В песчаниках встречаются обломки обуглившейся древесины, угольная крошка. Иногда встречаются отдельные линзы (до 0,1 м) конгломератов. Мощность хатырьской свиты изменяется от 210 до 750 м. По многочисленным находкам растительных остатков, возраст свиты является альбским.

ВЕРХНИЙ ОТДЕЛ

Верхнемеловые отложения, развитые в северо-западной части площади (бассейн р. Лунгха) и в низовье р. Алдан (Нижнеалданская впадина), разделяются на три свиты: апрафеновскую, чиримыйскую и линденскую.

Апрафеновская свита (*K₂af*) сложена блестящими слабокаолинизированными песками и рыхлыми песчаниками с линзами и линзовидными

прослоями глины, алевролитов, ожелезненных песчаников, травертитов и галечников и линзами сидеритов. Стратогипическим является разрез на озере Апрафена на р. Дена севернее расчлениваемого региона (В. А. Вахрамеев, 1958 г.). Нижняя часть свиты (80—400 м) сложена песками желто-серыми с линзами (0,2 м) галечников, правилитов и рассеянной галькой кварца, кварцитов, роговиков, кремнистых пород, алевролитов и аргиллитов и стяжками сидеритов. Верхняя часть свиты (100—200 м) сложена чередующимися линзовидными пластами алевролитов, глины и подчиненными им песков. Общая мощность свиты изменяется от 180 до 600 м, увеличиваясь к осевой части Приверхоанского прогиба. За пределами региона в низовьях р. Лепинске собраны растительные остатки, комплекс которых характерен для верхнего мела, сеноманского яруса.

Чиримыйская свита (*K₂с*) представлена светло-серыми каолинизированными песками средне-мелкозернистыми, кобальтовыми. В песках очень редкие линзы лигнитов, алевролитов и галечников. Последние часто встречаются в верхней части разреза. В составе гальки присутствуют в основном песчаники и алевролиты из Верхояны. Мощность свиты в пределах региона составляет 200 м.

В чиримыйской свите севернее региона (низовье р. Линге) В. А. Вахрамеевым описан флористический комплекс, характерный для верхов верхнего мела (туронский—маастрихтский ярусы).

Линденская свита (*K₂l*) завершает разрез позднемеловых отложений. Незначительные выходы описаны в северо-западной части территории. Свита сложена кобальтовыми мелко-среднезернистыми каолинизированными песками светло-серого и белого цвета. В песках редкие прослойки гидрослюдисто-каолининовых глины и линзы черных аргиллитов. Многочисленна галька кварца, кремня, как рассеянная в песках, так и в виде цепочковидных прослоев галечников. Особенности свиты являются интенсивная каолинизация песков. Видимая мощность до 200 м. Возраст свиты подтверждается находками листовидной флоры (В. А. Вахрамеев, 1958 г.), датированными маастрихтским веком.

МЕЛОВАЯ—ПАЛЕОГЕНОВАЯ СИСТЕМЫ

Верхнемеловые—палеогеновые отложения выделены Е. Б. Хогинной и др. [53] как джеббаркинская свита в основании рыхлых покровов различных по высоте террас рек Алдан и Амта. Они представлены лимонно-желтыми, бурыми и пестроцветными вадуно-галечными и песчано-галечными осадками русловой фации аллювия. В составе гальки и вадунов преобладают кварц, кремнистые и осадочные породы. Возраст отложений определяется данными палинокомплекса, который характеризуется господством споровых (до 43 %), пыльца голосеменных составляет более половины комплекса, пыльца травянистых малочисленна. Мощность 3—7 м. На геологической карте отложения не показаны, так как они не картировались, а выделены лишь в разрезанных разрезах при стратиграфических работах.

ПАЛЕОГЕНОВАЯ СИСТЕМА

Палеогеновые отложения наиболее широко развиты в Нижнеалданской впадине, где залегают на размытой поверхности мезозойских пород. Они описаны в работах Г. В. Бархатова, Н. А. Игнатченко, Г. Ф. Лунгер-

гаузена, Р. А. Вилжнева, Л. М. Натанова и др., а в публикациях А. А. Чигуревой, П. И. Дорофеева, А. Ф. Фралкиной и др. обоснован их олигоценый возраст.

НИЖНИЙ—СРЕДНИЙ ОТДЕЛЫ — ПАЛЕОЦЕН—ЭОЦЕН

Палеоцен-эоценовые отложения обнажаются в покоях террас высотой 13—15, 18—20 м и на поверхности 200-метровой террасы Алдана. Выделены Е. Б. Хотинной и др. [53] как эльзьяканская свита. Это русловая фация аллювия — валуно-галечные, песчано- и гравийно-галечные отложения, розовые и ржаво-бурые. В верхней части разреза осадки значительно выветрелые и являюся, по существу, корнями каолиновой коры выветривания. Состав палинокомплексов позволяет отнести отложения к палеоцену—эоцену. Мощность 5—10 м. Отложения не показаны на геологической карте из-за отсутствия данных о их площадном распространении.

СРЕДНИЙ—ВЕРХНИЙ ОТДЕЛЫ — ЭОЦЕН—ОЛИГОЦЕН (?)

Кырыбьяканская толща (P₂-ркз) выделена в последние годы при производстве геологосъемочных работ масштаба 1 : 50 000 на Ботомо-Алтинском междуречье, где установлено развитие сильно каолинизированных терригенных образований, которые выхолняют карстовые полости глубиной свыше 60 м в нижнекембрийских карбонатных породах.

Характерный их разрез вскрыт в 25 км к юго-западу от пос. Улу-скажинной. Здесь под слоем мощностью 0,5 м делювиально-солифлюкционных глин с обломками доломитов сверху вниз залегают:

- | | |
|--|------|
| 1. Мелкозернистые пески серовато-белые и желтовато-кремовые с большим количеством (30 %) алевроито-глинистого каолинитового материала, древесной кремней и рассеянным травяем окремненных пород | 1,8 |
| 2. Глины серовато-белые, в кровле темно-коричневые, каолиновые с обломками и древесной кремней | 1,1 |
| 3. Пески, аналогичные слою 1, но здесь отмечаются хорошоокатанные гальки диаметром до 4 см черных и светлых окремненных пород | 4,4 |
| 4. Глины коричневые, желто-коричневые каолиновые, интенсивно ожелезненные с мелкими включениями (по 3 мм), отгеляными кусками (до 3—4 см) и прослойками землистых агрегатов (до 20 см) бурого железняка. В подшле ожелезнение проявлено очень слабо. Здесь глина белая плотная с галькой (до 2 см) окремненных пород | 10,3 |
| 5. Средне- и крупнозернистые пески серовато-белые с большим количеством алевроито-глинистого каолинитового материала с постоянным присутствием до 10—20 % правая и галек (1 см) окремненных пород, обломков кремней | 5,7 |
| 6. Глины каолинитовые, в верхней части серовато-белые с желтоватым и зеленоватым оттенком, в нижней — голубовато-зеленые, уплотненные с отдельными прослоями белесой песчано-алевритовой каолинизированной породы с обломками кремней и правяем окремненных пород | 5,3 |

Общая мощность приведенного разреза 28,6 м. Ниже — разрушенные мергели и доломиты нижнего кембрия.

Песчаные породы характеризуются длинным комплексом минералов, среди которых резко преобладают (до 95—99 %) устойчивые и весьма устойчивые к выветриванию. Минералы тяжелой фракции образуют пиркон-каолинит-лейкокосеновую ассоциацию с сопутствующими рутилиом, анатазом, турмалином, ставролитом. Легкая фракция представлена исключительно кварцем и обломками кремней. Также отмечен состав глинистой фракции порода толщи — каолинит при иногда значительной примеси

гидроксида и тонкодисперсного гетита, в отдельных случаях отмечаются следи хлорита.

Выделенные из слоев 1 и 4 спорово-пыльцевые спектры неоднородны в стратиграфическом плане и содержат в разных количествах споры и пыльцу различных кайнозойских уровней. В них встречаются пыльцевые зерна палеоценового (типа *Pitys*, *Quercus* cf. *gracilis*, *Juglandaceae*, *Saxum*), олигоценового (*Ligularia*, *Taxodiaceae*) и неогенового (часть зерен *Ericales*, *Osmunda*, *Polypodiaceae*, *Rapaceae*, *Vetivaceae*, *Ulmus*, *Mullea*, *Tripterodolentes*, *Tricodrodolentes*) обилия. В целом в спектре пыльца покрытосеменных (52—94 %) доминирует над пыльцой голосеменных (2—38 %) и спорами (4—27 %). Основной фон в них создают *Alnus*, *Pinus*, *Artemisia*, *Gnathia*, *Ericales* при заметном присутствии *Alytus*, *Rhus*, *Artemisia*, *Gnathia*, *Sphagnum*, *Vivales*, *Polypodiaceae*. Сумма термофильных покрытосеменных колеблется от 1 до 5 %, чаще 1,0—2,4 %.

Данный палинокомплекс, по мнению палинолога Л. П. Жариковой (Центральная лаборатория ПГО «Кутукгеологиз»), не отражает времени накопления отложений кырыбьяканской толщи, а внесен в них позднее. Корреляция с районами Кулара и Северного Верхоянья позволяет отнести его ко времени перехода от миоцена к плиоцену [36].

Таким образом, приведенные данные позволяют принимать отложения кырыбьяканской толщи в качестве перетолженных кор выветривания из близлежащих источников. Палеомагнитные исследования, показавшие чередование по разрезу зон нормальной и обратной полярности, позволили сопоставить этот разрез с 15—13-й хронами временной шкалы полярности У. Б. Харланда и др. (1983), то есть с концом эоцена—началом олигоцена.

ВЕРХНИЙ ОТДЕЛ — ОЛИГОЦЕН

В составе олигоцена Нижнеалданской впадины выделяются две свиты: таттинская и тандинская, последовательного сменяющие друг друга в разрезе.

Таттинская свита (P₂td) вскрыта только буровыми скважинами. В ее основании залегает слой (0,4—1,2 м) базального галечника из галек кварца, кварцитов, кремней, магнезитовых пород, песчаников и алевролитов, связанных разнозернистым песком. Выше свита сложена песками преимущественно серыми и светло-серыми разнозернистыми коослоистыми. Они содержат лингитизированные растительные остатки и рассеянные правый и гальку, главным образом кварца и кварцитов. Присутствуют редкие невыдержанные прослои (до 2—5 м) алевролитов, алевроитов и глин серых и темно-серых. Среди минералов тяжелой фракции преобладают рововые обманки (40—60 %). В количествах от 2 до 20 % им сопутствуют эпидот, рудные, сфен, трапиды. Из глинистых минералов в южной части впадины ведущим является каолинит, а в бассейне р. Зап. Градыга — гидрослюда. Мощность 245—260 м.

Таттинская свита характеризуется палинокомплексом с *Rodocarpus*, *Engelhardtia*, *Stegaliaceae*, *Liquidambar*, *Mussa*, в котором содержание термофильных элементов гурлакской флоры колеблется от 4—6 до 20—24 % [51].

Тандинская свита (P₂tn) на большей части впадины согласно перекрывает таттинскую, и ее нижняя граница проводится по подшле пакки алевроитов, глин и лингитов мощностью от 4 до 30 м. На боргах впадины свита залегает непосредственно на эродированной поверхности мезозойских пород.

Разрез тандинских отложений представлял чередованием песков, алевроитов, глин и лигнитов. Доминируют пески (до 60—70 % объема свиты), которые образуют пласты и пакчи мощностью до 50—70 м. Они во многом аналогичны пескам таттинской свиты. Только у контактов с пластами лигнитов для них характерен темно-бурый до черного цвет из-за насыщения тонкодисперсным лигнитовым материалом. Алевроиты, глины и лигниты обычно образуют пакчи переслаивания от 4—5 до 30 м. В них серые и зеленые пласты с линзовидной и горизонтальной слоистостью алевроиты залегают пластами до 20 м. Песчаные и алевроитовые глины темно-серого, темно-бурого, серого и зеленоватого цвета занимают промежуточное положение. Они имеют каолиновый и гидрослюдястый состав и часто содержат обильный расщепительный дестрит. Бурые до черного, матовые с землелием изломом лигниты находятся в подчиненном положении. Количество и мощность (максимально до 9—10 м) их пластов увеличивается от южных окраин впадины в северном направлении. Лигниты представляют собой угли низкой степени углефикации. Лишь изредка в них отмечаются линзочки вишнева и мелкие таблички фюзена. В породах свиты в комплексе минералов тяжелой фракции уменьшается количество роговых обманок (до 10—45 %) и повышается содержание рудных (до 10—60 %) и гранатов (до 15—30 %). Мощность отложений тандинской свиты изменяется от 0—20 м на южном фланге Нижнеалданской впадины до 390 м в бассейнах рек Зип. и Вост. Градыга.

Тандинская свита содержит отпечатки листьев, остатки семян, плодов и шишек, собранных в пластах лигнитов ряда обнажений — Кангаласский мыс, реки Вост. Градыга, Арга-Делинья [6], и охарактеризована палинокомплексом с *Fagus*, *Ulmus*, *Liquidambar*, *Nyssa*, *Steguliaceae*, солержашими обычно до 15—25 %, а иногда 40—60 % пыльца теплолюбивых покрытосеменных представителей турайской флоры [51].

Спорово-пыльцевые комплексы таттинской и тандинской свит уверенно коррелируются с палинологическим комплексом омологического горизонта Прикуларского района Северной Якутии, возраст которого в настоящее время определяется первой половинной олигоцена [36, 40].

Верхнеолигоценные отложения выделены на левом берегу Амги у пос. Саморун в качестве саморунской свиты [53]. Развиты в долине р. Амга в полах низких террас. Они представлены песчано-алевродилтовыми, песчаным, песчано-равнинным и песчано-галечным аллювием орнажевого, бурого и красноватого цвета. В составе гальки и валунов преобладают кварц и кремнистые породы (до 80 %). В составе палинокомплекса до 28 % составляет ольха и береза, постоянно присутствуют широколиственные и жестколистные, значительно количество голосеменных, пыльца трав мало. Мощность 8—10 м. Отложения на геологической карте не показаны, так как площадное распространение их не прослежено.

НЕОГЕНОВАЯ СИСТЕМА

Неогеновые отложения имеют максимальное распространение в пределах Нижнеалданской впадины. Первоначально они выделялись в общем разрезе палеогена и неогена в качестве верхней песчаной толщи (Р. А. Биджиев, 1956 г.; Г. В. Бархатов, 1958 г.). Однако в последующие годы эта толща, несмотря на однообразный литологический состав, благодаря усилиям Р. А. Биджиева (1957 г.), Г. Ф. Лунгерстауэна (1961 г.), П. И. Дорофеева (1969 г.), Ю. П. Барановой и др. (1976 г.), А. Ф. Фрадкиной и др.

(1982, 1983, 1984 гг.) и других исследователей была расчленена на свиты и стои ранне- и среднемиоценового и плиоценового возраста.

НИЖНИЙ ОТДЕЛ — МИОЦЕН

Нижний миоцен. Намская свита (N^1_{nm}) обнажается только в западной части впадины на левобережье Лены, а восточнее погребена под более молодыми образованиями. Она с разрывом залегает на различных горизонтах тандинской свиты. Нижняя граница свиты четкая и обычно проводится по контакту глинистой пакчи (от 1 до 16 м) с пластами лигнитов, относящейся к тандинской свите, и разнозернистых песков со значительным количеством гальки и травя. Эти пески являются базальными для данной свиты. Остальная часть разреза сложена аналогичными песками светло-серыми и серыми, иногда желтоватыми и белесоватыми, часто косослоистыми в слоях от 0,5 до 2 м. Они также содержат рассеянную мелкую (2—3 см) хорошоокатанную гальку и гравий кварца, разнообразных окремненных и магнезических пород, остатки лигнитизированной древесины и, иногда, включения перестолженного лигнита. В верхней части разреза встречаются прослойки (до 0,15—1,5 м) темно-серых и коричневатых алевроитов и, реже, глин.

В породах намской свиты наиболее распространены минералами тяжелой фракции остаются роговые обманки (до 20—40 %), рудные (до 20 %), гранаты и эпидот (до 10 %). Мощность отложений возрастает от 20—35 м на юге впадины до 90 м — в центральной части.

Свита охарактеризована спорово-пыльцевым комплексом с *Castanea*, *Nyssa*, *Liquidambar*, *Taxodium*, *Sequoia* [22, 51]. Доля теплолюбивых покрытосеменных растений турайской флоры в нем составляет в среднем 15 %. Этот комплекс по составу и количеству компонентов хорошо соотносится с аналогичным комплексом нижней половинной ранне-среднемиоценового ильдикияхского горизонта Прикуларского района [36, 40]. В. А. Камалетдиновым и П. С. Минюком [22] чередующиеся по разрезу намской свиты две преимущественно нормально и две обратно намагнитические зоны были сопоставлены с 22—19-й эпохами палеомагнитной шкалы Лабрессе et al. (1977). По этой шкале смена 22-й и 21-й эпох датируется 22,02 млн лет тому назад, а 19-й и 18-й эпох — 18,95 млн лет, что соответствует раннемиоценовому времени.

Нижнемиоценовые аллювиальные отложения в ранге чиндайской свиты выделены в разрозненных обнажениях в долине Амги [53]. Они развиты в террасах Алдана и Амги высотой 150—170 м, чаще обнажаются в полах низких и средних террас. Отложения песчаные, реже песчано-равнинные, песчано-галечные ярко-розовые, розовато-серые и оранжевые, красноватые. В составе палинокомплекса доминируют голосеменные с преобладанием сосны, много спор. Среди покрытосеменных постоянны теплоумеренные листопадные и широколиственные. Количество пыльцы трав (лугово-степные ассоциации) увеличивается вверх по разрезу. Мощность отложений 20—25 м. На геологической карте они не показаны, так как выделены лишь в разрозненных обнажениях и не прослежены по площади.

Средний миоцен. Свита Мамонтовой горы (N^2_{mt}) с разрывом перекрывает намскую. Ею размытым, по-видимому, были уничтожены осадки климатического оптимума на рубеже раннего и среднего миоцена. Отложения свиты наблюдаются в ряде обнажений р. Алдан и некоторых его притоков, а также вскрыты многочисленными буровыми скважинами.

В обнажениях Мамонтова гора в основании свиты залегает белогорские слои, развитые локально лишь в пределах данного обнажения. Вследствие этого, а также близкого литологического строения и палеоботанической характеристики они включены и показаны совместно со свитой Мамонтовой горы. Сложены белогорские слои песками желто-серыми и серыми пресмыкающимися мелкозернистыми горизонтально- и косослоистыми. Толщина (до 3—5 см) прослоями они иногда обогащены глинистыми и карбонатным материалом и несколько литифицированы. Пески содержат линзовидные скопления растительного детрита и лепешко- и желвакообразные глинисто-сидеритовые конкреции, часто с отпечатками листьев более 70 видов растений. В кровле слоев содержится горизонт прижизненно захороненных пней деревьев. Видимая мощность этих отложений 5—7 м, характер их нижней границы неясен. В палинокомплексе с *Rhus*, *Vetula*, *Sarcia* пыльца тургайских покрытосемянных составляет 2—12 %, чаще 6—10 % [30, 50, 51].

Свиту Мамонтовой горы составляют пески серые, светло-серые, желтовато-серые разнородные. В песках много гравия и гальки окремненных и мамматических пород, остатков литифицированной древесины. Они часто образуют линзовидные скопления, подчёркивая косую или горизонтальную слоистость. В подошве свиты пески грубые, обогащены гравием и галькой и иногда переходят в гальчунки. Присмущественно в верхней части разреза свиты изредка присутствуют прослой (обычно 1—10 см) алевролитов, алевролитов и аргиллитов темно-серых и коричневатых. По данным В. С. Русанова [43], среди тяжелых минералов доминируют гранаты (до 60 %), рудные (до 20 %), лейкокосен (до 17 %) и пироксены (до 10 %). Роговые обманки содержатся в количестве не более 10 %. Глинистые минералы представлены каолинитом. Мощность отложений свиты Мамонтовой горы колеблется от 20 до 70 м. Породы охарактеризованы многочисленными остатками семян, плодов, эндокарпии и шишек растений тургайской флоры, а также палинокомплексом с *Rhus*, *Vetula*, *Amygd*, в котором пыльца теплолюбивых покрытосемянных обычно составляет 6—8 % [30, 50, 51].

Спорово-пыльцевые комплексы белогорских слоев и свиты Мамонтовой горы в сочетании с большим количеством определений листовой флоры, плодов и семян послужили основой для выделения регионального для Северо-Востока СССР среднемиоценового мамонтоворокского горизонта [40].

ВЕРХНИЙ МИОЦЕН—НИЖНИЙ ПЛИОЦЕН

Верхнемиоценовые—нижнеплиоценовые отложения выделены на левом берегу р. Арга близ пос. Мандытай в качестве мандытайской свиты [53]. Они зафиксированы в единичных обнажениях, в цоколях террас р. Арга и на низких водоразделах. Это озерно-аллювиальные и аллювиальные пески, алевролиты и песчаные илы горизонтально-слоистые, полосчатые розовые, сероватые и ржаво-бурые. Богатые спорово-пыльцевые комплексы позволяют определить возраст отложений как позаний миоцен—ранний плиоцен. Мощность 35—40 м. На геологической карте они не показаны из-за отсутствия площадных наблюдений.

ВЕРХНИЙ ОТДЕЛ — ПЛИОЦЕН

Плиоценовые образования представлены солбанской свитой (нижний плиоцен), табатгинской, черендэйской, ханчалинской и дывгальской свитами (верхний плиоцен).

Нижний плиоцен. Нижнеплиоценовые отложения впервые были выделены в обнажении Мамонтова гора в качестве слоя ожелезненных песков [30]. В. А. Камалетдинов и П. С. Минюк [22] показали, что отложения

развиты более широко и имеют значительно большую мощность. Поэтому здесь они рассматриваются как солбанская свита (название свиты предложено В. А. Камалетдиновым) — так называемая толща ожелезненных песков.

Солбанская свита (N_{1st}) с размытым перекарывает отложения миоцена, олигоцена, мела и юры. В основании ее разреза выделяются базальные слои (до 7 м) — грубозернистые пески, которые содержат (до 30 %) гравий и хорошоокатанную гальку кварца, окремненных и мамматических пород. Иногда гравий и галька переполняют пески вплоть до образования прослоев гальчунков. Выше залегает пески серые, светло-серые, часто из-за обилия ожелезнения буроватые. Их структура изменяется от мелко- до крупнозернистой. Гальки в них довольно редки, а гравий обычно располагается линзовидными слоями до 2—3 см. К мелкозернистым пескам изредка приурочены тонкие слоики синевато-зеленоватых алевролитов и глин. В тяжелой фракции преобладают эпилит (10—30 %) и дицитен (10—33 %), а также роговые обманки (5—28 %) и рудные (до 10 %). Мощность толщи изменяется от первых метров на окраинах Нижнеалданской впадины до 35—40 м в ее внутренних частях.

Отложения охарактеризованы комплексом пыльцы и спор с *Rhus*, *Rosa*, *Artemisia*, *Gramineae* с содержанием теплолюбивых элементов до 3,5—4,5 %, что позволяет датировать их ранним плиоценом [30, 50, 51]. С этим согласуются и палеомангитные данные: нижнюю часть разреза можно сопоставить с зоной Гилберта, а верхнюю — с первой половинной зоной Гаусса [22, 29], т. е. формирование толщи ожелезненных песков происходило от 5 до 3 млн лет тому назад.

Верхний плиоцен. Табатгинская свита (N_{2td}) распространена по обоим бортам долины Лены, и ее отложения представляют собой аллювий одноименной террасы относительной высотой 100—110 м. Выходы пород свиты отмечаются по левобережью Лены, в частности на Табатгинском и Кангаласском утесах, а на правобережье она обычно поребена под четвертичными покровными образованиями. В основании разреза свиты залегает гальчунки из хорошоокатанной разнообразной гальки кварца, кремней, кварцитов и сравнительно редких магматических пород, связанных песком серым грубозернистым, гравийным. Мощность гальчунки от 0,1 до 1—2 м. Выше залегает пески серые, желтовато-серые разнородные с примесью гравия и редкой мелкой гальки. Для песков характерна косяк слоистость. Пески и гальчунки, как правило, ожелезнены. Наиболее сильно ожелезнение проявлено на Кангаласском утесе, породы свиты сцементированы гидроокислами железа до темно-бурых песчаников и конгломератов. Мощность данных отложений колеблется от 2—3 до 10—20 м, достигая в отдельных случаях 33 м.

Породы табатгинской свиты слабо пылеватоносны. Выделенные отдельные спорово-пыльцевые спектры характеризуют растительность сосновых, устькми березо-лиственничных с зелеными мхами лесов. Позднеплиоценовый возраст свиты определяется преимущественно по геолого-геоморфологическим признакам и, в частности, по соотношению с более древними неогеновыми отложениями. Установленная в ее породах нормальная магнитченность П. С. Минюком и В. А. Камалетдиновым [29] уязвляется со второй половиной палеомангитной зоны Гаусса, верхняя возрастная граница которой определяется в 2,4 млн лет тому назад (Labrécque et al., 1977).

Верхнеплиоценовые отложения описаны в единичных обнажениях по левому берегу р. Арга в цоколях террас и выделены как битюнская свита [53]. Это озерные и озерно-болотные глинистые и суглинистые алевролиты

и Сусеси голубовато- и зеленовато-серые тонкогоризонтальности. Отложения включают раковины моллюсков. Спорово-пыльцевой комплекс отражает растительность типа дубово-каштаново-сосновых лесов с богатым травянистым покровом. Мощность отложений 18—20 м. На геологической карте они не показаны.

ЧЕТВЕРТИЧНАЯ СИСТЕМА

ЭОПЛЕЙСТОЦЕН

Эоплейстоцен представлен черендейской, ханчалинской и дыгдальской свитами.

Черендейская свита (aE_{ср}) выделяется в долинах рек Лена и Амга. Она представлена аллювием черендейской террасы с высотой коколя 130—140 м в устье р. Синяя и 105 м — выше устья р. Ботома. Большая часть терраса перекрыта четвертичными образованиями. Базальные галечники хорошоокатанные, мощностью до 7 м, иногда со значительным количеством валунов. Они состоят в основном из кварцитов, окарипованных песчаников и кварца. Заполнителем служит песок серый разнозернистый. Галечники перекрыты желтоватыми и буроватыми разнозернистыми песками, иногда с рассеянными галькой и гравием. Характерно интенсивное ожелезнение, часто окрашивающее породы в бурый цвет. Мощность свиты от 7 до 20 м.

Отложения слабо пыленосны. В отдельных палиноспектрах отражается растительность довольно холодного периода — преобладают кустарниковые березы и кедровый стланик при заметном участии лиственниц, сосен, елей, сфагновых мхов и кочедыжниковых. Эти данные, а также геолого-геоморфологическая позиция отложений и их соотношения с более древними и более молодыми кайнозойскими образованиями позволяют связывать формирование аллювия черендейской террасы с эоплейстоценом.

Ханчалинская свита (aE_{hn}) выделяется на равнине к западу от р. Лена в очень слабо углубленных широких долинах верхнего рек Ханчалы, Кенкме, Ситте и др. Она представлена аллювиальными песками серыми, желтовато-серыми с рассеянной галькой и гравием. Базальные галечники — окатанные кварцево-кварцитово-кремневого состава. В верхней части разреза имеются прослой супесей, зеленноватых суглинков и глина. Мощность отложений 2,5—12 м. Наименечность пород обратная (эпоха Матуяма).

Спорово-пыльцевой спектр в нижней части толщи характеризует хвойную, в основном сосновую растительность, в верхней — травянистую.

Дыгдальская свита (aE_{dg}) на поверхность не выходит. Она выделена в скважинах у д. Дыгдал, против устья р. Келе, под более молодыми отложениями. Низкое положение связано с локальным тектоническим поружением в устье Аулдана. Свита с разрывом залегает на среднеиндензовых отложениях. Минимальная абсолютная высота ее подошвы около 30 м. Базальный слой представлен песком серым, грубозернистым, насыщенным гравием и галькой, мощностью до 1,2 м. На нем залегают пески серые и буроватые с рассеянной галькой, гравием, фоссилизированными остатками растений и примесью глины. Мощность свиты 33—37 м. Палинокомплекс лесной, в макроостатках *Inglandsperga*, *Picea obovata*, *P. jacutica*. В основании свиты полярность пород нормальная (эпизод Олдувей), в остальной части обратная (зона Матуяма).

ЭОПЛЕЙСТОЦЕН—НИЖНЕЕ ЗВЕНО НЕОПЛЕЙСТОЦЕНА

Переходные по возрасту отложения представляются аллювием высокой тустакской террасы, горизонтом ветроградников, золовыми и озерными накоплениями.

Аллювиальные отложения (aE—Q₁) тустакской террасы с пологом, в среднем на 20 м более низким, чем у черендейской, распространены на р. Лена выше пос. Жатай. Они выделяются также на реках Аулдан, Амга и Тумара. Ниже г. Покровка на правобережье Лены терраса поребена. Аллювий переполненный с базальным галечником мощностью 1—12 м, перекрытым песком желтовато-серым и серым мощностью 5—9 м. Спорово-пыльцевые спектры — полярно-разнотравных степей с беззольными колками.

Горизонт ветроградников (E—Q₁) широко, но по-отровному распространен на равнине западнее р. Лена и встречен около поселков Бердигестях и Матарас, в карьерах у г. Якутск. Обломки пород, обточенные песчаной поемкой — ветроградники, связаны с поверхностью развоания эоплейстоценовых и более древних рыхлых отложений. Они образуют слои мощностью до 10 см или встречаются в виде единичных находок на 1 м² и реже. В устье р. Диринг-Юрях горизонт залегает на песках и галечниках черендейской свиты и погребен под покровом золовых песков эоплейстоцена—нижнего звена. Здесь средн ветроградников найдены коррадрованные изделия древнейшего палеолита, сходные с образцами из Олдувайского ущелья Африки (1,7—1,9 млн лет) [38].

Золовые пески (vE—Q₁) образуют вертикальные клинья в песках и галечниках черендейской свиты под горизонтом ветроградников, а также перекрывают его платом мощностью до 8 м (только на схеме) на р. Диринг-Юрях. Пески над ветроградниками характеризуются прямой полярностью с пологой обратной намагниченностью посередине. В целом это зона Брюнес с олим из эпизодов первой ее половины. По А. В. Пенкову и Ю. А. Мочанову, полса отрицательной намагниченности является началом зоны Матуяма [31].

Озерная толща (E—Q₁) залегает на песках черендейской свиты и перекрыта выщелоченными золовыми песками. На поверхность она не выходит и изучена по скважинам на р. Диринг-Юрях. Она сложена коричневыми и шоколадными ожелезненными суглинками и глинами с прослоями серых и белесых супесей. Встречаются гравий, прослой охристых песков, стяжения гидрокислов железа, часто со следами коррозий и пустынного загара, присущими обломочному материалу горизонта ветроградников того же возраста. Мощность толщи до 7 м. По направлению к Лене она выклинивается.

НЕОПЛЕЙСТОЦЕН

Нижнее звено

Низы четвертичной системы представлены пелдауйской и оручанской свитами.

Пелдауйская свита (aP₁) распространена по долинам Лены, Аулдана, Амги и в низовьях рек Ситте, Чочума и Танда. Она представлена аллювием пелдауйской террасы с высотой коколя от 55 м у пос. Синкк, 40 м у г. Покровка, до 10—15 м около устья Аулдана. Это галечники окатанные кварцево-кремнево-кварцитового состава мощностью 1,5—6,6 м с серым и желтовато-серым песчаным заполнителем, образующим линзовидные прослой до 0,3 м. По данным бурения на Лено-Аулданском меж-

дурчеве галечники перекрыты светло-серыми песками с галькой, гравием и редкими прослоями глин. Мощность песков до 18 м.

Фаунистически отложения характеризованы только за пределами терриории, в долине нижнего течения р. Вилюй [2], где комплекс соборной фауны сопоставляется с тираспольским, характеризующим раннечетвертичное время. В базальных слоях присутствует значительное количество перетолженных пыльцы и спор мел-палеогенового возраста. Для более высоких частей разреза характерно чередование лесных соново-елово-березовых спектров с кустарничково-элаково-разнотравными. В основании святи подыриность пород обратная. В остальной части наматичность прямая (начало эпохи Брунес) [109].

Оручанская свита (alor) представлена аллювиальными галечниками и залегающими на них песками одноименной террасы Лены, Алдана и Амги. Высота поклоя до 15 м. Мощность до 20 м. Палинологических остатков не обнаружено. Нижнечетвертичный возраст отложений определяется на основании их геоморфологического положения между образованиями пелдуйской и бесяхской свит. Последняя относится к началу среднего звена. За пределами терриории на р. Вилюй отложения содержат фауну *Equis* sp. архаичную форму. Спорово-пыльцевой спектр — элаково-разнотравных степей с березовыми колками.

Среднее звено

Представлено тобольским и самаровским горизонтами.

К тобольскому горизонту (alIb) относится бесяхская аллювиальная свита, выделенная на Лене в нижней части одноименной террасы. Отложения прослеживаются в долинах Лены, Алдана, Амги и повсеместно перекрыты более молодыми осадками. Их подолша колеблется в пределах 5—10 м выше и ниже уреза рек, а на Лене около устья Алдана погружена до 20 м. В основании толщи галечники с гравием и валунами. Заполнитель — серый и желтовато-серый песок, иногда образующий прослои до 0,3 м. Мощность галечников 2—10 м. Они перекрыты песками серыми, желтоватыми с рассеянными гравием и галькой, образующими местами линзовидные прослои мощностью 0,1—2 м. Встречаются редкие прослои супесей коричневого-серых с остатками древесины. Мощность песков 5—18 м. В целом мощность отложений 8—27 м.

Спорово-пыльцевые спектры характеризуют лесную растительность с преобладанием сосны, ели, лиственницы над березой, ольхой и пихтой. В Алданских обнажениях найдена фауна казарского типа: *Mammihus togoniheti chosaticus* Dubrovo, *M. togoniheti* (Pohl), *M. primitivus* Раннего типа и др. Отложения прямо наматичены (эпоха Брунес) [43]. Радиоглетродный возраст древесины из них >48 000 лет.

Самаровский горизонт представлен ледниковыми, флювиогляциальными, лессовыми и эоловыми отложениями, а также горизонтом ветропроанников.

Ледниковые отложения (lIs) выступают на правом берегу Лены в 30—40 км выше пос. Сангары из-под 30-метровой толщи верхнечетвертичных супесей и налегают на аллювий тобольского горизонта на уровне бечевника. Они представлены валунными суглинками бурыми, значитительно уплотненными, мощностью до 10 м. Выходы имеются на правобережье Алдана в районе устья р. Вост. Градыга, однако морена здесь сероцветная.

Флювиогляциальные отложения (lIs) выходят на правом берегу Алдана ниже впадения р. Байбакан. Они залегают на тустахской

свите и более древних кайнозойских образований и перекрыты казанцевскими и более молодыми отложениями. Толща представлена галечником с валунами. Заполитель — серый песок, образующий на разных уровнях прослои и линзы (0,2—1,2 м), содержащие древесные остатки. Фауна: *Dicostolus simplicior* Fell., *Vison priscus* Vol., *Mammihus* sp.

Лессовые отложения (lIs) вскрыты скважинами в районе среднего течения р. Татты (до 1,5 м) и около пос. Покровск (до 2,5 м), где они залегают на аллювии тобольского горизонта, мезозойских породах, а перекрыты верхнечетвертичными образованиями. На поверхность они выходят в нижнем течении р. Тумара (до 18 м) между эоплейстоцен-четвертичными аллювиальными и верхнечетвертичными образованиями, а также распространены на правобережье Лены выше устья р. Богома (до 29 м). Отложения представлены лессовидными суглинками табирального облика, зеленовато-серыми, в сухом состоянии па-левыми. Встречаются редкие слои песка, растительный дерпт, древесина, остатки *Megolaima* gen. indet. Спорово-пыльцевые спектры характеризуют лесотундровые и тундровые типы растительности.

Эоловые отложения (vIs) выходят в устье бесяхской террасы на правом берегу Лены, между песками Нижний Бестях и Харыяхах. Они залегают на аллювии тобольского горизонта и перекрыты средне-верхнечетвертичными озерно-аллювиальными осадками. Это пески мелко-зернистые мощностью до 25 м, с косой слоистостью донного типа и линзами льда. В подстилающих породах пески образуют жилы шириной 0,2—0,3 м, вдающиеся на глубину более 2 м. Спорово-пыльцевые спектры характеризуют растительность лесотундр с широким развитием мхов.

Горизонт ветрогранников (lIs), синхронный с описанными выше эоловыми песками, вскрыт скважиной на глубине 60 м около пос. Чурапча под покровной толщей муруктинского-сарганского горизонтов и наблюдается на поверхности севернее г. Якутск. Он залегают на базальных галечниках эоплейстоцена—нижнего звена.

Среднее—верхнее звенья нерасчлененные

Озерно-аллювиальные отложения (alII—III), накопившиеся между самаровским и зырянским оледенением и относимые к ширитскому, таовскому и казанцевскому горизонтам нерасчлененным, распространены в долинах Лены, Алдана, Амги, Хатынг-Юряха, Лунгхи, Тюлене, Кенжме и Синей. Они без следов размытая залегают на отложениях тобольского и самаровского горизонтов, а также на коренных породах. Это пески серые, желтовато-серые мощностью до 60 м, с редкой галькой и линзами гравия, супеси, суглинка, торфа и растительного дерпта. Наматичность пород прямая. Спорово-пыльцевые спектры характеризуют растительность лесов и травянисто-моховых редколесий. В обнажении Мамонтова гора на Алдане пески содержат два слоя суглинков (2,5—3,2 м) темно-серых с тонкими линзами торфа. Найдены остатки *Vison priscus* Vol., *Aleer latifolius postremus* Vanq. et Flct. [43]. Мощность толщи 14—15 м.

Верхнее звено

Звено включает казанцевский, муруктинский (зырянский), каргинский и сарганский горизонты, а также нерасчлененные толщи муруктинско-сарганского и каргинско-сарганского возраста.

Казанцевский горизонт представлен озерными отложениями и (IIIkz), фрагментарно сохранившимися на правобережье

Алдана. В обнажении ниже устья р. Келс они вскрываются между сармавскими вожно-ледниковыми и муржтинско-сарганскими криогенно-эоловыми образованиями. Это серые супеси, чередующиеся с песками, иногда содержащие гальку (3—7 см). В основании встречается галечники (до 2 м). Преобладает пыльца древесных Рісеа, *Pinus*, *Vetula* сек. Абае, *Abies* над травами и спорами. В нижних слоях толщи зафиксирована зона обратной полярности, сопоставляемая с эпизодом Бэйк магнитной эпохи Брюнес. На р. Вост. Градыта в 8 км выше устья озёрные отложения вскрываются между сармавскими и муржтинскими ледниковыми образованиями. Они представлены темно-серыми песками с прослоями черной супесей и глин, насыщенных растительными остатками и обломками древесины. Мощность до 10 м.

Муржтинский (зырянский) горизонт представлен ледниковыми и флювиогляциальными отложениями.

Ледниковые отложения (VІІІгг) сохранились на Приверхоёнской равнине. Они представляют основную морской мощностью до 15 м с плохой сохранностью ледникового рельефа, местами перекрытой сарганскими отложениями. Морена сложена темно-серыми, серыми, коричневато-серыми, желтовато-бурыми суглинками и песчаными суглинками, с ржаво-бурыми пятнами и линзами, насыщенными несортированными валунами, галькой, гравием и древесиной. В бассейне р. Тумара найдены остатки мамонта позднего типа [2].

Флювиогляциальные отложения (VІІІгг) широко развиты в нижнем течении правых притоков Алдана и Лены. Местами они перекрыты криогенно-эоловыми и ледниковыми отложениями сарганского возраста. Представлены они галечниками с валунами. Заполнитель — темно-серый и серый песок, иногда образующий прослой мощностью 0,2—0,4 м, включающий прослойки остатков. На правом берегу р. Уаны в галечниках имеется прослой (1,4 м) лепельно-серых суглинков с галькой. В бассейнах рек Вост. Градыта и Барайы распространены желто-серые супеси, переслаивающиеся с суглинками, содержащие рассеянную гальку. Мощность отложений от 3 до 20 м, возможно до 40 м. Фауны: *Vіsion rіckіus* Вој., *Mammіthіus* sp. В палинокомплексах преобладает пыльца древесно-кустарниковых и травянистых растений. Ведущая роль принадлежит кустарниковой березе, ольховнику и разнотравью при заметном участии древоядной березы и сосны. На р. Тумара по древесине получена радиоуглеродная дата >50 000 лет [24].

Муржтинский—сарганский горизонт нерасчлененные представлены озерно-криогенно-эоловыми и лессовыми отложениями.

Озёрные и криогенно-эоловые отложения (I, VІІІгг—st) образуют покрывную толщу, широко распространённую на равнине между реками Лена и Амга, восточнее р. Ситте и к северу от нижнего течения р. Алдан. Сложена она сложено сочетанием озерными и криогенно-эоловыми отложениями с сингенетическим повторно-жидким льдом. Это супеси темно-серые, серые, коричневатые, пылеватые и суглинки, иногда с прослоями поребённых почв, торфа и остатками растений. Мощность отложений от 10—15 м на Ситте—Ленском междуречье до 110 м южнее р. Алдан. Много находок костей, относящихся к верхнпалеолитическому комплексу позднего типа — мамонта, шерстистого носорога, бизона, кабаньей лошадь и др.

Лессовые отложения (VІІІгг—st) образуют покров мощностью до 20 м на ленобережье р. Лена выше пос. Покровка. Они представлены лессовидными суглинками темно-серыми, буровато-серыми с растительным дестригом. Характерны гундро-стенные спорово-пыльцевые спектры с пре-

обладанием злаков, полыней, осоковых и зеленых мхов. Находки костей относятся к верхнпалеолитическому комплексу позднего типа.

Каргинский горизонт представлен аллювиальными и озерными отложениями.

Аллювиальные отложения (aVІІІгг) выделены у пос. Крест-Халдыжай в 30-метровой ленобережной террасе р. Алдан, в обнажении Мамонтова Гора, где они залегают на 5,5-метровом цоколе и перекрыты криогенно-эоловыми образованиями сарганского возраста. В основании толщи — галечники с гравием и песком (10 м). На них светло-серые пески с прослоями суглинков и линзами растительных остатков. Мощность толщи 17,5 м.

Озёрные отложения (VІІІгг) развиты в верховьях р. Кенкеме и в бассейне р. Матта на порогах ханчадлинской свиты и мезозоя. Местами они перекрыты криогенно-эоловыми образованиями сарганского горизонта. В разрезе чередуются слои (1—6 м) песков серых, зеленоватых, илов темно-серых, коричневато-бурых с примесью мелкозернистого песка и линзами льда, супесей зеленовато-серых, глинистых. Много растительных остатков. Мощность от 2,5 до 15 м. Палеонтологические остатки не обнаружены. Возраст определяется по геолого-геоморфологической позиции [109].

Каргинский и сарганский горизонты представлены аллювием второй надпойменной террасы (aVІІІгг—st) высотой 18—22 м, сохранившиеся в долинах Лены, Алдана, Амги и некоторых их притоков. Сложена она в основном песками серыми, желтовато-серыми с прослоями суглинка темно-серого глинистого, ила темно-серого, иногда с примесью песка и линзами торфа. В верхней части разреза имеются прослой супесей серых, коричневато- и зеленовато-серых, в нижней — рассеянная галька и гравий, местами галечники. Мощность толщи до 33 м. Спорово-пыльцевые спектры характеризуют растительность полынно-разнотравной лесостепи. В низах разреза пыльца древесных становится больше. Радиоуглеродские даты получены по С₁₄ на р. Алдан у оз. Дыгдал (≈ 34 000), на р. Лена у р. Покровка (≈ 38 000).

Сарганский горизонт представлен ледниковыми, флювиогляциальными, криогенно-эоловыми, эоловыми и озерно-ледниковыми отложениями.

Ледниковые отложения (VІІІгг) представлены основной и конечной моренами. Основная морена перекрывает маломощным (2—3 м) платом междуречья на Приверхоёнской равнине, а также распространена в межгорных долинах и сложена плотными валунными суглинками с галькой, щебнем и древесиной. Валы конечных морен шириной 15—30 км развиты на Приверхоёнской равнине и сложены галечниками с валунами с темно-серым и серым песчаным заполнителем, иногда образующим прослой от 2 до 5 м, и валунными суглинками плотными темно-серыми, коричневато-серыми и черными. Мощность 10—17 м.

Флювиогляциальные отложения (VІІІгг) развиты в долинах ряда правых притоков Алдана и Лены и представлены галечниками с валунами, часто сменяющимися по простиранию и вверх по разрезу песками и суглинками с галькой. Также они встречаются внутри амфитетров, образованных конечно-моренными валами, где состоят из песков серых, коричневато- и буровато-серых с редкой галькой и валунами. Видимая мощность отложений 10—20 м.

Криогенно-эоловые отложения (VІІІгг) залегают в виде пласта мощностью от первых до 50 м между правыми притоками р. Алдан западнее горы Хандыта и р. Лена ниже устья Алдана, а также тяготеют к долинам рек Кенкеме, Ханчалы, Матта и ряда их притоков. Они представлены супесями и суглинками темно-серыми, коричневато-серыми с растительным

дистрибом и повторно-жильными льдами, пронизывающими толщу сверху донизу. Характерны тундро-степные спорово-пыльцевые спектры с преобладанием злаков, полыней и зеленых мхов. Радиоуглеродные даты получены на р. Тумара (28 200±500; 18 500±200).

Золовые отложения (VIIst) распространены вдоль правого берега Лены ниже устья р. Ботома до р. Алдан. Небольшое поле протягивается вдоль левого берега р. Синяя. Отложения развиты на поверхности озерно-аллювиальной средне-верхнеплейстоценовой толши и представлены желтовато-серыми песками с остатками погребенных почв, представляющих собой 5—10-сантиметровые слои гумусированного песка, насыщенного корнями трав и кустарников. Мощность от 5 до первых десятков метров. В палинокомплексах выявляется холодолюбивая растительность полярно-злаковых тундростепей при незначительном участии зеленых мхов и карликовой березы. Радиоуглеродные датировки получены на Лене (27 900±400; 11 850±150).

Озерно-ледниковые отложения (VIIIst) развиты в бассейнах рек Тумара, Келе и Вост. Хандыга, где они залегают во внутренних частях сарганских конечно-моренных амфитеатров. Представлены они песками темно-серыми, коричневатого-серыми, часто глинистыми, переходящими в супесь. Встречается детрит и остатки корней деревьев, захороненных в прижизненном погребении. Мощность 10—15 м.

Горизонт ветроградника (IXst) наблюдается на поверхности на правом берегу Лены, ниже пос. Сантар. На левом берегу р. Тумара ветроградники залегают на озерно-ледниковых отложениях сарганского возраста, а перекрыты криогенно-золовыми того же возраста.

Верхнее—современное звено нерасчлененные

К ним относятся аллювиальные, золовые и озерные отложения.

Аллювиальные отложения (XIII—IV) развиты на всех крупных реках и многих их притоках. Они слепают I надпойменный террасу высотой 8—12 м на Лене, Алдане, Амге и 3—6 м — на небольших реках. В горах и предгорьях преобладают галечники с валунами. На них залегают (0,5—1 м) супесчано-суглинистый наилок. На остальной территории аллювий представлен в основном песками желтовато-серыми, светло-серыми, серыми, переслаивающимися с песками глинистыми темно-серыми, коричневатыми и супесями илистыми коричневатого-серыми, зеленоватого-серыми, темного-серыми. Толщина слоя 0,5—1,5 м. Галечники образуют мамошиный (0,3—1 м) базальный горизонт. В верхней части разреза развиты супеси и суглинки (до 2—3 м). Общая мощность аллювия 6—20 м. Радиоуглеродные даты получены на р. Тумара (9200±100), на р. Лена в г. Якутск (10 020±130).

Золовые отложения (VII—IV) развиты в основном вдоль правого берега Лены в бассейнах нижних течений рек Лютенге, Менда и Тамма. Небольшие их поля отмечены в устьях Алдана и Ботома. Они представлены песками желтовато-серыми, содержащими погребенные почвы — пески темно-бурые гумусированные (до 10 см), насыщенные корешками трав и кустарников. Встречаются захороненные корни деревьев. Поверхность песков задернована. Мощность от 0,7 до 8 м. Радиоуглеродные даты получены на р. Лена (10 430±130; 10 600±40).

Озерно-болотные отложения (III—IV) распространены в Приверхоянском районе между реками Вост. Градыга и Томпо. Они представлены плотными тяжелыми суглинками и глинами с редкой галькой. Отложения частично перекрывают ледниковые и водно-ледниковые обра-

зования муржунтинского и сарганского горизонтов и сконцентрированы в ложбинах. Ряд озер заложился в муржунтинское, а ряд — в сарганское время. Видимая мощность отложений 2—4 м.

Современное звено

Представлено аллювиальными, пролювиальными, золовыми, озерными и озерно-болотными образованиями.

Аллювиальные отложения (XIIV) слепают высокую и низкую поймы. Их высота на крупных реках составляет соответственно 5—6 и 2—4 м. В горах преобладают галечники и галечники с валунами. На остальной территории аллювий представлен песками, галечниками, супесями, суглинками, глинами, илами, торфом и древесными остатками. Мощность колеблется от 5—6 м на малых реках до 20—25 м на крупных и приближается к 50 м в устье р. Алдан. Отложения охарактеризованы современной фауной и спорово-пыльцевыми спектрами. Радиоуглеродные даты получены на р. Тумара (2970±40), на р. Лена у пос. Маймата (2710±320; 1465±170).

Пролувиальные отложения (XIV) конусов выноса приурочены к устьям временных горных водотоков и представлены суглинками коричневатого-серыми, опесчаненными, насыщенными валунами, галькой, щебнем и дресвой. Мощность 10—20 м.

Золовые образования (XIV) встречаются редко. Они образуют дюнные поля (тукуланы) на поверхности верхнеплейстоценовых—современных золовых отложений вдоль левого берега р. Синяя. На правом берегу Лены напротив пос. Еланка (местность Самыс-Кумах) имеется дюнное поле размером 3,5×1 км, развитое на поверхности 40-метровый песчаной террасы. Высота дюн от 2—5 до 10—12 м. Они сложены светло-серыми и желтовато-серыми песками. Встречаются прослой погребенных почв с пнями и корнями деревьев. Часто пески засыпают современный лес.

Озерные и озерно-болотные образования (XIV) распространены в основном в термокастовых котловинах, образовавшихся при протаивании криогенно-золовых отложений. Незначительная их часть приходится на осадки пойменных и ледниковых озер. Отложения представлены суглинками и супесями сизовато- и коричневатого-серыми, в разной степени иловатыми, содержащими прослой растительного детрита, остатки древесины, раковины моллюсков и линзы торфа. В нижней части разреза встречаются пески сизоватые и зеленоватого-серые с расщепленным детритом. В некоторых озерах осадки представлены сапропелевыми, торфянистыми илами. Мощность от 2 до 20 м. В спорово-пыльцевых спектрах на оз. Краденое, в 20 км западнее Якутска, в нижней части разреза отмечается высокое содержание пыльцы лиственниц, березы, ели, полыни, а в верхней — сосны. Радиоуглеродные даты получены на р. Тумара (3770±200), на оз. Тюнрюлю (2380±200).

ЧЕТВЕРТИЧНЫЕ ОТЛОЖЕНИЯ НЕРАСЧЛЕНЕННЫЕ

К ним относятся эловый и образовавший склонового ряда.

Элювиальные образования (с) распространены на плоских междуречьях. Состоят из глыб, щебня, песка и мелкозема. Мощность 1—3 м.

Элювиально-делювиальные образования (ед) распространены на пологих склонах междуречий. Состоят из мелкощебнистого, пес-

чаного и песчано-глинистого материала. Обычно закреплены растительностью. Мощность 2—3 м.

Делювиальные образования (d) распространены на склонах средней крутизны. Состоят из щебнистого и песчаного материала. Мощность до 2 м.

Делювиально-солифлюкционные отложения (ds) распространены на выположенной нижней части склонов. Состоят из мелкозема с примесью песка и щебня. Мощность от нескольких до 15 м.

Делювиально-коллювиальные отложения (dc) распространены на крутых склонах в высокогорной области и на бортах речных долин на равнине. В горах они образуют курумы и осыпи. Сложены преимущественно глыбами и щебнем, а в основании курумов — мелкоземом. По бортам речных долин они образуют глыбовые, щебневые и песчаные осыпи, а также песчаные оползни. Мощность до 2 м.

Коллювиальные отложения (c) выделяются в альпийской зоне, а также на крутых берегах рек. Это глыбы, щебень, образующие маломощные (менее 1 м) подвижные осыпи. Мощность у подножья склонов до первых метров.

Коллювиально-солифлюкционные отложения (cs) выделяются на крутых берегах рек с пологим подножием и представляются глыбами, щебнем, песком и мелкоземом.

ИНТРУЗИВНЫЕ ОБРАЗОВАНИЯ

Интрузивные образования в рассматриваемом районе имеют ограниченное распространение и подразделяются на позднерифейские, ранне-, среднепалеозойские и меловые. Они сосредоточены главным образом на востоке территории, где в условиях Верхояно-Колымской покровно-складчатой системы вскрыты и доступны наблюдению. Кроме того, небольшие интрузии имеются на юго-западе, в пределах Алданской антеклизы.

Позднерифейским среднепалеозойским интрузиям соответствуют порфидеобразующие весьма органичным распространением коматитичные им вулканогенные образования в составе уйской серии верхнего рифея, среднедевонской бурхалинской серии, верхнедевонских отложений. Раннепалеозойские и меловые интрузии в районе не имеют эффузивных аналогов.

ПОЗДНЕРИФЕЙСКИЕ ИНТРУЗИИ

К этой возрастной группе отнесен улахан-бамский магматический комплекс основных пород базальт-долеритовой формации.

Позднерифейские диабазы и конгидиабазы (P_3^2) слепают силлы и дайки в хр. Улахан-Бам среди существенно карбонатно-терригенных пород среднего (бикская свита) и терригенных — верхнего рифея. Силлы — простые субпластовые тела с ровными и солгласными с напластованием контактами с вмещающими терригенными породами и волнистыми породами. Положесекущие контакты отмечаются при выклинивании тел и в их разрывах. Кое-где сохранились соединяющие силлы поперечные жилы диабазов, являющиеся, очевидно, подводящими каналами. Мощность силлов выдержана и у большинства из них колеблется от 0,5—5 до 15—30 м, в редких случаях до 150 м (руч. Тулустур-Сада). Выклиниваясь, мощные силлы обычно расщепляются. Особенно многочисленны силлы на правобережье руч. Тулустур-Сада, где они насыщают терригенную верхнерифейскую кандыкскую свиту, образуя в ее разрезе свыше 20 залежей [76]. Протяженность маломощных силлов обычно не превышает первых сотен метров, резко возрастая до 15—20 км при мощности силлов свыше 15 м.

Дайки немногочисленны. Мощность их до 30 м, протяженность до 12 км. Большинство даек имеет блтзммеридиональное простирание, значительно реже — почти широтное.

В составе диабазов и конгидиабазов: платиноклаз (андезин № 40—47, лабрадор), авигит, амфибол, кварц, микропеллитит; акцессорные минералы: апатит, цитрон, сфен, ильменит. Вторичные изменения сводятся к образванию сосюрита, серицита, эпидота, хлорита, биотита, гематита и карбоната.

Химический состав

№ п. п.	Название породы, ее возраст, место опробования	SiO ₂	TiO ₂	Al ₂ O ₃	Fe ₂ O ₃	FeO
<i>Позднерифтовые</i>						
1	Диабаз (правый водораздел р. Мугула) [71]	48,52	2,77	15,43	2,26	11,17
2	Конга-диабаз (правый водораздел руч. Лось)	50,00	1,28	15,80	2,46	9,48
<i>Раннепалеозойские</i>						
3	Диабаз (правобережье р. Суржа) [70]	47,00	4,03	11,70	5,94	13,33
<i>Среднепалеозойские</i>						
4	Диабаз (левобережье р. Суржа) [71]	47,5	2,72	14,99	1,79	10,2
5	Габбро-диабаз (р. Томпо) [67]	46,70	4,50	13,10	3,44	12,26
6	Ийолит (массив Поворотный) [76]	38,54	1,29	18,70	3,77	2,32
7	Нефелиновый сиенит (массив Поворотный) [76]	53,34	0,31	21,58	0,84	1,25
8	Дампирофир (левобережье р. Хырыйлах) [74]	47,40	3,52	12,35	3,25	12,32
<i>Меловые</i>						
9	Диорит-порфирит (руч. Бам) [76]	52,02	0,94	14,65	0,97	5,53
10	Дампирофир (сиессарит) (руч. Бам) [76]	51,29	0,86	13,03	2,72	5,14

Внедрение интрузий происходило в первично субгоризонтально залегающие толщи и сопровождалось активным механическим воздействием на вмещающие породы — межпластовым расслоением их базальтовой массой, на что указывает наличие активных «заливов» в породах кровли [74, 76]. Незначительные контактовые воздействия силлов (ширина зоны от нескольких сантиметров до первых метров) сводятся к окварцеванию и орогованию терригенных пород и мраморизации известняков.

По составу диабазы и конга-диабазы относятся к калиево-натровой серии с высокой степенью дифференцированности ($FeO/MgO = 2,59$) и содержат от 0,15 до 3 % TiO_2 . Типовой химический состав пород приведен в табл. 8 (№ 1, 2).

Возраст интрузий определяется их геологическим положением. Силлы и дайки прорывают рифейские отложения и несогласно, с разрывом перекрываются отложениями венда [74, 76, 131]. Формирование их началось, очевидно, в кандыкское время (поздний рифей), что подтверждается наличием в кандыкской свите коматитовых им эффузивов и находками их гальки уже в базальных конгломератах малосахаринской свиты позднео рифея. Геологический возраст и длительность их формирования подтверждаются и радиологическими определениями их возраста (калий-аргоновый метод), данными возрастного интервала от 1050 до 655 млн лет [8, 131].

изверженных пород

MnO	MgO	CaO	K ₂ O	Na ₂ O	H ₂ O	CO ₂	P ₂ O ₅	SO ₃	П. п.	Σ
<i>интрузии</i>										
0,17	3,10	9,04	0,98	2,42	1,80	—	0,35	0,36	Н. о.	99,77
0,19	4,88	7,31	1,56	3,00	0,27	—	0,14	1,10	2,95	100,42
<i>интрузии</i>										
0,25	4,94	9,38	0,82	1,84	Н. о.	Н. о.	0,43	Н. о.	1,00	100,66
<i>интрузии</i>										
0,21	4,88	9,38	1,39	3,5	—	Н. о.	0,38	Н. о.	2,01	98,95
0,24	4,59	7,38	2,19	2,66	Н. о.	Н. о.	0,48	Н. о.	1,23	99,61
0,27	2,86	13,06	2,33	10,0	0,98	4,80	0,88	0,05	—	100,47
0,05	0,77	2,98	7,66	10,30	2,09	2,49	0,04	0,10	—	100,84
0,24	5,50	9,74	0,73	2,22	1,70	—	0,42	0,30	Н. о.	99,69
<i>интрузии</i>										
0,13	7,25	6,75	2,09	2,26	3,62	3,09	0,31	0,06	Н. о.	99,67
0,16	9,42	8,25	2,49	2,61	2,12	0,62	0,52	0,19	0,14	99,56

ПАЛЕОЗОЙСКИЕ ИНТРУЗИИ

В эту возрастную группу входят раннепалеозойские интрузии, прилегающие к габбро-диабазовой формации, и среднепалеозойские, прилегающие к трахибазальтовой формации и формации щелочных ультрамафитов.

Раннепалеозойские диабазы (β PZ) слатанот силлы и дайки, объединенные в Белореченский комплекс [70, 76] и распространены в бассейне рек Бейла, Суржа, Алга-Юнь среди вендыкских и нижне-среднекембрийских существенно карбонатных толщ. Силлы в нижнекембрийских отложениях (инианская свита) имеют сравнительно небольшую мощность (от 2—3 до 10—15 м) и образуют до 10—17 пластовых тел [70]. В среднекембрийской улахской свите силлы более мощные (до 40 м) и некоторые из них прослеживаются (с перерывами) по простиранию до 35 км [76, 132]. На правобережье р. Суржа, на отдельных участках силлы по восстановлению переходят в дайки или же дайки (подводящие каналы) трансформируются в силлы [70]. Дайки немногочисленны. Они имеют северо-западное и северо-восточное простирание, мощность 3—20 м и протяженность до 7 км.

По внешнему виду, минералогическому и химическому составу диабазы очень близки к диабазам позднерифейского возраста, но отличаются высоким содержанием TiO_2 (более 3 %) и относительно низкой глинозе-

нистостью. Их типичный химический состав приведен в табл. 8 (№ 3). Они также высокодифференцированы ($FeO/MgO = 2,65$) и относятся к калиево-натровому типу сульфидных базальтоидов.

Процессы контактового воздействия диабазов выражены в ороговевании, хлоритизации терригенных пород и мраморизации карбонатных. В зонах контактовых изменений, ширина которых достигает 1—2 м, нередко встречаются выделения метакристаллов пирита [70].

Раннепалеозойский возраст силлов и даек определяется на основании многочисленных радиологических датировок. Большинство их варьирует от 612 до 569 млн лет, что соответствует возрастному интервалу поздний венд—ранний кембрий [70, 130]. Часть определений возроста, относящихся к диабазам Кытлахской зоны, расширяет этот интервал в сторону омоложения, включая средний и поздний кембрий и даже ордовик (560—430 млн лет) [35, 48].

СРЕДНЕПАЛЕОЗОЙСКИЕ ИНТРУЗИИ

Эта группа интрузий включает в себя дайки и силлы сетте-дабанского и дайки чаро-синского комплексов, относимых к трахибазальтовой формации, и массивы, дайки лединского комплекса, приналежащие к формации ультрамафитов.

Диабазы ($\delta^{\prime}PZ_2$), габбро-диабазы ($\nu\delta'$) слатают многочисленные дайки и редкие силлы на востоке территории, где объединены в сетте-дабанский комплекс [57, 70, 74, 76]. На юго-западе они образуют дайки, относимые к чаро-синскому комплексу [85, 139]. Подлежащее большинство даек имеет меридиональное и северо-западное простирания, продольные по отношению к геологическим структурам. Значительно меньше даек северо-восточного и близиротного простираний. Дайки имеют простую, плитообразную форму, изредка сложную, с раздувами и апофизами. Мощность даек изменяется в широких пределах и прямо коррелируется с их протяженностью: короткие дайки имеют мощность 0,5—5 м, а, например, дайки, трансирующие крупные разломы, простираются на 30—110 км при мощности 10—35 м. На юго-западе района (бассейн рек Харья-Юрх, Ботом, Синяя) дайки группируются в узкие субпараллельные меридиональные зоны — полосы шириной до 5 км и протяженностью 15—30 км [139]. На крайнем юго-востоке, севернее широтного отрезка р. Аглах-Юнь, наблюдается группа кулисообразно расположенных даек близмеридионального и реже северо-западного простираний, образующих пояс шириной 0,5—0,8 км. Как на юго-западе, так и на востоке части пересечения между собой даек разного простирания, что свидетельствует о многофазности комплексов [70, 139]. В ряде мест (правобережье р. Вост. Хандыга, бассейн р. Велая) наблюдались дайки диабазов, являющиеся корнями диабазовых покровов в низзах разреза среднедевонской бурхалинской серии и верхнедевонской сегняхской свите [57, 74].

Силлы, известные только на востоке района, представляют собой субпластовые в плане и вертикальном сечении линзовидные тела с четкими ровными или навислыми контактами. Они часто расщепляются и выклиниваются на расстояниях первых десятков и сотен метров. Мощность тел до 70 м, протяженность — до нескольких десятков километров. Породы состоят из плаглоклаза (андезин-лабрадор), моноклинного пироксена, роговой обманки, акцессорных минералов — ильменита, апатита, сфена. Вторичные изменения в породах выражаются в расслаивании, осветлении, пропитизации интрузивных пород на отдельных участках с насыщением кварц-карбонатными жилами с бедной сульфидной минерализацией и золотом. В отдельных дайках породы превращаются в карбонат-хлорит-аль-

битовые метасоматиты-пропитилиты с выделением пирита и минералов группы эпидота. Карбонаты представляют желвакистый доломит, анкеритом, редко сидеритом. Альбит замещает плагиоклаз. Пропитизация сопровождается развитием метакристаллов пирита и золотой минерализации. В пропитизированных диабазх, например, по сравнению с неизменными, в 5—8 раз уменьшается содержание ванадия, никеля, цинка, молибдена, хрома, меди и резко возрастает концентрация золота, серебра, вольфрама [70]. Экзоконтактовые изменения, связанные с дайками и силлами, проявляются незначительно, причем терригенные породы изменены меньше, чем карбонатные. Песчаники испытывают слабую биотитизацию, в кварцевых песчанках сильнее, чем обычно, проявляется регенерация кварцевых зерен. В аргиллитах и алъвролитах образуются новообразования хлорита, эпидота, биотита. Карбонатные породы мраморизуются. Ширина экзоконтактовой зоны зависит от мощности интрузивных тел и в терригенных породах не превышает 1 м, в карбонатных — 2—3 м.

По химическому составу среднепалеозойские диабазы и габбро-диабазы, как и коматитичные им эффузивы, отличаются от древних, позднерифейских, и меньше — от раннепалеозойских аналогичных пород (см. табл. 8, № 4, 5). Они характеризуются высокой титанистостью (от 3,19 до 4,63 %), высокой степенью дифференцированности ($FeO/MgO = 3,28$) и повышенной щелочностью. В среднем сумма щелочей в них составляет 3,29 % (29 анализов) при среднем содержании $K_2O = 1,47$ %, что позволяет отнести их к трахибазальтовой формации [27, 32, 57].

Верхний возрастной предел формирования даек и силлов сетте-дабанского комплекса ограничивается началом раннего карбона, так как на северо-востоке района (бассейн р. Менюкле) они прорывают менюкленскую свиту верхнего девона и нижнего карбона, в разрезе которой присутствуют коматитичные им единичные покровы базальтов, а также пирокластические породы основного и среднего состава. В вышеописанных отложениях нижнего карбона (базальтные конгломераты курдахской свиты) известны находки галек диабазов [57]. Начало субщелочного основного магматизма приходится на средний девон, в нижней части разреза которого располагаются самые ранние коматитичные интрузивы вулканиты. Таким образом, сетте-дабанский комплекс имеет довольно широкий возрастной интервал, однако кульминация его проявления приходится на франское время, что отражено и в распределении вулканогенных пород в стратиграфическом разрезе территории. Среднепалеозойский возраст даек на юго-западе района (чаро-синский комплекс) устанавливается по их радиологическому (калий-аргоновый метод) возрасту в интервале от 350 до 365 млн лет [139].

Пироксениты, ийолиты, уртиты, сиениты, карбонатиты ($\nu\delta^{\prime}PZ_2$) лединского комплекса слатают три массива на юго-востоке района, в бассейне верховьев р. Сахара. Самым крупным из них является массив Поворотный, расположенный в верховье притока руч. Леда и приуроченный к меридиональной зоне разлома, выраженной здесь серией непровяженных кулисообразно сменяющихся друг друга разрывов. Он представляет собой эввидную форму, вытянутую в северо-восточном направлении, размером 3×1 км. Массив прорывает известняки и сланцы верхнего кембрия, а его южное окончание внедряется в карбонатные отложения бурхалинской серии среднего девона. Восточный контакт массива круто (70—80°) наклонен на восток, в сторону падения вмещающих пород, а западный под меньшим углом (50—60°) — на запад.

К северу от массива Поворотный располагается массивы Гек и Воин. Массив Гек — типичная интрузия трещинного типа, линзовидная в плане, вытянутая в северо-восточном направлении и круто падающая на юг. Размер его — $2,4 \times 0,5$ км. Массив прорывает верхнекембрийские известняки и сланцы. Массив Поворотный и Гек имеют сложное строение, в их составе присутствуют все породы нижнего отловика. Северо-восточный конус Воин, находящийся в бассейне р.ч. Герой, имеет небольшой размер ($1 \times 0,3$ км), округлую форму и залегает в известняково-сланцевой толще нижнесаккырьской подвиги нижнего отловика. Северо-восточный конус такт его сорван нарушением. Массив почти целиком сложен сиенитом. Формирование пород массивов, как считают О. Г. Гомбоев [95] и А. И. Старников [74, 76], происходило в течение пяти этапов: 1) ультрамафитов — пироксенитов и дунитов, 2) фельдшпатовидных лабронитов, 3) ультрамафитов, 4) карбонатитов, 5) посткарбонатитовых гидротермальных.

Среди ультрамафитов наибольшим развитием пользуются метасоматически измененные пироксениты, образовавшиеся при воздействии поредиктовых тел. Наиболее широко они распространены в восточной части массива Поворотный, где размер самых крупных тел колеблется от 150×70 до 300×1000 м. В массиве Гек наиболее крупный участок пироксенитов имеет размер 50×150 м, а в массиве Воин они слатают его центральную часть (30×70 м). Пироксениты состоят из моноклинного пироксена фаст-аврита — титан-аврита с биотитом, апатитом, перовскитом, меланитом и титаномаргнетитом. На контакте с ийолитами на ширину первых десятков сантиметров они обогащаются эфирином, под воздействием нефелиновых сиенитов превращаются в лепидогранобластовые агрегаты эфирин-диопсида и биотита с примесью канкринита, кальцита, сфена. В виде реактив-больших ксенолитов среди ийолитов в массиве Поворотный встречаются мелкозернистые дуниты. Они состоят в основном из преобладающего нацело серпентинизированного оливина и флогопита [76].

Ийолиты и уртиты слатают два линзовидных тела (150×450 и 250×1000 м) в западной части массива Поворотный. В массиве Гек они образуют два линзовидных тела (100×200 и 170×700 м) в северной и южной его частях. Главные минералы пород: нефелин и щелочной пироксен эфирин-диопсидового ряда, содержание которых меняется от уртитов (цветной индекс 20) к ийолитам (цветной индекс 40—50). Во вмещающих порфировидных разновидностях — идиоморфные кристаллы нефелина и эфирин-диопсида. Вторичные изменения выражены в замещении нефелина агрегатом мусковита и канкринита с примесью кальцита и анальдима. Часто (например, более крупное северное тело массива Поворотный) ийолиты почти полностью превращены в эфирин-диопсид-кальцитовые карбонатиты.

Нефелиновые и щелочные сиениты слатают самую северную часть массива Поворотный, большую часть массива Гек (на 60 %) и почти целиком — массив Воин (на 92 %). Их тела в массиве Поворотный имеют линзовидную и серповидную формы, размеры 150×600 и 100×900 м и вытянуты в меридиональном направлении. Более позднее внедрение сиенитов подтверждается пересечением ими ийолитов и пироксенитов и нагнем в них зоны закалки [76]. Сиениты состоят из микроклина, нефелина и биотита. Вторичные изменения сводятся к развитию шахматного альбита (по микроклину), мусковита, хлорита, рудного минерала (по биотиту), в интрузивных развивается агрегат мусковита, карбоната, альбита, биотита, эфирина.

Карбонатиты в массивах Поворотный и Гек занимают около 40 % всей площади, а в массиве Воин встречаются в виде единичных жил. По минеральному составу и структурно-текстурным особенностям в соответствии со стадиями их образования выделяются четыре типа карбонатитов [74].

Карбонатиты I стадии — авит-диопсид- и эфирин-диопсид-кальцитовые слатают линзовидное тело размером $(150—200) \times 1200$ м в северо-западной части массива Поворотный и более мелкие линзовидные тела (от 20×350 до 100×800 м) и жилы в массивах Гек и Воин. Карбонатиты II стадии — диопсид-, флогопит- и фостерит-кальцитовые приурочены к участкам развития пироксенитов, ийолитов и карбонатитов I стадии. В массиве Поворотный они образуют два линзовидных тела (25×200 и 100×600 м) и два — в северной части массива Гек. Карбонатиты III стадии — амфибол- и флогопит-кальцитовые слатают многочисленные линзовидные тела, развиваясь по пироксенитам, ийолитам, сиенитам и карбонатитам I и II стадий. Их размер в массиве Поворотный колеблется от 30×200 до 50×700 м, в массиве Гек — от 15×120 до 220×2100 м. Карбонатиты IV стадии — анкерит- и эфирин-доломитовые встречаются в виде линз и жил среди пироксенитов и амфибол-кальцитовых карбонатитов III стадии, реже — в виде жил во вмещающих известняках. В массиве Поворотный они слатают две крупные (150×1300 и 150×1000 м) линзы в северо-западной и северо-восточной его частях и более мелкие (по 20×500 м) в центральной.

Формирование массивов завершается процессом образования гидротермальных прожилков кальцит-эпидот-альбитового и кальцит-альбитового состава, иногда с кварцем, гематитом и акцессорными минералами (флюоритом, сфеном, апатитом, ортитом).

Изменения вмещающих пород в экзоконтактовой зоне массивов, имеющей ширину до 200 м (массив Поворотный), зависят от состава вмещающих пород и характера воздействующих на них магматических образований. Так, среднедевонские песчаники на контакте с ийолитами и пироксенитами превращены в мелкозернистые диспидовые роговики, на контакте с сиенитами — в неравномернозернистые фениты, а известняки мраморизируются и превращаются в мелкозернистые биотит-кальцит-альбитовые породы. В известняках на контакте с карбонатитами развиваются выделенные светлого флогопита, амфибола, иногда альбита [76]. Вокруг карбонатитов образуется оговорочка флогопита.

Щелочные сиениты ($e\text{FeZ}_2$), лампрофиды (x) и карбонатиты (y) лентинского комплекса слатают дайки и жилы и представляют собой проявления завершающего этапа становления интрузивных образований этого комплекса. Они развиты в основном в бассейне верховьев р. Сахара, где образуют так называемую Лабаз-Войсковую зону, протягивающуюся к югу и северу от массива Поворотный в меридиональном направлении. Протяженность ее более 30 км, ширина на юге $0,2—0,5$ км, на севере до 3 км.

В прегелах Лабаз-Войсковой зоны дайки щелочных сиенитов прорывают известково-терригенные отложения саккырьской свиты нижнего ордовика и известняки бурхалинской серии среднего девона. Это обычно малокошые (от $5—10$ см до $1,5$ м) и непротяженные (до 15 м) дайки. К северу от Лабаз-Войсковой зоны, в верховьях р. Куранак редкие дайки щелочных сиенитов среди силурийских доломитов более протяженные (первые сотни метров) [76]. Дайки лампрофидов — удлиненные линзовидные тела со слабоизвилистыми контактами, залегающие субгоризонтально с трещинами репидального кливажа [74, 76]. Они имеют небольшую мощность (от $0,1—0,5$

до 3,0 м) и протяженность (до 100 м) и прорывают карбонатные отложения бурхалинской серии среднего девона, карбонатно-терригенные — саккырыской серии нижнего ордовика. Лампрофиды — метакристаллические породы с многочисленными (до 30—50 % всего объема) вкрапленниками биотита (до 2,5 см). В основной массе: хлорит, кварц, кальцит, развивающиеся по оливину, псевдоморфозы хлорита, рутила и лейкокосена по биотиту. Из акцессорных минералов присутствуют апатит, циркон, рудных — пирит, магнетит, ильменит. Редкие жилы карбонатитов сложены амфибол-кальцитом (от нескольких сантиметров до 1—1,5 м) и протяженность до 100 м.

По данным Е. М. Эпштейна [140], химический состав интрузивных пород лединского комплекса показывает их общую неолитическую кремнеземом и высокую щелочность (табл. 8, № 6—8). С карбонатитами массивов и жил в районе связано редкометаллическое оруделение. К карбонатитам массивов Поворотный и Тек приурочены одноименные месторождения, к массиву Войн — рудопроявления тантала и ниобия.

Интрузивные и гидротермально-метасоматические образования лединского комплекса прорывают кембрийские, ордовикские и среднедевонские отложения. Они, как показал В. Ф. Мехоношин [117], также метаморфизуют (Фенилизуют) диабазы сетте-дабанского комплекса (массив Тек), интрузий лединского комплекса в конгломератах фаменского возраста обломки карбонатитов. Таким образом, можно с достаточной степенью уверенности считать, что образования лединского комплекса сформировались в фаменском веке, после основной массы диабазов сетте-дабанского комплекса, исключая их самые молодые раннекаменноугольные проявления, известные на северо-востоке района, в бассейне р. Томпо [67].

МЕЛОВЫЕ ИНТРУЗИИ

Диориты (δ К), диорит-порфириты ($\delta\pi$), лампрофиды (δ), гранодиориты ($\gamma\delta$) диорит-гранодиорит-гранитной формации сосредоточены на крайнем юго-востоке района, близ его восточной границы, где образуют четыре поля даек и небольших штоков, прорывающих отложения верхоянского комплекса вплоть до нижне-верхнепермских (тумаринский поризонт). На самом северном (правобережье р. Аглах-Юнь) и южном (левобережье р. Вам) полях сосредоточены только дайки лампрофидов. На втором с севера (севернее долины р. Менажель) поле расположено. Это поле диоритов и один шток гранодиоритов. И, наконец, в пределах трещины (с севера) поля (воплощает р.ч. Вам и р. Минор), кроме штоков и даек диоритов и диорит-порфиритов, большое распространение имеют дайки лампрофидов. Почти все дайки имеют близширотное направление, резко секуще по отношению к генеральному простиранию структур.

Наиболее крупным из интрузивных тел является Климовский шток, расположенный на правобережье р. Минор, овальной, несколько вытянутой в северо-западном направлении формы. Его размер 300×350 м. К юго-востоку от него отходит апофиза (50×200 м). Центральную часть штока занимают крупнокристаллические диориты, постепенно сменяющиеся на среднекристаллические, часто порфировидные. В эндоконтактовой зоне развиты главным образом мелкокристаллические диориты, переходящие местами в спессартиты. Вокруг штока в экзоконтактовой зоне шириной 30—40 м развиваются кварц-мусковит-роговообманковые роговики. Диориты слатают еще ряд более мелких (от 30×50 до 70×100 м) штоков. Диориты состоят из плагиоклаза (андезин № 30—40), роговой обманки,

кварца, калиевого полевого шпата (до 5 %), биотита и акцессорных минералов (апатит, сфен).

Среднекристаллическими гранодиоритами сложен единственный самый северный шток на правобережье р. Аглах-Юнь. Он имеет овальную, вытянутую в северо-западном направлении, форму и размер 60×100 м. В составе пород: плагиоклаз (олигоклаз № 26—27, олигоклаз-андезин № 30), калиевый полевой шпат (10 %), кварц, биотит, мусковит, акцессорные минералы (апатит, рутил). Вторичные изменения слабые. В эндоконтактовой части штока уменьшается зернистость гранодиоритов, снижается количество плагиоклаза и возрастает количество кварца. В экзоконтактовой зоне шириной до 5 м развиваются полевшпат-кварцевые роговики с биотитом, мусковитом и гидроокислами железа.

Наиболее многочисленны дайки лампрофидов (в основном спессартитов). Это глистообразные преимущественно без апофиз тела небольшой мощности (от 0,1 до 5—6 м) и протяженности (от 80—200 м до 1,5 км). Они сложены порфировыми или равномернозернистыми разновидностями. Дайки диоритов и диорит-порфиритов, часть которых является апофизами диоритовых штоков, имеют мощность не более 2 м и протяженность от 10 до первых сотен метров.

Все описанные породы по химическому составу относятся к классу пород, слабо недосыщенных кремнеземом, обнатуривают повышенное содержание TiO_2 (более 2,2 %) и относятся к натровой серии (табл. 8, № 9, 10).

Диабазы (β К) слатают дайки в бассейне р. Вост. Хандыга. Они прорывают карбонатно-терригенные отложения кембрия и саккырыской серии нижнего ордовика и рассекают дайки сетте-дабанского комплекса среднего палеозоя [69]. Мощность даек 2—10 м, протяженность 3—8 км. Они имеют преимущественно северо-западное и меридиональное простирания пересекают меридиональные дайки [69]. Диабазы по петрографическому составу и химическому неоглицимы от среднепалеозойских диабазов. Описанные породы среднетелесного и кислого состава А. И. Стариковым [74, 76] отнесены к умляхскому интрузивному комплексу, меловой возраст которого установлен на соседней с востока территории, для которых имеются радиологические определения подобных пород (калий-арноновый метод). Несмотря на то, что эти определения имеют большой разброс (от 157 до 47 млн лет), большинство из них приходится на меловую эпоху [57]. Доказательством мелового возраста служат также структурное положение интрузий, резко секуще по отношению к складчатым структурам, формирование которых, как известно, произошло в конце раннего мела и сопровождалось становлением коллизийных гранитов, широко развитых непосредственно к востоку от территории. Последнее справедливо и для даек диабазов, ранее датированных [69, 70] как мезозойские на том же основании: выполнение ими опережающих трещин «структурных разломов» и пересечение ими даек сетте-дабанского комплекса, и поэтому следует установить их возраст как меловой.

ТЕКТОНИКА

Описываемая территория принадлежит к юго-восточной окраине древнего Сибирского континента, сформировавшегося к концу раннего докембрига и перекрытого рифей-фанерозойским осадочным чехлом. Этот континент рассматривается в более широких контурах, чем Сибирская платформа, поскольку в его состав необходимо включать древние пассивные окраины (рис. 7).

Таким образом, Сибирская платформа является внутренней частью континента, в пределах которой выделяются стабильные области Алданской антеклизы и среднепалеозойская Палеовилейская рифтовая зона. Деформированные пассивные окраины континента, представляющие ныне в виде обрамляющих платформу с севера и востока складчатых сооружений, представляются платформе с севера и востока складчатых сооружений, жерней древнего Сибирского шельфа рифей-раннедевонского возраста и область распространения терригенных отложений древней проградированной от континента подводной равнины раннекаменноугольного-среднеюрского возраста, раздельных комплексов континентальной равнины среднедевонского—раннекаменноугольного возраста. Перед фронтом складчатых сооружений, возникших на месте пассивных окраин, расположен позднейший—раннемеоловой Приверхоянский краевой прогиб.

Поверхность Моховойяича, по данным Г. И. Штеха [55], располагается в пределах описываемой территории на глубинах 33—39 км и поднимается до 27 км под Палеовилейской рифтовой зоной. Гранитно-метаморфический слой здесь, по его расчетам, значительно сокращен либо отсутствует. Профиль ГСЗ показывает повышение поверхности Моховойяича в данном месте до 32 км, а положение ее на всей территории от 35 до 45 км, причем максимальные глубины приурочены к Алданской антеклизе. И хотя количественная оценка глубины залегания этого раздела не совпадает, в обоих вариантах отмечается повышенное положение поверхности Моховойяича в пределах Палеовилейской рифтовой зоны, что вообще свойственно рифтовым зонам.

При тектоническом районировании территории (рис. 8) в первую очередь выделяются Сибирская платформа и Верхояно-Колымская по-тинентальной окраины в результате позднемезозойской коллизии. На севере платформа отделена от складчатых сооружений крайним При-верхоянским прогибом. Северная часть платформы и южная часть Приверхоянского краевого прогиба перекрыты осадками наложенной Нижнеалданской кайнозойской впадины.

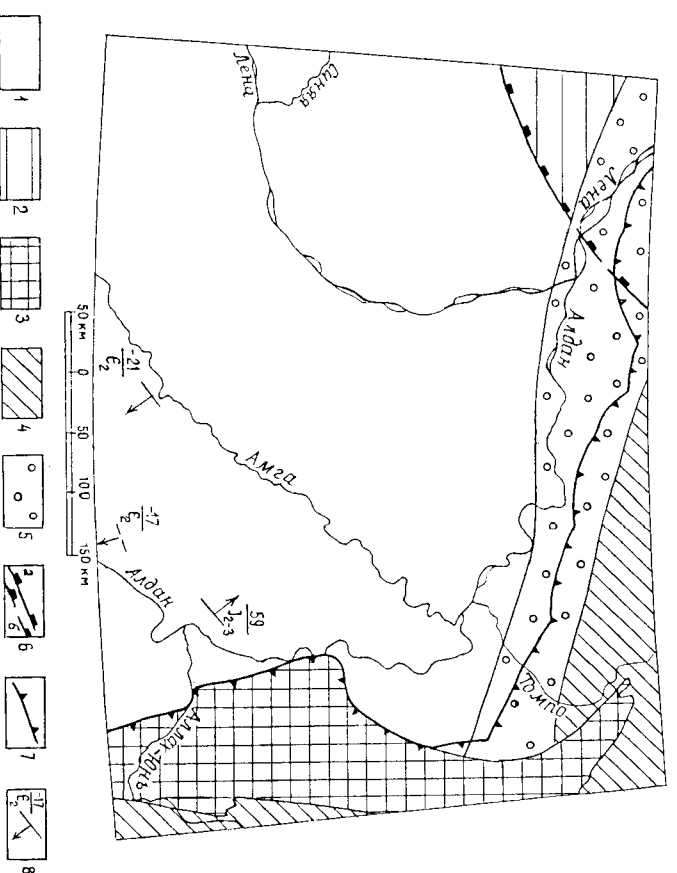


Рис. 7. Схема геологического районирования.
1—5 — древний Сибирский континент: 1—2 — внутренняя часть континента; 1 — стабильная область; 2 — Палеовилейская рифтовая зона (D₁—C₁); 3—5 — деформированные пассивные окраины континента: 3 — область распространения существенно карбонатных отложений древнего Сибирского шельфа (K—D₁) и вулканогенно-терригенно-карбонатных образований континентальной рифтовой зоны (D₂—C₁); 4 — область распространения терригенных отложений древней проградированной от континента подводной равнины (C₁—J₂); 5 — краевой прогиб (Приверхоянский), возникший перед фронтом коллизионных складчатых сооружений деформированной пассивной окраины (D₂—K₁); 6 — юго-восточный борт Палеовилейской рифтовой зоны; а — в пределах Сибирской платформы; б — под Приверхоянским прогибом; 7 — фронт покрова, надпойм и складок, связанных с позднемезозойской коллизией; 8 — наложенные векторы (в числителе — направление, в знаменателе — возраст).

СИБИРСКАЯ ПЛАТФОРМА

Главными тектоническими элементами платформы являются Алданская антеклиза и Вилейская синеклиза.

Алданская антеклиза входит на территорию листа своим северо-восточным склоном и охватывает более ее половины. В ее строении выделяются кристаллический фундамент и осадочный чехол. На большей части антеклизы характеризуется неглубоким залеганием фундамента (от 300 м до 2 км), который начинается опускаться на север на левобережье Алдана и на восток на правобережье Амги. В пределах данной территории фундамент вскрыт семью скважинами.

В поле силы тяжести антеклизы выражена сравнительно отчетливо отрицательным полем, спокойно изменяющимся от 0 до —20 миллигал, в краевых частях до —60 миллигал. Магнитное поле в пределах западной части антеклизы характеризуется наличием округлых или вытянутых положительных аномалий (до +5 мГ) различных простираний на фоне сла-

боотрицательного поля. Для восточной части характерны чередования полого близмеридионального направления с преобладающими положительными или отрицательными значениями магнитного поля. В центральной части выделяются интенсивная положительная (до 15 мЭ) линейная аномалия близмеридионального направления и пепочки положительные аномалии (до 10 мЭ), вытянутых в близком направлении. В северо-восточном углу аномалии располагается крупная округлая положительная аномалия интенсивностью до 11 мЭ.

Судя по геофизическим данным и по материалам бурения, фундамент состоит из близмеридионально ориентированных блоков различного состава. Западная часть относится к Алданской (Тимптоно-Учурской) складчатой системе ранних архей (древнее 3300±200 млн лет), представленной породами ислитской и тимптоно-желтулинской серий. Восточная относится либо к Батомгской складчатой системе поздних архей (древнее 2700±100 млн лет), представленной образующимися становой и батомгской серий [15], либо в ее пределах выделяются разнородные блоки от раннеархейских до раннепротерозойских [10]. Блоки разделены зонами глущинных разломов (Якутский, Ноторский), маркирующихся пепочками линейных положительных аномалий. Вероятно, разломы сопровождаются поясами даек. Эти зоны трактуются также как зоны шовных прогибов или эгленокамениных поясов [10].

В строении осадочного чехла Алданской аномалии выделяются структурно-формационные комплексы отложений эпиконтинентальных бассейнов: нижнерифейский, средне-верхнерифейский, венд-кембрийский, перм-отриасовый и юрско-меловой. Комплексы разделены региональными несогласиями. Рифейские образования локализованы на восточном склоне аномалии. Перм-отриасовые отложения развиты в северной части аномалии. Наиболее широко проявлены венд-кембрийский и юрско-нижнемеловой комплексы, плащеобразно перекрывающие большую часть аномалии.

На фоне плащеобразного залегания выделяются две крупные структуры — Якутское поднятие и Алдино-Майская впадина. Якутское поднятие имеет вид пологого, вытянутого в широтном направлении свода размером 100×50 км, круто обрывающегося на западе Якутским разломом. В пределах поднятия максимальные отметки кровли фундамента — 0,4 км. В центральной его части на порогах кристаллического фундамента залегают юрские отложения, на склонах появляются триасовые и верхнепермские. Поднятие было сформировано в доюрское время и связано с развитием венд-кембрийского и перм-отриасового осадочных комплексов. Алдино-Майская впадина амплитудой порядка 1,5 км вытянута в близмеридиональном направлении на 200 км при ширине 70—80 км. Южное ее крыло выходит на юг за пределы рассматриваемой территории, восточное намерено сейсморазведочными данными под нагнетаниями Верхояно-Колымской порочно-складчатой системы (профиль ГСЗ). Формирование впадины происходило в венд-кембрии. Мощность осадочного чехла аномалии измеряется от 600 м на Якутском поднятии до 5 км в Алдино-Майской впадине. Складчатых формаций в чехле не отмечается, породы лежат полого, изредка испытывая наклон в пределах первых градуусов.

Вилюйское синеклиза занимает северо-западный угол территории листа и входит в его пределы незащитительной по площади восточной частью, которая известна в литературе как Лунхинская впадина. Инота эту впадину включают в состав Приверхоанского краевого прогиба, поскольку граница между синеклизой и прогибом здесь условная, а юрские и меловые осадки, выполаживающие два этих пилантских осадочных бассейна, сливаются, образуя единую крупную отрицательную структуру. Это обстоятельство

подчеркивается многими исследованиями [17, 33, 55 и др.]. Переход от синеклизы к Алданской аномалие тоже постепенный: граница условно проведена по изолине —5 км, вдоль края отрицательной аномалии в поле силы тяжести, где фиксируется крутое погружение в северном направлении кристаллического цоколя и соответственно возрастание мощности палеозойско-мезозойской части осадочного чехла.

Строение Вилюйской синеклизы может быть охарактеризовано исключительно по геофизическим данным и несколькими относительно неглубокими скважинам. В магнитном поле центральная часть Лунхинской впадины характеризуется слабоотрицательными значениями от 0 до —2 мЭ, а бортовая часть — слабоперемеженным положительным полем 1—3 мЭ. В поле силы тяжести впадине отвечают отрицательные значения от —10 до —30 миллгал.

Поверхность кристаллического фундамента погружается от борта синеклизы к центру Лунхинской впадины по данным профиля ГСЗ от —5 до —12 км. Как было сказано, расчеты Г. И. Штеха показали значительное сокращение мощности впадины до полного отсутствия грабитно-метаморфического слоя под центральной частью Вилюйской синеклизы, сформировавшейся над среднепалеозойской Палеовилюйской рифтовой зоной. К западу от данной территории Палеовилюйской рифтовой зона подтверждена существованием щелочной контрастной позднедевонской вулканической серии и пологосы девонских эвапоритов. Рифтовая зона траскируется под описываемую часть территории [84], и в основании центральной части Лунхинской впадины можно предполагать наличие щелочных базальтоидов и девонских эвапоритов. На них могут залежать известняки по данным Вилюйской глубокой скважины (за пределами рассматриваемой территории) терригенные отложения средне-позднекаменноугольного возраста и широко распространенные там пермские терригенные отложения с линзами углей, карбонатных и туфогенных пород. Вскрывающаяся скважинами часть осадочного чехла описываемого участка Вилюйской синеклизы сложена прибрежно-континентальными терригенными отложениями средне-позднеотриасового возраста, морскими и прибрежно-континентальными слабоугленосными осадками юрского возраста, угленосными терригенными образующимися раннемелового возраста и терригенными отложениями позднемелового возраста общей вскрытой мощностью до 4100 м. Мощности отложений уменьшаются от центра впадины к ее борту, а породы осадочного чехла полого (первые градуусы) погружаются от борта синеклизы на север, к центральной части Лунхинской впадины. На фоне общего пологого погружения по сейсмическим данным выделены и подтверждены бурением локальные поднятия в раннемеловых отложениях размерами (3—5)×(8—10) км, амплитудой порядка 100 м.

В основании синеклизы выделяется разлом, ограничивающий Палеовилюйскую рифтовую зону с юго-востока, получивший название Синского. На более западных площадях этот разлом был известен ранее [49] как Верхнесинский, выраженный в фундаменте и чехле, но он не проводился в пределы рассматриваемой территории. Как Синский, ограничивающий рифтовую зону, он выделен Д. К. Ваплавным и др. в 1986 г. [84]. Разлом выражен в поле силы тяжести четкой гравиационной ступенью, а в магнитном поле — смесной знаков полей. Западнее территории листа он подтверждается данными бурения — к юго-востоку от него отсутствуют в разрезах позднедевонские—раннекаменноугольные рифтогенные образования.

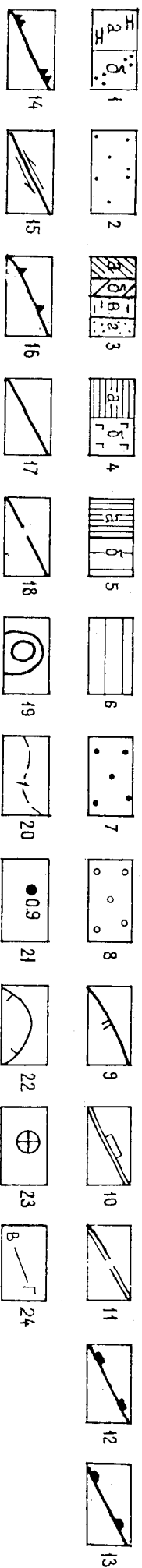


Рис. 8. Тектоническая схема.

1—2 — Сибирская платформа; 1 — Алданская антек-
 клина (отложения эликогиперитальных бассейнов: *a* — палео-
 кембрийские, *b* — юрские—палеогеновые (*БП* — Якутское
 поднятие); *АМВ* — Алдино-Майская впадина); 2 — Вилюй-
 ская синеклиза; 3—6 — Верхояно-Колымская покрывно-
 складчатая система: 3—4 — краевые чешуйчато-надвиговые
 зоны; 5 — Кылахаха (терригенно-карбонатные отложения
 древнего Сибирского шельфа: *a* — рифейские, *b* — венд-
 нижнепалеозойские, *c* — верхнепалеозойские, *d* — юрские);
 цифры в кружках на схеме: 1—4 — антиклиналь; 1 — Эбей-
 кэ-Хайтинская, 2 — Кылахаха, 3 — Горностахская, 4 —
 Нельканская; 5 — Керей-Хаминская синклинали; 4 — Сет-
 те-Дабанская (*a* — венд-раннеюрские отложения пасив-
 ной окраины, *b* — среднеюрские—раннекаменноугольные
 образования континентальных рифтовых зон); 5 — Верхо-

янский метантэклиниорий (позднепалеозойско-мезозойские
 терригенные отложения пассивной окраины: *a* — каменно-
 угольные в ядре Баранинского антиклинория, *b* — пермские
 и мезозойские — на крыльях); 6 — Южно-Верхоянский
 синклиниорий (позднепалеозойские—мезозойские терригенные
 отложения пассивной окраины); 7—8 — Принерхоянский
 краевой прогиб; 7 — внутренняя зона (цифры на схеме: 1 —
 Китчанская, 11 — Тукуланская зоны передовых складок и
 надвигов, 111 — зона Томпурокского надвига); 8 — внешняя
 зона; 9—10 — границы тектонических структур: 9 — гра-
 ница Нижнеалданской кайнозойской надвижной впадины,
 10 — граница Алданской антеклизы и Вилюйской синеклизы;
 11—17 — разломы: 11—13 — скрытые; 11 — проявленные
 в кристаллическом фундаменте и нижних горизонтах чехла
 (*Я* — Якутский, *НТ* — Нотгорский), 12 — опраничиваю-

щий Палеовилюйскую рифтовую зону (*СН* — Синевский),
 13 — опраничивающий внешнюю зону Приверхоянского кра-
 евого прогиба (*ИД* — Нижнеалданский); 14—17 — выходя-
 щие на поверхность: 14 — передовые надвиги Верхояно-Ко-
 лымской покрывно-складчатой системы (*О* — Окраинный,
К — Кылыхский, *Н* — Нельканский); 15 — зона левых
 сдвигов (*С* — Сордогинская), 16 — надвиги и взбросо-на-
 двиги, 17 — взбросы; 18 — линейные элементы, выделенные
 путем дешифрирования космофотоматериалов; 19 — кольце-
 вые структуры по данным дешифрирования космофотомате-
 риалов; 20 — изолинии кровли кристаллического фундамен-
 та; 21 — отметки кровли кристаллического фундамента по
 данным бурения; 22 — контуры поднятий и впадин в цоколе
 Алданской антеклизы; 23 — эпицентры крупных землетря-
 сений; 24 — линии разрывов.

Покровно-складчатые сооружения занимают северо-восточную и восточную части территории. На севере они отделены от структур платформ Приверхоанским краевым прогибом. На востоке надвинуты на этот прогиб и склад Андланской антеклизы. Самыми крупными надвигами здесь являются фронтальные: Окраинный, Кыдлахский и кулисно подставляющий его с востока — Нельканский. В пределах покровно-складчатой системы выделяются Кыдлахская и Сетте-Дабанская краевые чешуйчато-надвиговые зоны, Верхоанский мегантиклинорий и Южно-Верхоанский синклинорий.

Краевые чешуйчато-надвиговые зоны хорошо изучены геологами Алдлах-Юньской экспедиции ЦГО «Якутскгеология», материалы которых были обобщены В. А. Ян-жин-шином [57]. Обычно обе эти зоны рассматривались как Сетте-Дабанский горст-антиклинорий. Кыдлахская зона, пограничная с Сибирской платформой, с запада ограничена Кыдлахским и Нельканским надвигами, а с востока — серией взбросов и крутых надвигов, отделивших поля сплюснотого развития карбонатных венд-палеозойских отложений Сетте-Дабана от терригенно-карбонатных пород рифея, венда и кембрия Кыдлахской зоны (рис. 9).

Кыдлахская зона состоит из широкой, сильновыпуклой на запад северной части и узкой сжатой южной части. На западе северной части зоны расположены Эбэйкэ-Хэйтинская и Кыдлахская антиклинали, примыкающие к Кыдлахскому надвигу. Западные их крылья сорваны надвигом, залегание пород здесь крутое (70°), на восточных крыльях пологое ($10-15^\circ$). На востоке северной части зоны располагается Горностахская антиклиналь, в ядре которой обнажаются нижнерифейские породы, сменяющиеся на крыльях средне- и верхнерифейскими. Антиклиналь имеет асимметричное строение: на западном крыле породы залегают под углами $10-15^\circ$, на восточном — $25-50^\circ$. Между этими антиклиналями расположена широкая (до 50 км) плоская корытообразная Керби-Хамнинская синклиналь, в соответствии с очертаниями граничащих с ней антиклиналей выгнутая на запад.

Структуру зоны в южной ее части определяют протяженные близмеридиональные имеющиеся характер крутых надвигов срывы, сопровождающиеся выгнутыми вдоль них узкими преобладающими антиклиналями, западные крылья которых сорваны надвигами. Антиклинали в плане пологости соответствуют конфигурации разломов и замыкаются при залуках последних. Антиклинали сменяются к востоку широкими плоскими корытообразными синклиналями. Породы Кыдлахской зоны прорваны дайками и сидами диабазов, кварцевых диабазов и габбро-диабазов поздне-рифейского и среднепалеозойского возраста.

Динамиктивные нарушения Кыдлахской зоны представлены пологими надвигами, переходящими в крутые во фронтальных частях. Обычно плоскости нарушений падают на восток под углами от $40-60$ до 10° . Пологие залегание плоскости сместителя для Кыдлахского надвига наблюдались в нижнем течении р. Белая [57]. Амплитуды перемещений по разломам от 1 до 4—5 км.

Кыдлахской зоне соответствуют значения поля силы тяжести от -25 до -60 миллигал, магнитное поле в целом пологительное, плавно понижающееся к востоку.

Сетте-Дабанская зона, шириной от 7—10 км на юге до 50 км на севере, протягивается вдоль восточной границы территории более чем на 400 км и уходит за ее пределы на юг и на восток. С запада она по серии разломов граничит с Кыдлахской зоной, далее к северу по Окраинному надвигу — с Приверхоанским краевым прогибом и Верхоанским меган-

тиклинорием, с северо-востока и востока с Южно-Верхоанским синклинорием, граница проводится вдоль серии взбросов и по пологой хатынахской свиты нижнего—среднего карбона.

Эта зона протергенными близкими к меридиональным разломами, имеющими характер надвигов и взбросов, разбита на узкие (от 5—7 до 20—25 км) меридионально вытянутые на сотни километров пластины, взброшенные и надвинутые друг на друга. Поверхности сместителей наклонены на восток под углами $40-60^\circ$, иногда круче или положе. Внутри пластины выделяются морфологически хорошо выраженные складки или части таких складок, обретенные разломами. Ширина складок не превышает 6 км, протяженность десятки километров. Большинство складок присущее асимметричное строение — восточные крылья антиклиналей и западные синклиналей более пологие, ядра и мулды складок сжатые, преобладающие. Углы падения пород на крыльях складок от 35 до 85° , в приразломных зонах залегания их вертикальные и опрокинутые.

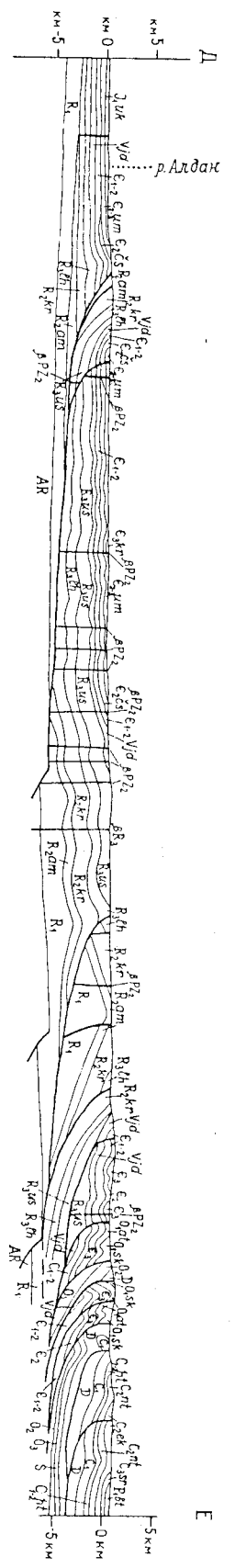
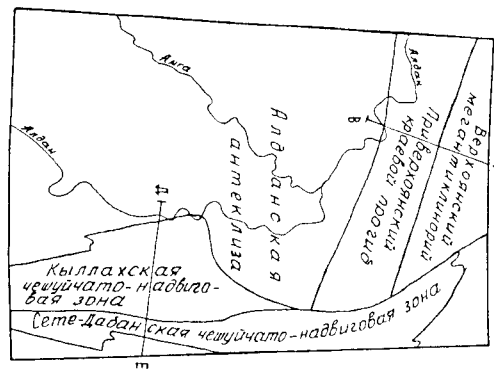
Зона пронизана многочисленными дайками диабазов, диабазовых порфиритов среднепалеозойского возраста. Они простраются в меридиональном направлении и ориентированы по отношению к складкам продольно. На юге зоны отмечаются единичные массивы ультраосновных—щелочных пород с карбонатитами того же возраста. На севере и юге зоны в разрезах среднего—позднего девона и раннего карбона присутствуют метабазальты и базальтовые порфириты, туфы основных пород. Весь комплекс отнесен К. К. Левашовым [27] к вулканическим щелочно-базальтовым образованиям континентальных рифтовых зон.

Сетте-Дабанской зоне отвечает отрицательное, слабовременное поле силы тяжести ($-50-80$ миллигал). Спокойный характер правтационного и магнитного полей, а также морфология разрывных и складчатых структур позволяют сделать вывод [47, 62], что краевые чешуйчато-надвиговые зоны повсеместно достигают архейским кристаллическим фундаментом, погруженным на глубины 5—7 км, и нет данных, чтобы говорить о крупных перемещениях его блоков по крутым разломам. Кажущиеся большие амплитуды вертикальных смещений связаны с сериями чешуйчатых надвигов, крутых во фронтальных частях. Последние связаны с поризон-талыными напряжениями и полойными срывами, парадельными поверхностями кристаллического фундамента. Преобладающие складки не имеют корней. Общий надвиговой характер перемещения по разломам подтверждается морфологией основных складчатых структур (асимметричные преобладающие антиклинали с крутыми западными и пологими восточными крыльями), наличием почти горизонтальных срывов в зонах крупных нарушений, многочисленными поперечными сваями, мелкими складками волочения.

Верхоанский мегантиклинорий состоит из трех кулисно составленных друг друга антиклинориев, в пределах территории входят лишь часть южного из них — Баранского антиклинория. Главной особенностью структурного плана антиклинория является кулисообразное расположение составляющих его складок, вытянутых в основном на северо-западом направлении, меняющиеся на юге до запад-северо-западного. Вдоль границы с Приверхоанским краевым прогибом они обрешены крупными Сордолинским сваем. Вдоль этого свая мезозойские породы образуют почти вертикальную моноклииналь (рис. 10), к северному краю которой прижата серия крупных синклинальных складок, в междуречье Томпо и Уны свайнутых по отношению одна к другой. В своей восточной части Сордолинская моноклииналь осложнена крутым надвигом.

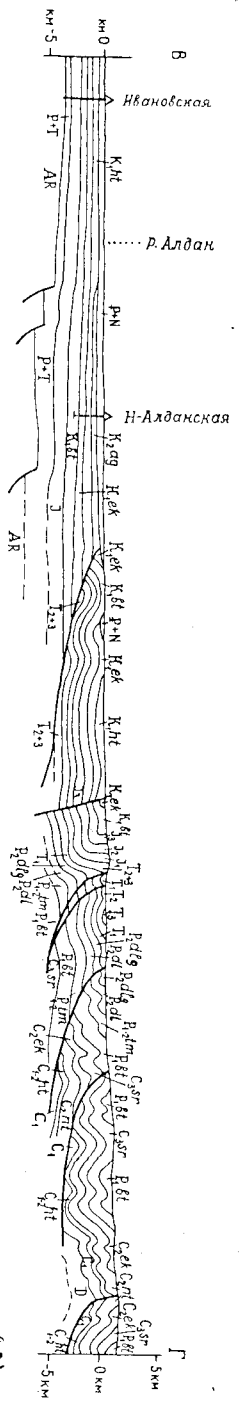
В пределах антиклинория развиты линейные складки, представляющие сравнительно широкими (3—12 км) простыми с плавным пергибом слоев

Положение разрезов в главных структурных элементах региона



Масштабы: горизонтальный 1 : 500 000
вертикальный 1 : 500 000

Рис. 9. Геологический разрез по линии Д—Е.



Масштабы: горизонтальный 1 : 500 000
вертикальный 1 : 500 000

Рис. 10. Геологический разрез по линии В—Г.

Г20168 (2)
P.52,53

в замке синклиндами и узкими (от 1—2 до 5 км) сжатými гребневидными антиклинадами. Протяженность складок 60—70 км, амплитуда от 600 до 3000 м, наклон крыльев 40—60°, реже до 80° (вблизи разломов). Шарниры складок погружаются в юго-восточном и северо-западном направлениях под углами 10—12°, часто ундулируют. Крылья основных складок осложнены мелкими складками шириной 400—500 м, с углами падения от 20 до 70°. На северо-восточном крыле антиклинория породы смяты в широкие неглубокие корытообразные синклинды, разделенные узкими антиклинадами. Ширина складок 2—4 км, протяженность до 40 км, углы наклона крыльев 15—35°, реже 50—60°. Шарниры складок полого погружаются на северо-запад.

Разломы имеют преимущественно северо-западное направление, протягиваются на расстояния до 150 км и имеют характер взбросов и взбросо-надвигов с незначительной сдвиговой составляющей. Амплитуды вертikalных смещений по ним от первых сотен метров до 3 км, нарастают в юго-восточном направлении. Сместились разломов представляють собой зоны интенсивно дробленных и рассланцованных пород, часто лимонитизированных и окварцованных, и наклонены на северо-восток.

Баринскому антиклинорию отвечает отрицательное поле силы тяжести, меняющее значение от —40 до —80 миллигал в юго-западном направлении и слабоперемеженное (от +1 до —2 мЭ) магнитное поле.

Южно-Верхоянский синклинорий входит в пределы рассматриваемой территории своими северо-западной и юго-западной окраинами, занимая незначительную площадь на северо-востоке и юго-востоке листа. Синклинорий ограничен с запада Сетте-Дабанской краевой чешуйчато-надвиговой зоной, граница проводится по разломам и подолше верхоянского комплекса. На крайнем севере он отстается от Верхоянского метангиклинория по разлому, являющемуся северным продолжением Окраинного надвига и разделяющему участки с резко различными типами складок.

Для Южно-Верхоянского синклинория в северной части характерна брахиформная складчатость. В части, прилегающей к Сетте-Дабанской зоне, складки повторяют чертунья ступкут последних, имея более пологие залегания (углы наклона на крыльях 15—30°). По удалении от Сетте-Дабана складки широкис — до 15 км, пологие (углы наклона на крыльях 10—25°), с пологими мульдами и замками. Они ориентированы в северо-западном направлении, часто осложнены мелкими пологими складками шириной 0,5—2 км. Разрывные нарушения преимущественно северо-западного направления, реже северо-восточного, имеют характер взбросов (углы 70—80°), реже сдвигов. Амплитуды смещений не превышают 0,5 км.

Для южной части синклинория характерна линейная складчатость север-северо-восточного простирания. Складки представляют собой синклинды с широкими мульдами (6—14 км), зажатые между разломами, крылья их сорваны. Углы падения крыльев от 20 до 60°, в мульдах синклиндалей залегание до субгоризонтального. Крупные складки осложнены более мелкими с углами наклона от 10 до 60—70°. Среди разломов наиболее характерны взбросы север-северо-восточного направления, с углами наклона сместителей 60—90° преимущественно на восток и амплитудами перемещения от первых сотен метров до первых километров. Разломы сопряжены с зонами дробления и окварцевания. Менее развиты разрывы северо-западного направления, представляющие сбросами и сбросо-сдвигами с амплитудами, не превышающими сотен метров. Интрузивные породы представлены штоками диоритов, гранодиоритов, широтными дайками диоритов, диорит-порфиритов и лампрофиров мелового возраста.

В поле силы тяжести синклинорию соответствуют —55—65 миллигал в южной части, —30—65 миллигал — в северной части, в магнитном

поле — отрицательные значения от 0 до —5 мЭ, спокойно и плавно сменяющиеся.

В рассматриваемой части Верхояно-Колымской покровно-складчатой системы выделяется три крупнейших структурно-формационных комплекса, формировавшихся в различных геодинамических обстановках: 1) рифей-раннекаменноугольный — пассивной континентальной окраины; 2) среднекаменноугольный — раннекаменноугольный — континентальной рифтовой зон; 3) раннекаменноугольный — среднеюрский — пассивной континентальной окраины.

Рифей-раннекаменноугольный комплекс пассивной континентальной окраины распространен в Кылахской и Сетте-Дабанской чешуйчато-надвиговых зонах. Шельфовые отложения окраины локализованы преимущественно в Кылахской зоне, где объединяют мелководно-морские карбонатные и терригенно-карбонатные толщи от рифей по ордовик включительно. Нередко отложения имеют циклическое строение, при котором в основании осадочного разреза залегают терригенные аркозово-кварцевые породы, сменяющиеся выше терригенно-карбонатными и карбонатными отложениями. От синхронных осадков прилегающей части Алданской антеклизы они отпочкованы большей полнотой разреза, большей мощностью, высокой дала-теральной изменчивостью. Видимая мощность шельфовых образований в Кылахской зоне достигает 7—8 км.

В Сетте-Дабанской зоне наряду с шельфовыми образованиями широко развиты получили континентально-склоновые осадки, сложенные карбонатно-обломочными породами турбилитового и флишиодного типов (кембри, нижний — средний ордовик). Шельфовые отложения карбонатной платформ слоятся верхнейю часть разреза комплекса пассивной окраины и представлены мощными рифтогенными толщами среднего ордовика — раннего девона. Суммарная мощность отложений превышает 10 км.

Среднекаменноугольный комплекс континентального рифта развит только в Сетте-Дабанской зоне и представлен резко изменчивой толщей грубообломочных, карбонатных, эвапоритовых, терригенных пород с породами субшелловых базальтов, количество и мощность которых нарастает в северном направлении. Они формировались в мелководно-морских и лагунно-континентальных обстановках. Для комплекса в целом характерны резкие изменения мощностей, варьирующие от 200—300 м до 2—3 км, выходящие из разреза ряда горизонтов, наличие многочисленных перерывов и несогласий. С комплексом связано возникновение шельфово-улытраосновной формации ледникового комплекса и многочисленных даек диабазов.

Нижекаменноугольный — среднеюрский комплекс (верхоянский) пассивной континентальной окраины складает на рассматриваемой территории Верхоянский метангиклинорий и Южно-Верхоянский синклинорий. В прошлом ему отвечала огромная пологая равнина, состоявшая из слившихся конусов выноса. Об этом свидетельствует турбидитный тип разрезов, следы оползаний осадка, поведение мощностей, нарастающих в сторону бывшего открытого бассейна. Здесь же реконструируется огромная древняя дельта в средне-верхнетрасовых отложениях. Верхоянский комплекс накапливался вблизи высокоподнятого края Алданской антеклизы, с которой поставлялся обломочный материал. В разрезе сто встречается галька гранитов, кристаллических сланцев и других свойственных фундаменту пород (верхи верхней перми). Суммарная мощность комплекса более 5 км.

Прогиб располагается в северной части территории, занимая пограничное положение между Сибирской платформой и Верхояно-Колымской покровно-складчатой системой. Сложен он верхнеюрскими и меловыми угленосными молассовыми отложениями мощностью до 3—3,5 км, образующими сложноположенные коллизионный комплекс. На территории листа входит Алданская — широтная — ветвь прогиба, в пределах которой выделяются внутренняя и внешняя зоны. Южная граница прогиба проводится в основном по Нижнеалданскому разлому, выделенному по геофизическим данным вдоль опромонной отрицательной аномалии силы тяжести, известному по литературным данным как внутриплатформенный разлом. Вдоль него происходит резкое погружение фундамента и увеличение мощности осадочного чехла, что подтверждается данными Нижнеалданской и Ивановской скважин. Граница краевого прогиба и Верхояно-Колымской покровно-складчатой системы совпадает с Сордолинской моноклиной.

Глубина залегания кристаллического фундамента в прогибе неодинакова в разных его частях. На большей восточной части, где он наложен на склон Алданской антеклизы, глубина составляет 6—9 км. Этой части прогиба отвечает обширная изометрическая отрицательная (от —70 до —135 миллигал) аномалия силы тяжести, совпадающая с отрицательным магнитным полем слабой интенсивности (от —1,5 до —2 мЭ). В западной (в пределах листа) части прогиба, расположенной над Палевильской рифтовой зоной, кристаллический фундамент, как было сказано, полностью отсутствует или значительно сокращен в мощности и погружен на глубину не менее 14 км. Этой части прогиба в поле силы тяжести отвечают слабопротягательные значения от —25 до —45 миллигал и слабопеременное магнитное поле 0+1 мЭ.

Граница внутренней и внешней зон прогиба проводится по фронту надвигов. В пределах внутренней зоны выделяются области передовых складок и надвигов, ранее рассматривавшиеся как поперечные поднятия [17, 33]. Китчанская зона складок и надвигов — это участок развития пликативных структур северо-западного простирания, надвинутых друг на друга. Размеры их (13—18) × (30—45) км, углы падения на крыльях от 20 до 45°. Надвиги, раздвигающие складки, направлены на юго-запад, их плоскости сместителей погружаются в сторону складчатой области. Амплитуды горизонтальных смещений толщ достигают первых десятков километров [84]. Севернее описываемой территории (бассейн р. Дьянушка) среди мезозойских отложений Китчанской зоны известны штоки андритов, позволяющие предположить, что верхоянский комплекс здесь сорван с верхнедевонской эвапоритовой толщи, известной в Палевильской рифтовой зоне. Китчанская зона складок и надвигов, расположенная над глубокопогруженным участком фундамента, имеет дугообразную форму складок и надвигов, которая свидетельствует о большой роли при их образовании торизонтальных напряжений, передающихся из складчатой области Верхояния.

Туккуланская зона складок и надвигов протягивается от р. Келе до р. Барайы и представлена средней надвигов, обращенных на юго-юго-запад и чешуйчато перекрывающих друг друга. В пределах чешуй пород сматы в складки: антиклинали с залеганиями пород на крыльях до 60° сменяются пологими синклиналями. В строении складок принимают участие ранне-меловые и юрские породы. Антиклинали выражены в поле силы тяжести либо гравитационной ступенью, либо относительноной положительной аномалией. Крутые крылья антиклиналей обращены в сторону платформ и обрваны плоскостью надвига.

В зоне Томпорукского надвига (вскрыт буровыми скважинами), направленного на юго-запад, отложения верхнего — среднего триаса и юры, падающие под углами 40—45° на северо-восток, наклоняются на южнотельные отложения внешней части прогиба. Предполагаемая торизонтальная амплитуда надвига 1,5 км [125]. Поверхность его перекрыта палеогеновыми отложениями Нижнеалданской впадины. Надвиг выражен в поле силы тяжести относительной положительной аномалией на общем фоне резкоотрицательных аномалий (до —100 миллигал).

Внешняя зона прогибов сложена преимущественно нижнемеловыми терригенными и угленосно-терригенными отложениями мощностью порядка 2000 м. В наиболее прогнутых участках (под Нижнеалданской впадиной) развиты отложения позднего мела мощностью до 600 м. Подстилаются меловые породы образованными юры и, вероятно, триаса и перми. Во внешней зоне распространены преимущественно брахиформные складки, не превышающие в поперечнике 10 км, амплитудой порядка первых сотен метров (по данным сейсморазведочных работ). Углы падения пород на их крыльях составляют первые градусы.

НИЖНЕАЛДАНСКАЯ КАЙНОЗОЙСКАЯ НАЛОЖЕННАЯ ВПАДИНА

Впадина расположена в северной части территории листа, в нижнем течении р. Алдан. Она вытянута в широтном направлении и имеет размеры 400 × 170 км. Отложения впадины перекрывают северный склон Алданской антеклизы, восточный край Вилюйской синеклизы и южный борт Приверхоянского краевого прогиба. Максимально прогнутые участки (до 1000 м) приурочены к зоне Нижнеалданского разлома и внешней зоны прогиба.

Нижнеалданскую впадину слагают кайнозойские континентальные терригенные отложения молассового типа, залегающие с угловым и стратиграфическим несогласием на различных торизонтах верхней юры и мела. Южное крыло впадины представляет собой пологую (доли градуса) моноклинал, осложненную незначительным поднятием северо-западного простирания. Северное крыло более крутое (первые градусы), осложнено рядом ориентированных складок, углы падения палеоген-неогеновых пород на крыльях которых достигают 18—20°. На западном крыле впадины отмечаются разломы северо-западного простирания протяженностью до 50 км.

РАЗЛОМЫ

Выделяются две группы разломов: скрытые и выходящие на поверхность. Скрытые разломы проявлены в кристаллическом фундаменте и нижних торизонтах чехла. Они устанавливаются по геофизическим данным и, как уже сказано выше, четко выражены в магнитном поле. К ним относятся Якутский, Ноторский, Синский, Нижнеалданский разломы.

Якутский разлом близмеридионального направления в аномальном магнитном поле фиксируется интенсивной положительной линейной аномалией, Ноторский — северо-западного направления — в виде цепочки положительных аномалий. По Якутскому разлому поверхность фундамента смещена на 1 км, приподнят восточный блок. На строение чехла эти разломы существенного влияния не оказывают. Якутский разлом проявлен, вероятно, лишь в венских и кембрийских отложениях. О роли в чехле Ноторского разлома сведений нет.

Синский разлом, ограничивающий Палевильскую рифтовую зону, выражен в поле силы тяжести четкой гравитационной ступенью, а в

магнитном поле — сменой знаков полей. По данным профиля ГСЗ разлом проявлен в фундаменте и более глубоких горизонтах коры.

Нижнеалданский разлом, ограничивающий Приверхоанский краевой прогиб, выделен по геофизическим данным и выражен четкой гравитационной ступенью. Проявлен в фундаменте и нижних горизонтах осадочного чехла платформы. Роль его в юрских и меловых отложениях не вполне ясна. Синский и Нижнеалданский разломы отчетливо дешифрируются на космических снимках и, возможно, проявлены в верхних частях осадочных толщ как зоны повышенной трещиноватости пород.

К группе разломов, выходящих на дневную поверхность, относятся передовые надвиги, зона левых сдвигов, надвиги и взбросо-надвиги, взбросы, развитые в пределах Верхояно-Колымской покровно-складчатой системы.

Передовые надвиги — Окраинный, Кытлахский и Нельканский — прослеживаются с севера от р. Томпо до южной границы территории, Нельканский разлом продолжается за ее пределы на юг.

Окраинный надвиг на северном своем участке отступает Верхоянский метантиклинорий от Южно-Верхоанского синклинория и от Сетте-Дабана, южнее — Приверхоанский прогиб от Сетте-Дабана, на южном участке, от р. Тыры до верховьев р. Сулжа, он разграничивает Кытлахскую и Сетте-Дабанскую краевые чешуйчато-надвиговые зоны. Окраинный разлом представляет собой крутой надвиг или взбросо-надвиг с восточным падением сместителя под углом 40—60°. Проявлен в рельефе в виде 200—700-метрового уступа Окраинного хребта, в северной части, вдоль долины р. Томпо — в виде депрессий. Зона разлома представлена раздробленными, часто хлоритизированными и слабоокварцованными породами мощностью от 15—20 до 150 м с многочисленными зеркалами скопления, вытолкнутыми черной глиной трения. Окраинному разлому в центральной его части, от р. Тыры до р. Томпо, в поле силы тяжести соответствует градиентная ступень, но на отрезках северной и южной он пересекает аномалии силы тяжести, и вывал его глубокой природы не подтверждается. Скорее всего он вылоаживается на глубине, что подтверждает появление многочисленных пологих надвигов на его южном замыкании.

Кытлахский надвиг образует дугу, выгнутую на запад и протягивающуюся от р. Тыры на севере до р. Аглах-Юнь — на юге. По нему рифейско-кембрийские породы Кытлахской краевой чешуйчато-надвиговой зоны надвинуты на юрские и кембрийские образования Алданской антеклизы. Кытлахский надвиг представлен обычно сериями субпараллельных разрывов, образующих единую тектоническую зону шириной 4—8 км. В этой зоне породы раздроблены, смяты в дисгармоничные складки и поставлены на «голову». Межкая складчатость нарушена сериями маломасштабных сбросов. Плоскости субпараллельных разрывов повсеместно имеют восточное падение от 10 до 70°. В рельефе надвиг выражен в виде 500—700-метрового уступа Кытлахской горной цепи. В геофизических полях разлом не выражен, он пересекает аномалии силы тяжести. Амплитуду вертикального перемещения в зоне разлома порядка 4000 м. Амплитуду горизонтального перемещения по разлому В. А. Ян-жин-шин [57] оценивает в 40—50 км.

Нельканский разлом протягивается от р. Джюнекин на юг и уходит за пределы территории. По нему рифейские породы Кытлахской зоны также надвинуты на кембрийские и юрские образования Алданской антеклизы. Разлом во фронтальной части имеет характер крутого надвиги с падением плоскости сместителя на восток под углами 35—70°. Вер-

тикальная амплитуда смещения составляет 3,5—4 км. Амплитуда горизонтального перемещения составляет, по данным В. С. Гриненко [98], 40 км. В геофизических полях разлом находит слабое отражение. В поле силы тяжести ему соответствуют излобы изомомал, в магнитном поле — изометричные отрицательные аномалии. В современном рельефе ему соответствуют предгорный уступ высотой 300—800 м.

Сордогинская зона левых сдвигов отделяет Верхоянский метантиклинорий от Приверхоанского краевого прогиба. Вдоль этой зоны в западной части развиты протяженная моноклиналь, сложная мезозойскими отложениями (от раннего триаса до раннего мела) с крутыми, иногда вертикальными залеганиями. Вдоль флексуры породы складчатого Верхояния сдвинуты на северо-запад. В бассейне р. Уяна флексура срезана надвигом северо-западного простирания. Восточнее этого надвига зоне Сордогинских сдвигов отвечает серия узких сжатых синклинальных складок, зажатых между разломами запад-северо-западного направления в погосе шириной до 10 км.

Плоскости разломов, ограничивающих зону со стороны Приверхоанского прогиба, не обнажены. Северные ограничения зоны изучены в обнажениях, плоскости сместителей их падают круто на северо-восток, представляют собой маломощные (3—10 м) сжатые зоны интенсивно дробленных и рассланцованных пород.

Надвиги, взбросо-надвиги и взбросы были охарактеризованы при описании Верхояно-Колымской покровно-складчатой системы.

Специфическую группу разрывных нарушений, выявленных при дешифрировании космофотоматериалов, составляют линейные элементы. Они образуют сеть запад-северо-западного и восток-северо-восточного направления. Все они получают подкрепление в геофизических полях в виде залывов и изгибов изомомал либо на профилях ГСЗ. Роль их пока не совсем ясна. Возможно, они являются разломами кристаллического основания, проявленными в верхних горизонтах чехла в виде зон повышенной трещиноватости. Часть из них, возможно, отражает напряжения, создающиеся при горизонтальных движениях литосферных плит и их частей.

На тектонической схеме показаны также кольцевые структуры, выделенные по данным дешифрирования космофотоматериалов. Они четко видны на всех впахах космических снимков. Роль их до последнего времени не совсем ясна. Большая кольцевая структура диаметром 30 км в северо-западном углу территории, расположенная над Палеовилгойской рифтовой зоной на стыке Вилгойской синеклизы и Приверхоанского краевого прогиба, совпадает с относительно минимальным в магнитном поле, интерпретировалась Д. К. Башлаевым и др. [84] как отражение на поверхности погруженной вулкано-тектонической структуры, образовавшейся в среднем палеозое и подновлявшейся в конце мезозоя, а возможно, и в кайнозое. Кольцевые структуры в восточной части территории не находят пока объяснения.

Формирование складчатых и разрывных дислокаций Верхояно-Колымской покровно-складчатой системы началось, вероятно, в конце юры и происходило в течение всего мелового периода. Об этом свидетельствует синхронное складкообразованию формирование молассового коллизионного комплекса Приверхоанского прогиба, наличие складчатых и разрывных нарушений в меловых отложениях, включая хатырыкскую свиту (альб) и резко несогласное залегание палеогеновых толщ на подстилающих меловых породах.

НОВЕЙШАЯ ТЕКТОНИКА И СЕЙСМИЧНОСТЬ

В неотектоническом плане рассматриваемая территория является неоднородной. Здесь можно выделить три крупных участка с различными режимами развития. В пределах Сибирской платформы устанавливаются площади преимущественного новейшего опускания и площади молодых слабодифференцированных движений, тогда как Верхояно-Колымская покровно-складчатая система испытала интенсивное новейшее сводово-глыбовое поднятие.

К площадям преимущественного опускания относятся Нижнеадаманская кайнозойская наложенная впадина, выполненная олигоцен-четвертичными отложениями суммарной мощностью свыше 1000 м. Структурные изолинии, проведенные по подошве олигоценовых слоев, вырисовывают крупную субширотную впадину с пологим южным и крутым северным склонами. Впадина характеризуется высокой степенью активизации тектонических движений в новейший этап, суммарные амплитуды новейших тектонических опусканий достигают здесь 1000 м.

Большая часть территории относится к площади слабодифференцированных движений. Вышние амплитуды новейших тектонических движений приурочены к участкам, примыкающим с юга к Западно-Верхоянской горной системе, в тектоническом плане совпадающим с внутренней зоной Приверхоянского красного прогиба, и составляют от 300 до 700 м. Для северного склона Адаманской антеклизы суммарные амплитуды новейших тектонических движений составляют 200—300 м. Участок Вилюйской синеклизы и Адамо-Майская впадина остаются в поднятии, здесь его амплитуда колеблется в пределах 100 м.

Верхояно-Колымская горно-складчатая система как новейший тектонический элемент представляет собой крупную унаследованную пологий-тельную структуру с амплитудами сводово-глыбовых поднятий 1000—1500 м. Большинство более или менее крупных разломов были активизированы в неоген-четвертичное время, смещения по ним местами достигают сотен метров [34]. Новейшее поднятие, охватившее Сетте-Дабан и Верхояние, безусловно связано с необычайной молодостью этого до сегодняшнего дня изостатически не уравновешенного горно-складчатого сооружения.

Свидетельством современной тектонической активности в регионе являются землетрясения. В районе известно несколько их очагов. Наиболее значительным было 7-балльное Сетте-Дабанское землетрясение 1951 г. с магнитудой 6,1—7 и глубиной очага 21—40 км, вторым — землетрясение на р. Адлан (близ Кылдахской чешуйчато-надвиговой зоны) с магнитудой 5,1—6 и глубиной очага 11—20 км.

На существующих схемах сейсмического районирования [44] в пределах описываемой территории выделены: зона наиболее высокой современной тектонической подвижности и вероятного возникновения очагов землетрясений с магнитудой 6,1—7 (центральная меридиональная часть Сетте-Дабана); зона средней тектонической активности и вероятного возникновения очагов землетрясений с магнитудой 5,1—6 (зона, протянувшаяся вдоль западных склонов Сетте-Дабана и Кылдах); зона низкой тектонической активности, к которой отнесена Сибирская платформа.

Природа землетрясений, имевших место на данной территории, не вполне ясна. На космических снимках четко выделяются серии кулисных молодых правых сдвигов в зоне выше упоминавшегося позднемезозойского Сордопинского сдвига. Однако землетрясений здесь не зафиксировано. Сордопинские границы плит — Момская сейсмичная рифтовая зона, Олекминско-Становая сейсмичная зона [21] от эпицентров отмеченных землетрясений располагаются достаточно далеко. Но в то же самое время нелгубокое положение гипоцентров (до 20—40 км) позволяет предполагать, что эти внутрикоровые землетрясения скорее всего связаны с процессами растяжения в тылу зоны сближения континентальных блоков Амурской и Евразийской плит.

ГЕОМОРФОЛОГИЯ

Рассматриваемая территория включает частично Центральнo-Якутскую низменность (I) в средней части, Лено-Алданское плато (II) на юге и Верхоянскую горную страну (III), граничащую с ними на севере и востоке (рис. 11). Рельеф отражает тектоническое строение. Центральнo-Якутская низменность связана с Вилюйской синеклизой и Приверхоанским прогибом, Лено-Алданское плато в западной части — с Алданской антеклизой, горы — с Верхоянской складчатой и наливной системой.

Центральнo-Якутская низменность представляет собой равнину в средней части территории аккумулятивную, на западе — денудационную, северо-восточнее р. Алдан — предгорную аккумулятивную. С Верхоянской горной областью она имеет четкую границу и разделена тектоническим швом. Граница с Лено-Алданским плато пологая, хорошо проявлена в крупных долинах рек, резко расширяющихся при выходе на равнину.

Денудационная равнина слабоэрозионная плоская, с субстратом из юрских, меловых и неогеновых рыхлых отложений. Поверхность песчаная пологонаклонная — от 160 м на севере до 230—270 м на юге. Снос материка в долины ограниченный. Сохранились реликты эолейстоценовой гидростии в виде галечников ханчалинской свиты, залегающих в ложбинах или бронирующих низкие возвышения. В последнем случае среди гальки встречаются ветроотранники — индикаторы жесткой пустынной периферидальной дефляции, охватывавшей равнину. Современные золотые формы представлены небольшими донными массивами. Дюны вытнуты на юго-восток. Гидростет редкая. Глубина долин основных рек — Кенкеме, Ханчалы, Ситте, Тюгэнэ около 10—15 м. Есть прямолинейные участки, связанные с разломами, и изгибы, отвечающие пологим деформациям и изменениям поверхностного стока. На равнине выделяются останцы няцкого денудационного плато с высотами 270—320 м между реками Ситте и Тюгэнэ и 300—360 м в верховьях р. Кенкеме. Поверхность плато ровная или пологоувалистая. Долинная сеть гуще, чем на равнине. Левый берег р. Лена в предделах Центральнo-Якутской низменности образует крутой уступ высотой около 100 м.

Аккумулятивная равнина занимает среднюю часть территории. Северная ее половина связана с Нижнеалданской кайнозойской впадиной, вытянутой в субширотном направлении, четко в рельефе не выраженной. Значительная часть погребенной аккумулятивной флювиальной поверхности равнины в пределах впадины, а также эрозионно-денудационной вне ее (между реками Лена и Амаг) покрыта мощными, до нескольких десятков метров, субаральными отложениями. Абсолютные высоты поверхности колеблются от 200 м. На правобережье Лены элементами равнины являются широкие протяженные псевдотеррасы — Бестяхская, с относительно высокими от 15 м близ устья Алдана до 70 м около устья Ботомы и Тютюлюнская — от

90 до 125 м, а также Абадахская равнина — от 110 до 180 м. Все они имеют многообразное строение и субаральные наносы сверху.

На Бестяхской псевдотеррасе, на эоловых песках сартанского возраста ровная поверхность с отдельными группами заросших дюн и пологими чашами термокарстовых озер. Абсолютные высоты менее 200 м. На Тютюлюнской псевдотеррасе выявляется покров льдистых супесчаных солитов, мощность которого к востоку от Лены увеличивается от первых до нескольких десятков метров и соответственно возрастает общая высота. Пески и солиты разновозрастны. Их консолидационная граница имеет зубчатые очертания. Пески впадают на юго-восток в направлении ветра. Наклон на контакте направлен от супесей к пескам. Такое же юго-восточное простирание имеют дефляционные ложбины и озера на песках и многочисленные термокарстовые котловины на супесях. Глубина котловины до 35 м. Многие из них замкнутые бессточные, что отличает их от других районов Якутии. На дне котловин находятся озера, озёрные осушки, низкие (1—2 м) террасы, болота, дуга. На бортах обычны байдерахи. В ряде котловин имеются булгуныахи. Свежие термообразонные забои, расширяющиеся котловины, редки. Уровень озер испытывает многолетние колебания. Абсолютные высоты Тютюлюнской псевдотеррасы менее 200 м.

Поверхность Абадахской равнины сформирована на покрове из супесчаных солитов и подземного льда позднечетвертичного возраста, перекрывающих на Тютюлюнскую псевдотеррасу. Их разделяет пологий, но четкий протяженный уступ высотой 20—50 м. Абадахская поверхность пологоувалистая, прорезана системой аласких долин. Они заложены в соответствии с долинами, рассекавшими погребенную эрозионно-денудационную равнину, субстратом которой являются неогеновые и неоген-четвертичные отложения. В образовании и расширении плоскодолиных аласких долин с травяными кочковатыми дугами водотоков существенную роль играл термокарст. На Абадахской поверхности мало озер и они небольшие, в основном лежащие в долинах. Восточнее р. Танда поверхность выравнивается и появляются участки с преобладанием неглубоких аласов. Периодичная граница распространения ленских и алданских террас в рельефе покрова не выражена.

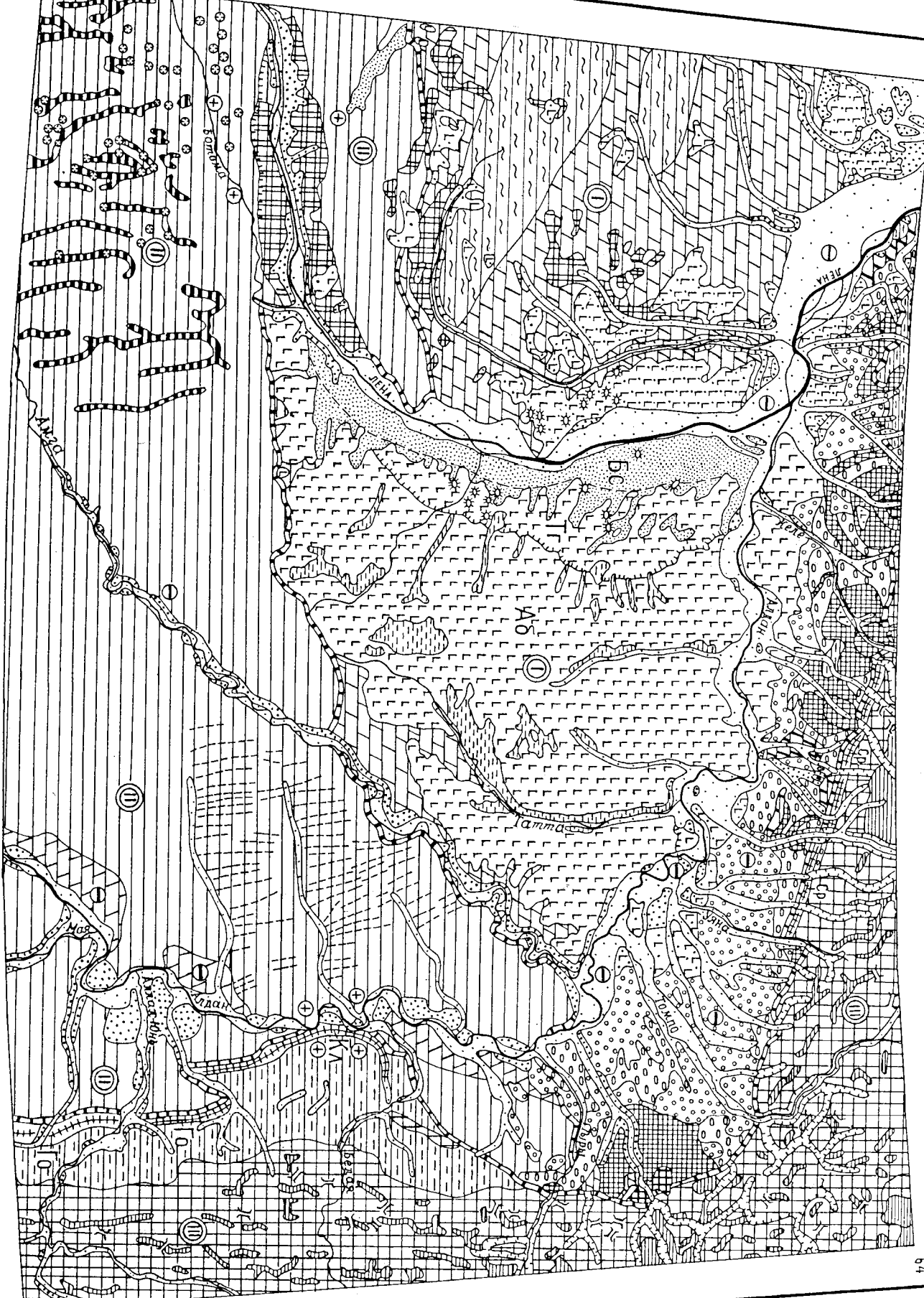
Между реками Лена и Ситте сохранился консолидационный аккумулятивный рельеф области позднеплейстоценового накопления эоловой пыли. Однако ее маломощный, до нескольких метров, покров значительно преобразован термокарстом. Много неглубоких (до 3 м) плоскодолиных аласов.

Участок Центральнo-Якутской низменности к северу от Алдана представлен Приверхоанской наклонной равниной. В направлении от Алдана к горам ее абсолютная высота возрастает от 150—170 до 400 м. Рельеф сформирован за счет аккумуляции отложений, принесенных с гор ледниками, ледниковыми водами и реками. Моренная грядкая и булгуно-западинная равнина с болотами и озерами характерна для западной, более высокой части Приверхоанья. Она прорезана неглубокими широкими долинами рек с ветвящимися каменистыми руслами. При выходе из тортовых долин рек Белянка, Тумара, Кеге, Туктулан, а на востоке рек Томпорок и Вост. Хандыла на равнине образованы валы конечных морен сартанского оледенения. Высота валов 40—90 м, ширина 3—12 км. Валы имеют хорошо сохранность и осложнены маргинальными ложбинами, грядами, бурами, озерами. На р. Тумара три прилегающих друг к другу вала, около других трогов по два. Материал накоплен на стадии задержки таяния ледников. Внутри конечно-моренных амфитеатров встречаются озерно-ледниковые и флювиогляциальные террасы высотой до 40 м. Средни-моренной равнины в бассейне р. Туктулан выделяется гора высотой 721 м,

64° 12' 6"

138° 54'

60° 12' 5"



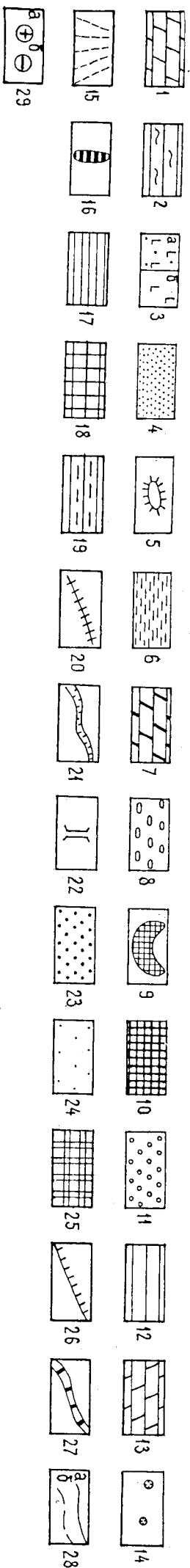


Рис. 11. Геоморфологическая схема.

1 — Центральная-Якутская низменность; 2 — равнина плоская слаборасчлененная денудационная на юрских, меловых и неогеновых рыхлых терригенных наносах; 3 — плато низкое останцовое денудационное пологоувалистое на рыхлых мезозойских отложениях; 4 — равнина аккумулятивная плоская на покрове верхнечетвертичных пылеватых эолитов с подержным льдом с неглубокими до 3—5 м (а) и глубокими до 35 м (б) термокарстовыми голоценовыми озерными котловинами и лугово-болотными западинами — алдасами; 5 — равнина аккумулятивная на верхнечетвертичных оловяных песках, плоская с пологими заросшими дюнами; 6 — булгуны; 7 — крупные термокарстовые котловины и алдасные долины и поверхности с преобладанием алдасов; 8 —

Верховья карстовые западины; 9 — равнина моренная плоская и булгисто-западинная верхнечетвертичного возраста; 10 — конечноморенные валы сарганского оледенения; 11 — комплекс верхнечетвертичных озерно-ледниковых и флювиогляциальных терри и конечноморенных амфитеатров; 12 — задровая равнина подлещнечетвертичного возраста; 13 — Дено-Алданское плато: 14 — карстовые западины; 15 — долины преобладающей субвертикальной линейной системы; 16 — поверхность инфильтрационная; 17 — Верховья горная спираль;

18 — альпийский рельеф; 19 — среднегорный рельеф; 20 — низкогорный рельеф; 21 — Сорогунская, Кт — Кыргаская, Го — Горностах; 22 — троповые долины; 23 — сквазные долины; 24 — первая терраса конца плейстоцена — голоцена и поймы; псевдотеррасы; 25 — Бестяхская, 26 — Тонголюнская, 27 — первая долина конца плейстоцена — голоцена и поймы; псевдотеррасы; 28 — Бестяхская, 29 — Тонголюнская, 30 — денудационная равнина и плато; 31 — уступы; 32 — границы главных геоморфологических областей; 33 — прочие геоморфологические границы; а — четкие, б — условные; 34 — места проявления новейших поднятий (а) и опусканий (б).

Сложная древними породами, образовавшаяся за счет неотектонического поднятия.

В некоторых местах структура Нижнеалданской впадины продолжается развиваться и в настоящее время. Прогибается район устья Алдана, где Бестяхская терраса понижается до 15 м, и происходит фуркация русла. Более крупный район погружения находится между реками Вост. Хандыга и Барай и представляет зандровую равнину с абсолютной высотой до 300 м. Ее относительная высота снижается от 200 м в районе гор, до 25 м около р. Алдан. Местами она без уступа сливается с первой террасой. На пологохолмистой поверхности равнины, состоящей из слившихся друг с другом плоских обширных конусов, множество остатков извилистых булжатолихих русел. Над поймой рек слабо приподнята заболоченная вторичная поверхность первой террасы и фрагменты более высокой острова. На других участках Приверхоинской равнины зандры развиты ограниченно.

Лено-Алданское плато в юго-западной части сформировано на кембрийских карбонатных породах склона Алданской антеклизы, севернее и восточнее — на мезозойских терригенных породах. Рельеф эрозивно-денудационный пологоувалистый и пологопрядовый. В области распространения карбонатных пород встречаются округлые небольшие карстовые западины, воронки и озерки. По оси прядовых форм обычные пологие догеновые кор выветривания, свидетельствующие о длительности патиентального денудационного режима развития. Высота плато на левобережье Лены 360—398 м, между Леной и Богомой — 380—490 м, южнее р. Богома — 380—500—685 м, между реками Ама и Алдан — 340—460 м.

По сравнению с Центрально-Якутской низменностью сеть речных долин на плато гораздо гуще. Долины главных рек — Лены, Алдана, Амги, Синей, Богомы носят признаки глубокого молодого вреза. Долина Лены узкая с крутыми склонами и береговыми обрывами, к которым относятся также имеются на реках Синяя и Ама. Глубина Ленской долины 200—300 м. На правом берегу выделяется неогеновая терраса с относительной высотой 150—230 м, с ровной и буристой поверхностью, частично эрозивная, частично эрозивно-аккумулятивная. На левом берегу выделяются узкие Черендейская и Тухтахская террасы с относительной высотой цоколя соответственно около 100 и 80 м. Также имеется средневысотная Покровская аллювиальная терраса, доколь которой понижается к реке от 50 до 16 м. Аллювий террас маломощный и перекрыт лессовыми отложениями. Низкие молодые террасы не развиты, пойма островная. Эти признаки свидетельствуют о поднятии плато в новейший этап, в плиоцен-четвертичное время.

Молодые углубленные долины сказались в образовании врезанных меандр на реках Синяя, Богома, Ама. Судя по плану меандр, их развитие обусловлено от пойменных меандр этапа доплиоценового выравнивания. Восточные притоки Богомы, Амги, Алдана, Май отпочковались протяженностью и пологостью продольного профиля. Почти полностью широтные долины рек Куогуама и Нотора длиной более 100 км связаны с разломами. Особенностью плато является система субмеридиональных небольших долин, параллельных складкам и горным грядам Южного Верхоинья — Сетте-Дабана. По-видимому, заложение таких долин обусловлено трещиноватостью расширения. Их борта рассечены через 2—3 км

поперечными долами. Возможно такая система имеет экзодинамическую природу.

В пределах плато наблюдаются депрессии, пониженные на 100—200 м относительно общего уровня. Одна из них находится около устья Май, другая около устья Нотора. Высота поверхности первой 210—280 м, второй 180—225 м. Рельеф сложенный. Небольшая депрессия выделяется на р. Ама в 45 км выше пос. Амага. Поймы Амги и Алдана в депрессиях значительно расширены.

Верхоинская горная страна имеет выработанный структурно-денудационный, в основном среднетерновый рельеф максимальной абсолютной высотой 1990 м. Она состоит из цепей и гряд северо-западного простирания в Верхоинском хребте, а южнее р. Вост. Хандыга в хр. Сетте-Дабан — близ меридионального. Вытянутость горных цепей, соответствующих ядрам антиклиналей, и разделяющих их понижений с седловинами и долинами рек отражает линейно-складчатую структуру. Отчетливо проявлена литоморфная система из пластогребней и пластоожбин в микрорельефе. Из них первые связаны с выходами более прочных песчаников, вторые с пластами легко денудировавшихся аргиллитов и алевролитов. Для среднего века характерны выпуклые склоны с крутизной до 40°, покрытые глыбовыми и шибевыми осыпями с участием мелкозема. Вершины гор узкие, вытянутые по простиранию структур, с альпийскими формами рельефа — острыми зубчатыми скалистыми гребнями, ледниковыми цирками.

Горная страна сохраняет свежие следы долинно-сеччатого оледенения. Реки Менкюле, Томпо, Вост. Хандыга, Тыры и др. имеют торговые долины с обвально-осыпными склонами. Днища слабонаклонные (от 1 до 5°) в сторону русла с ровной или буристой моренной поверхностью шириной до первых километров. Есть маргинальные ложбины, подпруженные ледниковые озера, озерные террасы, пологие «бараньи лбы». Некоторые тропи глубоко прорезаны реками в послегледниковое время. Так, р. Томпо врезалась в днище тропа на 40 м, а р. Менкюле на 50 м.

Имеются сквозные долины, выработанные ледниками. Здесь на перелугах обычны небольшие озера. Долины главных рек плоскодонные, корытообразные, асимметричные, а малых притоков U-образные. Обычны пороги и перепады, встречаются наледные поля. Развиты поймы с фразметами 5—10-метровой аккумулятивной и цокольной террас. На реках Томпо и Менкюле наиболее древняя, предположительно эоплейстоцено-нижнечетвертичная терраса поднимается до относительной высоты 300 м, отражая интенсивное новейшее поднятие гор.

С запада хр. Сетте-Дабан резко граничит с пологой низкоротного рельефа. Уступ к низкотерью плавновыветренный, отражает фронт надытия. Низкотерье протягивается от р. Тыры до южной границы территории. Абсолютные высоты от 500 до 1000 м, глубина расчленения до 200 м. Волораздельные поверхности сложенные, склоны пологие, выпуклые. С запада низкотерье обрамлено Кытлахской и Горностахской цепями близ меридионального направления, соответствующими антиклинальным складкам, надынутым на Лено-Алданское плато. Здесь господствуют обвально-осыпные склоны крутизной 30—35°, на отдельных участках до 50° и узкие гребни. Край Кытлахской цепи прорезан р. Алдан. Здесь имеется каньон. Правый берег р. Алдан на участке подыма Кытлахской цепи скалистый, с многочисленными обвалами и осыпями. Врез достигает 500 м.

Флювиальный рельеф территории представлял обширные для нее поймой высотой до 9 м на р. Лена и первой террасой — до 12—15 м. Террасовые лестницы характерны только для гор и Лено-Алданского плато. Высота террас находится в прямой зависимости от неотектонических движений,

их направленности и амплитуды, так что в разных местах территории она меняется.

Западная часть равнины с конца юры испытала поднятие, и денудационный рельеф отличается древностью. На остальной территории в мелу происходило прогибание и осадконакопление. В палеогене и неогене озерно-речной режим с аккумуляцией наносов установился в Нижне-алданской впадине. В плиоцен-четвертичное время произошло общее поднятие, врезание крупных рек, перестройка мелкой гидросети. В четвертичное время предгорная часть равнины подверглась оледенениям, а за пределами ледников получили развитие золотые процессы — дефляция, движение песков, пылеакопление. Золотые процессы происходили совместно с мерзлотными — морозобойным растрескиванием, подземным деобразованием и др. Менялась водность рек и их эрозийная способность. Врезания чередовались с аккумуляцией. В голоцене произошла вспышка вытравливания подземного льда и образование термокарстовых форм. Это получило отражение в малоконтрастном рельефе равнины.

ГИДРОГЕОЛОГИЯ

Описываемая территория принадлежит к двум крупным системам гидрогеологических структур. Большая, западная ее часть, относится к Якутскому артезианскому бассейну I порядка, входящему в состав системы артезианских бассейнов и гидрогеологических массивов Сибирской платформы. Меньшая, восточная часть, относится к Верхоянскому гидрогеологическому массиву I порядка, входящему в состав Верхояно-Колымской системы гидрогеологических массивов, криогенных и артезианских бассейнов [16].

Территория изучена неравномерно. Центральная ее часть охвачена гидрогеологической съемкой масштаба 1 : 500 000, на отдельных участках проводились крупномасштабные работы. Восточная часть изучалась лишь единичными скважинами в крупных поселках и на месторождениях. Гидрогеологические исследования значительно затруднены ввиду сплошного развигия многолетнемерзлых пород нарушается многочисленными таликами под озерами и руслами рек. Температура пород в зоне многолетней мерзлоты колеблется от $-0,5$ до -7 °С. Распространение основных водоносных комплексов обусловлено геологическим строением территории и наличием толщи многолетнемерзлых пород, по отношению к которой подземные воды подразделяются на три типа: надмерзлотные, межмерзлотные, подмерзлотные.

ЯКУТСКИЙ АРТЕЗИАНСКИЙ БАСЕЙН

В пределах Якутского артезианского бассейна на данной территории выделяются (рис. 12) Лено-Вилюйский артезианский бассейн II порядка (I₁), входящие в него Китчанский адартезианский бассейн III порядка (I₂^а), Нижнеалданский артезианский бассейн III порядка (I₂^б) и Алданское крыло Якутского артезианского бассейна (I₂).

Основными дренирующими артериями Лено-Вилюйского бассейна являются долины Лены, Алдана и их притоков. Однако дренирующая возможность долин существенно ограничивается наличием многолетнемерзлотных пород значительной мощности и низким пьезометрическим уровнем подмерзлотных вод. Гидрогеологические особенности бассейна определяет мощная мезозойская терригенная водоносная формация. В четвертичных отложениях и приповерхностных горизонтах дочетвертичных отложений локализованы порово-пластовые воды, приуроченные к таликам различного происхождения. В периферических частях бассейна водоносные комплексы юрских и меловых отложений выклиниваются и полностью промерзают, что предопределяет в значительной мере дефицит напоров, проявляющийся в центральной части бассейна в весьма низких пьезометрических уровнях.

Сквозные таликовые окна не решают проблемы питания пластовых вод из-за наличия водоупоров, препятствующих взаимосвязи вод таликовых зон с подмерзлотными. Это обстоятельство, а также низкий пьезометрический уровень подмерзлотных вод препятствуют дренированию водоносных комплексов речными долинами. Исключением составляет район Сантарского угодного месторождения, где геотермическая аномалия и соответствующее снижение мощности зоны многолетнемерзлых пород сочетаются с таликом в долине Лены, что обуславливает сток подмерзлотных вод верхней горизонты в долину реки. Источники питания подмерзлотных вод бассейна пока не определены. Наиболее достоверной областью питания является поле развития закарстованных водообильных кембрийских отложений северного склона Алданской антеклизы.

В пределах Китчанского адарезианского бассейна юрские и нижне-меловые породы сматы в складки и существенно уплотнены. Нижнеалданский бассейн представляется собой впадину, выполненную мощной (свыше 700 м) толщей терригенных палеогеновых и неогеновых отложений.

Алданское крыло Якутского артезианского бассейна представляет собой северный склон Алданской антеклизы. Дренирующими артериями являются долины Алдана, Ботомы и Лены. Мощности многолетнемерзлых пород 100—300 м. Здесь широко распространены карстово-пластовые, реже трещинно-пластовые воды, приуроченные к карбонатным кембрийским отложениям, поголо погружающимся на север. Воды пресные или слабосоленые. Кембрийские водоносные породы часто перекрыты с поверхности промерзлыми породами раннесюрского возраста.

В пределах Якутского артезианского бассейна выделено десять водоносных комплексов, на гидрогеологической схеме показаны лишь первые от поверхности. Ниже приводится описание водоносных комплексов от молодых к древним.

Водоносный комплекс четвертичных отложений. Четвертичные отложения промержены на полную мощность и содержат воды слоя сезонного протаивания (надмерзлотные), воды подозерных и подрусловых таликов, относящиеся к надмерзлотным или межмерзлотным в зависимости от типа таликов (несквозные или сквозные) и воды локально распространено межмерзлотного водоносного горизонта. Четвертичные отложения развиты практически повсеместно, но на гидрогеологической схеме комплекс четвертичных отложений показан лишь там, где отложения имеют значительную мощность (свыше 50 м).

Воды слоя сезонного протаивания встречаются там, где слой сезонного протаивания сложен хорошопроницаемыми породами. Глубина залегания вод зависит от глубины сезонного протаивания и составляет от 0,4 до 3 м. Мощность обводненной части зависит от источников питания, фильтрационных свойств вмещающих пород, от положения участка в рельефе, времени наблюдений (дожди, засуха) и изменяется от 0,05 до 1 м. Питание вод осуществляется от атмосферных осадков, в меньшей степени — от вытравивания подземных льдов; разгрузка вод — в озерах, долинах рек и ручьев и других понижениях рельефа. В участках речных террас иногда наблюдаются родники дебитом 0,02—1 л/с. Зимой источники полностью промерзают. Воды прозрачные, без запаха и вкуса, по химическому составу гидрокарбонатные кальциевые, реже магниево- или натриевые. Минерализация до 1 г/л, редко 2—4 г/л, pH — 6—7,5. Сезонность существования не позволяют считать воды слоя сезонного протаивания источником постоянного водоснабжения.

Воды подозерных и подалданских таликов развиты под озерами и алданскими котловинами. Состав вод меняется как по площади, так и по разрезу.

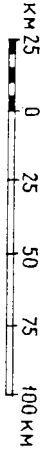
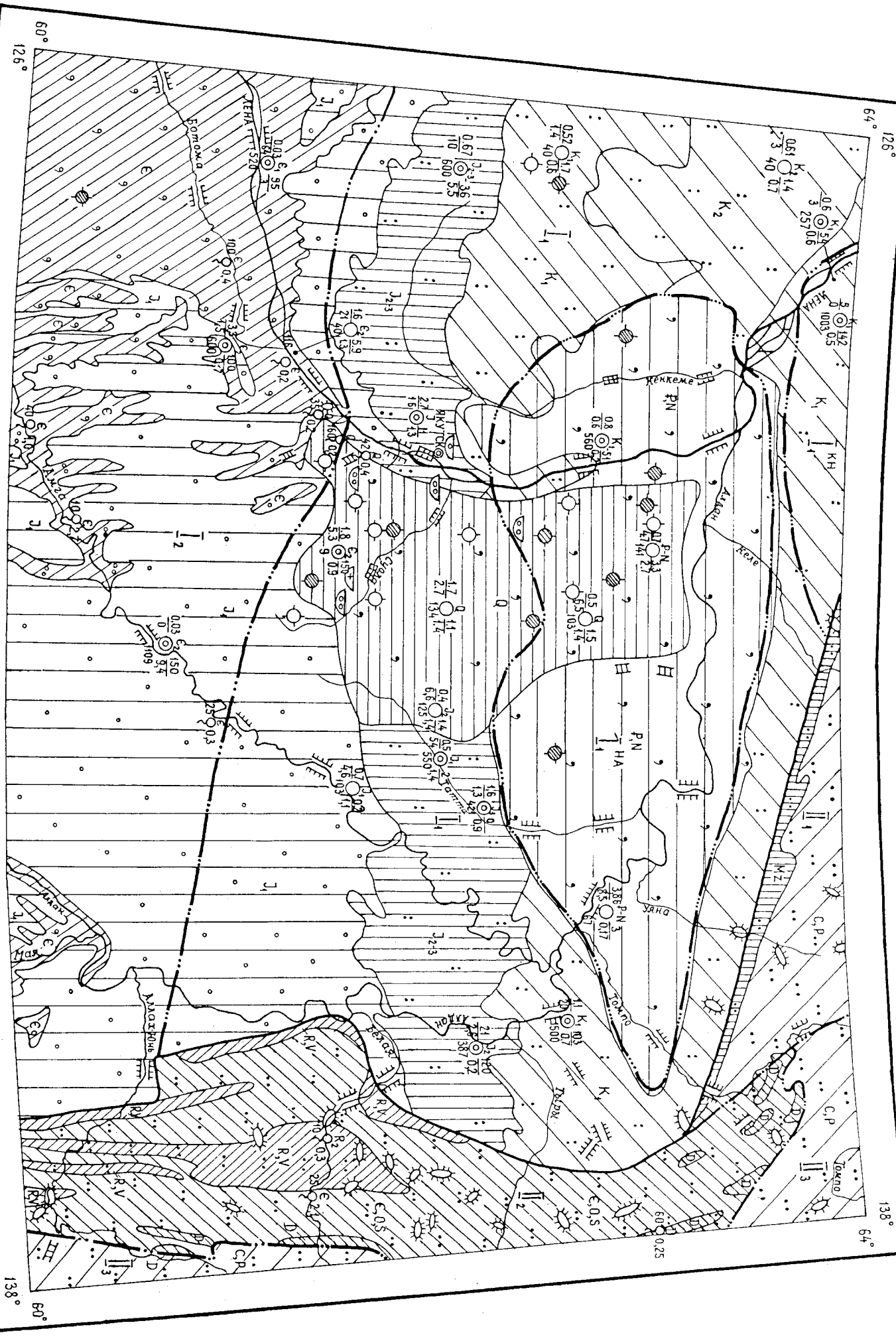
Часто воды верхней части гидрогеологического разреза таликов имеют относительно повышенную минерализацию, а более глубокие горизонты вод, приуроченные обычно уже к лучеватертичным отложениям, имеют более низкую минерализацию. Примером может служить талик под оз. Хомустах (пос. Малан), в котором минерализация воды в верхней части 2—3 г/л при сульфатно-гидрокарбонатном натриевом составе, а в нижней части, изолированной от верхней 10-метровой толщей плотных аргиллитов юрского возраста — вода гидрокарбонатного натриевого состава с минерализацией 0,48 г/л. Таликовые воды безнапорные, лишь на участках, частично промерженных сверху, они приобретают местный напор. Уровни подземных вод таликов обычно контролируются уровнем воды в озерах. Дебиты скважин, вскрывших таликовые воды, изменяются от 0,03 до 5 л/с, коэффициенты фильтрации песков до 4 м/сут, галечников — до 16 м/сут. Воды преимущественно гидрокарбонатные кальциевые, магниевые или натриевые, минерализация изменяется от 0,1 до 3 г/л.

На участках речных террас, почвенно-грунтовые горизонты которых отличаются значительной засоленностью, под обыхающими озерами встречаются межмерзлотные талики с минерализацией воды до 80 г/л сульфатно-хлоридного натриево-магниевого состава; известны также минерализованные озера с минерализацией воды от 1—3 до 140 г/л (оз. Абдага). Питание таликовых вод происходит за счет атмосферных осадков и поверхностных вод озер. Бактериологическая оценка вод часто неудовлетворительная. Повышенная минерализация, содержание в воде NH₄NO₃, Fe затрудняют использование вод в целях питьевого и хозяйственного водоснабжения, хотя качество таликовых вод лучше, чем озерных.

Воды подрусловых таликов распространены широко под всеми значительными реками. Под крупными реками формируются сквозные талики, под руслами мелких рек — несквозные. Под главным руслом р. Лена — талик сквозной на всем протяжении, под мелкими протоками талики замкнуты. В г. Якутск наиболее перспективные горизонты таликовых вод приурочены к аллювиальным отложениям, представленным песками и галечниками средней мощностью 8—10 м. Коэффициенты фильтрации аллювиальных отложений колеблются от 8—9 до 20—25 м/сут. Удельные дебиты скважин 0,3—1,1 л/с (1—4 м³/ч). По химическому составу воды гидрокарбонатные кальциевые с минерализацией 0,5—0,7 г/л. В пос. Покровск, где аллювиальные песчано-галечные отложения мощностью 27 м подстилаются кембрийскими известняками, установлена зависимость химического состава вод подруслового талика от состава речных вод. В верхней части разреза воды гидрокарбонатно-хлоридные натриевые, глужж, на границе с известняками — гидрокарбонатные кальциевые. Зимой минерализация воды увеличивается до 0,4—0,5 г/л, а весной снижается до 0,06—0,08 г/л. Ресурсы подрусловых вод в аллювиальных отложениях Лены значительны и перспективны для использования в целях питьевого и хозяйственного водоснабжения.

На р. Алдан к межмерзлотным водам отнесены воды предполагаемого сквозного талика, строение которого детально не изучалось, хотя эти воды эксплуатируются подрусловыми водозаборами в пос. Хандыга. По химическому составу подрусловые воды р. Алдан близки к поверхности — гидрокарбонатно-хлоридные натриевые с минерализацией 0,5 г/л. По рекам Тамма, Тапта, Кенкеме, Мянга и др. мощность подрусловых таликов не превышает 20—30 м. Водообильность горизонтов подрусловых вод зависит от фильтрационных свойств пород. Коэффициенты фильтрации аллювиальных отложений колеблются от 5—7 до 56 м/сут.

Воды подрусловых таликов должны рассматриваться как перспективный источник питьевого и хозяйственного водоснабжения.



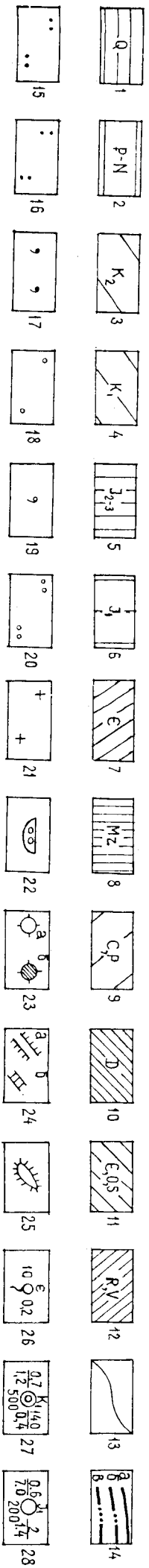


Рис. 12. Гидрогеологическая схема.

1—12 — водоносные комплексы: 1—7 — Якутский артезианский бассейн: 1 — четвертичных отложений, 2 — палеогеновых и неогеновых отложений, 3 — верхнемеловых отложений, 4 — нижнемеловых отложений, 5 — средне- и верхнеюрских отложений, 6 — нижнеюрских отложений, 7 — кембрийских отложений; 8—12 — Верхоянский гидрогеологический массив: 8 — мезозойских отложений, 9 — каменноугольных и пермских отложений, 10 — девонских отложений, 11 — кембрийских, ордовикских и силурийских отложений, 12 — рифейских и вендских отложений; 13 — граниты водоносных комплексов; 14 — граниты гидрогеологических структур: а — I порядка, б — II порядка, в — III порядка; 15—20 — степень минерализации воды (г/л): 15 — 0,1—0,3; 16 — 0,1—1,0; 17 — 0,1—3,0; 18 — 0,5—

2,0; 19 — 0,5—5,0; 20 — 3—10; 21 — 34—140; 22 — озера с соленой (минерализованной) водой; 23 — подольные талики сквозные (а) и несквозные (б); 24 — подольские талики сквозные (а) и несквозные (б); 25 — отшельные речные надели; 26 — главнейшие источники: вверху — индекс возраста водовмещающих пород, слева — дебит (л/с), справа — минерализация воды (г/л); 27 — скважины, вскрывшие подмерзлотные воды: вверху — индекс возраста водовмещающих пород, цифры: внизу — глубина скважины, слева — в числителе дебит (л/с), в знаменателе понижение (м), справа — в числителе абсолютная отметка установившегося устья, в знаменателе минерализация воды (г/л); 28 — скважины, вскрывшие таликовые воды: вверху — индекс возраста водовмещающих пород, цифры: внизу — глу-

На правобережье Лены на речных террасах существует межмерзлотный водоносный горизонт, приуроченный к песчано-правыйно-галечным отложениям, залегающим в основании аллювиальных террас. Мощность горизонта от 10 до 60 м. Нижним водоупором являются мерзлые породы кембрия, верхним — промерзшие четвертичные отложения. Воды движутся по уклонам речных долин и образуют источники по правому склону долины Лены, в долинах рек Тамма, Менда. Дебиты источников до 160 л/с. Они образуют наледи, достигающие площади 0,8 км². Минерализация вод 0,2—0,9 г/л, состав хлоридно-гидрокарбонатный натриево-кальциевый и магниевый-натриевый. Воды слабощелочные и жесточные (рН — 7,6—9,0) содержат фтор от 0,28 до 1,7 мг/л. Воды соответствуют требованиям ГОСТ, запасы значительны.

Водоносный комплекс палеогеновых и неогеновых отложений распространен в пределах Нижнеарктического артезианского бассейна III порядка. Водоносные породы представляются песками и слабосцементированными песчаниками значительной мощности (свыше 700 м), промерзшими на глубины 300—500 м. Комплекс содержит порово- и трещинно-пластовые воды. Подмерзлотные воды комплекса вскрыты в Ивановской скважине с глубины 465 м, но не опробованы. Надмерзлотные воды подозерных талikov вскрыты на междуречьях Лена—Кенкеме и Лена—Амга на глубинах от 9 до 95 м. Дебиты скважин от 0,2 до 5 л/с при понижениях уровня на 2—15 м, удельные дебиты 0,1—0,9 л/с, коэффициент фильтрации от 3 до 12 м/сут. Уровень воды в скважинах устанавливался на глубинах 0,2—2,5 м. По химическому составу воды гидрокарбонатные, реже хлоридно-гидрокарбонатные натриево-магниевые, редко кальциевые, с минерализацией от 0,1 до 3 г/л. Межмерзлотные таликовые воды вскрыты в пос. Крест-Халдыгай на правобережье р. Алдан. Глубина залегания водоносного горизонта 52 м, разрез вышележащих отложений промерзших вод напорные, величина напора 49 м, пьезометрический уровень установлен на глубине 3 м от поверхности. Водоупорные породы представлены на глубине 3 м от поверхности. Дебит скважины 3,86 л/с при понижении 8,5 м, удельный дебит 0,5 л/с. Воды хлоридно-гидрокарбонатные магниевый-натриево-кальциевые с минерализацией 0,17 г/л. Скважина передана в эксплуатацию [1051].

Водоносный комплекс верхнемеловых отложений содержит надмерзлотные таликовые воды. Они вскрыты скважиной в пос. Кобий в интервале 18—37,5 м. Водоносные породы — пески мелкозернистые с тонкими прослоями глин и слабообуглившими растительных остатков. Статический уровень установился на глубине 1,4 м от устья скважины. Дебит скважины 0,6 л/с при понижении 3 м, 3,1 л/с при понижении 10 м. Вода гидрокарбонатного кальциево-магниевого состава, с минерализацией 0,7 г/л. Вода низкой проницаемости, с высоким содержанием железа, пригодна к использованию при условии осветления и обезжелезивания. О подмерзлотных водах комплекса сведений нет, так как все глубокие скважины проходились сплошным забоем до глубины 800—1000 м.

Водоносный комплекс нижнемеловых отложений развит в пределах Лено-Виллюйского артезианского бассейна. Литологически комплекс представлен песками и слабосцементированными песчаниками с прослоями алевролитов и углей и солержит порово- и трещинно-пластовые воды. Нижняя часть разреза нижнемеловых отложений (батылхская свита) мощностью до 500 м, сложенная переслаивающимися мелкозернистыми песчаниками, алевролитами и аргиллитами, обладает свойствами относительно водоупора. Водоупорной кровлей для подмерзлотных вод комплекса являются многолетнемерзлые породы. Подмерзлотные воды нижнемелового комплекса оказываются изолированными снизу и сверху, возникает ано-

мально низкое пластовое давление, что обуславливает глубокое залегание пьезометрических уровней. Абсолютные отметки пьезометрического уровня составляют —51 м у пос. Намцы (Намская гидрогеологическая скважина), —14 м у пос. Борголицы (оз. Мюрю), а у пос. Хандыга +103 м, т. е. уровень понижается с востока на запад, к центральной части бассейна. В центральной части Лено-Виллюйского бассейна нижнемеловые отложения имеют мощность 2200—2500 м, подолва их по данным Олейских скважин располагается на глубинах 2700—3000 м. Водоносные горизонты нижнего мела в этих скважинах почти не опробованы, по разнотным данным на глубинах 2300—2500 м минерализация вод составляет 0,29—0,48 г/л, состав вод сульфатно-хлоридно-гидрокарбонатный кальциево-натриевый.

В юго-восточной части бассейна (поселки Намцы, Борголицы) на глубинах 450—560 м вскрыты воды гидрокарбонатные и хлоридно-гидрокарбонатные кальциево-натриевые с минерализацией 0,19—1,17 г/л (табл. 9). С глубиной снижается содержание гидрокарбонатов, минерализация увеличивается до 2,2 г/л. Дебиты скважин от 0,2 до 2,74 л/с. В Ивановской скважине комплекс залегает в интервале 1316—1931 м, воды гидрокарбонатно-хлоридные натриевые с минерализацией 2,7—4,3 г/л. На востоке бассейна, у пос. Хандыга, на глубине 436—510 м вскрыты воды гидрокарбонатно-хлоридные натриевые с минерализацией 0,74 г/л. Дебит скважины 1,1 л/с при понижении 20 м. В этом же районе вскрыты воды с более высокой минерализацией — 1,3 г/л.

В пределах Китчанского артезианского бассейна водоносный комплекс нижнемеловых отложений представлен плотными песчаниками, алевролитами и углестыми аргиллитами, для которых характерны трещинные воды. На Сангарской площади пьезометрические уровни вод располагаются на абсолютных отметках +33—54 м и контролируются уровнем воды в р. Лена. Наблюдается движение подземных вод с северо-востока на юго-запад в сторону реки. В верхних горизонтах воды гидрокарбонатные и хлоридно-гидрокарбонатные натриевые с минерализацией 0,37—0,79 г/л. В западной и юго-западной частях площади минерализация достигает 1 г/л, с глубиной увеличивается до 3—11 г/л, наиболее минерализованные воды (11,6 г/л) вскрыты под руслом Лены на глубине 170—200 м. На Нижнечумской площади вскрыты два водоносных горизонта. На глубине 178 м вода гидрокарбонатная натриевая с минерализацией 0,53 г/л, дебит 5 л/с, вода переливала через устье. На глубине 570 м вскрыты хлоридные кальциево-натриевые воды с минерализацией 10,5 г/л. Таким образом, район Сангарской площади является одним из участков разгрузки подземных вод. Повышенная минерализация объясняется поступлением вод из глубоких горизонтов по зонам разломов. Питание водоносного комплекса происходит в зоне Верхоянских гор.

Комплекс содержит надмерзлотные таликовые воды, вскрытые скважинами на глубинах от 8 до 110 м. Дебиты скважин до 1 л/с, коэффициент фильтрации пород порядка 3 м/сут. Воды гидрокарбонатные натриево-магниево-кальциевые с минерализацией 0,2—0,6 г/л.

Таким образом, комплекс содержит пресные воды, пригодные для централизованного водоснабжения. Наиболее перспективны воды Сангарской площади.

Водоносный комплекс средне- и верхнеюрских отложений представлен литологическими песчаниками и песками с прослоями конгломератов, углей, аргиллитов, алевролитов, содержит порово- и трещинно-пластовые воды. Комплекс отделен от вышележащего водоупорной толщей нижней части нижнего мела, от нижележащего — толщей глинистых пород сунтарской свиты, развитой на большей части Лено-Виллюйского артезианского бас-

Источник, скважина	Глубина опробова- ния, м	Минерали- зация, г/л	Формула	Микроком- поненты, мг/л
<i>Водоносный комплекс четвертичных отложений</i>				
Пос. Бестях, колодец	1,5	0,1	$\text{CaSO}_3,39 \text{ SO}_4,11$ $\text{Ca}_2,5 \text{ Mg}_4,3 \text{ Na}_2$ $\text{HCO}_3,85 \text{ Cl}_1,5$	—
Оз. Ытык-Кюель, полозер- ный талик	12	0,4 (0,398)	$\text{Ca}_3,3 \text{ Mg}_1,5 \text{ Na} + \text{K}_2$ $\text{HCO}_3,43 \text{ Cl}_4,1 \text{ SO}_4,16$ $\text{Na} + \text{K}_4,1 \text{ Ca}_3,5 \text{ Mg}_2,4$	—
Пос. Покровск, подрусло- вой талик р. Лена	14	0,444	$\text{HCO}_3,89 \text{ Cl}_1,0 \text{ SO}_4,1$ $\text{Na}_8,4 \text{ Ca}_1,3 \text{ Mg}_3$ $\text{Cl}_7,0 \text{ HCO}_3,22$ $\text{K} + \text{Na}_9,9$ $\text{Cl}_6,8 \text{ HCO}_3,30$ $\text{K} + \text{Na}_9,7$ $\text{Cl}_5,2 \text{ HCO}_3,47$ $\text{Na} + \text{K}_9,8$ $\text{Cl}_8,3 \text{ HCO}_3,11 \text{ SO}_4,6$ $\text{Na} + \text{K}_6,3 \text{ Ca}_2,3 \text{ Mg}_4$ $\text{HCO}_3,90$ $\text{Na}_8,7 \text{ Ca}_1,2$ $\text{Cl}_9,9$ $\text{Na}_5,3 \text{ Ca}_4,5 \text{ Mg}_2$	Не опр.
<i>Водоносный комплекс нижнемеридиальных отложений</i>				
Пос. Дюпоя (45 км СЗ пос. Воронин), гидро- геологическая скважина № 110	350—500	0,5	$\text{HCO}_3,62 \text{ Cl}_3,6$ $\text{Na}_9,8$	—
Пос. Намцы, гидрогеоло- гическая скважина	470—500	0,2	$\text{HCO}_3,89 \text{ Cl}_1,0 \text{ SO}_4,1$ $\text{Na}_8,4 \text{ Ca}_1,3 \text{ Mg}_3$	Не опр.
Ивановская параметриче- ская скв. № 1	1316—1324	3,7	$\text{Cl}_7,0 \text{ HCO}_3,22$ $\text{K} + \text{Na}_9,9$	Ж, В, CH_4
То же	1931—1940	4,3	$\text{Cl}_6,8 \text{ HCO}_3,30$ $\text{K} + \text{Na}_9,7$ $\text{Cl}_5,2 \text{ HCO}_3,47$ $\text{Na} + \text{K}_9,8$	—
Пос. Ханылга, структурная скважина	436—510	0,74	$\text{Cl}_5,2 \text{ HCO}_3,47$ $\text{Na} + \text{K}_9,8$	—
Сантарская скв. 1К	100	0,59	$\text{Cl}_8,3 \text{ HCO}_3,11 \text{ SO}_4,6$ $\text{Na} + \text{K}_6,3 \text{ Ca}_2,3 \text{ Mg}_4$ $\text{HCO}_3,90$ $\text{Na}_8,7 \text{ Ca}_1,2$ $\text{Cl}_9,9$	—
Сантарская скв. Р-2	150	0,37	$\text{HCO}_3,90$ $\text{Na}_8,7 \text{ Ca}_1,2$	—
Нижнечурумская опорная скважина	570	10,5	$\text{Na}_5,3 \text{ Ca}_4,5 \text{ Mg}_2$ $\text{Cl}_9,9$	—
<i>Водоносный комплекс средне- и верхнеюрских отложений</i>				
Олюкская скв. Р-1	3078—3117	1,9	$\text{Cl}_8,3 \text{ HCO}_3,8 \text{ SO}_4,6$ $\text{Na}_6,3 \text{ Mg}_2,5 \text{ Ca}_1,2$ $\text{Cl}_8,9 \text{ HCO}_3,11$ $\text{Na}_9,8$	Не опр.
Намская опорная скважи- на	2035—2046	11,7	$\text{Cl}_8,9 \text{ HCO}_3,11$ $\text{Na}_9,8$	Не опр.
Намская опорная скважи- на	2194—2200	30,1	$\text{Cl}_9,8 \text{ HCO}_3,2$ $\text{Na}_9,5 \text{ Ca}_4$	Вр — 40,0
Пос. Маран (скважина до эксплуатации)	300—350	0,9	$\text{SO}_4,54 \text{ HCO}_3,30 \text{ Cl}_1,5$ $\text{Na}_8,8 \text{ Mg}_7 \text{ Ca}_5$ $\text{HCO}_3,72 \text{ Cl}_2,6$ $\text{Na}_6,0 \text{ Ca}_2,8 \text{ Mg}_1,2$	Не опр.
Пос. Джебарики-Хая, структурная скважина	110	0,28	$\text{HCO}_3,72 \text{ Cl}_2,6$ $\text{Na}_6,0 \text{ Ca}_2,8 \text{ Mg}_1,2$	Не опр.
<i>Водоносный комплекс нижнеюрских отложений</i>				
Уордакская скважина	957—975	0,9	$\text{HCO}_3,63 \text{ Cl}_2,2 \text{ SO}_4,15$ $\text{Na}_5,1 \text{ Ca}_2,8 \text{ Mg}_2,1$ $\text{Cl}_6,4 \text{ HCO}_3,32$ $\text{Na}_9,4$	—
Ивановская параметриче- ская скв. № 1	2867—2968	6,0	$\text{HCO}_3,63 \text{ Cl}_2,2 \text{ SO}_4,15$ $\text{Na}_5,1 \text{ Ca}_2,8 \text{ Mg}_2,1$ $\text{Cl}_6,4 \text{ HCO}_3,32$ $\text{Na}_9,4$	Ж, Вр

Источник, скважина	Глубина опробова- ния, м	Минерали- зация, г/л	Формула	Микроком- поненты, мг/л
<i>Водоносный комплекс триасовых отложений</i>				
Пос. Бэке, скважина	165—180	0,75	$\text{HCO}_3,82 \text{ Cl}_1,7 \text{ SO}_4,1$ $\text{Na}_5,5 \text{ Ca}_4,0 \text{ Mg}_5$ $\text{HCO}_3,59 \text{ SO}_4,32 \text{ Cl}_1,7$ $\text{Na}_8,4 \text{ Ca}_8 \text{ Mg}_8$ $\text{HCO}_3,90 \text{ Cl}_9 \text{ SO}_4,1$ $\text{Mg}_3,6 \text{ Na}_3,4 \text{ Ca}_3,0$ $\text{Cl}_9,9$ $\text{Na}_7,3 \text{ Ca}_2,5$	Вр — 44, Ж — 0,6, В — 3,9
Пос. Майя, скважина	126—150	0,69	$\text{HCO}_3,82 \text{ Cl}_1,7 \text{ SO}_4,1$ $\text{Na}_5,5 \text{ Ca}_4,0 \text{ Mg}_5$ $\text{HCO}_3,59 \text{ SO}_4,32 \text{ Cl}_1,7$ $\text{Na}_8,4 \text{ Ca}_8 \text{ Mg}_8$ $\text{HCO}_3,90 \text{ Cl}_9 \text{ SO}_4,1$ $\text{Mg}_3,6 \text{ Na}_3,4 \text{ Ca}_3,0$ $\text{Cl}_9,9$ $\text{Na}_7,3 \text{ Ca}_2,5$	Вр — 0,8— 3,2 F — 1,4
Пос. Ломгукка, скважина	100—110	0,76	$\text{HCO}_3,82 \text{ Cl}_1,7 \text{ SO}_4,1$ $\text{Na}_5,5 \text{ Ca}_4,0 \text{ Mg}_5$ $\text{HCO}_3,59 \text{ SO}_4,32 \text{ Cl}_1,7$ $\text{Na}_8,4 \text{ Ca}_8 \text{ Mg}_8$ $\text{HCO}_3,90 \text{ Cl}_9 \text{ SO}_4,1$ $\text{Mg}_3,6 \text{ Na}_3,4 \text{ Ca}_3,0$ $\text{Cl}_9,9$ $\text{Na}_7,3 \text{ Ca}_2,5$	Вр — 44, Ж — 0,6, В — 3,9
Сантарская скв. Р-2	1915—2115	126,7	$\text{HCO}_3,82 \text{ Cl}_1,7 \text{ SO}_4,1$ $\text{Na}_5,5 \text{ Ca}_4,0 \text{ Mg}_5$ $\text{HCO}_3,59 \text{ SO}_4,32 \text{ Cl}_1,7$ $\text{Na}_8,4 \text{ Ca}_8 \text{ Mg}_8$ $\text{HCO}_3,90 \text{ Cl}_9 \text{ SO}_4,1$ $\text{Mg}_3,6 \text{ Na}_3,4 \text{ Ca}_3,0$ $\text{Cl}_9,9$ $\text{Na}_7,3 \text{ Ca}_2,5$	Вр — 44, Ж — 0,6, В — 3,9
<i>Водоносный комплекс мезозойских отложений</i>				
Нижневилюйская скв. Р-2	2993—3016	82,0	$\text{Cl}_9,9$ $\text{Na}_7,8 \text{ Ca}_1,9 \text{ Mg}_2$ $\text{Cl}_9,9$ $\text{Na}_7,4 \text{ Ca}_2,6$	Ж — 20,0 Ж — 5,0
Сантарская скв. Р-2	2426—2602	106	$\text{Cl}_9,9$ $\text{Na}_7,8 \text{ Ca}_1,9 \text{ Mg}_2$ $\text{Cl}_9,9$ $\text{Na}_7,4 \text{ Ca}_2,6$	Ж — 20,0 Ж — 5,0
<i>Водоносный комплекс кембрийских отложений</i>				
Пос. Табата, скважина	225—235	0,99	$\text{HCO}_3,87 \text{ CO}_3,12 \text{ Cl}_6$ $\text{Na}_9,5 \text{ Ca}_3 \text{ Mg}_2$ $\text{HCO}_3,81 \text{ Cl}_2$ $\text{Na}_9,5$	F — 4,5 Не опр.
Пос. Абдаха, скважина	260—296	1,12	$\text{HCO}_3,81 \text{ Cl}_2$ $\text{Na}_9,5$	Не опр.
Пос. Сагатай, скважина	220	0,56	$\text{HCO}_3,94 \text{ Cl}_2$ $\text{Na}_8,8 \text{ Mg}_7 \text{ Ca}_5$ $\text{SO}_4,51 \text{ Cl}_4,0 \text{ HCO}_3,9$ $\text{Ca}_6,2 \text{ Mg}_3,1 \text{ Na}_7$	Не опр.
Пос. Синск, источник	179	3,03	$\text{HCO}_3,94 \text{ Cl}_2$ $\text{Na}_8,8 \text{ Mg}_7 \text{ Ca}_5$ $\text{SO}_4,51 \text{ Cl}_4,0 \text{ HCO}_3,9$ $\text{Ca}_6,2 \text{ Mg}_3,1 \text{ Na}_7$	F — 0,8
Река Амга, Амгинская структурная скв. № 6	179	9,43	$\text{Cl}_6,5 \text{ SO}_4,31 \text{ HCO}_3,4$ $\text{Na}_6,0 \text{ Mg}_2,7 \text{ Ca}_1,3$ $\text{SO}_4,38 \text{ Cl}_3,7 \text{ HCO}_3,25$ $\text{Na}_6,3 \text{ Ca}_2,8 \text{ Mg}_9$	Не опр.
Источник на левом берегу р. Амга, ниже руч. Хо- мустах	6	2,7	$\text{Cl}_6,5 \text{ SO}_4,31 \text{ HCO}_3,4$ $\text{Na}_6,0 \text{ Mg}_2,7 \text{ Ca}_1,3$ $\text{SO}_4,38 \text{ Cl}_3,7 \text{ HCO}_3,25$ $\text{Na}_6,3 \text{ Ca}_2,8 \text{ Mg}_9$	Не опр.
<i>Водоносный комплекс рифейских и вендских отложений</i>				
Амгинская опорная сква- жина	874	4,5	$\text{Cl}_6,3 \text{ SO}_4,33 \text{ HCO}_3,3$ $\text{Na}_6,1 \text{ Ca}_3,3$ $\text{Cl}_9,7 \text{ SO}_4,3$ $\text{Na}_5,1 \text{ Ca}_4,9$ $\text{Cl}_9,9$ $\text{Na}_6,5 \text{ Ca}_3,2$	Не опр.
То же	960	31,1	$\text{Cl}_6,3 \text{ SO}_4,33 \text{ HCO}_3,3$ $\text{Na}_6,1 \text{ Ca}_3,3$ $\text{Cl}_9,7 \text{ SO}_4,3$ $\text{Na}_5,1 \text{ Ca}_4,9$ $\text{Cl}_9,9$ $\text{Na}_6,5 \text{ Ca}_3,2$	Не опр.
Мокуйская параметриче- ская скв. № 1	2165—2177	103,7	$\text{Cl}_6,3 \text{ SO}_4,33 \text{ HCO}_3,3$ $\text{Na}_6,1 \text{ Ca}_3,3$ $\text{Cl}_9,7 \text{ SO}_4,3$ $\text{Na}_5,1 \text{ Ca}_4,9$ $\text{Cl}_9,9$ $\text{Na}_6,5 \text{ Ca}_3,2$	Вр — 314,0 Ж — 3,0

сейна. В центральной части бассейна комплекс глубоко погружен. При изоляции вод сверху и снизу наблюдаются дефициты пластового давления, чем обусловлено низкое положение презометрического уровня. В Олоятских скважинах презометрическая поверхность устанавливалась на абсолютных отметках —445—454 м, в Намской опорной скважине — на отметке —125 м (для интервала 2200—2194 м). В периферических частях бассейна отметки поверхности повышаются и составляют у пос. Бердигестях —36 м, на р. Татта (пос. Ытык-Кель) — 0 м, а у пос. Джеббарки-Хая +120 м. В Олойских скважинах воды комплекса открыты на глубинах от 3078 до 3907 м, по составу гидрокарбонатно-хлоридные магниево-натриевые с минерализацией от 1,2 до 3,3 г/л и хлоридные натриевые с минерализацией 13,9 г/л. Намской опорной скважиной на глубинах 1956—3003 м вскрыты хлоридные натриевые воды с минерализацией от 10 до 30 г/л, насыщенные метаном, с содержанием брома до 40 мг/л.

На южной окраине Дено-Вилуйского бассейна, где воды комплекса являются первыми померзлотными, они вскрывались на глубинах от 251 до 830 м. Сплошность распространения водовмещающих пород разрабатывается прослоями аргиллитов и алевролитов, играющих роль местных водоупоров, и комплекс содержит несколько горизонтов вод. В верхних горизонтах развиты гидрокарбонатно-хлоридные воды с минерализацией до 1 г/л; с глубиной происходит увеличение содержания хлора, сульфатов, снижается гидрокарбонатов, увеличивается минерализация. В пос. Кангаласы два водоносных горизонта. Верхний — в интервале 202—230 м включает гидрокарбонатные натриевые воды с минерализацией 0,7 г/л, с содержанием фтора до 6 мг/л, с высокой цветностью, непригодные для питьевых целей. Нижний горизонт расположен на глубине 380—600 м, презометрические уровни устанавливались на глубинах 115—185 м. Воды гидрокарбонатные натриевые с минерализацией до 1,3 г/л, содержание фтора 2,8—5 мг/л. Воды использовались для хозяйственно-питьевых целей пос. Кангаласы. Бердигестяхской скважиной вскрыты сульфатно-хлоридные натриевые воды с минерализацией 0,21—0,28 г/л.

На востоке бассейна комплекс вскрыт серией скважин вблизи пос. Джеббарки-Хая. Мощность водовмещающих пород 20—235 м, глубина вскрытия изменяется, уменьшаясь при приближении к р. Алдан, от 578 до 75 м. Воды напорные, презометрические уровни устанавливались на абсолютных отметках 121—123 м, на уровне воды в р. Алдан. Дебиты скважин 6,6—21,7 л/с, удельные дебиты 0,9—6,3 л/с. Воды гидрокарбонатные натриевые с минерализацией 0,21—0,28 г/л.

Комплекс содержит также таликовые воды. Межмерзлотные воды вскрывались в районе оз. Белое в зоне развития сквозного талика на глубинах 123—134 м. Воды гидрокарбонатные натриевые с минерализацией 0,69—0,89 г/л. Удельный дебит 0,2 л/с. Намерзлотные воды вскрывались скважинами на глубинах 50—150 м, дебиты скважин от 0,2 до 3 л/с, удельные дебиты 0,02—1,2 л/с. Воды гидрокарбонатные натриевые и гидророботанно-сульфатные кальциево-натриевые с минерализацией 0,3—1,4 г/л. В пос. Матан таликовые воды среднеюрского возраста эксплуатировались 10 лет. В процессе работ повысилась минерализация с 0,47 до 2,76 г/л, произошло изменение солевого состава.

В пределах Киччанского адартезианского бассейна воды комплекса практически не изучены.

Воды комплекса не всегда пригодны для использования ввиду низкого положения презометрической поверхности, повышенной минерализации, высокой цветности вод, малой водообильности.

Водоносный комплекс нижнеюрских отложений распространен по площадям наиболее широко. В пределах Дено-Вилуйского адартезианского бас-

сейна II порядка он на большей части перекрывает вышележащими комплексами, содержит померзлотные воды. В пределах Алданского крыла Якутского адартезианского бассейна I порядка он выходит на поверхность, почти полностью проморожен и содержит таликовые воды. По условиям циркуляции воды комплекса порово- и трещинно-пластовые. На большей части Дено-Вилуйского бассейна комплекс отделяется от вышележащих регионально выдержанным водоупором — толщей глинистых пород сунтарской свиты. Водовмещающие породы — разнородные песчаники и конгломераты. В северо-западной части территории, на севере Дено-Вилуйского бассейна, воды комплекса вскрыты скважинами на Нижневилюйской площади в интервалах 2490—2677 м (скв. 1) и 2550—2870 м (скв. 2). Воды рассольные хлоридные натриевые с минерализацией 50—55 г/л, дебит 0,6 л/с, пластовые температуры 77—80 °С. В центральной части бассейна в Урдахахой скважине в интервале 880—1093 м выделяется восемь проницаемых пластов. В интервале 957—975 м получен приток воды с растворенным газом, по составу вода хлоридно-гидрокарбонатная кальциево-натриевая с минерализацией 0,9 г/л. Пластовые температуры 18—21 °С. На Кенжеминской площади воды гидрокарбонатные натриевые с минерализацией 1,4 г/л. На Ивановской площади из интервала 2867—2968 м получена соленая вода хлоридно-гидрокарбонатная натриевая с минерализацией 6,1 г/л, присутствуют бром — 2,7 мг/л, иод — 0,2 мг/л. Пластовая температура 65 °С.

На южной и юго-восточной окраинах Дено-Вилуйского бассейна померзлотные воды комплекса вскрыты большим количеством скважин. Глубина вскрытия от 126 м (пос. Майя) до 563 м (пос. Чурапча). Воды напорные, высота напора достигает 375 м, уровни устанавливались на глубинах от 8 до 220 м. Презометрическая поверхность погружается с юга на северо-запад с абсолютной отметки +101 м до —37 м. Мощность водоносных горизонтов 80—180 м. Дебиты скважин 0,46—4,1 л/с при пониженных от 2 до 88 м, удельные дебиты 0,01—0,92 л/с. Коэффициенты фильтрации 0,022—0,39 м/сут, водопроницаемости — 16—39 м²/сут. Воды хлоридно-гидрокарбонатные натриевые и сульфатно-гидрокарбонатные натриевые с минерализацией 0,48—1,35 г/л, с увеличением глубины смешаются более минерализованными хлоридными водами. Скважиной в пос. Тюнгюлю на глубине 470 м (абсолютные отметки презометрической поверхности —36,8 м) вскрыты хлоридные натриевые воды с минерализацией 1,6 г/л, с высоким содержанием фтора — 6 мг/л.

Под руслом Лены в сквозной таликовой зоне распространены межмерзлотные воды гидрокарбонатного натриевого состава с минерализацией 0,6 г/л, содержание фтора в них до 1,4 мг/л. Воды слабосолончатые (рН — 8,4), марки, в бактериологическом отношении стерильные, соответствуют требованиям ГОСТ.

Подмерзлотные воды комплекса используются для хозяйственно-питьевого и технического водоснабжения в районе г. Якутск, в поселках Майя, Беке и Дамтуга. В пос. Майя они вскрыты на глубине 126—150 м, по составу гидрокарбонатные магниево-натриевые с минерализацией 0,6—0,8 г/л, содержание фтора 0,8—3,2 мг/л, в бактериологическом отношении стерильные. Суточный водоотбор 200 м³ из двух скважин. В пос. Беке на глубине 165—180 м воды гидрокарбонатные кальциево-натриевые с минерализацией 0,75 г/л. Суточный водоотбор 250 м³ [121].

В пределах Киччанского адартезианского бассейна на Сантарской площади на глубинах 1670—2115 м воды рассольные хлоридные натриевые с минерализацией до 130 г/л. Уровень устанавливался в 60—100 м от устья скважины.

Водоносный комплекс триасовых отложений глубоко погружен, развит локально. На Нижневиллюйской площади в интервале 2855—3204 м из вскрытия песчаников, алевролитов, аргиллитов получены притоки рассольных вод хлоридного натриевого состава с минерализацией 50—82 г/л с растворенным газом (метан — до 70 %). На Сарганской площади воды средне-верхнетриасовых отложений вскрывались на глубинах от 2130 до 2602 м, по составу хлоридные натриевые с минерализацией от 65 до 126 г/л, в воде присутствуют иод, бром, нефтяные кислоты. В пос. Нижний Бестях на южной окраине Лено-Виллюйского артезианского бассейна воду содержат триасовые песчаники с прослоями конгломератов в интервале 407—467 м. Воды сульфатно-гидрокарбонатные натриевые с минерализацией до 1 г/л. Практического значения воды не имеют.

Водоносный комплекс кембрийских отложений распространен в пределах Алданского крыла Якутского артезианского бассейна, где он является первым от поверхности, и на южной периферии Лено-Виллюйского артезианского бассейна, где он перекрыт вышеуказанными комплексами. Водомещающие породы представлены трещиноватыми и закарстованными известняками и доломитами. По условиям циркуляции воды трещинно-карстово-пластовые. Коэффициенты фильтрации пород от 0,05 до 16 м/сут, водопроницаемости — 0,9—430 м²/сут, неоднородны по площади и размеру и обычно уменьшаются с глубиной. Воды напорные, местами самонизиваются. На левобережье Лены комплекс вскрыт на глубинах от 261 до 650 м. Презометрические уровни устанавливаются примерно на уровне речных вод. На правобережье Лены комплекс вскрыт на глубинах 202—570 м. Высота напора до 400 м. Презометрические уровни устанавливаются иногда выше поверхности земли. Презометрическая поверхность вод комплекса снижается с юга на север и северо-запад с абсолютных отметок +160 до +80 м. Дебиты скважин от 0,33 до 13,6 л/с, удельные дебиты 0,01—2,47 л/с. Воды комплекса питают родники, выходящие в долинах рек Лена, Ботома, Амга, дебиты родников достигают 110—116 л/с.

Химический состав и минерализация вод разнообразны по площади. В пределах Лено-Виллюйского бассейна развиты преимущественно приуроченные к отложениям среднего кембрия сульфатно-гидрокарбонатные натриевые пресные и слабосоленоватые воды с минерализацией 0,56—1,8 г/л с содержанием фтора до 2,2 до 5 мг/л. В г. Якутск, в пос. Табата (р. Суола) воды эксплуатируются без обесфторивания. Суточный отбор в пос. Табата по 50 м³ из двух скважин [121].

В пределах Алданского крыла Якутского бассейна на правобережье Лены до устья р. Ботома и южнее развиты приуроченные к отложениям ленского яруса нижнего кембрия пресные воды с минерализацией до 1 г/л, по составу хлоридно-гидрокарбонатные натриевые и магниесо-натриевые с содержанием фтора 1,6—2,3 мг/л. Эти воды можно использовать для целей водоснабжения при условии обесфторивания [86]. На левобережье Лены выше устья р. Ботома воды хлоридно-гидрокарбонатные магниесо-натриевые с минерализацией 0,86—2,93 г/л и хлоридные натриевые с минерализацией 2,45—4,95 г/л, характерны повышенные содержания сероводорода — до 107,8 мг/л, фтора — до 8 мг/л. Удельные дебиты скважин не превышают 0,1 л/с. Эти воды для водоснабжения непригодны.

В бассейне р. Амга в районе Амгинской опорной скважины в интервале глубин 30—180 м в отложениях среднего кембрия развиты сульфатно-хлоридные кальциево-магниесо-натриевые воды с минерализацией 9,0—9,5 г/л с запахом сероводорода. Воды напорные, самонизиваются с расходом 50—150 л/ч [97]. В бассейне Амги встречаются также сульфатно-хлоридные натриевые воды с минерализацией 2,6—5,9 г/л и хлоридные на-

триевые с минерализацией 2,7—3,6 г/л, содержание фтора 0,12—4,7 мг/л. Воды для водоснабжения непригодны.

Под руслом р. Лена развиты межмерзлотные воды хлоридно-гидрокарбонатные натриевые с минерализацией 1,3 г/л, с повышенным содержанием фтора и брома. Верхний Бестях дебит 1,6 л/с при понижении 21 м. Воды безнапорные, уровень устанавливается на 5,9 м от устья скважины.

Описываемой водоносный комплекс располагается в области транзита. Основная область питания находится южнее, за пределами рассматриваемой территории. Частичная разгрузка осуществляется через сквозной талик под руслом Лены, в сквазные таликовые зоны в озерах, где уровни воды ниже презометрической поверхности подмерзлотных вод комплекса, а также в родники.

Водоносный комплекс рифейских и вендских отложений вскрыт единичными скважинами. В Амгинской опорной скважине из отложений венда, представленных доломитами и известняками с прослоями мергелей, аргиллитов, песчаников, в интервале 829—874 м получены притоки сульфатно-хлоридных кальциево-натриевых вод с минерализацией 4,5—5,1 г/л дебитом 2,4 м³/сут (0,03 л/с), содержание метан, а из более глубоких горизонтов, с глубины 960 и 1019 м — воды хлоридные кальциево-натриевые с минерализацией 31,1 и 36,2 г/л. Воды вендских отложений вскрывались понюковой скважиной на Урдахской площади, но не анализировались.

В Мокуйской скважине из верхнерифейских отложений в интервале 1370—1839 м получен приток пластовой воды с растворенным газом. Дебит при динамическом уровне 414 м составил 5,7 м³/сут (0,07 л/с). Вода хлоридная кальциево-натриевая с минерализацией 64 г/л. В воде присутствуют бром — 0,2—0,3 г/л, иод — 0,003 г/л, в составе газа преобладает азот — до 65 %, присутствует метан — 2 %. Пластовая температура 28 °С. Из среднерифейских отложений в интервале 2165—2177 м получен приток пластовой воды хлоридного кальциево-натриевого состава с минерализацией 103,7 г/л, дебитом 12,3 м³/сут (0,14 л/с). Вода насыщена газом азотно-метанового типа (метана 73 %, азота 29 %), присутствуют бром — 0,314 г/л, иод — 0,003 г/л [108].

Водоносный комплекс кристаллических пород арктической провинции в районе г. Якутск и на Табагинскому мысу. Подземные воды развиты только в пределах выветрелых и трещиноватых зон, по условиям циркуляции трещинно-жильные. В районе Табагинского мыса опробовались воды в интервале 904—939 м. По составу воды гидрокарбонатно-сульфатные натриевые с минерализацией 1,2—1,5 г/л, с содержанием фтора до 6—8 мг/л, дебит 1,8 л/с. Практического значения воды не имеют.

ВЕРХНЯНСКИЙ ГИДРОГЕОЛОГИЧЕСКИЙ МАССИВ

В орографическом плане описываемая часть массива представляет собой сложную торную цепь и относится к области стока р. Лена. Мощность мерзлотной зоны составляет 200—400 м, возрастает на водораздельных участках и уменьшается в речных долинах. Процессы промерзания наложены на горно-складчатую область, характерную для интенси́вных и глубоких расчленением рельефа. Подземные воды трещиноватой зоны выветривания по мере промерзания массива должны были отжиматься в дренируемые долины, накапливаясь в русловых отложениях и подрусловых трещиноватых зонах. Гидрогеологические массивы могут иметь не единую водонапорную систему, а несколько относительно самостоятельных систем, каждая из которых связана с бассейном какой-то реки. Водоносные зоны

в пределах таких систем распространены не равномерно по территории бассейна, а наследуют конфигурацию речных долин.

В соответствии со структурным планом и преобладающим типом водоносных комплексов в пределах Верхоянского гидрогеологического массива выделяются гидрогеологические массивы II порядка: Западно-Верхоянский (II₁), Сетте-Дабанский (II₂) и Южно-Верхоянский (II₃).

Ниже приводится описание водоносных комплексов от молодых к древним.

Водоносный комплекс четвертичных отложений связан с элювиально-делювиальными отложениями водоразделов и склонов и с элювиальными речных долин. На гидрогеологической схеме комплекс не показан ввиду его широкого распространения и малой мощности. Водоносность элювиально-делювиальных отложений связана с сезонным слоем, мощность которого в зависимости от экспозиции склонов составляет 0,3—1,5 м. Водоупорным основанием являются многолетнемерзлые породы. По характеру циркуляции воды поровые. Основное питание вод происходит за счет атмосферных осадков, оттаивания мерзлых прунтов, конденсации водяных паров. Воды сезонного слоя являются основным источником питания рек, где они разгружаются. Продолжительность их существования ограничена периодом июня—сентября. По химическому составу воды гидрокарбонатные, реже хлоридно-гидрокарбонатные кальциевые или кальциево-магниево-натриевые с минерализацией до 0,25 г/л. Практического использования воды не имеют.

Водоносность элювиальных отложений связана в основном с таликами речных долин. Алювий состоит из гравийно-галечного материала с валунами, прослоями песка. Мощность алювия обычно в пределах первых десятков метров, на р. Тыры по геофизическим данным достигает 150 м. Воды подмерзлотные в замкнутых таликах и межмерзлотные в скважинах таликах. Скважные талики могут существовать только под крупными реками (Томпо, Хандыга, Бегая, Аглах-Юнь), под более мелкими реками — замкнутые. Таликовые воды приурочены преимущественно к современным аллювиальным отложениям. Основное питание вод осуществляется за счет инфильтрации атмосферных осадков и поверхности вод. Зимой при промерзании таликов идет падение уровня подземных вод и таликовые воды могут обрести напор, вследствие чего появляются источники, действующие только зимой и образующие небольшие наледы. Воды таликовых речных долин обычно гидрокарбонатные и хлоридно-гидрокарбонатные кальциевые или кальциево-магниево-натриевые с минерализацией до 0,2 г/л. Эти воды являются надежной базой для промышленного и питьевого водоснабжения.

Водоносный комплекс мезозойских отложений распространен на пещере Западно-Верхоянского массива. Комплекс на данной территории выделяется предположительно, воды его не вскрывались. Комплекс может содержать трещинные и трещинно-жильные воды.

Водоносный комплекс каменноугольных и пермских отложений распространен в пределах Западно-Верхоянского и Южно-Верхоянского гидрогеологических массивов. Породы комплекса — интенсивно дислоцированные песчаники, алевролиты, конгломераты, глинистые сланцы. По характеру циркуляции подземные воды относятся к трещинному и трещинно-жильному типам. Источников, непосредственно связанных с отложениями карбона и перми, не отмечено. Подземные воды комплекса вскрыты восточнее, в бассейне р. Дыбы (Южно-Верхоянский массив), однако там воды своеобразные — минеральные углекислые, не отража-

ющие региональную гидрогеологическую обстановку. На существование подземных вод на рассматриваемой территории указывают наледы, встречающиеся в пределах распространения комплекса. По химическому анализу талые наледные воды нейтральные (рН — 7), хлоридно-гидрокарбонатные магниевые-кальциево-натриевые с минерализацией до 0,3 г/л и общей жесткостью 0,7 мг/экв. Эти воды пригодны для хозяйственно-бытового использования.

Водоносный комплекс девонских отложений развит в Сетте-Дабанском гидрогеологическом массиве. Комплекс сложен пестрыми и сероцветными карбонатными и трещинно-карбонатными породами с пластами эффузивных образований. Тип вод трещинный, трещинно-пластовый, трещинно-карстовый. Известен источник на р. Вост. Хандыга, в устье р. Сегенях (Россомахинский) дебитом от 60 до 100 л/с (по разным данным), питающийся, вероятно, водами девонских отложений. Воды сульфатно-гидрокарбонатные кальциевые, минерализация 0,25 г/л. Формула солевого состава:



Водоносный комплекс кембрийских, ордовичских и силурийских отложений распространен в Сетте-Дабанском гидрогеологическом массиве. Водоносными породами являются песчаники, сильнотрещиноватые сланцы, известняки и доломиты. Породы дислоцированы и тектонически нарушены. Подземные воды принадлежат к трещинному, трещинно-жильному или трещинно-карстовому типу. В скважине на месторождении Сардана (юг территории, левобережье р. Хамна) на глубине 250 м в глинистых известняках чайской свиты среднего кембрия вскрыта водоносная зона с напорными водами. Дебит не превышает 0,1 л/с, вода с запахом сероводорода, химический состав не изучен. Презометрический уровень подмерзлотных вод установился на абсолютных отметках 560—575 м, а подлога многолетнемерзлых пород залегает ниже уровня на 200—300 м, что обеспечивает высоконапорный характер вод. Подземные воды комплекса угнетаются также по самозаливному их из малодебитных источников, фиксируемых по наледям, развитым в пределах распространения пород комплекса. Химический состав наледных вод гидрокарбонатный кальциевый, реже кальциево-магниево-натриевый, минерализация от 0,1 до 0,25 г/л. С кембрийскими отложениями, по-видимому, связан источник солоноватых вод на р. Бегая, против руч. Бутуэ, действующий периодически. Вода прозрачная, солоноватая на вкус, гидрокарбонатно-сульфатного кальциево-магниевого состава с минерализацией 2,127 г/л.

Водоносный комплекс рифейских и вендских отложений развит в Сетте-Дабанском гидрогеологическом массиве. Преобладающими в составе комплекса являются терригенные породы — кварциты, песчаники, сланцы, но широко развиты и карбонатные породы — известняки, мраморизованные известняки, мергели. Породы интенсивно дислоцированы и тектонически нарушены. В скважине, пробуренной на месторождении Сардана, на глубине 293—295 м в квернозных и трещиноватых известняках и доломитах вскрыта сардинской свиты венда вскрыты высоконапорные воды, изливавшиеся с дебитом до 5 л/с. Вода прозрачная с запахом сероводорода гидрокарбонатная кальциево-натриевая с минерализацией 289 мг/л. Известны источники, пространственно и генетически связанные с нижнерифейскими отложениями на северо-западном склоне хр. Эбайке-Хаята дебитом 8—10 л/с. Воды прозрачные, без запаха и

вкуса. Источник, выходящий в р. Беляя в 500 м выше устья руч. Хайялах, действующий круглогодично, связывается с известняками и доломитами малгинской и питавинской свит среднего рифея. В пределах распространения комплекса развиты нагели. Крупнейшая нагель, расположенная по руч. Сыльсардах (приток р. Мутула, правого притока р. Белья), имеет протяженность 3,5 км, ширину 300 м, мощность льда 2—3 м, объем льда 2—2,5 млн м³. Воды нагелей гидрокарбонатные натриево-кальциевые с минерализацией 0,2—0,3 г/л.

Исходя из общей гидрогеологической обстановки, можно предположить, что подмерзлотные трещинные и трещинно-карстовые воды распространены достаточно широко в условиях, благоприятных для образования подуровневых таликов, и в зонах тектонических разломов.

ГЕОДИНАМИЧЕСКАЯ ЭВОЛЮЦИЯ

Описываемая территория представляет собой юго-восточный край древнего Сибирского континента и его пассивную окраину. Довершительная история Сибири была связана со становлением большого числа архейских блоков континентальной коры, их столкновением в раннем протерозое с образованным единого древнего Сибирского континента. Большая часть Сибирского континента в раннем протерозое представляла собой высокую сушу, поставившую обломочный материал в предельно эпиконтинентальных морей. Начиная с рифея в пределах платформы формируются осадочный чехол — отложенный обширно межконтинентальной шельфа, фрагменты которых можно сегодня наблюдать в разрезах Кызлахаской зоны.

Вся геологическая история рассматриваемой территории от рифея до мела протекала на фоне дрейфа Сибирского континента из приэкваториальной широт Южного полушария в умеренные и высокие широты Северного полушария с постепенным разворотом по часовой стрелке почти на 180° [21].

По мере дрейфа Сибирского континента в составе древней литосферной плиты и удаления ее от древней оси спрединга шло развитие пассивной окраины, длительное время (более 1200 млн лет) обращенной в сторону открытого океана. Ее развитие распадается на три крупные стадии. Первая стадия охватывает протерозойское время от рифея до раннего девона включительно, вторая — средний девон—ранний карбон и третья — поздний палеозой—мезозой (до верхней юры).

В первую стадию на окраине в шельфовых и континентально-склоновых условиях (кембрий—нижний—средний ордовик) шло накопление многокилометровых карбонатных, терригенно-карбонатных, терригенных и карбонатно-турбидитовых толщ. Мощные карбонатные платформы неоднократно возникали в рифе, венде, позднем ордовике, силуре. Формирование пассивной окраины, возможно, связано с тем, что в начале рифея древний Сибирский континент откололся от суперматерика и постепенно отодвигался от зоны спрединга. Длительное отодвижение должно было неминуемо привести к остыванию и потужению плиты, а вместе с ней и континента. Расстигание пассивной окраины сопровождалось возникновением сбросов и проникновением в осадочную толщу базитового магматического материала в позднем рифе и раннем палеозое. Многочисленные горизонты торчачих сланцев и битуминозных отложений, а также рифовых толщ в рифейских и нижне-среднепалеозойских отложениях подтверждают положение Сибири в тропической зоне, скорее всего в аридном климате, о чем свидетельствуют многочисленные красноцветные отложения.

В среднем—позднем девоне и начале карбона современный восточный край континента, вероятно, проходил над торчачим котлом в мантинге с центром с координатами 45° с. ш. и 60° в. д. [21]. Видимо, с этим связано раздробление края континента и образованные разветвленной си-

стыи грабен-рифтов (Палеовилейский, Сетте-Дабанский и др.). Рабенообразование сопровождалось утонением коры, излияниями шельтовых базальтов, внедрением шельчно-ульграсосновных интрузий. Субмеридиональные пологие распространения этих пород маркируют остатки девонской рифтовой системы.

В позднем палеозое континент продолжал перемещаться на север, причем скорость перемещения по палеогеографическим данным составляла до 2 см в год. Сибирь оказалась в гумидной зоне, что явилось одной из причин смены карбонатного характера осадконакопления на пассивной окраине на терригенный. Другой причиной явилось то, что на этот период приходится самое глубокое опускание уровня Мирового океана, вызвавшее увеличение площади суши на Сибирском континенте, с которого в это время поставлялись осадочный материал для толщ верхоянского комплекса. Многочисленные дельты и конуса выноса, сливаясь, образовывали подводную равнину у края континента, и ныне образованная этой равниной можно наблюдать в многочисленных обнажениях Верхояно-Колымской покровно-складчатой системы. Подводная равнина протрапировала в сторону от континента, ее дистальные части, сложенные тонкими осадками карбона и нижней перми, можно наблюдать в северной части территории (Ожно-Верхоянский синклинорий).

В раннем триасе край континента вновь испытывал раздробление и внедрение шельтовых базальтоидов, что, вероятно, связано с тем, что с позднего девона до раннего триаса континент разворачивался над ранее упомянутыми горными полами в мантии. В мелу произошло очень важное событие, выразившееся в столкновении ряда блоков (Чукотского, Омлонского, Алазейско-Ойотского, Уядинно-Ясаценского и Охотского) с краем Сибирского континента [21]. Столкновение Охотского микроконтинента (Охотский срединный массив) с краем Сибири проявилось в становлении коллизионных меловых гранитов, широко развитых в Южно-Верхоянском синклинории непосредственно к востоку от площади листа Р-52, 53. Терригенные отложения Верхоянского комплекса и подстилающие его отложения древнего шельфа были расчленены, смяты в складки и надвинуты на край Сибирской платформы. Вся платформа, ранее залитая морем, превратилась в сушу, а перед формирующимся горно-складчатым сооружением Верхоянскя возник краевой Приверхоянский прогиб. Заполнение прогиба рыхлыми отложениями на Алданском отрезке, попадающем в пределы описываемой территории, продолжалось на протяжении всего мелового периода. Одновременно с этим шло надвигание на прогиб смежногорно-складчатого сооружения.

Прогибание территории, располагавшейся перед фронтом складчатого сооружения, продолжалось на протяжении большей части кайнозоя и привело к формированию Нижнеалданской впадины, перекрывшей как Приверхоянский прогиб, так и северный склон Алданской антиклизы.

Самым ярким событием конца кайнозойской истории явилось горообразование, в результате которого в конце раннего плейстоцена оформилась горная система Верхоянскя [28]. С горообразованием связаны горно-долинные оледенения в Верхоянск и интенсивная эрозия, сопровождавшаяся формированием лестницы террас.

В нижнемеловой части территории в плейстоцене формировалась обширная озерно-аллювиальная равнина. Климат на этом отрезке времени постепенно становился сухим и холодным, что объясняет широкое распространение лессовидных супесей с многочисленными линзами погребенных льдов.

ПОЛЕЗНЫЕ ИСКОПАЕМЫЕ

ГОРЮЧИЕ ИСКОПАЕМЫЕ

Нефть и газ горючий. Рассматриваемая территория охватывает часть Дено-Вилейской минералогической провинции, в которой выделяются Ленский нефтегазоносный и угленосный бассейны, включающий Приверхоянскую нефтегазоносную площадь.

В северной части Ленского нефтегазоносного и угленосного бассейна выявлены месторождения Нижневилейское (1-1-1), проявления горючего газа 1-2-1, 2 и проявления нефти 1-2-6, 7.

Месторождение газа горючего Нижневилейское (1-1-1), открытое в 1976 г., расположено в низовьях р. Вилей, в 70 км западнее пос. Сантар. Месторождение приурочено к одноименному локальному поднятию. Размеры по сейсмическому отражающему горизонту Ю₃ — 14×6 км с амплитудой около 170 м. Пластовая залежь выявлена в продуктивном горизонте Т₁—Х и J₁—I. В триасовой части разреза, представляющей песчанниками таландинской свиты, мощность пластовой залежи 15 м (инт. 3980—3995 м). Дебит газа через шпундер диаметром 21 мм составил 250 тыс. м³/сут. Горизонт J₁—I в одной из скважин дал приток газа с водой с дебитом около 100 тыс. м³/сут. Проведено газоконденсатное исследование. Состав газа (%): метан — 90,9, этан — 4,6, пропан — 1,45, бутан — 0,51, углекислый газ — 0,3, азот — 1,13. Потенциальное содержание C₂+В составляет 56,6 г/м³. Месторождение осталось недоизученным, поэтому в эксплуатации не слано. По своим запасам относится к категории малых месторождений [12, 91].

Проявление горючего газа 1-2-1 обнаружено на р. Берге-Тюгене в 14 км от устья. Вдоль правого берега реки среди песков и песчаников хатырской свиты нижнего мела на протяжении 120 м наблюдались около 20 очагов выходов газа (грифоны). Общий дебит газов примерно 5 м³/ч. Химический состав газа (%): кислород — 0,15, метан + тяжелые углеводороды — 89,59, азот — 8,86, углекислый газ — 1,4 [123].

Проявление горючего газа 1-2-2 на правобережье Лени около пос. Сантар обнаружено при бурении разведочной скважины Р-2. В интервалах 1670—2115 м из верхоянских отложений, 2290—2602 м из верхотриасовых отложений получены притоки рассольных вод, насыщенных газом (свыше 300 м³/сут). Газ — метановый с примесью тяжелых углеводородов. Данные химических анализов отсутствуют [94].

Проявление нефти 1-2-6 расположено на левобережье Лени в 30 км южнее пос. Сантар. При разбуривании Берчинской структуры с установленными размерами 25×10 км и амплитудой 800 м, на глубине 2880 м из верхнеюрских угленосных песчаников получены слабые притоки нефти (до 80 л/сут), в дальнейшем притоки нефти прекратились. Незначительно

поступление нефти объясняется весьма плохими коллекторскими свойствами пород. Пористость их 2—6 %, проницаемость до 10 мД. Химический состав нефти (%): азот — 0,01, смолы — 0,3, парафины — 4,0, сера — 0,12. По фракционному составу содержание легких бензиновых фракций достигает 64,3 %, а количество фракции, отвечающей диатопливу, не превышает 15,9 %. Проявление промышленного интереса не представляет [123].

Проявление нефти 1-2-7 расположено на левобережье Лены (р. Ситта) в 40 км к юго-юго-востоку от пос. Сантар. Приурочено к антиклинальной складке размером 20×10 км с амплитудой более 400 м. При бурении Олойской поисковой скважины 1 в интервале 3334—3374 м из верхнеюрских образований извлечено 130 л нефти, в интервале 3410—3442 м — 85 л нефти. Нефть с удельной массой 0,8230 г/см³, по своим свойствам относится к малосмешанным (1,4 %), малоструктурным (0,06 %) и высокопарафинистым (24,4—29,3 %). Содержание (%): асфальтенов — 0,2, азота — 0,25, серы — 0,12. Выход светлых фракций (ГОСТ 2177-59) при температуре до 200 °С составляет 2,5 %; до 250° — 11,5 %, а до 300° — 31,5 % [136].

Описанные выше проявления выявлены на западе Приверховской нефтегазоносной и угленосной площади с высокими перспективами на нефть и газ (перспективные площади II категории). Однако наиболее перспективным районом является северная ее часть, отвечающая зоне передовых складок и надвигов, где возможны как структурные, так и неструктурные ловушки под надвиговым экраном (перспективные площади I категории).

Основные перспективы южной части Ленского нефтегазоносного и угленосного бассейна связаны с вендскими и кембрийскими отложениями. Для перспективной оценки этих толщ на Урдакской площади, расположенной в 30 км к северу от пос. Матарас, проведены поисково-оценочные работы с бурением глубоких скважин. Здесь обнаружено проявление газа торючого П1-3-1. В Урдакской скважине (инт. 1700—1720 м) из песчаников юдомской серии венда получен приток газа с дебитом 273,6 м³/сут, а в интервале 1740—1840 м на каротажной диаграмме отмечались повышенные газонакопления — до 4 % при фоновых 0,1—0,2 %. Пласт песчаников (17,2 м) обладает высокими фильтрационно-емкостными свойствами. Хорошие коллекторские свойства пород в подошве верхнеюдомской подсерии и прямые признаки нефтегазоносности в региональном плане позволяют сделать предположение о возможном скоплении углеводородов в наиболее приподнятой части структуры [77]. Вышележащие отложения нижнего и среднего кембрия сложены плотными глинистыми породами и могут служить флюидопором для нижележащего вендского проинцаемского комплекса.

Проявления торючого газа П-4-4 и П-6-1 связаны с юрскими и меловыми отложениями. При бурении Намской опорной скважины (П-4-4) в интервале 1671—2284 м из нижнемеловых—верхнеюрских отложений, а в интервале 2364—3303 м из средне-верхнеюрских отложений получены притоки соленой воды, насыщенной газом. Газ — метан с примесью тяжелых углеводородов. Данные анализы отсутствуют [129]. Проявление П-6-1 выявлено при бурении колонковой скважины, где в интервале 218—271 м в нижнемеловых отложениях наблюдались выделения газа дебитом 1—18 л/мин. Анализ газа (%): азот — 68,3—76,1, метан — 0,2—32,2, кислород — 2,4—20,7, углекислый газ — 0,3—2,1 [109].

Наличие газа торючого в интервале благоприятных глубин (1—4 км) позволяет отнести южную половину Ленского нефтегазоносного и угле-

носного бассейна к площади, потенциально перспективной на обнаружение нефти и газа (перспективные площади IV категории).

Площадь Алданской антеклизы южной части региона, сложенная позднепротерозойским—раннепалеозойским и мезозойским комплексом пород с глубиной залегания фундамента более 1 км, относится к потенциально перспективной (перспективные площади III и IV категорий). Это подтверждает выявленное в Амгинской скважине проявление нефти У-6-2, приуроченное к антиклинальной структуре площадью 6 км², простирание широкого и пологого свода которой близмеридиональное, падение восточного крыла — 1°10', западного — 3°40'. Нефтеносность в виде скопления битума в порях пород, пленочных натеков вдоль трещин микроразлома, участков с примазками полужидкой нефти и асфальта установлена в кембрийских карбонатных породах и битуминозных сланцах в интервале 573—619 м. В этом же интервале и на глубине 840—940 м (карбонатные породы венда) наблюдается разгазирование бурового раствора [97, 98]. Наличие нефти в трещинах пород, секущих пласты почти перпендикулярно напластованию, свидетельствует о миграции нефти с глубины. Характер нефтеносности, неблагоприятные тектонические условия свидетельствуют о малой перспективности структуры в отношении обнаружения промышленной залежи нефти и газа [98]. Перспективы площади Алдано-Майской впадины (восточная часть Алданской антеклизы), где глубина погружения фундамента достигает 5 км, несколько выше (перспективные площади III категории). Здесь в карбонатных и песчаниковых отложениях протерозоя и кембрия фиксируются жирные пластовые скопления асфальтов, керитов и антраксолитов импретнированного и гнездового типа [12].

ТВЕРДЫЕ ГОРЮЧИЕ ИСКОПАЕМЫЕ

Твердые горючие ископаемые представлены каменными и бурыми углями, связанными с юрскими и меловыми отложениями, палеогеновыми бурыми углями лигнитовой разновидности и кембрийскими торючими сланцами. Все месторождения и абсолютное большинство проявлений твердых горючих ископаемых, из которых промышленный интерес представляют только каменные и бурые угли, выявлены в пределах Ленского нефтегазоносного и угленосного бассейна.

Угленосность бассейна наиболее полно изучена на площадях с благоприятными географо-экономическими условиями, поэтому современное оконтуривание угольных районов носит искусственный характер [93]. Районы — Сантарский, Джеббарки-Ханинский и Кангалаский — получили название от поселков, являющихся в настоящее время центрами угледобывающей промышленности рассматриваемой территории.

Уголь каменный. Известно девять месторождений и 52 проявления угля. Угленосность связана с континентальными отложениями верхней юры и нижнего мела. Наибольшая угленасыщенность отмечается в верхней части разреза позднеюрских отложений и в нижней и верхней частях разреза раннемеловых пород (батылькская и хатырыкская свиты). Именно с этими комплексами генетически связано большинство месторождений и проявлений угля.

В Джеббарки-Ханинском районе, охватывающем бассейн нижнего течения р. Алдан, установлено семь месторождений и более 40 проявлений каменного угля. К ним относятся среднее месторождение Джеббарки-Хай 1 (П-10-13), малые месторождения: Нижнеутуматское (П-12-25), Олобойское (П-9-2); Юта-Келюй (П-9-4); Хайа-Кутурута (П-9-6); Надежда (П-11-7); Керби-Луговое (П-11-10).

Наиболее крупное месторождение Жебарки-Хая I (III-10-13) расположено на правом берегу р. Аудан, вблизи одноименного поселка. На месторождении выявлено 14 пластов угля простого строения, из которых 12 залегают среди позднеюрских пород, а два приурочены к раннемеловым отложениям. Три ступенчатых сброса западного и северо-западного простирания с падением на юг под углом 60° (амплитуда от 20 до 170 м) разделяют месторождение на ряд блоков. Устойчивая рабочая мощность (0,7—4,5 м) присуща четырем пластам угля, залегающим среди позднеюрских терригенных пород (сверху вниз по разрезу: Первый, Второй, Третий, Четвертый). Остальные пласты этого комплекса пород, как и пласты Новый и Верхний, приурочены к батылхасской свите нижнего мела, представляют собой линзы различной мощности (0,35—3,15 м) и протяженности. Расстояние между рабочими пластами изменяется от 0 до 25 м. Разделяющие породы представлены разномеристыми песчаниками. В кровле и подошве залегают алевролиты и аргиллиты. Уголь черный блестящий, с характерным смолистым блеском. Тип угля каменноугольный, марки «Д». Химический состав (%): W^a — 2,3—11,9; A^c — 4,6—23,7; $S_{\text{общ}}^{б}$ — 0,1—0,4; V^r — 35,0—46,1; C^r — 74,9—78,6; H^r — 5,0—5,8; N^r — 0,6—1,3; $(O+S)^r$ — 15,8—18,9; Q_b^c — 6700—8000 ккал/кг. Валдовые запасы по категории А+В+С₁ — 88 555 тыс. т, по категории С₂ — 412 тыс. т, забалансовые — 3406 тыс. т [11, 79]. Месторождение эксплуатировалось.

С позднеюрскими отложениями связаны малые месторождения Надежда (III-11-7), Керби-Луговое (III-11-10), Олосойское (III-9-2), Ютэ-Келюэ (III-9-4) и Хайа-Кутуруга (III-9-6). На месторождении Надежда (III-11-7) вскрыто четыре промысловых пласта (Штолывневый, Сытогонский, Надеждинский, Неустойчивый), расстояние между которыми от 7 до 25 м (разделяющие породы — песчаники). Пласт Штолывневый состоит из нескольких пачек угля суммарной мощностью 6,9 м (мощность угольной массы 5,8 м). Максимальная мощность отдельной взятой угольной пачки 2,1 м, а разделяющего простоя углистых аргиллитов — 0,7 м. Остальные пласты простого строения мощностью от 0,17 до 3,3 м. Химическая характеристика углей приводится в табл. 10. Запасы угля на месторождении составляют 94,2 млн т, в том числе по категории В — 32,8 млн т и С₁ — 61,4 млн т [11]. Месторождение законсервировано.

Количество угольных пластов, вскрытых в разрезе месторождения Керби-Луговое (III-11-10), достигает 11. Пласты отстоят друг от друга на расстоянии 3—11 м. Промысловыми по качеству угля (табл. 10) и рабочей мощности являются четыре пласта (К₃, К₄, К₅ и К₇). Самый мощный пласт — К₃. Он состоит из пяти пачек угля суммарной мощностью 4,6 м (мощность угольной массы 3,4 м). Мощность наибольшей пачки 1,8 м, а породного простоя 0,9 м. Пласт К₅, отличающийся меньшей мощностью (мощность угольной массы 0,8 м), состоит из трех пачек угля. Пласты К₄ и К₇ простого строения мощностью 0,3—1,65 м. Запасы угля месторождения на площади 30 км² составляют по категории С₁ 43,7 млн т [11]. Месторождение законсервировано.

На малых месторождениях Олосойское, Ютэ-Келюэ и Хайа-Кутуруга угольные пласты выходят на поверхность. На месторождении Олосойское (III-9-2) прослежено два пласта простого строения — Верхний и Нижний мощностью 0,8 и 6,4 м. Пласты, полного падения (1—2°) на северо-запад, прослежены на расстоянии 350 м. На месторождении Ютэ-Келюэ (III-9-4) на северо-восток по падению (1—2°) на расстоянии 1,6 км прослеживается пласт угля простого строения мощностью 0,3—1,2 м, а угольный пласт мощностью 1,8—4,0 м месторождения Хайа-Кутуруга (III-9-6), аналогично

Таблица 10

Характеристика месторождений каменного угля

Название месторождения и его номер на карте полезных ископаемых	Возраст вмещающих пород	Всего пластов	Количество пластов рабочей мощности	Мощность рабочего пласта, м			Категория и количество запасов, млн т	Основные физико-химические показатели	
				простого строения	сложного строения			Марка угля	Тип угля
					суммарная	угольной массы			
Нижнетуматское (II-12-25)	J ₃ —K ₁	7	4	0,2—1,7	0,3—3	0,3—2	В — 10,9 С — 2,5 С ₂ — 0,33	Д-Ж	Клареновый, дюрен-клареновый
Олосойское (III-9-2)	J ₃	—	2	0,8—2,6	—	—	С ₂ — 0,22	Д-Ж	Клареновый
Ютэ-Келюэ (III-9-4)	J ₃	—	1	0,3—1,2	—	—	С ₂ — 0,59	Д-Ж	Дюрен-клареновый
Хайа-Кутуруга (III-9-6)	J ₃	—	1	1,8—4	—	—	С ₂ — 32,8	Д	Клареновый
Надежда (III-11-7)	J ₃	—	4	0,17—3,3	6,9	5,8	С ₁ — 61,4	Д	Клареновый
Керби-Луговое (III-11-10)	J ₃	11	4	0,3—1,65	4,6	0,8—3,4	С ₁ — 43,7 С ₂ — 72	Д	Клареновый, кларен-дюреновый

Окончание табл. 10

Название месторождения и его номер на карте полезных ископаемых	Основные физико-химические показатели						
	W ^a , %	A ^c , %	V ^r , %	S ^б _{общ} , %	Q ^б , ккал/кч	C ^r , %	H ^r , %
Нижнетуматское (II-12-25)	6,8	10,14—21	36,67—49,3	0,19—0,91	7700—8450	69—79	4—5,8
Олосойское (III-9-2)	3,96—5,74	5,61—12,05	44,97—49,32	0,3	6020	68,52—71,19	5,16—5,74
Ютэ-Келюэ (III-9-4)	4,62	12,93	44,87	—	7500	—	—
Хайа-Кутуруга (III-9-6)	2,25—3	15,88—24,78	40,53—46,86	0,46	6830	—	—
Надежда (III-11-7)	1,9—2,7	5—18	33—44	0,4—0,6	7543—7812	77,4—79,7	5,4—5,7
Керби-Луговое (III-11-10)	4—7	6,6—18	—	0,3—0,4	—	—	—

залегавший среди верхнеюрских песчаников и алевролитов (мощность вскрытия до 70 м), по данным спектрального анализа содержит германий в количестве до 0,1 % [98]. Характеристика месторождений приводится в табл. 10. Добыча угля возможна открытым способом. Месторождение законсервировано.

К северу и северо-востоку от описанных месторождений, по мере увеличения распространения нижнемеловых отложений, возрастает значение угленосности этого комплекса пород. На месторождении Нижне-Туматское (П-12-25) практический интерес представляют угли, приуроченные к верхней части разреза бытыльхской свиты нижнего мела (разведанные пласты Туматский, Новотуматский, Сложный и Андрельский, расстояние между которыми 20—44 м). В верхнеюрских отложениях одной скважины на глубине более 1500 м установлены три пласта угля мощностью (снизу вверх): 1,5; 2,6 и 1,6 м. Пласты Туматский и Новотуматский залегают в виде крупных линз мощностью от 0,2 м (в пережимах) до 1,7 м (в разрывах). Пласт Сложный состоит из трех пачек угля общей мощностью от 0,3 до 1,8 м (мощность угольной массы 0,3—1,4 м). Пласт Андрельский содержит пять пачек угля мощностью от 0,1 до 1,5 м, раздельных прослоями алевролитов мощностью 0,1—0,9 м. Мощность угольной массы пласта составляет 0,3—2 м. Основные физико-химические показатели угля приведены в табл. 10. Запасы месторождения, подсчитанные на площади 8 км², составляют по категориям (млн т): В — 10,9, С — 2,5. Месторождение законсервировано [11].

В многочисленных углепроявлениях, расположенных в районе пос. Хандыга по право- и левобережью р. Алдан (проявления П-10-3, 5, 7—12, 17—20; П-11-1, 2—9 и др.), верхнеюрские и нижнемеловые отложения образуют единый угленосный комплекс мощностью около 1000 м, заключенный в большом количестве прослоев и пластов угля. По обобщенным данным их около 100. По петрографическому составу подавляющая часть угля относится к гумусовым блестящим и полублестящим, представляющим клареновыми, дорен-клареновыми, реже кларен-дореновыми разновидностями. Сапропелевые угли и угли с высоким содержанием фюзенита очень редки. По степени углефикации почти все угли относятся к длиннопламенным и газовым.

В Сантарском районе, охватывающем правобережье рек Лена и Алдан до устья р. Тухулан и частично левый берег р. Лена против пос. Сантар, известно одно месторождение и девять проявлений каменного угля.

На месторождении Сантарское (I-2-3), связанном с нижнемеловыми отложениями, установлено 10 угольных пластов: А, Б, С, Новый, Подгорный, Д, Д', Г, Г' и Нижний. Пять из них разрабатываются. Мощности их следующие: пласт С — 2,5—4,9 м, Новый — 1,46—3,1 м, Д — 0,7—1,5 м, Г — 1,0—2,0 м и Нижний — 1,14—1,40 м. Угол падения пластов от 0 до 55°, строение простое, только пласт С имеет сложное строение. Угли гумусовые, переходные от чистых кларенов к кларено-доренам, жирные, стоящие на границе между длиннопламенными и газовыми. Средние химические характеристики (%): W^a — 6,0; А^e — 13,0; S^{сб} — 0,6; V^c — 47,0; C^r — 70,88—72,64; Н^r — 6,60—7,20; Q^с — 7950 ккал/кг. Запасы месторождения по состоянию на 1977 г. по категориям А+В+С составляют 27 867 тыс. т [11, 109]. Месторождение, малое по запасам, эксплуатируется.

Наиболее интересное из проявлений в этом районе — I-5-1 расположено на левобережье р. Тумара у северной границы региона. Среди песков и песчаников баттыльхской свиты (нижний мел) залегают три пласта каменного угля мощностью 2,0; 1,2 и 0,5 м, которые разделены интервалами

3,5—11 м. Падение пород северо-восточное под углом до 60°. Химический анализ углей (%): W^a — 5,8; А^e — 9,81; S^{сб} — 0,3; V^c — 33,49; C^r — 74,05; Н^r — 4,56; Q^с — 5798 ккал/кг. Угли относятся к марке «Ж». Запасы не подсчитывались. Проявление рекомендуется для дальнейшего изучения. Остальные проявления (I-2-5; I-3-1; I-6-1, 2—6) мелкие и практического интереса не представляют.

Проявление каменного угля П-4-3 выявлено Намской скважиной, где мощность верхнеюрского—нижнемелового угленосного комплекса достигает 1500 м. В скважине обнаружено 42 угольных пласта и прослоя. Наиболее мощные пласты угля (I—1,5 м) приурочены к верхнеюрским отложениям (пограничные слои с нижним мелом) в интервале 1506—2055 м. Они относятся к каменным углям низкой степени углефикации, а вышележащие меловые — к бурным углям. Верхнеюрские каменные угли характеризуются малым содержанием влаги — 1,01—1,34 %, высокой зольностью — 43,00—46,5 % и сравнительно низким выходом летучих веществ — 30,33—42,5 %. Содержание углерода C^r — 78,14—81,45 % [129]. Горно-технические условия для эксплуатации каменных углей неблагоприятны из-за значительной глубины, превышающей 1500 м.

Уголь бурый. Выявлено одно среднее, два малых месторождения и 73 проявления бурого угля. Два месторождения и около 40 проявлений расположены в Кангаласском районе, охватывающем левобережье р. Лена в пределах Ленского нефтегазосносного и угленосного бассейна.

На среднем месторождении Кангаласское I (П-4-10) угленосные верхнеюрские и нижнемеловые отложения залегают монокипально с полным падением (1—3°) на север и северо-восток. Из 48 выявленных пластов рабочие характеристики у 16, из которых пять (Мошный — 3,15—10,7 м, Тулатинский — 0,95—6,3 м, Кильдямский — 0,5—9,5 м, Намский — 0,8—11,8 м, Новый — 2,35—5,5 м) приурочены к верхнеюрским образованиям, а остальные (Верхний — 8,9 м, Нижний — 5,5 м, Рудничный — 2,3 м, VIII—XI — от 1,5 до 15 м и более) — к породам баттыльхской свиты нижнего мела. Расстояние между угольными пластами, приуроченными к нижнемеловым породам, от 0,4 до 5 м, а безугольные интервалы верхнеюрских пород колеблются от 25 до 35 м. По падению и простиранию пласты, местами расщепляющиеся на самостоятельные пачки, по угольной массе оцениваются как средней мощности (1,2—3,5 м), мощные (3,5—15 м) и весьма мощные (более 15 м). Они прослежены на расстоянии 25—35 км. По внешнему виду угли черные с плитчатой отделенностью, с раковистым изломом, линзовидной и линзовидно-полосчатой текстурой. Они мажовые и полумажовые, реже встречаются блестящие разновидности. По зольности угли, в соответствии с ГОСТ, относятся к третьей группе. Зольность колеблется от 8—10 до 24—25 %. Зола не содержит промышленных скоплений редкоземельных элементов. Выходы летучих веществ изменяются от 36,8 до 57,5 % при средней 47,8 %, что соответствует бурым углям многих месторождений Якутии. Содержание влаги 8,0—30,0 %, по содержанию серы (0,1—1,5 %) угли классифицируются как малосернистые. Элементарный состав углей (%): C^r — 71,1—79; Н^r — 5,3—6; Q^с — 6639—6900 ккал/кг. Разведанные запасы оцениваются в количестве 1066 млн т. Они достаточны для строительства разреза мощностью 10 млн т в год. Угли пригодны для переработки в жидкое топливо с высоким процентом его выхода (до 90 %) по технологии, отработанной на Канско-Ачинском угольном бассейне [79]. Месторождение эксплуатируется.

На месторождении Кильдямское II (III-4-16) распространены только верхнеросские образования, с которыми связано 16 угольных пластов мощностью от 0,3 до 9,5 м. Рабочую мощность имеют восемь пластов, суммарная угольная масса которых составляет 30,8 м. Угли по составу и свойствам аналогичны углям месторождения Кангаласское I. Запасы подсчитаны по двум пластам: Кильдямскому и Намскому: В — 102,8 млн т, С₁ — 58,8 млн т. Месторождение, малое по запасам, законсервировано [111].

Бурые угли подавляющего большинства проявлений Кангаласского района близки по составу к вышеописанным. В проявлениях (III-4-6, 7—9) скважинами вскрыты пласты угля мощностью 4—7,7 м, в которых содержится германий (0,003—0,1%) и отмечается повышенное содержание скандия, бериллия и титана. Уголь отличается низкой зольностью и высоким содержанием германия в золе (до 1,2%) [111].

Одно месторождение и около 30 проявлений бурых углей связаны с отложениями тандинской свиты олигоценна, развитой в пределах Нижнеалданской впадины. Мощность свиты изменяется от 20 до 390 м с увеличением числа угольных пластов с 2—5 до 16—19, мощность пластов от 0,1 до 10,5 м, суммарная мощность до 45 м. Пласты прослеживаются на расстоянии до первых десятков километров. Угленосные отложения повсеместно перекрываются четвертичными и неогеновыми отложениями.

Малое месторождение I-7-3 разведано колонковыми скважинами. Здесь вскрыто 12 пластов углей (8 — рабочей мощности) суммарной мощностью 29,5 м. Строение пластов простое. Угли по степени углефикации относятся к бурым, молодым, марки «Б». Результаты анализов (%): А^c — 4,7—19,9; S^{св} — 0,11—0,38; V^r — 52,8—55,5; С^r — 66,6—68,8; Н^r — 6,0—7,4; (N+O)^r — 25,0—26,5; Q_d^r — 5924—6396 ккал/кг; удельный вес 1,05—1,14 г/см³. Геологические запасы 175,4 млн т [109]. Месторождение законсервировано.

Буроугольные проявления по строению разреза, мощности пластов и качеству углей аналогичны описанному выше месторождению. Отличие лишь в степени изученности.

Бурые угли, связанные с палеогеновыми отложениями, относятся к бурой слабой степени углефикации и могут использоваться как энергетическое и бытовое топливо. Геологические запасы палеогеновых углей составляют 419 млрд т, к балансовым запасам (пласты более 1 м) относятся 403 млрд т [11, 109].

Сланец горючий. На территории листа известны два проявления сланцев: V-1-1 и V-2-4. Оба приурочены к горизонтально залегающим битуминозным известнякам синькой свиты нижнего кембрия, включающим три простоя торчючих сланцев мощностью от 0,2 до 3,5 м. По внешнему виду сланцы черные тонколитчатые. Содержание органического вещества в них 10—25% от веса породы. Химический анализ битумов, входящих в состав органического вещества, показал содержание масел 19,8%, смола — 49,4%, асфальтенов — 30,7%. Состав масел (%): С — 86,88; Н — 11,30; O+N+S — 1,82. Выход битума на породу составляет 0,607%. Содержание рсаких и рассеянных элементов не превышает фонового. Технологический анализ сланцев (%): влага — 0,6, зола — 58,9, сера обшая — 1,18; выход продуктов полукоксования: смола безводная — 2,9, полукок — 93,9, газ и потери — 2,5. Телота спорангия — 4019 клж-кг — свидетельствует о нецелесообразности их использования в качестве топлива и сырья для получения жидких и вязких нефтепродуктов. Оптические проявления не представляют практического интереса [109, 139].

Железо. Первые сведения о наличии железа на территории содержатся в материалах экспедиций XVIII в. Промышленный интерес представляют эвтектичные осадочные марганцевые железорудные образования, состав и строение которых приведены в разделе «Железо, марганец». Марганец отсутствует в двух пунктах минерализации (V-10-13 и V-12-41) гидро-термального генезиса, представленных узкими зонами лимонитизации, приуроченными к разломам. Помимо лимонита в рудах отмечается свинцовая минерализация. Содержание FeO — от 18,3 до 48,6% [82, 127]. Резко распространение и незначительные параметры рудных тел свидетельствуют о бесперспективности этого типа оруднения на промышленный металл.

Марганец. Марганцевая минерализация, представляющая практический интерес, связана с залежами бурых железняков, приуроченных к стратиграфическому контакту кембрийских карбонатных и юрских терригенных (укулугская свита) отложений. Строение и состав марганцевых железорудных образований, распространенных на площади Вотомского рудного района (месторождения Усть-Вотомское — III-V-3—9, Вотомское II — V-3-11, Вотомское I — V-3-16, Дюгетское — IV-V-3—9, Вотомское V-3-10) приведены в разделе «Железо, марганец». Пункты минерализации марганца, не имеющие практического значения, приурочены к нижнекембрийским (V-2-2) и юрским (V-3-20) образованиям, где рудными телами являются прослои обожженных черных глин мощностью от 0,1 до 0,5 м с содержанием окиси марганца до 1% [109, 114].

Титан. Известны две непромышленные аллювиальные россыпи титансодержащего ильменита, приуроченные к галечникам раннего плейстоцена (II-8-1) и кварцевым пескам плиоценового возраста (II-9-1). Мощность ильменитсодержащих галечников проявления II-8-1 от 5 до 20 м, протяженность более 2 км. Количество ильменита составляет 20—30 кг/м³ при содержании титана 40—45%. Мощность ильменитсодержащего пласта песков проявления II-9-1 не превышает 15 м при протяженности 2 км. Помимо ильменита, количество которого колеблется от 20 до 50 кг/м³, в контуре россыпи отмечены высокие (1—1,5 кг/м³) содержания циркона и рутила [98]. Промежуточным коллектором при формировании россыпей являются палеогеновые образования, за счет перемыва которых произошло естественное обогащение аллювия. Из этого следует, что возможно выявление россыпей с промышленными содержаниями титансодержащего ильменита при проведении специальных работ в поле распространения палеогенового комплекса пород.

Ванадий. Известно два рудопроявления (V-11-36, III-12-30) и один пункт минерализации (V-12-3) ванадия. Ванадиевые графитизированные слюдяно-кремнистые сланцы, приуроченные к нижней части инканской свиты раннего—среднего кембрия. Мощность ванадиевых толщ колеблется от 80 до 130 м при протяженности до 40 км и более. Содержание ванадия не превышает 0,2%. Для ванадиевых сланцев характерна повышенная концентрация цинка и молибдена, достигающая 0,01% [73, 74, 106].

Медь. Известно одно месторождение, 15 рудопроявлений, 66 пунктов минерализации и два литохимических ореола. Подавляющее большинство медносерных объектов относится к стратиформному типу оруденения в терригенных, вулканогенно-терригенных и карбонатных породах протерозойско-палеозойского стратиграфического уровня, для которого характерно повышенное содержание меди. Медносерные базальты имеют второстепенное значение, а диабазы с медной минерализацией представляют лишь минералогический интерес. Немногочисленные гидротермальные объекты представлены незначительными по параметрам и содержанию меди сульфидно-кварцевыми жилами и зонами дробления.

Стратиформное месторождение Курланджинское (I-11-32), открытое в 1975 г. А. И. Кропачевым, расположено на левобережье р. Менкогос. Рудное поле месторождения площадью 45 км² сложено терригенно-карбонатными отложениями менкогосской свиты верхнего девона—нижнего карбона. В ее составе выделены две продуктивные толщи. Мощность нижней толщи до 300 м. В ее подложье в продуктивной пачке мощностью до 30 м залегают пласты медистых песчаников мощностью от 0,2 до 1,6 м с мелковкрапленными халькопиритовыми, борнит-халькозинновыми, халькопирит-борнитовыми и халькопиритовыми рудами с содержанием меди от 0,6 до 4%. В существенно карбонатной кровле толщи мощностью 13—23 м залегают 0,3—1,4 м горизонт медистых доломитов и линзы (0,1—0,8 м) медистых песчаников. Прожилково-вкрапленная халькопиритовая, борнитовая и халькозинная минерализация формирует здесь руды с содержанием меди от 0,3 до 0,9%. Мощность верхней продуктивной толщи, сложенной терригенными породами с прослоями туфопесчаников и туфоалевролитов, до 170 м. Рудные тела линзовидной формы мощностью до 3 м при протажении в первые десятки метров приурочены к прослоям туфогенных пород. Они сложены равномерновкрапленными бедными (0,1—0,5% меди) халькопиритовыми, разовыми и богатыми (0,6—8,3% меди) халькозинновыми и борнит-халькозинновыми рудами [128]. Помимо меди, в рудном концентрате выявлено золото (2 г/т) и серебро (31 г/т), пригодные для промышленного извлечения [67]. Месторождение, малое по запасам, в настоящее время законсервировано.

К песчаникам менкогосской свиты приурочено и перспективное рудопроявление I-11-28. Мощность пластобразного рудного тела, представляющего вкрапленно-прожилковой минерализацией халькозина, от 0,2 до 1,0 м, протяженность более 300 м. Содержание меди 0,2—0,46% [128]. К подобному типу оруденения относится рудопроявление I-12-10, приуроченное к верхней пачке среднедевонских туфопесчаников. Рудное тело, сложенное вкрапленно-прожилковыми халькопиритовыми рудами, имеет линзовидную форму (1—12×350—400 м). Содержание меди колеблется от 1 до 28% (среднее 1,6%) [128]. Медная минерализация проявляется I-12-8 приурочена к терригенно-карбонатным верхнедевонским породам. Песчано- и прожилково-вкрапленная, преимущественно халькопиритовая минерализация локализована на площади 1,8×4,5 км. Мощность продуктивного горизонта 0,5—2 м. Содержание меди от 0,84 до 1,99% [68]. К среднедевонским терригенно-карбонатным породам приурочено рудопроявление VI-12-3, представленное двумя рудными телами с прожилково-вкрапленной халькопиритовой минерализацией. Мощность рудных тел до 3,3 м, протяженность 250 и 1100 м. Содержание меди в рудах до 5% (среднее 0,2%).

Приуроченность Курланджинского месторождения и значительной части рудопроявлений к девонско-нижнекарбонным терригенно-карбонатным об-

разованиям послужила поводом для выделения поля распространения этих пород как Менкогосского рудного района.

В терригенно-карбонатных породах вендского—нижнесибирейского возраста залегают пластобразные тела рудопроявлений II-12-21, V-12-35, 63, представляющие вкрапленной, прожилково-вкрапленной и прожилковой сульфидной, преимущественно медной, минерализацией. Мощность рудных тел от 1,5 м (II-12-21) до 28 м (V-12-63), протяженность от 300 до 1100 м. Содержание меди от первых десятков до 5% [69, 82].

Рудопроявление IV-10-6, IV-11-25, IV-12-22, V-12-11, 24, приуроченные к терригенно-карбонатным рифейским отложениям, по строению и составу близки к вышеописанным объектам. Содержание меди во вкрапленных и прожилково-вкрапленных рудах от 0,1 до 4,75% [71, 98, 117]. В рудах проявления IV-12-22 выявлен цинк в количестве 0,95% [117].

На рудопроявлениях I-11-21, 29 и I-12-26 установлены два типа стратиформного оруденения: медистые песчаники и медносерные базальты. Медистые песчаники проявлений I-11-21 и 29 представлены несколькими тонкими породами вкрапленных халькопиритовых руд, приуроченными к песчаникам менкогосской свиты. Наиболее выдержанный горизонт на одном стратиграфическом уровне прослежен на расстоянии до 10 км (I-11-29). Мощность горизонта от 0,2 до 1 м, содержание меди 0,1—9,7% [67, 102]. Линзовидные и пластобразные залежи медносерных туфоалевролитов проявления I-12-26 расположены в среднедевонских карбонатных породах. Мощность рудных тел от 0,2 до 1,2 м при протяженности до 4 км. Во вкрапленных халькопирит-халькозинновых рудах, помимо меди в количестве 0,1—1%, в единичных случаях отмечается золото (до 3,24 г/т) [128]. В строении этих же рудопроявлений участвуют позднедевонские базальтовые порфириты, для которых характерна равномерная тонкая вкрапленность самородной меди, карбонатно-кварцево-спилитовые прожилки с вкрапленностью халькопирита (0,05—0,5% меди, I-11-21) и представленные прожилковыми интерес медносерные эпидиозиты. Линзовидные тела эпидиозитов протяженностью первые десятки метров при мощности 0,4—1,5 м локализованы в верхних частях лавовых потоков. Медная минерализация представлена вкрапленными аллотриоморфнозернистыми агрегатами самородной меди, содержание которой в породе от 0,1 до 10% [67, 128].

Гидротермальные образования, по масштабам оруденения соответствующие пунктам минерализации, представлены кварцевыми и кварц-карбонатными жилами и зонами дробления того же состава, приуроченными к позднепротерозойскому и палеозойскому комплексам пород (I-11-10, 16; I-12-1, 11, 13, 14, 17; II-12-1, 14; III-12-15; VI-11-16). Для рудных тел этих объектов характерна незначительная мощность, не превышающая 0,3 м. Исключение составляет пункт минерализации III-12-15, линзовидные кварц-карбонатные жилы которого достигают мощности 1,5 м. Медная минерализация этих образований представлена вкрапленностью халькопирита и борнита, содержание меди не превышает 1%. Помимо меди, в жильной массе проявления I-11-10 установлены сурьма (до 0,28%) и золото (1 г/т) [96], а в рудах пункта минерализации III-12-15 выявлены цинк (0,1—1,0%), свинец (до 0,5%) и серебро (17,2 г/т) [70]. Низкие содержания меди и незначительные параметры рудных тел свидетельствуют о бесперспективности этих образований.

Медносерные диабазы относятся к наименее распространенному типу оруденения (пункты минерализации IV-12-46; VI-2-4, 8), медная минерализация которых представлена халькопиритовой вкрапленностью. За исключением проявления IV-12-46, содержание меди во вкрапленных рудах

которого от 0,3 до 1,5 % [131], этот тип оруденения отличается обогатненными медью породами, не превышающими 0,1 % [85].

На юго-западе площади, в бассейне р. Кырбыкан выявлены два литогеохимических ореола меди площадью 40 км² (V1-2-6) и 60 км² (V1-2-9) с содержанием меди 0,005 %. Контуры ореолов совпадают с полем распространения раннекембрийских доломитов [85]. Такая же концентрация меди отмечается в контуре ореола рассеяния цинка (I-8-7) площадью 14 км², приуроченном к территории среднекаменноугольного образования [64].

Как сопутствующий элемент медь содержится в свинцово-цинковых рудах гидротермального пункта минерализации I-8-6 и стратиформных полиметаллических образованиях IV-12-30, 31; V-11-2, 9, 13; V1-11-10. Содержание меди в этих проявлениях колеблется от 0,1 до 1 %. Исключением составляет рудопроявление IV-12-30, содержание металла в порожливо-вкрапленных сульфидных рудах которого достигает 1,72 % [117].

Винец. На площади выявлено три проявления и восемь пунктов минерализации свинца. Проявление IV-10-14 приурочено к карбонатным породам венда, а рудопроявления V-2-1, 3 локализованы в кембрийских известняках и доломитах. Руды стратиформного генезиса представлены прожилково-вкрапленной, преимущественно свинцовой, минерализацией залегающей согласно с вмещающими оруденением породами. Мощность рудных тел не превышает первых метров при протяженности первые сотни метров. Концентрация рудной массы по мощности рудных тел уменьшается от центра к периферии. Содержание свинца не превышает 4 % [88]. В рудах проявления V-2-3 выявлены золото и серебро в количестве 0,8 и 12 г/т [109].

К подобному типу стратиформного оруденения относятся пункты минерализации V-11-2, 16 и V1-11-5, приуроченные к карбонатным породам цинандинской и вильской свит среднего—верхнего рифея и пункт минерализации V-11-13, локализованный в кембрийских известняках. От перечисленных проявлений они отличаются меньшими параметрами. Содержание свинца не более 2,35—4 % [74, 75, 117].

Генезис пунктов минерализации I-8-6, I-11-9, I-12-5, локализованных в осадочных средне-позднекаменноугольных породах, гидротермальный. Они представлены сульфидно-кварцевыми жилами и зонами дробления мощностью до 1 м. Низкие содержания свинца, не превышающие первых десятых долей процента, свидетельствуют о бесперспективности этих образований [64, 96, 128].

Цинк. Известно 29 пунктов минерализации и три литогеохимических ореола металла. Генезис большинства рудообразований стратиформный. Рудные тела этих объектов имеют сходное строение и состав. Для них характерна преимущественно вкрапленная и, реже, прожилково-вкрапленная сферриловая минерализация, локализованная согласно с вмещающими оруденением породами. Мощность рудных тел не превышает первых метров, протяженность — до 100 м. Пункты минерализации IV-12-45; V-11-22, 39; V-12-34; V1-11-4; V1-12-31 приурочены к карбонатным породам цинандинской и вильской свит среднего—верхнего рифея. Рудные объекты III-12-34; IV-11-13; V-10-3; V-11-19, 37; V1-11-16, 26; V1-12-114 локализованы в карбонатных породах венда, а V-11-9, 20; V1-1-3, 6; V1-2-2; V1-11-17, 19 — в кембрийских известняках и доломитах. Содержание цинка в вышеперечисленных объектах не превышает 1—5,8 % [73, 75, 85, 88, 117, 132, 133].

Пункты минерализации I-10-1, 13; I-11-8, 12; I-12-8, 25; II-12-2, представленные сульфидно-кварцевыми жилами и зонами дробления мощ-

ностью до 1 м, локализованы в средне-верхнекаменноугольных породах. Низкие содержания цинка, не превышающие первых десятых долей процента, свидетельствуют о бесперспективности этих объектов гидротермального генезиса [69, 96, 128, 138].

Литогеохимические ореолы рассеяния цинка пространственно совпадают с среднекаменноугольными территориями (I-8-7) и нижнекембрийскими карбонатными (V1-1-8, V1-2-1) породами. Ореол V1-1-8 охватывает площадь около 400 км², в пределах контура которой выявлено стратиформное цинковое оруденение. Площадь контура ореолов I-8-7 и V1-2-1 не превышает 14 км². Содержание металлов в контуре ореолов — 0,01 %. В контуре ореола I-8-7, помимо цинка, выявлена медь в количестве 0,005 % [64, 85].

Молибден. На площади листа молибден присутствует в виде двух литогеохимических ореолов рассеяния и как сопутствующий элемент в рудах вандия.

Ореол V1-1-9 выявлен в бассейне р. Кюнтжой. Его контур эллипсоидной формы площадью 45 км² охватывает поле распространения доломитов нижнего кембрия. Содержание молибдена в контуре 0,001 %. В 5 км восточнее ореола фиксируются среднепалеозойские дайки диабазов, сведения о молибденоносности которых отсутствуют [85]. Ореол I-8-2 площадью 16 км² расположен в бассейне среднего течения р. Барайя. Его контур с содержанием 0,001—0,003 % пространственно совпадает с выходами алевролитов и песчаников ранней перми и среднего—позднего карбона [64]. Содержание молибдена в вандианских сланцах, охарактеризованных в разделе «Вандий», достигает 0,01 % [106].

Алюминий. Алюминиевое сырье представлено бокситоподобными породами (рудопроявление V-11-3, пункт минерализации V-11-30), бокситами (пункты минерализации IV-10-8; V-10-9, 12) и нефелиновыми рудами (рудопроявления V-12-55, V1-12-1).

Наиболее крупным бокситоподобным объектом является проявление V-11-3, представленное пластовыми залежами красно-коричневых ариллитов эликанской свиты позднего рифея. Мощность продуктивного горизонта от 1 до 30 м. Содержание свободного глинозема в рудах составляет 10—20 %, суммарного — 30—40 %. Количество двуокиси кремния от 40 до 67 % [141]. Подобный по строению и составу руды пункт минерализации V-11-30 отличается меньшими параметрами.

Бокситы пунктов минерализации IV-10-8, V-10-9, 12 представлены доюрскими лимонитизированными каолин-гидроксидами корами выветривания мощностью от 0,1 до 3,8 м, залегающими на раннепалеозойских карбонатных породах. Содержание свободного глинозема в рудах от 10 до 28 % [127, 131]. В связи с малыми размерами рудных тел бокситы не имеют промышленного значения.

Нефелиновые руды проявления V-12-55 приурочены к среднепалеозойскому массиву Гек (ультраосновные щелочные породы), на периферии которого выявлены участки карбонатизированных нефелин-полевошпатовых пород общей площадью 0,5 км². Содержание нефелина в них колеблется от 7 до 10 %, а содержание глинозема достигает 21 % [74].

Высокоглиноземистое нефелин-полевошпатовое сырье проявления V1-12-1 занимает центральную часть площадью 1 км² ультраосновных щелочных пород среднепалеозойского массива Поворотный. По данным химического анализа содержание окиси кремния составляет 42 %, окиси алюминия — 24 % [76]. Перспективы нефелиновых руд не ясны, так как проявления специализировано не изучались.

Сурьма. На площади листа известно семь пунктов сурьмяной минерализации. За исключением пункта минерализации I-12-30, они приурочены к терригенно-карбонатным средне-позднекаменноугольным породам. Рудные тела представляются крупноподходящими маломощными (0,1—0,5 м) кварцевыми жилами (пункт минерализации I-12-28) [128] и зонами дробления мощностью до 20 м (пункты минерализации I-10-11; I-12-18, 24, 31; II-12-3) [69, 96, 138].

Пункт минерализации I-12-30 представлен кварцевыми жилами мощностью 0,1 м, локализованными в среднепалеозойской дайке диабазов [128]. Рудная минерализация представлена вкрапленными и, реже, гнездово-вкрапленными скоплениями антимонита, количество которого не превышает 10 % жильной массы. Помимо антимонита, в рудках проявления негитроно-активационным анализом выявлено золото — 0,4 г/т [69]. В жильной массе проявления I-12-30, 31 фиксируется вкрапленность халькопирита, а содержание меди достигает 1 % [96, 128]. Содержание сурьмы во всех рудных объектах не превышает 1,5 %.

Незначительные параметры рудных тел и низкие содержания сурьмы свидетельствуют о бесперспективности площади на выявление промышленно сурьмяного оруденения.

РЕДКИЕ МЕТАЛЛЫ

Тантал, ниобий. На площади известно два месторождения, четыре рудопроявления и пять пунктов минерализации тантала и ниобия карбонатного типа. Наиболее крупные объекты связаны с проявлением ультраосновного щелочного магнезиита и метаморфизованными среднепалеозойскими карбонатными породами, локально распространяющимися в юго-востоке площади (бассейн верховьев р. Сахара).

Месторождение Поворотное (VI-12-4) приурочено к одноименному полифазному среднепалеозойскому массиву трещинного типа, прорывающему палеозойские терригенно-карбонатные породы. В строении массива участвуют гипербазиты, нефелиновые сиениты, а также обогащенные танталом и ниобием карбонаты четырех стадий формирования. Промышленная концентрация элементов отмечается в карбонатах третьей и четвертой стадий. Месторождение представлено четырьмя рудными телами мощностью 40—60 м при протяженности более 800 м, сложными флогопит-кальцитовыми, доломитовыми и анкеритовыми карбонатами. В составе рудной массы, кроме пирохлора и колумбита, отмечаются магнетит (3—5 %), шприт (3—5 %), апатит (2—3 %), а также в количестве 1 % ильменит, циркон, сфен, гематит и монацит. Содержание патиоксики ниобия в рудных телах от 0,005 до 1,25 % (среднее 0,2 %), а патиоксики тантала — от 0,001 до 0,012 % (среднее 0,02 %). Месторождение, крупное по запасам, в настоящее время законсервировано [76].

Подобное по строению и составу малое месторождение Гек (V-12-54) генетически связано с одноименным щелочным среднепалеозойским массивом, внедрившимся в средне-позднекаменноугольные отложения. Рудное тело линзовидной формы (34 × 700 м), представленное амфибол-кальцитовыми и эпирин-доломитовыми карбонатами, залегает среди карбонатизированных сиенитов. Помимо колумбита и пирохлора, в рудках присутствуют вкрапленность монацита, апатита, магнетита и барита, не превышающая 15 % объема пород. Содержание патиоксики ниобия в рудках колеблется от 0,037 до 0,64 %, составляя в среднем 0,18 %, а патиоксики тантала — от 0,004 до 0,025 % при среднем содержании 0,0098 %. Прогнозные ресурсы категории P₂ для патиоксики ниобия составляют 22 493 т, а патиоксики

тантала — 462 т [74]. В настоящее время месторождение законсервировано.

К биотит-кальцитовым карбонатам полифазного среднепалеозойского ультраосновного щелочного массива Воин приурочено три рудных тела мощностью от 1,5 до 6 м перспективного рудопроявления V-12-49. Оруденение представлено вкрапленностью колумбита, апатита и минерализацией, содержащей редкоземельные элементы. Содержание ниобия в рудных телах от 0,015 до 0,7 % (среднее 0,13 %). Прогнозные ресурсы категории P₂ составляют 1555 т. Перспективы проявления повышаются за счет наличия в карбонатах минералов редких земель, урана и стронция [82].

Рудопроявления VI-12-12, 16, 19 и пункты минерализации VI-12-2, 8, 17 приурочены к метаморфизованным карбонатным среднепалеозойским, преимущественно средне-позднекаменноугольным, породам. Проявления представляют собой пластобразные жилы карбонатов мощностью от 0,2 до 3 м и протяженностью до 1 км с биотитом, амфиболом, флогопитом и апатитом. Рудная минерализация представлена вкрапленностью пирохлора, колумбита, пирита, лимонита и торита. Содержание в рудках патиоксики ниобия колеблется от 0,005 до 1,38 %, а патиоксики тантала — от 0,01 до 0,04 %. В доломит-анкеритовых карбонатах рудопроявления VI-12-16 выявлен молибден (0,01 %), лантан (0,3 %) и церий (0,65 %) [76]. Иמושисея данные дают основание для выделения рудного узла (Слединский рудный узел), органиченного полем распространения метаморфизованных среднепалеозойских карбонатных пород и, преимущественно, выходами среднепалеозойских ультраосновных щелочных интрузивов как площади с промышленным тантало-ниобиевым оруденением.

На юго-западной части площади выявлены пункты минерализации ниобия (VI-1-2, 7), приуроченные к среднепалеозойским дайкам основного состава, прорывающим раннекаменноугольные отложения. Рудная минерализация связана с центральными выветрелыми частями даек мощностью до 0,5 м с текстурными особенностями диабазов. Содержание патиоксики ниобия 0,1—0,15 % [85]. Незначительные параметры проявлений свидетельствуют о бесперспективности последних на выявление промышленного оруденения.

ВЛАГОРОДНЫЕ МЕТАЛЛЫ

Золото является одним из важнейших металлов минерально-сырьевой базы Восточной Якутии. На территории листа известно пять коренных месторождений, 21 рудопроявление, 104 пункта минерализации, 50 россыпных месторождений, 58 непромышленных россыпей, два литогенно-мических ореола.

Все коренные месторождения золота, большинство проявлений и россыпных месторождений сосредоточены в близморфидиональной полосе, прослеживающейся от бассейна р. Аллах-Юнь до верховьев р. Тыры, имеющей в дальнейшем Аллах-Юньской золотоносной полосой [74, 76]. На остальной территории встречаются отдельные проявления металла.

Подавляющее большинство золоторудных объектов относится к золото-кварцевой малосульфидной формации. Лишь незначительная часть рудообразований, по масштабам отвечающая пунктам минерализации, отнесена к золото-сульфидной формации.

Золоторудные объекты Аллах-Юньской золотоносной полосы локализованы главным образом в песчано-алевролитовой толще верхнего карбона—нижней перми и в среднепалеозойских дайках метадиабазов. Рудные тела представляются кварцевыми, карбонатно-кварцевыми жилами и зонами

дробления, в которых помимо золота отмечены сульфиды, количество которых не превышает 5 % объема породы [70, 74, 76].

Промышленные месторождения Оночалдах, Буларекос, Некур, Фин и большинство перспективных рудопроявлений приурочены к песчаниковым пачкам суркечанской свиты верхнего карбона. Рудные тела этих объектов залегают преимущественно согласно с крутопадающими, реже пологолежащими вмещающими их породами, а в случае секущего их характера не выходят за пределы вмещающего их «продуктивного» горизонта песчаников [76].

Месторождение Оночалдах (V-12-16) расположено на водоразделе ручьев Оночалдах—От-Юрдах, в 18 км к северо-западу от пос. Агдах-Юнь. Рудное поле сложено алевролитами и песчаниками суркечанской свиты верхнего карбона. Мощность пачки рудоуламещающих пород колеблется от 20 до 40 м. Разрывные нарушения представлены широкими маломиллиметровыми рождениями представлено кварцевой жилой (жила Малютка) мощностью от 0,1 до 4,6 м и протяженностью до 1300 м [110]. Сульфидная минерализация жилы, представленная арсенопиритом, пиритом, галенитом, сфалеритом и халькопиритом, не превышает 1 %. Крупность золота 2—3 мм, содержание неравномерное: от следов до первых сотен граммов на тонну. Месторождение относится к разряду малых. Возраст месторождения определен М. И. Силичевым как позднемезозойский, а генезис — метаморфогенно-гидротермальный. В настоящее время на месторождении проводится дальняя разведка [74].

Месторождение Буларекос (V-12-26) расположено на водоразделе ручьев Булар—Сквозной, в 5 км к северо-западу от пос. Агдах-Юнь. Месторождение приурочено к первой песчаниковой пачке суркечанской свиты верхнего карбона. Основное рудное тело — пластовая кварцевая жила мощностью от 0,2 до 2,0 м и протяженностью около 2,0 км. Залегающие жилы осложнены разрывами сбросо-сдвигового характера с амплитудой от 2,0 до 100 м. Рудные минералы, состав которых не превышает 1 % объема породы, помимо золота представлены арсенопиритом, пиритом и галенитом. Содержание золота в жиле неравномерное, от следов до первых сотен граммов на тонну (среднее содержание золота 24 г/т). Максимальные содержания золота при его крупности до 3,0 мм отмечаются в эндиоконтактовых частях жилы. Месторождение, малое по запасам и частично обработанное, в настоящее время законсервировано [74, 110].

Месторождение Некур (VI-12-107), расположенное на правом водоразделе одноименного ручья, впадаето в р. Бам, приурочено к пачке алевролитов и песчаников суркечанской свиты верхнего карбона. Залегающие породы осложнены разрывами сбросо-сдвигового характера с амплитудой первые десятки метров. Месторождение представлено кварцевыми жилами, залегающими согласно с вмещающими их породами. Основным рудным телом является жила № 119. Мощность жилы 0,1—2,0 м, протяженность 1300 м. Сульфидная минерализация жилы, составляет менее 1 % объема породы, сфалеритом, галенитом и пиритом, составляет менее 1 % объема породы, причем большая часть (95 %) представлена арсенопиритом. Содержание золота в жиле колеблется от 0,6 до 31 г/т. В настоящее время на западных низких содержаниях золота месторождение законсервировано [76, 115].

Месторождение Фин (VI-12-116) расположено в верховьях одноименного ручья в 10 км к югу от пос. Бриндакит. Золотоносные кварцевые жилы, локализованные на площади 3,0 км², залегают в песчанниках суркечанской свиты верхнего карбона. Песчанники метаморфизованы до стадии зеленых сланцев, окварцованы и пиритизированы. Жилы занимают как согласно, так и секущее положение относительно вмещающих их пород. Залегающие

пород осложнено разрывами сбросо-сдвигового характера с амплитудой 10—30 м. Основным золоторудным объектом месторождения является жила № 120, представляющая собой плитообразное тело, не выходящее за пределы пласта песчаников мощностью 10—20 м, ограниченного экраннующими слоями аргиллитов. Мощность жилы 0,4—1,2 м, протяженность около 3,0 км. Рудные минералы, составляющие 1—2 % объема породы, представлены арсенопиритом, пиритом, галенитом, сфалеритом и золотом. Золото наблюдается в сростках с сульфидными и в трещинах кварца [90]. Содержание золота от следов до 31,9 г/т. Помимо золота в жиле установлено серебро в количестве от 66 до 136 г/т. На месторождении проведен подсчет запасов по категории С₁+С₂ при среднем содержании золота 27 г/т. В настоящее время месторождение, среднее по запасам, находится в до-разведке [76, 90, 115].

Аналогичным по строению и вещественному составу является месторождение Маринекос (VI-12-63), расположенное в истоках руч. Мар. Рудные тела представлены двумя кварцевыми жилами, согласно залегающими в подошве и кровле пласта мелководистых песчаников наталинской свиты среднего карбона. Мощность кварцевых жил от 0,3 до 3,0 м, протяженность 600 м. Содержание золота в жилах колеблется от 0,5 до 77,4 г/т. Запасы, подсчитанные по категории С₁ и С₂, незначительные. Месторождение, малое по запасам оруденения, законсервировано [76, 115].

Многочисленные рудопроявления и пункты минерализации золота, расположенные в Агдах-Юньской золотоносной полосе, относятся к этому же типу оруденения. Из них заслуживают внимания рудопроявления IV-12-56; V-12-12, 21, 25, 28; VI-12-47. Мощность рудных тел, представленных кварцевыми жилами, согласно залегающими с вмещающими породами, от 0,1 до 2 м, протяженность до 2 км. Содержание золота от 0,2 до 64,5 г/т [72, 74, 76].

Рудопроявление IV-12-56 приурочено к маломощной (3—7 м) зоне окварцевания нижнерифейских карбонатизированных песчаников. Основными рудными телами являются линзовидные кварцевые жилы мощностью до 1,6 м, содержание золота в которых до 106 г/т. В окварцованных песчаниках количество золота не превышает 5 г/т [72]. Рудопроявление VI-12-47 представлено серией секущих кварцевых жил, залегающих среди алевролитов экзачанской свиты среднего карбона на площади 5×1 км. Мощность кварцевых жил от 0,1 до 0,6 м, протяженность 100—500 м. Содержание золота от 0,1 до 27,3 г/т. Эти рудопроявления относятся к разряду перспективных и рожомендуются для постановки детальных поисковых работ с применением колодезного бурения [15].

К подобному по строению и составу рудному объекту относятся рудопроявления VI-12-41, локализованное в толще нижнепермских алевролитов и песчаников. Помимо золота, среднее содержание которого 4,5 г/т, в рудной массе отмечается серебро в количестве до 11,6 г/т [115].

Рудопроявление IV-12-62 приурочено к карбонатно-песчаниковым верхнерифейским породам. Рудные тела, представляющие различно ориентированные многочисленными кварцевыми прожилками и жилами мощностью до 1,0 м, локализованы в зоне дробления шириной 30—40 м, протяженностью около 1,0 км. В кварцевых жилах отмечены пирит, халькопирит, блестящие руды, сфалерит и галенит, количество которых не превышает 1 % объема породы. Содержание золота от следов до 7 г/т [72].

Рудопроявления III-12-5, 14, 35, 36; IV-12-2, 5, 7, 55 приурочены к среднепалеозойским пропилитизированным дайкам диабазов, рассекающим сводную часть антиклиналя, сложной среднекембрийскими карбонатизированными песчаниками улахской свиты. Развитие пропилитизации контролируется крупным близмеридиональным разломом [70, 72]. Пропилити-

тирированные диабазы состоят из кварца, карбоната, соссоритизированного плагиоклаза, альбита и сульфидов, присутствующих как в массе метасомитов, так и в рудных телах, представляющих кварцевыми и карбонатно-кварцевыми жилами, рассеянными прожилками. Золотоносные тела имеют мощность от 0,3 до 12,0 м при протяженности 200—1700 м. На сытность рудных тел сульфидами, представленными арсенопиритом, пиритом, халькопиритом, галенитом, сфалеритом, блеклыми рудами и пиритом, не превышает 3—5 % объема породы, причем арсенопирит и пирит составляют 90 % от общего количества сульфидов. Содержание золота в рудных телах неравномерное, от слогов до 23,9 г/т. В рудопроявлениях III-12-35, 36 помимо золота отмечено серебро в количестве до 7 г/т [106].

Многочисленные пункты минерализации, приуроченные к терригенным образованиям верхоянского комплекса, представляются незначительных параметров кварцевыми и карбонатно-кварцевыми жилами и прожилками, проквашиваемыми зонами дробления, невыдержанными по мощности и по длине. Содержание золота в этих образованиях не превышает первые граммы на тонну, поэтому они представляют интерес лишь как источники сноса золота при формировании россыпей.

К золото-сульфидной формации относятся пункты минерализации V-12-1 и V-12-6, приуроченные к метаморфизованным аргиллитам иньканской свиты нижнего—среднего кембрия. Золото выявлено в марказитовых стержнях, локализованных в маломощном (0,1—0,3 м) линзовидном пласте сидерита (V-12-1) и кварц-карбонатно-сульфидных и карбонатно-сульфидных жилах мощностью до 0,2 м (V-12-6) [74]. В обоих случаях содержание золота не превышает 6,8 г/т.

На юго-западе площади известно два литогеохимических ореола расседения золота (VI-2-7, 10), совмещающихся с полем распространения нижнекембрийских доломитов. Площадь каждого ореола около 10 км². Содержание золота в конгурах ореолов от 0,0006 до 0,6 г/т [85].

Из рассмотренных золоторудных объектов промышленный интерес представляют только представителем золотоносной формации в Агдах-Юньской золотоносной полосе. Для золотоносных тел характерна тесная связь с вмещающими их продуктивными горизонтами. Установлена повышенная золотоносность вмещающих оруделение пород. Так, в песчаниках сурьмянской свиты верхнего карбона содержание золота от 0,005 до 0,01 г/т, в обломочных породах нижней пачки юдомской серии венда (конгломераты, гравелиты, песчаники) количество золота достигает 0,2—0,6 г/т, а в верхнерифейских песчаниках — 0,6 г/т [72]. Отмечается закономерная приуроченность золото-кварцевых тел к участкам развития зеленостанцевой фации метаморфизма и разрывным нарушениям обросо-сланцевой кинематики — мобилизаторам рассеянного в породе золота [110]. Перенос и перестрожение его осуществлялись растворами как гидротермального, так и метаморфогенного происхождения.

Россышная золотоносность. Формирование россыпей района происходило на протяжении всего кайнозоя. Наиболее продуктивной эпохой является миоцен-четвертичное время. К образованиям этого периода, служащим современным русловые отложения, поймы и террасы водотоков, приурочены все россыпные месторождения и большинство непромышленных россыпей. По условиям нахождения выделяются русловые, пойменно-русловые, пойменные, пойменно-террасовые и террасовые россыпи различных уровней.

Все россыпи, за исключением III-3-4 и III-4-1, формировались в межгорных впадинах. В результате последующих неотектонических дви-

жений они оказались либо поднятыми на террасы различного уровня, либо погребенными под современными поймами водотоков на участках с угаслованными прожилками. Продуктивные пласты локализованы в прилдоговой части. Мощность золотоносных пластов («песков») колеблется от 0,1 до 5,2 м, протяженность до первых десятков километров. Они перекрываются незолотоносными рыхлыми отложениями («торфами»). Мощность от 0 до 70 м. Для долин небольших водотоков характерны россыпи простого строения с уменьшением содержания и мощности продуктивного пласта от периферии к центру. Россыпям крупных водотоков присущее многоструйчатое строение или пиззодовой характер распределения золота. Продуктивный золотоносный пласт в большинстве россыпей сформирован хорошо, но четкий литогический контроль отсутствует, и выявление пласта возможно только по данным опробования. Золото в продуктивном пласте распределяется от знаковых содержания до 18,4 г/м³ (V-12-57). Золотны среднее и плохоекатаные, размер их от 0,2 мм (VI-12-10) до 5 мм (III-12-13, 19; VI-12-56). Преобладающая крупность 0,5—1,5 мм, пробность от 675 до 871. Золотоносные россыпи располагаются вблизи коренных золоторудных объектов, причем количество и их размеры зависят от плотности и масштабов коренного золоторудного оруделения. Поэтому большинство россыпных объектов приурочено к Агдах-Юньской золотоносной полосе, в которой сосредоточены все рудные месторождения и многочисленные рудопроявления металда. Исключены составляют непромышленные россыпи III-3-4 и III-4-1, выявленные в современном аллювии р. Кенкем. Содержание золота в этих россыпях достигает 6 г/м³. Отмечается увеличение количества золота с глубиной. Генезис этих россыпей связан с разрывом нижнеплиоценовых ожелезненных песков и галечников, дренлируемых рекой на этом отрезке [59, 109]. С целью уточнения параметров и концентрации золота россыпи рекомендуются на доизучение с применением буровых работ.

По количеству металда россыпные месторождения относятся к разряду мелких. Большинство из них отработано. Характеристика россыпных месторождений золота приведена в табл. 11.

Для непромышленных россыпей характерна незначительная концентрация золота, средние содержания которого не превышают первые десятые грамма на кубометр породы.

КОМПЛЕКСНЫЕ МЕСТОРОЖДЕНИЯ

Железо, марганец. Выявлены четыре месторождения, 21 рудопроявление и 16 пунктов минерализации. Наиболее широко распространены экзогенные осадочные рудообразования: лишь несколько объектов, не представляющих промышленного интереса, имеют гидротермальный генезис (охарактеризованы в разделе «Железо»).

Большинство железорудных объектов осадочного генезиса структурно приурочено к Агданской антеклизе, где оолитовые, землистые и плотные гити-гипротегитовые руды (бурые железняки) подстилают нижнеюрские песчано-конгломератовые отложения укгулутской свиты и залегают на эродированной неровной поверхности кембрийских карбонатных отложений. Залежи бурых железняк приурочены преимущественно к глинистой пачке мощностью до 8,1 м. На некоторых участках (месторождение Ботомское I, V-3-16) пачка представлена целиком пластом бурого железняка мощностью от 1,5 до 3,5 м [109]. Формирование залежей этого типа связано с доюрской корой выветривания. Перекрывающие залежи базальные конгломераты, гравелиты и песчаники укгулутской свиты также содержат значительное количество окислов и гидроксидов железа в виде цемента.

Название объекта и его номер на карте поземных ископаемых	Генетический тип россыпи	Параметры контура		Длина	Ширина	Месторождения золота			Характер распределения
		Длина	Ширина			промышленного ра, м	Мощность	Среднее содержание золота на пласт, г/м	
1	2	3	4	5	6	7	8		
Таборный, руч. (III-12-7)	Террасовая	3300	12,4	1-2,5	0,6-1,3	1,3	Неравномерный		
Станиковский, руч. (III-12-12)	Пойменно-русловая	2000	5-10	1,3-2	0,2-0,7	0,7	»		
Долгучан, руч. (III-12-13)	»	1268	8,5	1,8-3	1,4	5,3	»		
Симидир-Хос, руч. (III-12-19)	»	3400	5-1,5	1,4-6,6	0,4-1,8	0,1-3,5	Струйчатый		
Сетаяв, руч. (IV-12-50)	Пойменно-террасовая	10000	20-85	1-4	0,2-6,1	0,05-10,8	Неравномерный		
Золотой, руч. (IV-12-52)	Русловая	2000	5-20	0,4-2	0,1-0,8	0,15-7,3	Нездвой		
Светлый, руч. (IV-12-54)	Пойменно-террасовая	7000	20-150	2-2,3	0,4-1,4	0,5-18,4	Неравномерный		
Шетка, руч. (IV-12-57)	Русловая	1350	10-40	1,6-2,6	0,2-1,8	0,16-4,6	»		
Дьянда, руч. (IV-12-60)	Пойменная	3000	10-160	1,6	0,1-1,2	1,27	Равномерный		
Дьянда, руч. (V-12-4)	Русловая	700	20	0-2	0,1-0,6	2,1-7,7	Неравномерный		
Ср. Оночалах, руч. (V-12-14)	»	3000	20-60	0,9-4,8	1,3-1,6	0,01-5	Крайне неравномерный		
Сетаяв, руч. (V-12-18)	»	4000	50-85	1-4	0,4-0,6	0,02-20	»		
Ог-Юряк, руч. (V-12-19)	Русловая потребная	5000	10-20	7-22	0,4-1,4	0,4-12	Неравномерный		
Хогун-Юряк, руч. (V-12-29)	»	7000	35-100	9-20	0,9	3,22	»		
Селдах, руч. (V-12-32)	»	10000	22-80	40-70	1,8	0,1-10	»		
Хочулукан, руч. (V-12-36)	Русловая	15000	10-50	1,5-5	0,6	2-10	»		
Вакая, руч. (V-12-40)	Пойменно-русловая	15000	15-80	1,5-14	2,4-5,2	4,4	»		
Батылы, руч. (V-12-42)	Русловая	13000	20-160	1-1,5	0,6-2,8	0,01-1,36	Крайне неравномерный		
Дилак-Юнь, р. (V-12-43)	Пойменно-террасовая	37000	0-1300	2,7-10	0,6-2,8	0,01-4	Струйчатый		
Золотой, руч. (V-12-44)	Русловая	13000	0-30	0,6-11,2	0,2-1,4	0,02-10	Крайне неравномерный		
Телкинже, руч. (V-12-46)	Пойменно-русловая	15000	0-100	2-4	0,8	3-12	Неравномерный		
Одинокий, руч. (V-12-48)	»	3000	5-20	1-3	0,6-1,6	0,5-9	Струйчатый		
Сидур, руч. (V-12-50)	Русловая	28000	0-70	0,6-7	0,2-2	0,02-10	»		
Паурт, руч. (V-12-52)	»	6700	10-80	2,2-7	0,2-1,6	3,1-7,7	Неравномерный		
Чалбик, руч. (V-12-57)	»	2500	20-160	0,9-4,8	1,3-1,6	0,5-1,5	»		
Широкое, руч. (V-12-60)	Пойменно-русловая	4500	20-100	0-6,2	0,2-3,6	0,1-1,4	»		
Аллах-Юнь, р. (V-12-61)	Русловая	3000	10-50	0-5	0,2-2,6	0,1-1,4	»		
Нижний Сулаки, руч. (V-12-62)	»	3000	5-50	4-14	0,2-1,8	0,1-1	»		
Ударник, руч. (V-12-5)	Пойменно-русловая	3700	10-100	0-3,4	0,2-1,2	0,2-3	»		
Кулдах, руч. (VI-12-6)	Пойменно-террасовая	2600	10-40	1-4	0,4-2,2	0,47	»		
Каверзый, руч. (VI-12-10)	»	1500	0-80	0-4,8	0,4-6,8	0,02-3	»		
Курунг, руч. (VI-12-13)	»	4200	20-160	0,6-5	0,2-3,2	0,9	»		
Самыр, руч. (VI-12-14)	»	1200	20-50	0,4-3,2	0,2-1,2	0,2-1	»		
Мелвезий, руч. (VI-12-15)	»	2000	10-50	1,2-6,4	0,2-1,4	0,7	»		
Аллах-Юнь, р. (VI-12-18)	Пойменно-русловая	3700	70-100	2,7-10	0,4-2	0,24	»		
Тахк, руч. (VI-12-20)	»	3000	0-250	1,4-5,4	0,6-2,8	1,36	»		
Минор, руч. (VI-12-23)	Пойменно-русловая	11000	0-250	0,2-10	0,2-2	0,8	»		
Случайный, руч. (VI-12-24)	»	3500	10-50	0,4-6	0,2-1,6	0,26	»		
Верный, руч. (VI-12-32)	Пойменно-террасовая	2000	15-50	8-14	0,4-1,7	1,35	Крайне неравномерный		
Корю, руч. (VI-12-42)	Пойменно-террасовая	14700	0-180	0,6-12	0,4-1,8	0,02-3	»		
Горелый, руч. (VI-12-56)	Пойменно-русловая	2200	10-60	1,5-4	0,6-1,2	0,02-5	Неравномерный		
Зара, руч. (VI-12-57)	Пойменно-террасовая	10000	60-250	3-9	0,4-1,6	0,58	»		
Мар, руч. (VI-12-65)	Пойменная	5500	20-170	3-8	0,4-1,6	0,2-3	»		
Аллах-Юнь, р. (VI-12-66)	Пойменно-русловая	11500	0-800	8-12,9	0,8-1,8	0,01-2	Струйчатый		
Вьякчан, руч. (VI-12-68)	Пойменно-террасовая	14500	20-400	2-10	0,2-2,4	0,01-4	Крайне неравномерный		
Том, руч. (VI-12-69)	»	9000	40-150	1-7	0,2-1,6	0,02-3	Неравномерный		
Беска, руч. (VI-12-91)	»	16000	40-230	1,5-7	0,2-1,6	0,38	»		
Аллах-Юнь, р. (VI-12-97)	Пойменно-террасовая	20000	0-400	3-19	0,2-1,6	0,02-3	Струйчатый, неравномерный		
Вилка, руч. (VI-12-100)	Пойменная	2500	20-30	3-8,6	0,6-1,4	1,3	Неравномерный		
Бурдугунжа, руч. (VI-12-104)	Пойменно-русловая	4800	20-90	0,4-6	0,6-1,6	0,1-2	Неравномерный		

Название месторождения и его номер	Оксиды				
	Fe	Fe ₂ O ₃	FeO	SiO ₂	MnO
Усть-Ботомское III (Кур-танский участок) V-3-9	26,89—37,39	38,45—53,45	0,014—0,056	27,56—99,66	0,0—3,29
Ботомское II (Даркылахский участок) V-3-11	26,75—32,1	36,36—44,01	1,63—1,70	28,32—41,45	3,7—8,83
Ботомское I (Сырарский участок) V-3-16	32,57—39,3	46,66—54,1	0,0—1,52	20,82—26,72	6,58—8,58
Люленское V-4-1	—	68,7—68,8	0,0—0,2	4,8—10,2	6,2—8,5

Снизу вверх по разрезу свиты содержание железа постепенно уменьшается [98]. Эти особенности строения характерны для всех месторождений, рудопроявлений (V-3-8, 10, 12, 18, 24; V-4-2, 4—9) и пунктов минерализации (V-4-19, 22, 23, 26, 29; V-4-3), что послужило основанием для выделения площади распространения этих рудных объектов в Ботомский железорудный район (бассейн нижнего течения р. Ботома).

Одно из наиболее изученных месторождений — Ботомское I (V-3-16), расположенное на левобережье р. Ботома, в 18 км выше устья. Подогзагающие пластовые и линзообразные рудные тела площадью 0,1—1,0 км² при мощности 1,5—3,5 м (средняя 1,7 м) состоят из огледелых плотно спемантированных кусков бурого железняка размером от 2 до 30 см. Руды на 75—80 % сложены гетитом, гидротетитом, лимонитом и окислами марганца (псиломеланом и пиролюзитом); 20—25 % составляют опал, полевые шпаты и слюды. Кусковой бурый железняк наиболее распространен и слает до 85 % рудной массы. Порошковая руда встречается в небольшом количестве в гнездах и пустотах среди кусков плотной руды. Оолитовая руда встречается реже и представляет собой структурную разновидность порошковой руды. Порошковая и оолитовая руды составляют 15 % рудной массы, в них отмечены повышенные концентрации марганца (до 41 % при среднем содержании 5,84 %). Максимальные содержания железа отмечались в центральной части рудных тел. Этот рудный пласт перекрыт базальными конгломератами уккутутой свиты мощностью от 2 до 30 м, которые в свою очередь перекрываются ожелезненными песчаниками и охристыми песками с железистыми конкрециями. Мощность железосодержащих пород от 7 до 10 м. Руды месторождения по составу высококачественные, легко дробящиеся, химически чистые. Содержание вредных примесей незначительное. Содержание металлургического железа колеблется от 25 до 48 % (среднее 32,5 %), а содержание марганца от 2 до 14 %. Спектральный анализ руд показал содержание в них в десятых долях процента меди, свинца, никеля, вольфрама, молибдена и мышьяка. Разветвленные ресурсы железа категории А₂+В составляют 1 633 000 т, марганца 91 489 т [109]. Малое по запасам месторождение в настоящее время законсервировано. Данные химического состава бурых железняков месторождений Ботомского железорудного района приводятся в табл. 12.

Al ₂ O ₃	CaO	MgO	S ₂ O ₃	P ₂ O ₅	П. п. п.	
					Влага	
—	—	—	0,058—0,122	0,027—0,075	—	—
3,69—5,68	—	—	0,04	0,2—0,35	—	—
2,45—4,59	0,72—1,8	0,1—0,3	0,03—0,07	0,0—0,14	8,4—11,4	0,0—1,81
2,5—3,2	0,3—1,5	0,1—0,3	0,06	0,07—0,08	11,4—13,1	1,5—1,6

Месторождение Усть-Ботомское III (V-3-9) и Ботомское II (V-3-11) нуждаются в доработке [109, 114]. В настоящее время все месторождения законсервированы. Прочие рудные объекты Ботомского железорудного района относятся к разряду перспективных, требующих дальнейшего изучения, а рудопроявления V-3-10 и V-3-12 рекомендуются для проведения дальнейших разведочных работ [109]. Подобными вышеописанным объектам по геологическому строению и составу рудной массы являются рудопроявления VI-9-2, 3—6, расположенные в нижнем течении р. Мая. Мощность рудноносной коры выветривания здесь не превышает 0,8 м, а количество обломков бурых железняков в суглинках не более 20 % объема породы [98]. Химический состав руд проявлений VI-9-2, 3—6 приводится в табл. 13.

Дальнейшее изучение бассейна нижнего течения р. Мая позволит уточнить масштабы выветренного оруднения и, возможно, приведет к обнаружению месторождений с послегудением выделением вышеназванной площади как железорудного района.

Цинк, свинец, барит. Известно одно барит-полиметаллическое проявление (I-12-29), открытое в 1981 г. Приурочено оно к тектоническому контакту карбонатных пород среднего ордовика (лабьстахская свита) и силура (оронская свита). Мощность рудноносной зоны в доломитах силура 8—10 м. Рудные тела, сложные богатыми вкрапленными и массивными сфалеритовыми, сфалерит-галенитовыми и барит-сфалерит-галенитовыми

Таблица 13

Химический состав руд проявлений VI-9-2, 3—6

Оксиды	Бурый железняк коры выветривания	Суглинесто-глинистые образования коры выветривания	Нижнеюрские ожелезненные песчаники
Fe ₂ O ₃	23,55—63,0	4,85—19,85	53,92
FeO	0,29—14,88	0,57—1,29	0,57
Al ₂ O ₃	4,45—7,3	15,25—16,7	7,45
TiO ₂	0,19—0,41	0,60—1,05	0,44
MnO	0,46—1,35	0,03—0,35	0,82
S ₂ O ₃	Н. о.—0,46	0,05—0,05	0,3
P ₂ O ₅	0,05—0,54	0,17—0,95	0,25

рудами, занимают согласное и секущее положение относительно вмещающих пород. Мощность рудных тел до 0,7 м. Мощность зоны барит-полиметаллического оруденения, залегающего в прокарбонированных известняках ордовика, достигает 7 м. Небогатые (3—5 % объема породы), преимущественно фалеритовые и галенит-фалеритовые руды залегают совместно с жилами барита мощностью до 0,7 м. Суммарная мощность зоны барит-полиметаллической минерализации 14—17 м, протяженность около 500 м. Помимо цинка и свинца, содержания которых соответственно 1,8—4,5 и 1,1—7,2 %, в рудах проявлены выделены серебро (до 60 г/т), мышьяк (0,2—0,6 %), сурьма (30—300 г/т), иногда ртуть (до 150 г/т).

На расстоянии 0,4—0,5 км к югу от проявления, на площади 200×200 м, выявлена фалеритовая, реже галенит-фалеритовая минерализация стратиформного типа. В прокарбонированных доломитизированных известняках нижнего девона (сетте-лабанская свита) залегают вкрапленные, реже гнездово-вкрапленные руды с содержанием цинка до 7—10 %, свинца — 0,2—0,3 %.

Поле, охватывающее площадь распространения незначительно изученной зоны барит-полиметаллической минерализации и прилегающие к ней фланги (в первую очередь южный), рекомендуется для проведения поисково-оценочных работ.

Свинец, цинк. Известно два крупных месторождения (Перевальное — VI-11-21, Сардана — VI-11-27), 17 проявлений и 30 пунктов минерализации. По генезису выделяется два типа свинцово-цинкового оруденения: стратиформный и гидротермальный. Большинство рудных объектов, в том числе оба месторождения, относятся к стратиформному типу, локализованному в карбонатных породах среднерифского—среднекембрийского возраста. Лишь незначительная часть пунктов минерализации имеет гидротермальный генезис.

Месторождение Сардана (VI-11-27) расположено в верховьях руч. Курун-Ювах, левого притока р. Хамна. Рудное поле месторождения площадью 50 км² сложено доломитами и известняками сарданской свиты венда, залегание которых осложнено серией меридиональных взбросов с амплитудой до 100 м, субширотными разрывами и редкими диагональными нарушениями со смещением не более 20 м. Мощность рудовмещающей толщи 120—130 м, промышленное оруденение приурочено к верхней пячке пород мощностью 20—100 м. В этом рудоносном горизонте выделяется три уровня размещения рудных тел мощностью от нескольких до 30 м. На верхнем уровне известно два рудных тела мощностью 8,2 и 28,4 м, протяженностью 80 и 250 м. Средний уровень вмещает пять рудных тел мощностью от 3,4 до 5,4 м, протяженностью до 350 м. На нижнем уровне отмечены многочисленные рудные тела протяженностью от 20 до 650 м при мощности 1—5 м. Предполагается, что на глубинных горизонтах рудные тела первых двух уровней, круто падающих (40—70°) на юг, могут сливаться в единую залежь. Контакты рудных тел с вмещающими породами четкие, согласные с напластованием, реже секущие пласты под острыми углами.

В строснии рудных тел выявлена зональность: от центра к периферии богатые массивные руды сменяются прожилково-вкрапленными. На месторождении установлены пиритовые, пирит-фалеритовые, фалеритовые, галенит-фалеритовые и фалерит-галенитовые типы руд, из которых преимущественно значимость представляют два последних типа. Помимо главных минералов в рудных телах отмечаются марказит и арсенопирит. Руды месторождения комплексные. Кроме свинца и цинка в промышленных концентрациях присутствуют германий, кадмий и селен, содержание

которых меняется в зависимости от генерации основных рудных минералов, содержащих вышеперечисленные элементы в виде примеси.

На месторождении выделяется три генерации фалерита и две — галенита, отграниченные по совокупности физических свойств и содержанию полезных компонентов. В рудах верхнего уровня в незначительном количестве распространены тонко-мелкозернистые (0,01—0,1 мм) агрегаты фалерита первой генерации. Фалерит этой генерации содержит наибольшее количество германия (в среднем 0,084 %) и кадмия (0,01 %), помимо которых в незначительном количестве отмечается серебро (до 20 г/т). Мелко-среднезернистый (0,1—2,0 мм) фалерит второй генерации составляет основную массу прожилково-вкрапленных и вкрапленных руд. Эта разновозрастная фалерита содержит больше серебра и несколько меньше германия. В фалерите третьей генерации, распространяемой преимущественно в прожилках в ассоциации с галенитом, содержание германия значительно ниже, чем в фалеритах первых двух генераций. В галените первой и второй генерации помимо германия и серебра, содержание которых намного ниже, чем в фалерите, отмечается сурьма и медь. В рудах месторождения концентрация серебра колеблется от 1 до 237 г/т (среднее содержание 39 г/т). Его максимальные значения характерны для фалерит-галенитового типа руд. Содержание свинца и цинка, составляющее во вкрапленных и прожилково-вкрапленных рудах 0,4—7,8 %, увеличивается в рудах массивных до 33 % (среднее содержание 12 %).

Возраст оруденения не установлен. Изотопные определения свинца дают возрастной диапазон рудной минерализации от рифея до раннего палеозоя.

На месторождении Сардана подсчитаны прогнозные ресурсы свинца, цинка, кадмия, германия и серебра до глубины 500 м. При их подсчете приняты средние содержания свинца и цинка 12 %, кадмия — 0,055 %, германия — 0,008 % и серебра — 39 г/т. По ресурсам главных металлов месторождение, законсервированное в настоящее время, относится к крупным [75].

Месторождение Перевальное (VI-11-21) расположено в междуречье Хамна—Курунг—Дьюкат. Рудное поле месторождения шириной до 1,5 км сложено известняками и доломитами сарданской свиты венда, залегание которых осложнено сбросо- и взбросо-сдвигами с незначительной амплитудой. Рудовмещающая толща (80—150 м), как и на месторождении Сардана, разделяется на три пачки. Наиболее продуктивной является верхняя пачка (78—97 м). В ее пределах сосредоточены пять рудных тел сложной морфологией мощностью от 0,2 м в пережиках до 23 м — в раздугах, протяженностью от 160 до 1250 м. Строение рудных тел, их залегание и соотношение с вмещающими породами имеют сходный характер с месторождением Сардана, но отсутствует пиритовый тип руд. Для главных минералов — фалерита и галенита — характерны те же особенности строения и состава, что и на месторождении Сардана. Содержание свинца в рудных телах колеблется от 0,3 до 5,1 %, цинка — от 3 до 20,2 %. Руды месторождения комплексные: среднее содержание германия составляет 0,0094 %, кадмия — 0,051 %, серебра — 23 г/т. По ресурсам главных металлов, подсчитанных до глубины 400 м, месторождение относится к крупным. В настоящее время законсервировано [75].

В карбонатных породах венда выявлен еще целый ряд проявлений свинца и цинка (руднопроявления П-12-17, 28; IV-10-12; V-10-14; V-11-29; VI-11-1, 8, 20, 22, 23, 25, 28; пункты минерализации П-12-12, 20; IV-10-5, 16; IV-11-6, 8; V-10-2, 15; V-11-33; VI-12-34, 84, 114), образующих цепочку к северу от месторождения Сардана в соответствии с распространением рудоносных отложений. По строению и составу руд они ана-

лопичны вышесписанным месторождениям. Отличие заключается в меньших параметрах и более низких содержаниях полезных компонентов. Наибольший интерес представляют рудопрооявления VI-11-22, 23, 25, 28 вследствие близости их расположения от самих месторождений (Курунг-Дьюнкатский рудный узел).

Полиметаллическая минерализация известна и на других стратиграфических уровнях: в карбонатных породах циндантинской и вильской свит среднего—верхнего рифея (рудопрооявления IV-11-29, IV-12-30, V-11-4, 11; пункты минерализации IV-11-20; IV-12-23, 24, 27, 31, 36, 42; V-11-1, 2, 16, 22; V-12-51, 56; VI-11-3, 5, 11, 15; VI-12-31, 84), в кембрийских известняках и доломитах (пункты минерализации III-12-32, IV-10-4, IV-11-3, V-10-7, V-11-40). Мощность рудных тел этих объектов не превышает первых метров, протяженность — первых сотен метров. Содержание свинца и цинка соответственно не более 2,35—4 и 1—5,8%. В рудах ряда проявлений установлены содержания золота — 2,1 г/т (II-12-17), меди — 1,72% (IV-12-30) [109, 117, 130]. Широкое распространение и приуроченность полиметаллической минерализации к протерозойско-раннепалеозойским карбонатным породам свидетельствуют о региональном развитии стратиформного свинцово-цинкового оруденения этого стратиграфического уровня.

Генезис пунктов минерализации I-8-3; I-10-3, 4, 6, 15; I-11-25; I-12-3, 7, 9; VI-12-76, локализованных в осадочных средне-позднепалеозойских породах, гидротермальный. Они представляют сульфидно-кварцевыми жилами и зонами дробления мощностью до 1 м. Низкие содержания свинца и цинка, не превышающие первых десятков долей процента, свидетельствуют о бесперспективности этих образований.

НЕМЕТАЛЛИЧЕСКИЕ ИСКОПАЕМЫЕ

ОПТИЧЕСКИЕ МАТЕРИАЛЫ

Кварц оптический. Известны одно проявление и восемь пунктов минерализации, распространяемых в северной части региона, на южных склонах широтного отрезка Верхоянья. Они представлены кварцевыми жилами гидротермального генезиса, залегающими среди пород среднего—верхнего карбона (имитанджинская, солончанская и кыгытаская свиты). Проявление кварца оптического I-8-1 связано с жилой молочно-белого кварца мощностью 0,4—0,7 м, приуроченной к имитанджинской свите. В жиле отмечаются жеоды размером 0,1×0,15 м, содержащие кристаллы прозрачного кварца удлиненно-призматического габитуса, длиной до 3 см. Из-за малых размеров проявление практического значения не имеет. В пунктах минерализации I-8-4, 5; I-9-1, 2—6 в кварцевых жилах мощностью 0,1—0,8 м отмечаются жеоды (0,1×0,3 м) с кристаллами кварца длиной до 2 см [64, 65].

Флюорит оптический. Известны два проявления и пять пунктов минерализации флюорита гидротермального генезиса.

Проявление V-12-13 приурочено к зоне брекчирования мощностью 0,5—1 м, протяженностью более 0,5 км, локализованной в доломитах циндантинской свиты среднего рифея. Тонкие прожилки и гнезда флюорита (0,2×1 м) составляют 40—50% объема породы. Прогнозные ресурсы по категории С₂ оценены в 0,5 млн т [117].

Проявление III-12-33 приурочено к зоне дробления мощностью более 10 м, локализованной в известняках нижнего—верхнего силура. Кальцит-флюоритовый цемент и прожилки флюорита, составляющие до 10% от объема породы, содержат кристаллы (2×2 см), являющиеся оптическим сырьем [70].

Пункты минерализации IV-11-11, 17, 24; VI-11-7; VI-12-11 приурочены к зонам дробления, где флюорит отмечается в виде единичных блесно-флюоритовых кристаллов (0,5—2 мм) в кварц-кальцитовом цементе [76, 116]. Незначительная минерализация флюорита свидетельствует о бесперспективности этих образований.

ХИМИЧЕСКОЕ СЫРЬЕ

Барит. Известны два проявления барита и восемь пунктов минерализации. Все они связаны с отложениями рифея и нижнего палеозоя.

Проявление I-11-7 приурочено к известнякам лабьстахской свиты среднего ордовика, где прослежена баритовая жила мощностью до 4 м (в разлувах), протяженностью до 100 м. Жила сложена тонкозернистым сахаровидным баритом. В залебандах наблюдается редкая вкрапленность галенита, фалерита и халькопирита. В барите обнаружен стронций — 0,2% [96].

Проявление IV-10-11 связано с доломитами циндантинской свиты среднего рифея. Здесь барит присутствует в виде прожилков радиально-лучистого строения. Мощность прожилков 5—10 см, а в разлувах до 100 м. Сама зона баритового анализа достигает мощности 10 м и прослежена на 100 м.

По данным спектрального анализа содержание бария больше 1% [131]. В пунктах минерализации IV-11-14, 19, 26; IV-12-44; V-12-9, 30; VI-12-99 мощность баритовых жил колеблется от 0,1 до 0,8 м. По развалам жилы прослежены на 100—120 м. Кроме того, отмечаются зоны дробления с кварц-баритовым цементом, где количество барита не превышает 5% от общей жилой массы. Проявления и пункты минерализации вследствие малых размеров практического интереса не представляют [71, 74, 117, 133].

Боросиликаты. Известно три пункта минерализации боросиликатов (боратов). Пункты минерализации I-12-12, 16 представлены кварц-аксинитовыми и кварц-эпидиловыми жилами мощностью 1 м, протяженностью до 40 м, локализованными в среднедевонских карбонатных породах. Гнезда (до 5 см) и мелкозернистые агрегаты аксинита приурочены к залебандам жил (I-12-12). По данным спектрального анализа содержание В₂O₃ достигает 0,29%, а содержание бора не более 1% [96].

Пункт минерализации II-12-4 представлял кварц-аксинитовыми прожилками мощностью 3—15 см, локализованными в среднепалеозойской дайке диабазов (мощность зоны прожилкования 5 м). Данные анализы отсутствуют [69].

Пункты минерализации боросиликатов из-за низкого качества руд и незначительных масштабов оруденения практической ценности не представляют.

МИНЕРАЛЬНЫЕ УДОбРЕНИЯ И ГОРНОТЕХНИЧЕСКОЕ СЫРЬЕ

Фосфорит. Известно восемь проявлений и три пункта минерализации фосфорита. Все они приурочены к отложениям инниканской свиты нижнего—среднего кембрия Сетте-Дабана.

На проявлении IV-12-12 выделены два типа пластовых фосфатносных пород — массивные и желваковые. Первые приурочены к нижней и средней частям разреза инканской свиты и представлены плотными тонко-мелкозернистыми образованиями массивной текстуры. Пласты желваковых фосфатносных пород сложены аргиллитами в нижней части свиты и кремнистыми разностями — в верхней. Количество желваков в пластах составляет 1—10 % (среднее 4,5 %). Отмечены отдельные пласты мощностью 0,1—0,15 м, на 90 % состоящие из желваков. Форма желваков округлая, размер 2—5 см. Суммарная мощность фосфатносных пород составляет 5,9 м, среднее содержание пятиоксида фосфора в желваках 21,21 %, на массу 1,85—4,33 %; наиболее высокие концентрации приурочены к основанию свиты. Технологические испытания на фосфориты не проводились. Перспективы проявления неясны из-за недостаточной изученности [100].

Проявление III-12-37 представлено горизонтом желваковых фосфоритов мощностью до 24,6 м со средним содержанием желваков 3,2 %. Отмечены мономинеральные пласты фосфоритов мощностью до 10 см. Продуктивность горизонта от 52,7 до 321 кг/м², среднее содержание пятиоксида фосфора в желваках 20,32 %. После первичного обогащения фосфориты могут использоваться для производства фосфоритовой муки. Недостаточно изученное, но перспективное (по простиранию инканской свиты к югу от проявления на расстоянии 55,5 км количество горизонтов желваковых фосфоритов увеличивается до трех) проявление рекомендуется для проведения дальнейших работ [106].

Фосфоритовость проявлений II-12-11, 19; IV-11-12, 18; V-11-7, 35 связана с отложениями инканской свиты, где желваки фосфоритов размером от 0,5 до 3 см присутствуют в простоях глинистых сланцев и аргиллитов мощностью до 0,2 м. Мощность фосфатносных горизонтов проявлений от 10 до 12 м, содержание пятиоксида фосфора в желваках 15—20 % [69, 71, 73].

Пункты минерализации IV-10-15; V-11-25; VI-11-10 от вышеописанных проявлений отличаются меньшими параметрами (1—2 простоя желваковых фосфоритов мощностью до 0,2 м) и более низкими содержаниями пятиоксида фосфора, не превышающими 16 % [73, 75, 88].

Цеолигиты. Известно одно проявление — I-2-4, расположенное вблизи пос. Сантар. Цеолигиты (диомонит, десмин, эпидесмин и гейландит) слатают элемент базального типа, связующий псаммитовый материал песчаников батрыдхской свиты нижнего меда. Мощность продуктивного горизонта, содержащего цеолигиты в количестве от 1—15 до 25—30 %, достигает 140 м. Продуктивный горизонт связан с озерно-аллювиальными фациями. Проявление недостаточно изучено [109].

СТРОИТЕЛЬНЫЕ МАТЕРИАЛЫ

Строительные материалы представлены магматическими, карбонатными, глинистыми, обломочными породами. Месторождения имеют неординарное экономическое значение и поэтому изучены в различной степени; используются для местных нужд.

ОСНОВНЫЕ ИНТРУЗИВНЫЕ ПОРОДЫ

Диабазы. Известно три месторождения, но количество их может быть легко увеличено. Среднее по запасам месторождение VI-12-101 расположено

на левом берегу р. Аглах-Юнь в 25 км западнее пос. Бридакит. Силла диабазов мощностью до 100 м прослежены на расстоянии 10—12 км. Диабазы характеризуются следующими физическими свойствами: удельный вес 3,06 г/см³; объемный вес 2,99 г/см³; общая пористость 2,2 %, влагоемкость 0,4 %, морозостойкость по ГОСТ 8267—56 «200», предел прочности при сжатии 1875 кг/см². Диабазы пригодны для изготовления бутового камня и щебня [76]. Месторождение законсервировано.

Месторождение II-12-9, среднее по запасам, расположено в непосредственной близости от автодороги Хандыга—Магадан на правом берегу р. Вост. Хандыга. Диабазы — массивные плотные породы, слатающие дайрки (мощность 20—30 м) и силлы (мощность до 200 м) в верхнеювонских отложениях. Проведенные лабораторные испытания технологических проб показали, что щебень диабазов удовлетворяет требованиям ГОСТ 10268—62 как заполнитель для тяжелых бетонов и ГОСТ 8267—64 как щебень естественного камня для строительных работ. Эти породы пригодны для получения обычного бетона до марки «400» включительно [69]. Месторождение законсервировано. Малое неразведанное месторождение III-12-18 в бас. р. Тыры аналогично вышеописанному [70].

КАРБОНАТНЫЕ ПОРОДЫ

Мрамор. Известно два месторождения и одно проявление. Крупное месторождение Томпуржское (II-12-15) располагается в бас. р. Томпурж и связано с отложениями венда. Мрамор слатает две продуктивные плашки мощностью 60—70 м (нижняя) и 5—16 м (верхняя), прослеживающиеся на 30 км. Породы мелкозернистые, разноокрашенные, близкого между собой химического состава (%): СаО — 48,57; MgO — 3,97; глинистые примеси — 5,09. Физико-химические характеристики следующие: объемная масса 2,63—2,82 г/см³; удельная масса 2,67—2,85 г/см³; пористость 0,35—3,60 %; водопоглощаемость 0,15—0,57. Мраморы отвечают требованиям ГОСТ для использования в качестве облицовочного камня, буттового камня марки «1000», а также отдельные законсервировано.

Неразведанное малое месторождение III-12-11, расположенное на правом берегу р. Тыры и приуроченное к выходам венда шириной до 300 м, аналогично по составу описанному выше Томпуржскому [70].

Проявление IV-12-38 приурочено к контактовой части силла диабазов в отложениях венда. Мраморы мощностью 0,5—1 м имеют интенсиивную окраску [117].

Известняк. Месторождения известняка сосредоточены в отложениях верхнего рифея, венда, нижнего и среднего кембрия и нижнего ордовика. Всего выявлено 16 месторождений.

Месторождение известняка на р. Алдан IV-10-17 и Эльдиканское (V-11-31) связаны с отложениями лахандинской серии верхнего рифея. Эльдиканское месторождение хорошо изучено и находится у автодороги Эльдикан—Вьякчан (80 км). Продуктивная толща известняка и доломитизированного известняка с прослоями глинистого известняка имеет общую мощность 150 м. Разведана лишь мощность в 70 м. Химический состав известняка (%): СаО — 53,51—54,98; MgO — от 0 до 1,29, глинистых примесей — 0,46—1,88. В соответствии с ГОСТ 5331—63 известняки Эльдиканского месторождения подразделяются на два класса. К классу «А» относятся чистые и слабомерделистые известняки; к классу «Б» — слабомерделистые и доломитизированные известняки. По результатам химического анализа технологических проб средний состав изве-

стняка месторождения (%): СаСО₃ — 86,59; MgСО₃ — 6,72; глинистые примеси — 3,08. Известняк удовлетворяет требованиям ГОСТ на известь строительную воздушную первого сорта [73]. Месторождение, среднее по запасам, законсервировано.

Месторождение известняка на р. Алдан, среднее по запасам, разрабатывалось для изготовления инертной пыли для угольных шахт Джебарьки-Хая [88]. В настоящее время законсервировано.

Месторождение Восточно-Хандыгское (II-12-10) находится на правом берегу долины р. Вост. Хандыга и приурочено к отложениям лабьстахской и саккырьской свит нижнего ордовика, залегающих монокиналино под углом 30—45° с падением на запад. Толща развезана на мощность 200 м и по падению до 104 м. По данным лабораторных и технологических испытаний известняк пригоден для изготовления гидравлической извести, а также портланд-цемента марки «450—500» [69]. Крупиное по запасам месторождение законсервировано.

Известняки с прослоями (0,5—3 см) известково-глинистых сланцев саккырьской и лабьстахской свит нижнего ордовика образуют малые месторождения в бас. р. Тыры (II-12-22, 27). Известняки пригодны для изготовления портланд-цемента с введением глинистых добавок [70]. Месторождения не разведаны.

Месторождение Сасабыгское I (IV-3-5) приурочено к отложениям усть-майской свиты среднего кембрия. Пролуктивная толща представлена переслаиванием известняков (пять пластов) с их мергелистыми разновидностями (четыре пласта). Мощность известняков от 0,5 м до 20,8 м, а мергелистых известняков от 0,5 до 8,7 м. Средняя мощность перекрывающих сульфидов — 3,73 м. Результаты химического анализа известняков приведены в табл. 14. Силикатный модуль 1,94 %, глиноземистый — 2,56 %. Известняк пригоден для производства портланд-цемента марки «400—500» и щебня марки «400—600». Разведанные запасы известняка по категориям А+В+С₁ на 1.01.78 г. составляют 73 214 тыс. м³. Месторождение, малое по запасам, эксплуатируется с 1971 г. [126].

Известняки и их мергелистые разновидности месторождений: Бестяхское II (V-3-6), IV-4-11, Кердемское (IV-4-12) и Покровкинское II (V-6-6) могут быть использованы для производства щебня марки «500», как крупный заполнитель для обычных бетонов, для производства воздушной строительной извести и для производства портланд-цемента. Породы пролуктивной толщи залегают монокиналино с пологим падением под углом 3—5° и имеют мощности от 16,4 до 28,1 м. Мощность вскрыши до 4,2 м. Химический состав известняков приведен в табл. 14. Физико-механические свойства известняков для месторождений IV-4-11 и Бестяхское II (V-3-6) следующие: объемная масса 2,60—2,69 г/см³; удельная масса 2,72—2,72 г/см³; пористость от 1,1 до 4,6 %; водопоглощаемость от 0,1 до 0,92 %; сопротивляемость удару — 533,2—600. Баллансовые запасы среднего месторождения IV-4-11 на 1.01.78 г. по категории А+В составляют 11 552 тыс. м³ [109, 126]. Месторождения законсервированы.

Известняки месторождения Дорожнинское (V-3-3), расположенного на правобережье Лены напротив пос. Вестях, обнажаются в коренных выходах высотой 47,5 м и длиной 50 м. Известняки среднего кембрия химически чистые (табл. 14), пригодны для использования в качестве флюса в металлургии, а также для дорожного строительства. Месторождение, крупное по запасам, эксплуатируется [114].

В качестве щебня марки от «400» до «1200» может быть использован известняк месторождения Бысыт-Юрях (V-3-17), расположенного на правобережье р. Ботома. По своим характеристикам щебень известняка пригоден в строительстве автодорог, а также для использования в качестве

Таблица 14

Химический состав известняков

№ п. п.	Название месторождения и его номер	Порода	SiO ₂	Al ₂ O ₃	Fe ₂ O ₃	CaO	MgO	SO ₃	П. п. п.	Σ
1	Восточно-Хандыгское (II-12-10)	Известняк	13,51	2,74	1,08	42,96	1,93	0,22	25,26	97,70
2	Сасабыгское I (IV-3-5)	»	6,54	2,03	0,86	49,32	1,58	0,09	40,79	100,42
3	Бестяхское II (IV-3-6)	»	1,17	0,11	0,18	54,30	0,48	Н. о.	40,66	96,90
4	IV-4-11	Известняк	0,5	0,28	0,42	51,2	0,67	0,03	33,6	87,00
		Мергелистый известняк	1,75	0,79	0,61	54,5	1,16	0,17	40,1	99,08
5	Дорожнинское (V-3-3)	Известняк	3,72	1,03	0,76	51,71	1,17	Н. о.	39,00	97,39
		Мергелистый известняк	14,66	3,62	1,71	41,55	1,73	Н. о.	35,2	98,47
6	Усть-Ботомское I (V-3-6)	Известняк	1,26	0,52	0,42	54,53	0,40	Сл.	38,5	95,63
		Мергелистый известняк	3,50	0,86	0,97	51,71	1,77	Н. о.	37,3	96,05
7	Синэйчинское (V-3-15)	Известняк	0,42	0,23	0,5	54,88	0,64	Н. о.	35,8	92,57
8	Бысыт-Юрях (V-3-17)	»	0,66	0,53	0,25	55,23	0,2	0,03	36,3	93,20
9	VI-12-7	Известняк песчанистый	18,57	2,01	0,98	41,30	1,83	Сл.	34,32	100,42
10	VI-12-22	»	12,43	1,92	0,98	43,00	3,87	Н. о.	36,66	99,94

балластного слоя железных дорог. Запасы по категории C_1+C_2 равны 1 млн 155 тыс. м³. Объем вскрыши 200 тыс. м³, коэффициент вскрыши 0,2. Разработка возможна открытым способом [122]. Малое по запасам месторождение законсервировано.

Известняки нижнего кембрия месторождений р. Ботома: Усть-Ботомское I (V-3-6) и Синзэйтинское (V-3-15) пригодны для использования в качестве флюса в металлургии, а также для производства воздушной извести и в дорожном строительстве. Наиболее крупным является месторождение Синзэйтинское, запасы которого практически неограниченны. Коренные выходы известняков сланской свиты нижнего кембрия имеют высоту до 68 м и длину 2 км [114].

В верховьях р. Сахара в неогордованских и верхнекембрийских отложениях известны два месторождения известняка (VI-12-7, 22). Они расположены в непосредственной близости от автодороги Эльджан—Югренок недалеко от пос. Усть-Внычкан. Известняки этих месторождений песчанистые, иногда доломитизированные. По химическому составу (табл. 14) и физическим свойствам относятся к классу «Д». Они пригодны для производства кальциевой и магнезиальной силикатрастворной извести. Известняки, относящиеся к классу «В», пригодны для производства магнезиальной воздушной тощей извести [76]. По своим физико-механическим свойствам породы отвечают требованиям ГОСТ к щебню из естественного камня и бутовому камню. Мощность (до 20—50 м) и протажность (более 10 км) свидетельствуют о значительных запасах известняков, но из-за недостаточной изученности месторождения отнесены к разряду малых.

Доломит. Известно девять месторождений доломита. Месторождение, связанное с отложениями среднего рифея (ципандинская свита) — Бр-дорченское (IV-10-9), расположенное на правом берегу р. Алдан в 7 км выше устья р. Бегая. Доломит залегает в виде мощной (300—350 м) пачки, выдержанной по простиранию на протяжении 6 км. На месторождении подчитаны огромные запасы по категории В+С₁. Ранее доломит добывался для приготовления инертной пыли, которая использовалась на уюльных шахтах Джебарьки-Хая. Доломит пригоден для приготовления строительной неташеной извести [88]. В настоящее время месторождение, крупное по запасам, законсервировано.

Месторождение V-11-15 на левобережье р. Чухонной приурочено к ладандинской серии верхнего рифея. Пачки доломита мощностью до 30 м прослежены на многие километры. Доломит пригоден для производства извести. Месторождение, оцененное по запасам как крупное, не разведано [141].

Малое неразведанное месторождение доломита П-12-28 в бассейне р. Тыры приурочено к породам верхнего ордовика (кулонская свита), а среднее месторождение на р. Алдах-Юнь VI-12-35 — к отложениям силура (таяхская свита). Доломит образует пласты мощностью от 4 до 19 м. Химический состав (%): СаСО₃ — 49,77; MgСО₃ — 43,68. Запасы законсервированного месторождения VI-12-35 по категории В+С₁ оценены в 18 100 м³. Доломит месторождений П-12-28 и VI-12-35 может быть использован для производства магнезиальной извести, щебня, крошки и строительного камня [70, 76].

Доломиты нижнекембрийские слалют продуктивные слои месторождений Еланское (V-3-4), Ботомское (V-3-14), V-3-27, Улу (VI-2-5) и Кыбыкан (VI-12-11). Средняя мощность доломитов — 12,5 м. Залегание пород близкое к горизонтальному. Химический состав (%): СаО — 31,85; MgO — 21,38; СО₂ — 45,4; п. п. — 45,06; SiO₂ — 2,0; Fe₂O₃ — 0,1.

Объемная масса щебня доломита 2,39 г/см³; удельная масса 2,78 г/см³; пористость 5,1—27,8%; водопоглощение 2,2—6,5%. Прочность щебня доломита по ГОСТ 8267—82 соответствует маркам от «200» до «600» в зависимости от размера фракций. Пределы прочности при сжатии 382 кг/см², морозостойкость соответствует марке МРЗ-300. На месторождении Улу преобладающим является щебень доломита марки «800» и «1000», который может быть использован при строительстве автодорог. Запасы по категории С₁ более 3,5 млн м³. Доломит пригоден для производства минеральной ваты и в дорожном строительстве. Месторождения законсервированы [114, 122].

ГЛИНИСТЫЕ ПОРОДЫ

Глины и суглинки кирпичные. Известно 28 месторождений глин и суглинков кирпичных. Глины в основном связаны с отложениями мела — неогена, а кирпичные суглинки — с аллювиальными отложениями верхнечетвертичного возраста.

Месторождение кирпичных глин Кангалаское II (III-4-11) расположено в пределах одноименного месторождения бурого угля, связанного с отложениями нижнего мела, и представлено пластом серовато-зеленых глин мощностью от 3 до 4 м. Химический состав глин приведен в табл. 15. Месторождение разрабатывалось до 1963 г. Из глин изготовлялись тугоплавкий кирпич, метлахская плитка [126].

С отложениями верхнемеолового возраста связаны месторождения Чабыдинское (III-8-1) и Сосогохское (III-8-2). Глины белые и охристые, каолиновые, с обломками гнейсовитов и угля. Генезис осадочный. Мощность слоев от 0,2 до 2,15 м. Мощность вскрыши от 0,1 до 0,5 м. Запасы не подсчитывались [89].

Месторождение Усть-Вагинское (II-8-2) связано с пластами палеогеновых глин мощностью 3 м. Глины песчанистые (до 5% песка) осадочного генезиса. Площадь распространения около 3×6 км. Изучено слабо [98]. Суглинки Алаского месторождения (III-4-14) образуют пластовую залежь среди озерно-аллювиальных отложений неогена. Породы серые, плотные, вязкие. Мощность пласта от 0,8 до 2,8 м. Мощность вскрыши 0,19 м. Запасы по категории А+В+С₁ равны 8406 тыс. м³ [126].

Действующими месторождениями являются Покровское (IV-4-10), Сайсарское (II-4-30) и Ытык-Кюельское (III-8-4), где продуктивная толща представлена пластами легких пылеватых суглинков, залегающих на II—III надпойменных террасах р. Лена. Средняя мощность пластов соответственно 1,93 и 0,93 м, с мощностью вскрыши до 0,2 м. По пластичности суглинки относятся ко второму (27,3%) и третьему (72,7%) классам. Они пригодны для изготовления кирпича марок «75», «100», «150». Запасы на 1,01,89 г. по Покровскому месторождению по категории А+В+С₁ — 261 тыс. м³, Ытык-Кюельскому — по категории С₁ — 370 тыс. м³. По Сайсарскому месторождению они значительно выработаны [89, 111, 126].

Месторождение Боротонское (II-6-11, с. Боротонцы) связано с выскоими лесными террасами. Пласт суглинка мощностью 0,8—2,8 м (средняя мощность 1,6 м) прослежен на площади 2×1,5 км. По данным тектологических испытаний суглинки пригодны для производства кирпича (ГОСТ 530-54-100). Запасы по категории С₁ по двум участкам составляют 47,4 тыс. м³ [89].

Месторождения суглинков, расположенные в долине р. Лена, также малые по запасам, в настоящее время законсервированы. По месторождениям: Намское (II-4-5), Санниковское (II-4-6), Намырское II (III-4-22), Алдахское (IV-3-3), Ой-Беское (IV-4-5), Будгуняхтахское (V-3-1) произведена

Результаты химических анализов глин и суглинков кирпичных

Название месторождения и его номер	Породы	SiO ₂	Al ₂ O ₃	CaO	Fe ₂ O ₃	FeO	MgO	MnO	TiO ₂	P ₂ O ₅	N ₂ O	K ₂ O	SO ₃	П. п. п.
Кангаласское II (III-4-11)	Глина	60,18—	23,35—	1,82—	1,06—	—	0,8	—	—	—	—	—	—	7,85
Чабыгдинское (III-8-1)	»	63,40	24,12	1,86	2,78	—	1,09	—	—	—	—	—	—	5,80
Сосолохское (III-8-2)	»	64,00	19,50	15,00	3,63	—	—	—	—	—	—	2,65	—	6,20
Усть-Баягинское (II-8-2)	»	63,44	19,41	1,77	5,39	—	1,64	—	—	—	—	0,87	Сл.	6,20
Усть-Баягинское (II-8-2)	»	62,72	16,36	3,50	4,44	—	2,03	—	—	—	—	4,28	0,69	0,80
Покровское (IV-4-10)	Суглинок	52,52—	13,46—	1,99—	2,30—	0,72—	1,29—	0,07—	0,63—	—	—	2,88—	—	3,19—
Сайсарское (III-4-30)	»	68,54	13,86	4,48	3,44	1,09	1,16	0,14	0,84	—	—	3,93	—	6,40
Борогонское (II-6-11)	»	58,56—	12,49—	3,70—	5,34—	—	3,07—	—	—	—	—	—	0,27—	6,35—
Санниковское (II-4-6)	»	61,64	14,64	5,70	7,71	—	3,76	—	—	—	—	—	0,72	7,98
Намьское (II-4-6)	»	61,66	14,44	3,31	4,20	—	3,00	—	—	—	2,56	2,95	Сл.	5,82
Намьское II (III-4-22)	Глина	63,29	14,34	3,11	2,45	2,18	2,14	0,08	0,77	0,16	3,42	2,71	—	3,65
Аллахское (IV-3-3)	Суглинок	61,85	22,63	0,52	3,12	—	0,86	—	—	—	—	—	0,36	8,87
Ой-Бесское (IV-4-5)	Глина	64,47	12,54	3,17	2,51	—	—	—	0,76	—	—	—	Сл.	1,26
Булгуняхское (V-3-1)	Суглинок	55,60	14,40	—	3,79	1,86	3,50	0,008	0,73	—	2,27	2,80	0,11	4,23
		62,74	14,86,	5,16	4,94	—	3,90	—	—	—	—	—	0,38	5,86

разведка и подсчитаны запасы; на месторождениях Биэ-Эльбютское (I-3-3) и Сайдылжское (IV-4-14) проведены только оперативные подсчеты запасов. Все месторождения представлены пластобразными залежами с мощностью слоя от 0,3 до 3,7 м, при средней мощности от 0,76 м (Сайдылжское) до 5,30 м (Булгуняхтакское) [89, 109, 111, 113, 114].

Группа месторождений расположена в долине р. Алдан: Хандыгское (II-10-3), Трасовое (III-10-1), Кумах-Булгунское (III-10-6), Джебарки-Хая III (III-10-15), Усть-Майское (VI-9-1). Месторождение Хандыгское представлено серовато-желтыми плотными жирными аллювиальными глинами верхнечетвертичного возраста. Мощность последнего слоя среди отложений террасового комплекса от 1,0 до 1,5 м. Глины по заключению ВНИИ-1 г. Магадана пригодны для изготовления кирпича марок «75» и «100», а также для гончарного и цементного производства. Запасы на 1.01.89 г. по категории А+В составляют 373 тыс. м [89].

Остальные месторождения этой группы представлены пластобразными залежами аллювиальных суглинков мощностью от 0,6 до 5 м при средней мощности 1,0—1,3 м. Суглиники пригодны для изготовления кирпича марок «50»—«150». Все эти месторождения, малые по запасам, в настоящее время законсервированы [89].

В бассейне р. Ама имеются два малых месторождения кирпичных суглинков — Амгинское (V-6-1) и Покровкинское I (V-6-5), близкие по составу и генезису к вышеописанным. Мощность полезного слоя в них колеблется от 1,0 до 1,9 м при мощности вскрыши 0,2—0,4 м. Суглиники пригодны для изготовления обыкновенного кирпича. На них проведены разведочные работы, однако запасы в ГКЗ не утверждены [98].

С озерно-ледниковыми отложениями муржунтунской свиты средне-верхнечетвертичного возраста связано месторождение Черемуховское (II-12-23), где суглиники мощностью в среднем 1,0 м соответствуют требованиям ГОСТ для изготовления кирпича марки «75» [89].

Месторождение Майнское (IV-5-1) расположено на окраине с. Майя. В озерно-аллювиальных суглинках (мощность 3 м) отсутствуют фракции 1,0 мм и глинистая <0,002 мм; фракция 1,0—0,05 мм составляет около 31 %, остальное (68 %) — фракция 0,05—0,002 мм. Запасы по категории C₁ — 1300 тыс. м³ [109].

Глины керамзитовые. Известно 11 месторождений. Этот тип глин связан с разновозрастными отложениями. К никаканской свите нижнего кембрия приурочены месторождения II-12-18 и Магиновка (II-12-7), представленные двумя пластами известково-глинистых сланцев мощностью 50 и 80 м. По данным лабораторных испытаний керамзит обладает объемным весом 0,440—0,704 г/см³ при оптимальной температуре 1200 °С. Интервал выщивания 70—120 °С, коэффициент вспучивания 2,2—4,98. Месторождения расположены вблизи автодороги Хандыга—Магадан на 105-м и 125-м км. Керамзитовое сырье из сланцев пригодно для производства цемента по группе В-47 [69]. Месторождения, малые по запасам, законсервированы.

Месторождения, связанные с юрскими отложениями якутской свиты — Мархинское II (III-4-26), сунтарское (IV-4-8) Улахаское (IV-4-7), Валдимировское (IV-4-3) и Сатыганское (IV-4-8) представлены пластобразными залежами со средней мощностью от 4,2 до 12,0 м, протяженностью до 1,83 км. Средняя мощность вскрыши от 1,1 до 2,8 м. Химический состав глин приведен в табл. 16. Они пригодны для изготовления керамзитового кирпича марок «500» и «1000», а на Улахаском месторождении и для производства керамзито-бетона марки «7» [126]. Валдамовские запасы этих месторождений колеблются от нескольких сотен тысяч до 10 млн м³. Улахаское и Сатыганское месторождения эксплуатируются.

Состав глин эксплуатируемых месторождений керамзитового сырья

№ п. п.	Название месторождения и его номер	Возраст	SiO ₂	Al ₂ O ₃	Fe ₂ O ₃	CaO	MgO	K ₂ O	Na ₂ O	SO ₃	П. п. п.	Σ
1	Сатыганское (IV-4-8)	J _I	52,06	27,27	4,20	1,03	1,15	2,69	1,22	1,13	2,69	93,44
2	II-6-12	Z	63,48	14,44	4,36	3,31	2,26	2,86	2,63	Сл.	4,52	97,87
3	Никольское (III-4-2)	Q _{III}	57,98— 63,40	12,0— 14,0	3,79— 5,10	3,31— 4,83	1,94— 2,87	2,56— 2,90	1,56— 2,12	0,05— 1,72	5,38— 8,08	90,07— 100,48

Месторождения вблизи пос. Боронцы II-6-12 и Сасабытское (IV-3-1) связаны с неогеновыми глинами. Продуктивная толща глин средней мощностью 1,5 м доклинована на площади 2×0,3 км, вытянутой в меридиональном направлении. Технологические и физико-механические испытания глин подтверждают их пригодность для изготовления керамзитового гравия [109].

Известно керамзитовое сырье месторождения Никольское (III-4-2) в озерно-аллювиальных верхнечетвертичных отложениях. Пластовая залежь длиной 2 км, шириной 1,6 км при мощности 2,1 м. Глины среднепылеватые, умеренно пластичные, пригодные для получения марочного керамзита [109]. Аналогичны вышесказанному месторождению Чурапчинское (III-7-3) и VI-12-38, глины которых можно использовать для производства керамзита марок «350—500» и кирпичца марки «75» [76, 126].

ОБЛОМОЧНЫЕ ПОРОДЫ

Песчано-гравийный материал. Широко распространен в составе русловых, пойменных и террасовых отложений неоген-четвертичного возраста, по долинам рек, образующих косы, острова и другие различные формы рельефа. Всего известно 13 месторождений.

В долине р. Лена вблизи г. Якутск расположены месторождения Кильдямское I (III-4-13), Тибигена-Юряхское (III-4-15), Мархинское I (III-4-24). Они представляют продуктивными толщами песков и песчано-гравийного материала неогенового возраста, залегающими в виде линзовидных залежей мощностью 1,1—1,4 м, шириной до 800 м и длиной до 3 км. Мощность вскрытия от 0,2 до 2 м. По данным лабораторно-технологических испытаний гравий может быть использован как крупный заполнитель для бетона. Содержание песка в смеси 59,7%. Песок кварц-полевошпатовый мелко- и среднезернистый. Гранулометрический состав непостоянный. Содержание песка в смеси (в среднем): более 5 мм — 59,7%; 0,15—0,3 мм — 15%; 0,3—0,6 мм — 23%; 0,6—1,2 мм — 33%; 1,2 мм — 15%. Среднее содержание глинистых пылевидных частиц в песке — 8,7%. Смесь пригодна для приготовления бетона марки «150» и «200» и как балласт для строительства дорог. Утвержденные запасы (категория A+B+C₁) по каждому месторождению превышают

800 тыс. м³ [109, 111]. Месторождение Кильдямское I эксплуатируется, остальные законсервированы.

Месторождения Булгуняхтахское (V-3-2) и Усть-Ботомское II (V-3-7) приурочены к нижней части I и II напойменных террас. Мощность песчано-гравийных отложений достигает здесь 3,5—7,2 м. Мощность вскрыши в среднем 3,7 м. Они могут быть использованы в качестве крупного заполнителя для обычного бетона марки «150—200», песок-отсев для шпунтовых и кладочных растворов. Запасы гравия (категория A+B+C₁) от 500 до 600 тыс. м³, песка — около 100 тыс. м³ [114].

Месторождение Лютотанка (IV-4-13) расположено около пос. Кердем на автодороге Якутск—Томтоя. Гравийно-галечные и песчаные отложения приурочены к бесыхской террасе р. Лена. Продуктивный горизонт мощностью 2,5—9,4 м представлен песками кварц-полевошпатовыми мелко-среднезернистыми и песчано-гравийным материалом. Гравий пригоден для строительства слоев асфальто-бетонных и цементно-бетонных дорожных покрытий. Запасы (категория C₁) превышают 1,5 млн м³, коэффициент вскрыши 0,64 [122]. Месторождение, малое по запасам, законсервировано. В долинах рек Татта и Арга месторождения Ытык-Кюельское II (III-8-5) и Улахан-Тортольдуньское (V-6-3) связаны с террасовыми образованиями этих рек. Пласты песчано-гравийной смеси средней мощностью 3,5 м прослежены вдоль долины на расстоянии 10—12 км. Согласно ГОСТ 10268-62 гравий может использоваться как заполнитель для бетона марки «400» и в качестве балласта при строительстве дорог. Смесь пригодна в качестве мелкозатолнителя для бетона марок «100» и «250» и строительных растворов в дорожном строительстве. Баллансовые запасы категории B+C песчано-гравийной смеси более 600 тыс. м³, а песков по категории C₁ — 221 тыс. м³ [89, 98].

Месторождения Правоялданское (II-10-4), Двадцатый километр (III-10-2), Гравийное (III-10-3) представлены современными аллювиальными образованиями русловой и пойменных фаций рек Алдан и Вост. Хандыга. Протяженность их свыше 1 км при средней мощности песчано-гравийного материала 4,5 м. Пласт состоит из хорошоокатанного гравия (74,1%) и песка (25,9%). Согласно ГОСТ 10268-82 гравий может быть использован как заполнитель для бетона марки «400», песок — для строительных растворов. Запасы (категория B+C) составляют от 250 до 2036 тыс. м³. Правоялданское месторождение выработано, остальные, малые по запасам, законсервированы [89, 98].

Малое месторождение Джебарики-Хая II (III-10-14) связано с современными аллювиальными образованиями неогенового и четвертичного возраста, приуроченных к террасам рек. Значительные скопления песка развезены на р. Лена. Месторождения Хатын-Юряхское (III-3-3), Хомустахское (III-4-5), Диринг-Отеге (III-4-3), Якутское (III-4-29), Сасабытское (IV-3-2), Бестяхское I (IV-3-4), Нижнебетяхское (IV-4-1), Курьянгалэах (IV-4-2), Владимировское (IV-4-4) и Текторское (IV-4-6). Продуктивная толща на террасах различного уровня представлена серыми, зеленовато-бурыми разнородными песками с линзами суглинков, алевроитов, глин и горizontами гравийно-галечных отложений общей мощностью от 0,6 до 9,4 м. Иногда

Песок строительный. Известно 14 месторождений, связанных с ал-

лювиальными образованиями неогенового и четвертичного возраста, приуроченных к террасам рек. Значительные скопления песка развезены на р. Лена. Месторождения Хатын-Юряхское (III-3-3), Хомустахское (III-4-5), Диринг-Отеге (III-4-3), Якутское (III-4-29), Сасабытское (IV-3-2), Бестяхское I (IV-3-4), Нижнебетяхское (IV-4-1), Курьянгалэах (IV-4-2), Владимировское (IV-4-4) и Текторское (IV-4-6). Продуктивная толща на террасах различного уровня представлена серыми, зеленовато-бурыми разнородными песками с линзами суглинков, алевроитов, глин и горizontами гравийно-галечных отложений общей мощностью от 0,6 до 9,4 м. Иногда

ПРОЧИЕ ИСКОПАЕМЫЕ

пески залегают в виде линзообразных пластовых залежей мощностью от 0,7 до 12—13 м при мощности вскрыши до 2,5 м. Для месторождений характерны разнородные кварц-полевошпатовые пески, пригодные в качестве наполнителя для бетона марок «200»—«350», а также кладочно-штукатурных растворов. Глинистые разности песков используются для изготовления силикатного кирпича марки «75—125». Балансовые запасы песков составляют 13 010 тыс. м³. Горнотехнические и гидротехнические условия эксплуатации благоприятные. Все месторождения законсервированы [109, 112, 119].

Месторождения Сатыганское (V-4-9) и Ленское (V-3-5) сложены преимущественно хорошоотсортированными, среднезернистыми кварц-полевошпатовыми песками. Средняя мощность пластов песков до 35 м, протяженность 2 км, средняя ширина 200 м. Геологические запасы около 2 млн м³ [114, 126]. Пески обоих месторождений отвечают требованиям ГОСТ 8734-63 и могут использоваться для балласта железнодорожного полотна и строительства автодорог. Месторождения законсервированы.

Месторождение Жебарыки-Хая IV (III-10-16) расположено против одноименного поселка на р. Алдан. В аллювиальных отложениях залегают линзообразный пласт мощностью 4,8 м, протяженностью 0,6 км при ширине 0,5 км. Пески могут быть использованы как отощающие добавки к сульфатам одноименного месторождения [98]. Месторождение, малое по запасам, законсервировано.

Аналогичное по условиям образования, запасам и использованию сырья месторождение Улахан-Торголдунское (V-6-4) описано в разделе «Песчано-гравийный материал».

Песок стекольный. Известно одно месторождение (Намырское, III-4-21), расположенное в 23 км северо-западнее г. Якутск. Оно приурочено к горизонтально залегающим верхнеюрским отложениям. Пески образуют пласт мощностью до 15 м (вскрыт на глубину 2 м), протяженностью в несколько километров. Пески, характеризующиеся однородным химическим (SiO_2 — 78—85,4 %; Al_2O_3 — 8,4—13 %; Fe_2O_3 — 0,53—1,18 %) и гранулометрическим (>0,495 мм — 11,46 %; 0,495—0,104 мм — 80,43 %; 0,104—0,088 мм — 1,65 %; <0,088 мм — 5,07 %) составом, пригодны для производства выдувных, прессовых изделий и листового стекла. Балансовые запасы сырья (категория А+В) составляют 194 тыс. м³. Малое по запасам месторождение законсервировано [109].

Песчаник. Известно четыре месторождения песчаников. Месторождения П-12-16 и III-12-16 связаны с ситонинской свитой венда. Пласты песчаников мощностью до 150 м (П-12-16) прослежены на несколько километров. По данным лабораторных испытаний щебень из песчаников пригоден как заполнитель тяжелых бетонов, обычных бетонов марки «400» и для строительных работ. Крупное по запасам месторождение П-12-16 законсервировано, неразведанное месторождение III-12-16 предварительно оценено как малое [69, 70].

Крупное по запасам месторождение V-10-13 и малое IV-10-10 связаны с породами верхнего рифея. Белые кварцевые песчаники мощностью до 300 м прослежены по просиранью на 40 км (V-10-13). По физическим свойствам (объемный вес 2,85 г/см³, удельный вес 2,62—2,64 г/см³, общая пористость 1,5—2,3 %, водопоглощение 0,3—0,5 %, предел прочности при сжатии 1160—1890 кг/см²) они пригодны для изготовления буттового камня марки «800» и в качестве облицовочного материала. Месторождения законсервированы [88].

Гипс, ангидрит. В районе известно два малых месторождения и одно проявление гипса и ангидрита. Месторождение, расположенное на лево-бережье р. Менкюле (I-12-20), представляет собой линзовидные тела мелко-среднезернистых светло-серых с розоватым оттенком гипса и ангидрита среди известняков бурхалинской серии среднего девона. Мощность линз в разлуках до 50 м (средняя мощность 10 м), протяженность до 500 м. В гипсе и ангидрите отмечаются прослои (до 5 м) и включения известняков.

На глубину 5 м от дневной поверхности при гидратации ангидрит превращен в гипс. Химический состав главных элементов (%): СаО — 40,6; SO₂ — 51,45; Al₂O₃ — 0,03; п. п. — 1,2. Прогнозные ресурсы гипса и ангидрита составляют 0,7 млн т. Месторождение законсервировано [96].

Месторождение Большая Росомаха (II-12-5) расположено на правобережье р. Вост. Хандыга. Среди отложений бурхалинской серии среднего девона залегает сложностроенная гипсоносная пачка мощностью 20—22 м. Пролуктинный горизонт мощностью 4,5 м сложен сантиметровым (инюла до 50—60 см) чередованием заглизованных мерделей и гипсов. Рудное тело представляет собой линзу шириной 250—300 м и протяженностью 1300 м. Подсчитанные прогнозные ресурсы сырья составляют 2 млн м³ [69].

Проявление I-12-27 в отложениях оронской свиты силура представлено линзой мощностью 10 м голубовато-белого ангидрита с большими количествами обломков известняка и доломитов.

На данной стадии изучения промышленного интереса не представляет [96].

ПРЯЗИ ЛЕЧЕВНЫЕ

Известно одно проявление IV-6-1, расположенное на берегу оз. Абагах, связанное с отложениями четвертичного возраста. Среди сульфидов и песков залегает пласт черных глин («лечебная грязь») — пластовое тело мощностью от 0,25 до 1,4 м. Глина черная и темно-серая, вязкая, жирная. Солевой состав пьези (в граммах на 100 г сухой пьези): Са (НСО₃)₂ — 0,0294; Mg(НСО₃)₂ — 0,013; NaНСО₃ — 1,029; Na₂СО₃ — 1,01; Na₂SO₄ — 0,04; NaCl — 0,946; KCl — 0,084; KBr — 0,012; H₂SiO₃ — 0,005. Глины рекомендуются при ревматических заболеваниях. Запасы — 1,5 млн т [109].

ЗАКОНОМЕРНОСТИ РАЗМЕЩЕНИЯ ПОЛЕЗНЫХ ИСКОПАЕМЫХ

Основы минералогического районирования, заложенные в довоенный период С. С. Смирновым и Ю. А. Вилибинным, в 60—80-х годах разрабатывались В. В. Егловских, В. А. Камагетдиновым, И. Г. Волковым и другими исследователями. Пространственные металлогенические подразделения идентифицируются с неизмеримыми тектоническими структурно-формационными подразделениями. Площадь листа частично охватывает два крупных структурно-тектонических элемента земной коры: Сибирскую платформу — Древний Сибирский континент, и Верхояно-Колымскую складчатую область, вознившую на месте былой пассивной окраины этого континента, развитие которых обусловило минералогические особенности рассматриваемой территории. На изученной площади им отвечают две минералогические провинции — Лено-Вилуйская и Верхояно-Колымская. Лено-Вилуйская минералогическая провинция, охватывающая часть Сибирской платформы, включает в себя Алданскую структурно-минералогическую область, Приленский железорудный и Ленский нефтегазоносный и угленосный бассейны.

Алданская структурно-минералогическая область (VII) охватывает часть Алданской антеклизы, отвечающую полю нижне-среднекембрийских карбонатных пород платформенного чехла. Широко развитые известняки и доломиты могут являться сырьем для промышленности строительных материалов. Металлические полезные ископаемые представлены немногочисленными пунктами минерализации золота, цинка, свинца, меди и ниобия, парагенетически связанными с среднепалеозойскими дайками диабазов.

Приленский железорудный бассейн (VI) сформировался в центральной части Алданской антеклизы. Территория бассейна охватывает полосу прерывистых выходов нижнеюрских образований, залгающих на кембрийских породах. Площадь железорудного бассейна специализирована на марганцевосенные бурые железняки, генетически связанные с доюрскими корами выветривания и терригенными нижнеюрскими породами уккутской свиты. Большинство железорудных объектов выявлено в западной части бассейна, где картируется контакт кембрийских и нижнеюрских пород. Эта площадь выделена как Ботомский рудный район. Наряду с железорудными рудами в брекчированных известняках выявлены немногочисленные, не имеющие практического значения пункты минерализации золота. Известные выходы углей не достигают рабочей мощности, что свидетельствует о малой перспективности бассейна в отношении промышленной угленосности.

Территория Ленского нефтегазоносного и угленосного бассейна (I) охватывает Приверхоянский крайевой прогиб, восточную часть Вилуйской синеклизы и северные склоны Алданской антеклизы, где в позднеюр-

ское — раннемеловое время накапливались мощные толщи континентальных угленосных отложений. На фоне единой, выдержанной в целом структуры, выделяется ряд локальных впадин и поднятий, с которыми связаны перспективные газосенные, нефтеносные и угленосные площади. Наибольшие перспективы углеобъемы связаны с Сангарским, Кангаласским и Джебедрики-Ханским районами, где угленосные толщи выходят на поверхность. Газосенность, связанная с пологими склонирами брахиструктурами, установлена в Усть-Вилуйском, Сангарском, Магарасском, Воронинском и Маймагинском районах. В Сангарском районе выявлен ряд нефтеносных куловодных структур. Наличие нефтяных залежей возможно в Маймагинском районе [109, 129]. Высокими перспективами на обнаружение нефти и газа обладает Приверхоянская нефтегазоносная и угленосная площадь (северная часть Ленского нефтегазоносного и угленосного бассейна), охватывающая Приверхоянский крайевой прогиб и Вилуйскую синеклизу. Наличие куловодных структур среди мощных толщ мезозойских пород с хорошими коллекторскими свойствами является благоприятным фактором для обнаружения этого вида полезных ископаемых, что подтверждают выявленные проявления нефти и газа. Наиболее перспективны в этом отношении части Приверхоянского крайевого прогиба, перекрывающие передовыми надвигами. Помимо горючих полезных ископаемых в среднем течении р. Кенкеме в современном аллювии выявлена непромышленная россыпь золота. Подобные россыпи, связанные с многократным перемывом меловых отложений и содержащие тонкое золото, по данным тематических исследований в пределах бассейна малоперспективны.

Рассматриваемая территория охватывает незначительную часть Верхояно-Колымской минералогической провинции, характеризующейся широким развитием редкометаллического, полиметаллического и золотого оруденения. Минералогическое районирование этой провинции определяется тем, что ее структурные элементы, характеризующиеся своими особенностями геодинамической эволюции, обладают своим комплексом полезных ископаемых. В пределах провинции выделяются четыре структурно-минералогические зоны: Кыльяхская, Сетте-Дабанская, Западно-Верхоянская и Алда-Юньская.

Кыльяхская структурно-минералогическая зона (IV) совпадает с одноименной структурно-формационной зоной и представляет собой поле распространения рифейских, вендских и кембрийских терригенно-карбонатных пород, сложенных в прошлом пассивную окраину Сибирского континента, обладающих складчатыми и покровно-надвиговыми дислокациями. Полезные ископаемые зоны представлены свинцово-цинковыми, медными, золотым оруденением, рудами алюминия и ванадия; баритом, фосфоритом и флюоритом. Древнее стратиформное свинцово-цинковое и медное оруденение, обычное для подобных пассивных окраин, формирует важнейшие руды зоны. Наиболее крупные свинцово-цинковые объекты локализованы в верхнепротерозойском (вендских) породах (Курунг-Дыкатынский рудный узел с месторождением Сарлана). Большинство медносных проявлений приурочено к рифейским толщам, к которым тяготеют и немногочисленные золотосенные объекты. Обнаруживается пространственная связь этих видов оруденения с рифейским базитовым магматизмом. Огневые группы разнообразных (от низов рифея до венда) проявлений свинца, цинка, меди, золота и алюминия объединяются в Горностахскую рудную зону, вытянутую в близмеридиональном направлении. Площадь рудной зоны (100 × 20 км) охватывает западное крыло Горностахской антиклинали, где позднерифейские дайки диабазов имеют близширотное направление.

Сетте-Дабанская структурно-минералогическая зона (IV) отвечает площади распространения сложноподстиглованных терригенно-карбонатных

пород вендского—раннекаменноугольного возраста, слогавших в прошлом обширный шельф и смятых в меловое время. Ведущими полезными ископаемыми зоны являются руды меди, золота, тантала, ниобия, свинца, цинк, сульма, ванадий, фосфориты и барит ипрарог подчиненную роль. Мелное оруденение фиксируется на всем протяжении зоны, но максимальная концентрация металла отмечается в ее северной части, в толщах триггенно-карбонатных пород девонско-раннекаменноугольного возраста. Поле распространения этого комплекса пород с широко развитым стратифорным мелким оруденением (в том числе месторождением Курпанджинское) соответствует площади Менжюгенского рудного района. Золотая минерализация связана с карбонатно-кварцевыми жилами, локализованными в среднепалеозойских дайках диабазов, рассекающих кембрийские триггенные породы продольно по отношению к складчатости. Поле развития золотоносных даек объединяется в Наталгинско-Суордахскую рудную зону, вытянутую в меридиональном направлении на расстояние более 150 км при ширине от 15 до 40 км. Площадь распространения рудной зоны охватывает преимущественно сводовую часть антиклинали, сложенной раннепалеозойскими триггенно-карбонатными породами. Рудообразование тантала и ниобия приурочены к среднепалеозойским массивам ультраосновного и щелочного состава, локально распространены в южной части Сетте-Дабанской структурно-минералогической зоны. Они связаны с растяжением пассивной окраины и раскалыванием ее в среднем палеозое. Этот магматизм маркирует одну из рифтовых ветвей, раскалывавших край древнего континента. Как и в других областях с подобной геодинамической ситуацией, этот процесс сопровождался образованием месторождений, связанных с карбонатитами. Однако ограниченность распространения щелочно-ультраосновного интрузивного комплекса обусловлена узостью распространения данных полезных ископаемых площадью 10×30 км (Лелинский рудный узел).

Западно-Верхоянская структурно-минералогическая зона (II) совпадает с краем Верхоянского метанитклинория. Эта зона в прошлом представляла собой подоводную равнину, состоящую из сливающихся друг с другом конусов выноса, терригенные толщи которой были смяты в меловое время. Площадь листа охватывает лишь южную часть зоны, в пределах которой металлогические полезные ископаемые связаны с незначительными по размерам линейными гидротермальными среднепалеозойскими образованиями. По масштабам оруденения рудные объекты являются пунктами минерализации. Насыщенность восточной части зоны мелкими жильными телами, несущими телетермальную свинцово-цинковую минерализацию, предполагает наличие стратиформного типа оруденения этих металлов на более глубоких горизонтах. Предполагается, что древнее стратиформное оруденение в нижележащих рифейско-раннепалеозойских триггенно-карбонатных комплексах в процессе позднемезозойской складчатости было мобилизовано и перетолжено на более высокие стратиграфические уровни. Многочисленные пункты минерализации золота свидетельствуют о принципиальной золотоносности зоны, перспективны которой до настоящего времени не ясны [93]. Проявление кварца оптического (хрусталеносные кварцевые жилы) секют позднепалеозойские триггенные породы. Основная масса этих жил сосредоточена к северу от изученного региона (Оруденение хрусталеносная площадь). Однако наличие хрусталеносных жил свидетельствует о перспективности площади на обнаружение промышленных проявлений этого вида полезных ископаемых. Южная граница зоны традиционно проводится по взбросам и надвигам, отделившим ее от Приверхоянского прогиба. Вблизи границы отмечаются немногочисленные проявления углей, связанные с позднемезозойскими породами.

Алдах-Юньская структурно-минералогическая зона (III) охватывает западную часть Южно-Верхоянского синклинария, где развиты триггенные позднепалеозойские породы преимущественно аргилито-алевролитового состава. В прошлом динамика этой части пассивной окраины аналогична Западно-Верхоянской зоне. Зона характеризуется развитием золотого оруденения гидротермально-метасоматического генезиса, сформированного в процессе мощных деформаций триггенных пород в толще мезозоя. Большинство золоторудных объектов, в том числе все месторождения, локализованы в южной части зоны, в поле наиболее широкого распространения существенно глинистых пород позднекаменноугольного возраста. Среди них наиболее продуктивным стратиграфическим уровнем являются алевролитно-песчаниковые пачки суржечанской свиты. Не представляющие промышленного интереса пункты минерализации меди, свинца, цинка и сульмы приурочены к карбонатным — нижнепермским породам, наиболее широко распространены в северной части зоны.

В целом описываемому району можно дать высокую прогнозную оценку. Главные промышленные перспективы основной части территории связаны с горючими полезными ископаемыми, рудами железа и марганца, золотом, свинцом, цинком, медью, а также танталом и ниобием. Перспективны площади на выявление промышленных объектов титана, ванадия, алюминия, сульмы, оптических материалов и химического сырья в целом невелики.

Вопрос освоения торючих полезных ископаемых в настоящее время особенно актуален. Наличие многочисленных проявлений и месторождений бурого и каменного угля, приуроченных к нижнемеловым породам Ленского нефтегазосносного и угленосного бассейна, свидетельствует о высоких перспективах этой площади на расширение сырьевой базы этого вида полезных ископаемых. Наиболее перспективные участки связаны с выявленными и эксплуатировавшимися месторождениями бурого (Кангаласское I) и каменного (Сангарское, Жебарикки-Хая I) угля, где возможно значительное увеличение запасов за счет дозавязки флангов, а также выявление новых промышленных объектов. Проявления нефти и газа, выявленные в пределах Приверхоянской нефтегазосносной и угленосной площади, свидетельствуют о ее перспективности на обнаружение здесь промышленных месторождений подвижных углеводородов. Поискное бурение участков, отвечающих по геофизическим данным крупнолокальным структурам, проводилось в ограниченных масштабах. Большим потенциалом обладает мезозойские породы Приверхоянского крайнего прогиба, погребенные под надами и образующие региональные зоны выклинивания. Кроме того, возможным источником пластовых сводовых залежей нефти и газа являются положительные структуры, сложенные позднепермскими — раннепалеозойскими карбонатными породами, развитыми на Алданской антиклизе.

Площадь Приленского железорудного бассейна характеризуется широким распространением марганцевосных бурых железняков, генетически связанных с доюрскими корами выветривания. Пластообразные железорудные тела, залегающие на кембрийских карбонатных образованиях, перекрыты толщами триггенных раннеюрских пород с высокими содержаниями железа и марганца в низах разреза. Высокими перспективностями на прирост ресурсов этого вида сырья обладает Вотомский рудный район, площадь которого охватывает все выявленные месторождения и большинство рудопроявлений железа.

Различная степень золотоносности отмечается на всей площади листа. Промышленный интерес представляют образования гидротермально-метаморфогенного генезиса малосудфидной золото-кварцевой формации. Все

Коренные и большинство россыпных месторождений и рудопроявлений золота приурочены к Алдах-Юньской структурно-минералогической зоне, где наиболее перспективными площадями являются поля распространения терригенных верхнекаменноугольных пород. Кроме того, перспективной на выявление промышленного золотого оруденения является Натальинско-Суордахская рудная зона, выделенная в пределах Сетте-Дабанской структурно-минералогической зоны, где высокие содержания металлов отмечаются в карбонатно-кварцевых жилах, локализованных в среднепалеозойских дайках диабазов.

К настоящему времени отработаны практически все промышленные россыпи золота. Однако возможно выявление погребенных россыпей, сформированных в руслах древних долин.

Для промышленного извлечения свинца и цинка пригодны только стратиформные руды. Стратиформное свинцово-цинковое оруденение характерно для карбонатных пород среднерифейского времени, широко распространенных в Кылахской структурно-минералогической зоне. Наиболее продвигнутыми толщами являются отложения венда, с которыми генетически связаны месторождения Сардана и Перевальное, а также значительная часть перепективных рудопроявлений (Куруун-Дьюкагский рудный узел). Перспективы на обнаружение промышленного свинцово-цинкового оруденения имеет и Горностахская рудная зона, где в поле распространения средне-позднерифейских карбонатных пород выявлен ряд рудопроявлений этих металлов.

Повышенные содержания меди, характерные для протерозойского и палеозойского комплексов пород, достигают промышленных концентраций в рудах Сетте-Дабанской и Кылахской структурно-минералогических зон. Наиболее перспективным является медное стратиформное оруденение Сетте-Дабанской структурно-минералогической зоны, где с полем распространения позднепалеозойских—раннекаменноугольных терригенно-карбонатных пород связан ряд рудопроявлений меди, в том числе месторождение Курланджинское (Менкюленский рудный район). Известным потенциалом на обнаружение промышленного медного оруденения обладают рифейские терригенно-карбонатные породы Горностахской рудной зоны. Полупное извлечение меди возможно также из полиметаллических, преимущественно свинцово-цинковых, руд.

Перспективы выявления тантало-ниобиевых руд ограничены узостью распространения среднепалеозойских массивов ультраосновного и щелочного состава, локально распространенных (Дединский рудный узел) в южной части Сетте-Дабанской структурно-минералогической зоны.

Из неметаллических полезных ископаемых практический интерес представляют фосфориты, перспективные проявления которых приурочены к глинистым сланцам инканской свиты нижнего кембрия, широко распространены в пределах Сетте-Дабанской структурно-минералогической зоны.

Расширяемая территория обеспечена разнообразными строительными материалами. Перспективы промышленного развития изученного района повышаются за счет расположения большинства месторождений полезных ископаемых в благоприятных географо-экономических условиях.

ОСНОВНЫЕ ВЫВОДЫ

Геологическая карта листа Р-52, 53 составлена на основе обобщения геологических материалов, включающих результаты среднемасштабных геологических съемок, тематических исследований, данные геофизических работ, поисковых и поисково-оценочных работ на все виды полезных ископаемых. Особое значение имеют результаты глубокого бурения, существенно обогатившие представление о строении погребенных горизонтов осадочного чехла. Важную роль сыграл анализ дистанционных материалов. Дешифрирование аэро- и космических снимков в совокупности с геофизическими данными позволили уточнить границы геологических объектов. Карта более информативна, чем карты, изданные ранее. На ней существенно расширены элементы разрывной тектоники и отражена их кинематика; детализировано строение геологических толщ на основе новейших стратиграфических схем, показано в изомпсах положение подповерхности палеогеновых отложений.

На территорию листа впервые составлена карта четвертичных отложений. При работе над ней выявлены реликты дефляционной пустыни у г. Якутск и пос. Бердигестях, среднечетвертинная морена в районе пос. Сангар. Увязана с общей ситуацией обнажения Мамонтова Гора на р. Алдан и палеогейского памятника Диринг-Юрэх. Остался проблематичным возраст террасовых наносов в горах, что служит препятствием для решения вопросов новейшей тектоники. Во многих случаях не установлены мощности четвертичных отложений под руслами и поймами рек. Вызывает сомнение значительная разница мощностей рифейских толщ в западном и восточном разрезах. В условиях недостаточной обнаженности в литологически сходных толщах могли быть пропущены тектонические нарушения, за счет чего мощности могли быть значительно завышены. Это единая проблема, касающаяся стратиграфии и тектоники, которая требует разрешения.

Тектоника и геологическое развитие района рассмотрены с геодинамических позиций. Минералогия теснейшим образом связана с основными чертами геодинамической эволюции. Главные перспективные связаны с поручими полезными ископаемыми, золотом, полиметаллами и редкими металлами.

Перспективы горючих полезных ископаемых не выяснены, что связано с недостаточностью сейсмических исследований и бурения. Особенно хотелось подчеркнуть широко обсуждаемую сегодня идею о возможности обнаружения скопления нефти и газа под передовыми надами Верхояны и, возможно, Кылахской зоны.

Перспективы на золото могут быть расширены за счет изучения обогащенных органическим веществом чернослапцевых толщ, слывших позднепалеозойскую пассивную окраину Сибирского континента. Ныне установлена приуроченность рудного золота к диспальным частям под-

водных конусов выноса, ставших эту окраину. Последующая деформация вызвала мобилизацию и перетолжение золота.

Дальнейшее изучение наиболее древних частей (поздний рифей, венд, ранний кембрий) карбонатного шельфа Сибири может привести к открытию новых стратиформных залежей полиметаллов.

Что касается рудоносности оруденения, связанного с карбонатитами, то вряд ли можно ожидать открытия новых крупных объектов.

Территория обладает значительными запасами подземных вод, способными полностью удовлетворить потребности региона.

При развитии гражданского и дорожного строительства на данной территории можно обходиться своими ресурсами.

УКАЗАТЕЛЬ К КАРТЕ ПОЛЕЗНЫХ ИСКОПАЕМЫХ

Индекс квадрата и номер объекта	Полезное ископаемое	Характер* объекта		Название объекта или географическая привязка	Номер литературного источника
		промышленная освоенность	ность		
1-1-1	Газ горючий	ММ/З		Нижневилюйское	12, 91
1-2-1	Газ горючий	П		Берге-Тюлене, р.	123
1-2-2	Газ горючий	П		Сантар, пос.	94
1-2-3	Уголь каменный	ММ/Э		Сантарское	11, 109
1-2-4	Цеоциты	П		Сантар, пос.	109
1-2-5	Уголь каменный	П		Тюлене, р.	109
1-2-6	Нефть	П		Лена, р.	123
1-2-7	Нефть	П		Ситте, р.	136
1-3-1	Уголь каменный	П		Чочума, р.	109
1-3-2	Уголь бурый	П		Лена, р.	109
1-3-3	Углинки кирпичные	ММ/НР		Вио-Эльботское	89
1-5-1	Уголь каменный	П		Тумара, р.	109
1-6-1	Уголь каменный	П		Тинкиче, р.	109
1-6-2	Уголь каменный	П		Келе, р.	109
1-6-3	Уголь каменный	П		Джаран, р.	109
1-6-4	Уголь каменный	П		Тинкиче, р.	109
1-6-5	Уголь каменный	П		Байбакан, р.	109
1-6-6	Уголь каменный	П		Байбакан, р.	109
1-7-1	Уголь каменный	П		Тухудан, р.	109
1-7-2	Уголь каменный	П		Алдан, р.	109
1-7-3	Уголь бурый	ММ/З		Зап. Ирдыта, р.	109
1-7-4	Уголь каменный	П		Зап. Традыта, р.	109
1-8-1	Кварц оптический	П		Барайы, р.	64
1-8-2	Моллибден	ОЛ		Барайы, р.	64
1-8-3	Свинец, цинк	ПМ		Барайы, р.	64
1-8-4	Кварц оптический	ПМ		Барайы, р.	64
1-8-5	Кварц оптический	ПМ		Барайы, р.	64
1-8-6	Свинец	ПМ		Барайы, р.	64
1-8-7	Цинк	ОЛ		Барайы, р.	64

* Приняты следующие обозначения. Месторождения: МК — крупное, МС — среднее, ММ — малое; П — проявление; ПМ — пункт минерализации; ОЛ — литохимический ореол (номера литохимических ореолов даны в общей последовательности с прочими объектами).

Генетические типы месторождений: (1) — магматические, (2) — гидротермально-метасоматические, (3) — стратиформные, (4) — россыпные, (5) — осадочные.

Прокластическая освоенность месторождений: Э — эксплуатировалось, З — законсервированное, В — выработанные, Н — находящиеся в разведке и изучении, НР — неразведанные.

Индекс квадрата и номер объекта	Полезное ископаемое	Характер* объекта		Название объекта или географическая привязка	Номер литературного источника
		промышленная освоенность	освоенность		
1-8-8	Уголь каменный	П		Зап. Градыга, р.	64
1-8-9	Уголь каменный	П		Вост. Градыга, р.	64
1-8-10	Уголь каменный	П		Алдан, р.	64
1-8-11	Уголь бурый	П		Алдан, р.	64
1-8-12	Уголь бурый	П		Вост. Градыга, р.	64
1-8-13	Уголь каменный	П		Барайы, р.	64
1-8-14	Уголь каменный	П		Алдан, р.	64
1-8-15	Уголь бурый	П		Алдан, р.	64
1-9-1	Кварц оптический	ПМ		Барайы, р.	65
1-9-2	Кварц оптический	ПМ		Илин-Делинне, р.	65
1-9-3	Кварц оптический	ПМ		Арга-Делинне, р.	65
1-9-4	Кварц оптический	ПМ		Илин-Делинне, р.	65
1-9-5	Кварц оптический	ПМ		Илин-Делинне, р.	65
1-9-6	Кварц оптический	ПМ		Илин-Делинне, р.	65
1-9-7	Уголь бурый	П		Арга-Делинне, р.	65
1-9-8	Уголь каменный	П		Илин-Делинне, р.	65
1-10-1	Цинк	ПМ		Хунхада, р.	138
1-10-2	Золото	П		Хунхада, р.	138
1-10-3	Свинец, цинк	ПМ		Хунхада, р.	138
1-10-4	Свинец, цинк	ПМ		Хунхада, р.	138
1-10-5	Золото	ПМ		Томпо, р.	138
1-10-6	Свинец, цинк	ПМ		Хунхада, р.	138
1-10-7	Золото	ПМ		Хунхада, р.	138
1-10-8	Золото	ПМ		Уяна, р.	138
1-10-9	Золото	П		Уяна, р.	138
1-10-10	Золото	ПМ		Хунхада, р.	138
1-10-11	Сурыма	ПМ		Хунхада, р.	138
1-10-12	Золото	П		Томпо, р.	138
1-10-13	Цинк	ПМ		Хунхада, р.	138
1-10-14	Золото	ПМ		Томпо, р.	138
1-10-15	Свинец, цинк	ПМ		Хандыга, р.	138
1-10-16	Золото	П		Томпо, р.	138
1-10-17	Золото	ПМ		Томпо, р.	138
1-10-18	Уголь каменный	П		Хандыга, р.	138
1-11-1	Золото	П		Томпо, р.	67
1-11-2	Золото	ПМ		Томпо, р.	67
1-11-3	Золото	П		Томпо, р.	67
1-11-4	Золото	ПМ		Томпо, р.	67
1-11-5	Золото	ПМ		Томпо, р.	66
1-11-6	Золото	ПМ		Томпо, р.	66
1-11-7	Золото	ПМ		Ольчан, р.	67
1-11-8	Цинк	ПМ		Ольчан, р.	66
1-11-9	Свинец	ПМ		Ольчан, р.	66
1-11-10	Мель	ПМ		Куккан, р.	96
1-11-11	Мель	ПМ		Ольчан, р.	96
1-11-12	Цинк	ПМ		Ольчан, р.	96
1-11-13	Свинец, цинк	ПМ		Ольчан, р.	96
1-11-14	Золото	П		Ольчан, р.	67
1-11-15	Мель	ПМ		Куккан, р.	96

Индекс квадрата и номер объекта	Полезное ископаемое	Характер* объекта		Название объекта или географическая привязка	Номер литературного источника
		промышленная освоенность	освоенность		
1-11-16	Мель	ПМ		Ольчан, р.	128
1-11-17	Барит	П		Куккан, р.	96
1-11-18	Золото	П		Томпо, р.	67
1-11-19	Золото	П		Томпо, р.	67
1-11-20	Золото	П		Томпо, р.	67
1-11-21	Мель	П		Томпо, р.	102
1-11-22	Золото	ПМ		Томпо, р.	96
1-11-23	Мель	ПМ		Куккан, р.	128
1-11-24	Мель	ПМ		Томпо, р.	96
1-11-25	Свинец, цинк	ПМ		Томпо, р.	96
1-11-26	Золото	ПМ		Томпо, р.	96
1-11-27	Золото	П		Томпо, р.	67
1-11-28	Мель	П		Томпо, р.	128
1-11-29	Мель	П		Куккан, р.	67
1-11-30	Мель	ПМ		Куккан, р.	128
1-11-31	Золото	ПМ		Томпо, р.	96
1-11-32	Мель	ММ(З)/3		Курпанджинское	67, 128
1-11-33	Золото	ПМ		Томпо, р.	96
1-11-34	Мель	ПМ		Куккан, р.	128
1-11-35	Мель	ПМ		Менюлоге, р.	128
1-12-1	Мель	ПМ		Менюлоге, р.	68
1-12-2	Золото	ПМ		Томпо, р.	68
1-12-3	Свинец, цинк	ПМ		Томпо, р.	68
1-12-4	Золото	ПМ		Менюлоге, р.	128
1-12-5	Свинец	ПМ		Менюлоге, р.	128
1-12-6	Мель	ПМ		Менюлоге, р.	68
1-12-7	Свинец, цинк	ПМ		Менюлоге, р.	128
1-12-8	Цинк	ПМ		Менюлоге, р.	128
1-12-9	Свинец, цинк	ПМ		Менюлоге, р.	128
1-12-10	Мель	П		Менюлоге, р.	128
1-12-11	Мель	ПМ		Менюлоге, р.	128
1-12-12	Бораты	ПМ		Менюлоге, р.	96
1-12-13	Мель	ПМ		Менюлоге, р.	68
1-12-14	Мель	ПМ		Менюлоге, р.	128
1-12-15	Мель	ПМ		Менюлоге, р.	68
1-12-16	Бораты	ПМ		Менюлоге, р.	96
1-12-17	Мель	ПМ		Менюлоге, р.	96
1-12-18	Сурыма	ПМ		Менюлоге, р.	96
1-12-19	Мель	ПМ		Менюлоге, р.	96
1-12-20	Трипс, ангидрит	ММ/З		Менюлоге, р.	96
1-12-21	Мель	ПМ		Менюлоге, р.	128
1-12-22	Золото	ПМ		Менюлоге, р.	128
1-12-23	Золото	ПМ		Менюлоге, р.	128
1-12-24	Сурыма	ПМ		Менюлоге, р.	96
1-12-25	Цинк	ПМ		Менюлоге, р.	128
1-12-26	Мель	П		Менюлоге, р.	128
1-12-27	Трипс, ангидрит	П		Менюлоге, р.	96
1-12-28	Сурыма	ПМ		Менюлоге, р.	128
1-12-29	Цинк, свинец, барит	ПМ		Менюлоге, р.	128

Индекс квадрата и номер объекта	Полезное ископаемое	Характер* объекта		Название объекта или географическая привязка	Номер литературного источника
		промышленная освоенность	освоенность		
И-12-30	Сурьма	ПМ		Менюкле, р.	128
И-12-31	Сурьма	ПМ		Менюкле, р.	96
И-12-32	Мель	ПМ		Менюкле, р.	96
И-2-1	Уголь бурый	П		Тогене, р.	109
И-2-2	Уголь бурый	П		Ситте, р.	109
И-3-1	Уголь бурый	П		Чирие, р.	109
И-4-1	Уголь бурый	П		Лена, р.	109
И-4-2	Уголь бурый	П		Лена, р.	129
И-4-3	Уголь каменный	П		Лена, р.	129
И-4-4	Газ торфяной	П		Лена, р.	129
И-4-5	Суглинка кирпичные	ММ/З		Намское	89
И-4-6	Суглинка кирпичные	ММ/З		Санниковское	89
И-5-1	Уголь бурый	П		Алдан, р.	109
И-5-2	Уголь бурый	П		Алдан, р.	109
И-5-3	Уголь бурый	П		Алдан, р.	109
И-5-4	Уголь бурый	П		Алдан, р.	109
И-5-5	Уголь бурый	П		Алдан, р.	109
И-5-6	Уголь бурый	П		Алдан, р.	109
И-6-1	Уголь бурый	П		Алдан, р.	109
И-6-2	Уголь бурый	П		Алдан, р.	109
И-6-3	Уголь бурый	П		Танда, р.	109
И-6-4	Уголь бурый	П		Танда, р.	109
И-6-5	Уголь бурый	П		Танда, р.	109
И-6-6	Уголь бурый	П		Алдан, р.	109
И-6-7	Уголь бурый	П		Алдан, р.	109
И-6-8	Уголь бурый	П		Алдан, р.	109
И-6-9	Уголь бурый	П		Алдан, р.	109
И-6-10	Уголь бурый	П		Танда, р.	109
И-6-11	Суглинка кирпичные	ММ/Э		Борогонцкое	89
И-6-12	Линия керамзитовые	ММ/НР		Борогонцы, пос.	109
И-6-13	Уголь каменный	П		Танда, р.	109
И-6-14	Уголь бурый	П		Танда, р.	109
И-8-1	Титан	П		Алдан, р.	98
И-8-2	Линия кирпичные	ММ/З		Усть-Баганское	98
И-8-3	Уголь бурый	П		Баята, р.	98
И-8-4	Уголь бурый	П		Татта, р.	98
И-8-5	Уголь бурый	П		Баята, р.	98
И-8-6	Уголь бурый	П		Татта, р.	98
И-8-7	Уголь бурый	П		Татта, р.	98
И-8-8	Уголь бурый	П		Татта, р.	98
И-8-9	Уголь бурый	П		Баята, р.	98
И-8-10	Уголь бурый	П		Татта, р.	98
И-8-11	Уголь бурый	П		Татта, р.	98
И-8-12	Уголь бурый	П		Татта, р.	98
И-9-1	Титан	П		Алдан, р.	98
И-10-1	Уголь бурый	П		Томпо, р.	98
И-10-2	Уголь каменный	П		Нымарчы, р.	98
И-10-3	Линия кирпичные	ММ/НР		Хандыгское	89

Индекс квадрата и номер объекта	Полезное ископаемое	Характер* объекта		Название объекта или географическая привязка	Номер литературного источника
		промышленная освоенность	освоенность		
И-10-4	Песчано-гравийный материал	ММ/В		Праводланское	89
И-12-1	Мель	ПМ		Куранах, р.	69
И-12-2	Цинк	ПМ		Вост. Хандыга, р.	69
И-12-3	Сурьма	ПМ		Куранах, р.	69
И-12-4	Бораты	ПМ		Вост. Хандыга, р.	69
И-12-5	Титс, ангидрит	ММ/З		Большая Россомаха	69
И-12-6	Золото	ПМ		Вост. Хандыга, р.	69
И-12-7	Линия керамзитовые	ММ/З		Малиновка	68
И-12-8	Мель	П		Вост. Хандыга, р.	69
И-12-9	Диабазы	МС/З		Вост. Хандыга, р.	69
И-12-10	Известняк	МК/З		Восточно-Хандыгское	69
И-12-11	Фосфорит	П		Вост. Хандыга, р.	69
И-12-12	Свинец, цинк	ПМ		Вост. Хандыга, р.	130
И-12-13	Уголь каменный	П		Томпорук, р.	69
И-12-14	Мель	ПМ		Томпорук, р.	69
И-12-15	Мраморы	МК/З		Томпоруцкое	130
И-12-16	Песчаник	МК/З		Томпорук, р.	69
И-12-17	Свинец, цинк	П		Вост. Хандыга	130
И-12-18	Линия керамзитовые	ММ/З		Томпорук, р.	69
И-12-19	Фосфорит	П		Вост. Хандыга	69
И-12-20	Свинец, цинк	ПМ		Вост. Хандыга	130
И-12-21	Мель	П		Сакжырды, р.	69
И-12-22	Уголь каменный	П		Вост. Хандыга, р.	69
И-12-23	Суглинка кирпичные	ММ/З		Вост. Хандыга, р.	89
И-12-24	Уголь каменный	П		Черемуховское	69
И-12-25	Уголь каменный	ММ/З		Вост. Хандыга, р.	110
И-12-26	Золото	ПМ		Нижнетуматское	130
И-12-27	Уголь каменный	П		Кемос-Юрлах, р.	69
И-12-28	Свинец, цинк	П		Вост. Хандыга, р.	130
И-1-1	Уголь бурый	П		Вост. Хандыга, р.	109
И-1-2	Уголь бурый	П		Матта, р.	109
И-1-3	Уголь бурый	П		Матта, р.	109
И-1-4	Уголь бурый	П		Матта, р.	109
И-1-5	Уголь бурый	П		Матта, р.	109
И-1-6	Уголь бурый	П		Матта, р.	109
И-1-7	Уголь бурый	П		Бердигестах, пос.	109
И-2-1	Уголь бурый	П		Ситте, р.	109
И-2-2	Уголь бурый	П		Ситте, р.	109
И-2-3	Уголь бурый	П		Кенеме, р.	109
И-2-4	Уголь бурый	П		Чакая, р.	109
И-2-5	Уголь бурый	П		Кенеме, р.	109
И-3-1	Газ торфяной	П		Ханчалы, р.	77
И-3-2	Уголь бурый	П		Чакая, р.	109
И-3-3	Песок строительноый	ММ/З		Халы-Юрхское	109
И-3-4	Золото	П		Кенеме, р.	59, 109
И-3-5	Уголь бурый	П		Чукул, р.	109
И-4-1	Золото	П		Кенеме, р.	109
И-4-2	Линия керамзитовые	ММ/З		Никольское	109

Индекс квадрата и номер объекта	Полезное ископаемое	Характер* объекта		Название объекта или географическая привязка	Номер литературного источника
		объекта	промышленная освоенность		
III-4-3	Песок строительный	ММ/З	П	Диринг-Отете	119
III-4-4	Уголь бурый	ММ/З	П	Лена, р.	111
III-4-5	Песок строительный	ММ/З	П	Хомустасское	119
III-4-6	Уголь бурый	П	П	Кенкеме, р.	111
III-4-7	Уголь бурый	П	П	Кенкеме, р.	111
III-4-8	Уголь бурый	П	П	Кенкеме, р.	111
III-4-9	Уголь бурый	П	П	Кенкеме, р.	111
III-4-10	Уголь бурый	МС/Э	П	Кангаласское I	79
III-4-11	Глины кирпичные	ММ/З	П	Кангаласское II	126
III-4-12	Уголь бурый	П	П	Кенкеме, р.	109
III-4-13	Песчано-гравийный материал	ММ/Э	П	Кильдямское I	109
III-4-14	Суглинки кирпичные	ММ/З	П	Аласское	126
III-4-15	Песчано-гравийный материал	ММ/З	П	Тибитенэ-Юрехское	111
III-4-16	Уголь бурый	ММ/З	П	Кильдямское II	111
III-4-17	Уголь бурый	П	П	Кенкеме, р.	111
III-4-18	Уголь бурый	П	П	Лена, р.	111
III-4-19	Уголь бурый	П	П	Кенкеме, р.	109
III-4-20	Уголь бурый	П	П	Кенкеме, р.	109
III-4-21	Песок стекольный	ММ/З	П	Намсырское	109
III-4-22	Суглинки кирпичные	ММ/З	П	Намсырское I	111
III-4-23	Уголь бурый	П	П	Лена, р.	111
III-4-24	Песчано-гравийный материал	ММ/З	П	Мархинское I	109, 111
III-4-25	Уголь бурый	П	П	Лена, р.	109
III-4-26	Глины керамзитовые	МС/З	П	Мархинское II	126
III-4-27	Уголь бурый	П	П	Кенкеме, р.	109
III-4-28	Уголь бурый	П	П	Лена, р.	109
III-4-29	Песок строительный	ММ/З	П	Якутское	109
III-4-30	Суглинки кирпичные	ММ/Э	П	Сайсарское	89, 111
III-6-1	Газ горючий	П	П	Танда, р.	109
III-7-1	Уголь бурый	П	П	Танда, р.	109
III-7-2	Уголь каменный	П	П	Танда, р.	109
III-7-3	Глины керамзитовые	ММ/Э	П	Чурабинское	126
III-8-1	Глины кирпичные	ММ/НР	П	Чабылинское	89
III-8-2	Глины кирпичные	ММ/НР	П	Сосолохское	89
III-8-3	Уголь бурый	П	П	Татта, р.	98
III-8-4	Суглинки кирпичные	ММ/Э	П	Ытык-Кюельское I	89
III-8-5	Песчано-гравийный материал	ММ/НР	П	Ытык-Кюельское II	89
III-8-6	Уголь бурый	П	П	Татта, р.	98
III-8-7	Уголь бурый	П	П	Татта, р.	98
III-9-1	Уголь бурый	П	П	Амга, р.	98
III-9-2	Уголь каменный	ММ/З	П	Олоосойское	98
III-9-3	Уголь бурый	П	П	Амга, р.	98
III-9-4	Уголь каменный	ММ/З	П	Юта-Келюй	98
III-9-5	Уголь бурый	П	П	Амга, р.	98
III-9-6	Уголь каменный	ММ/З	П	Хайа-Кутуруа	98

Индекс квадрата и номер объекта	Полезное ископаемое	Характер* объекта		Название объекта или географическая привязка	Номер литературного источника
		объекта	промышленная освоенность		
III-9-7	Уголь бурый	П	П	Амга, р.	98
III-10-1	Суглинки кирпичные	ММ/З	П	Тассовое	89
III-10-2	Песчано-гравийный материал	ММ/Э	П	Дадагатын километр	98
III-10-3	Песчано-гравийный материал	ММ/З	П	Травинное	98
III-10-4	Уголь каменный	П	П	Амга, р.	98
III-10-5	Уголь каменный	П	П	Алдан, р.	98
III-10-6	Суглинки кирпичные	ММ/З	П	Кумах-Булунгское	89
III-10-7	Уголь каменный	П	П	Алдан, р.	98
III-10-8	Уголь каменный	П	П	Алдан, р.	98
III-10-9	Уголь каменный	П	П	Алдан, р.	98
III-10-10	Уголь каменный	П	П	Алдан, р.	98
III-10-11	Уголь каменный	П	П	Алдан, р.	98
III-10-12	Уголь каменный	П	П	Алдан, р.	98
III-10-13	Уголь каменный	МС/Э	П	Джеббарки-Хая I	11, 79
III-10-14	Уголь каменный	ММ/НР	П	Джеббарки-Хая II	98
III-10-15	Суглинки кирпичные	ММ/З	П	Джеббарки-Хая III	89
III-10-16	Песок строительный	ММ/З	П	Джеббарки-Хая IV	98
III-10-17	Уголь каменный	П	П	Алдан, р.	98
III-10-18	Уголь каменный	П	П	Алдан, р.	98
III-10-19	Уголь каменный	П	П	Алдан, р.	98
III-10-20	Уголь каменный	П	П	Алдан, р.	98
III-11-1	Уголь каменный	П	П	Тыры, р.	98
III-11-2	Уголь каменный	П	П	Тыры, р.	98
III-11-3	Уголь каменный	П	П	Алдан, р.	98
III-11-4	Уголь каменный	П	П	Алдан, р.	98
III-11-5	Уголь каменный	П	П	Алдан, р.	98
III-11-6	Уголь каменный	П	П	Алдан, р.	98
III-11-7	Уголь каменный	ММ/З	П	Недежа, II	98
III-11-8	Уголь каменный	П	П	Сулжа, р.	98
III-11-9	Уголь каменный	П	П	Сулжа, р.	98
III-11-10	Уголь каменный	ММ/З	П	Керби-Дуловое	11
III-12-1	Уголь каменный	П	П	Онегло, р.	70
III-12-2	Уголь каменный	П	П	Онегло, р.	70
III-12-3	Уголь каменный	П	П	Тыры, р.	70
III-12-4	Уголь каменный	П	П	Онегло, р.	118
III-12-5	Уголь каменный	П	П	Онегло, р.	70, 188
III-12-6	Уголь каменный	П	П	Тыры, р.	106
III-12-7	Уголь каменный	ММ(4)/В	П	Таборный, руч.	118
III-12-8	Золото	П	П	Тыры, р.	70
III-12-9	Золото	ПМ	П	Онегло, р.	70
III-12-10	Золото	П	П	Тыры, р.	106
III-12-11	Мраморы	ММ/НР	П	Тыры, р.	70
III-12-12	Золото	ММ(4)/В	П	Станиковый, руч.	88
III-12-13	Золото	ММ(4)/В	П	Долгучан, руч.	70
III-12-14	Золото	П	П	Онегло, р.	70
III-12-15	Медь	ПМ	П	Онегло, р.	70, 118

Индекс квадрата и номер объекта	Полезное ископаемое	Характер* объекта		Название объекта или географическая привязка	Номер лите-ратурного источника
		промышлен-ная освое-ность	ность		
III-12-16	Песчаник	ММ/НР		Тыры, р.	70
III-12-17	Золото	ПМ		Онегло, р.	118
III-12-18	Диабазы	ММ/НР		Тыры, р.	70
III-12-19	Золото	ММ(4)/В		Симдир-Хос, р.ч.	88, 118
III-12-20	Песчано-гравийный материал	ММ/НР		Тыры, р.	70
III-12-21	Золото	ПМ		Тыры, р.	70
III-12-22	Известняк	ММ/НР		Тыры, р.	70
III-12-23	Золото	ПМ		Тыры, р.	118
III-12-24	Золото	ПМ		Тыры, р.	106
III-12-25	Золото	ПМ		Тыры, р.	118
III-12-26	Золото	ПМ		Тыры, р.	118
III-12-27	Известняк	ММ/НР		Тыры, р.	70
III-12-28	Доломит	ММ/НР		Тыры, р.	70
III-12-29	Уголь каменный	ПМ		Суржа, р.	106
III-12-30	Ванадий	ПМ		Суржа, р.	106
III-12-31	Золото	ПМ		Тыры, р.	106
III-12-32	Свинца, цинк	ПМ		Суржа, р.	88
III-12-33	Флюорит	ПМ		Тыры, р.	70
III-12-34	Цинк	ПМ		Суржа, р.	88
III-12-35	Золото	ПМ		Тыры, р.	106
III-12-36	Золото	ПМ		Тыры, р.	106
III-12-37	Фосфорит	ПМ		Суржа, р.	70
III-12-38	Золото	ПМ		Тыры, р.	106
IV-3-1	Глины керамзитовые	ММ/З		Сасабытское	109
IV-3-2	Песок строительный	ММ/З		Сасабытское	109
IV-3-3	Сулгинки кирпичные	ММ/З		Аглахское	109
IV-3-4	Песок строительный	МС/З		Бестахское I	109
IV-3-5	Известняк	ММ/З		Сасабытское I	126
IV-3-6	Известняк	ММ/З		Бестахское II	109
IV-4-1	Песок строительный	ММ/З		Кюрьюнгэлэх	112
IV-4-2	Песок строительный	ММ/НР		Владимировское	126
IV-4-3	Глины керамзитовые	ММ/З		Владимировское	112
IV-4-4	Песок строительный	ММ/З		Владимировское	109
IV-4-5	Сулгинки кирпичные	ММ/З		Ой-Беское	109, 112
IV-4-6	Песок строительный	ММ/НР		Текторское	126
IV-4-7	Глины керамзитовые	ММ/З		Улаакское	126
IV-4-8	Глины керамзитовые	ММ/З		Сатыганское	126
IV-4-9	Песок строительный	ММ/З		Сатыганское	109, 126
IV-4-10	Сулгинки кирпичные	ММ/З		Покровское	126
IV-4-11	Известняк	МС/З		Лена, р.	109
IV-4-12	Известняк	ММ/З		Керемское	113
IV-4-13	Песчано-гравийный материал	ММ/З		Дюлотэнкэ	122
IV-4-14	Сулгинки кирпичные	ММ/НР		Сайзылское	113
IV-5-1	Сулгинки кирпичные	ММ/З		Маньское	109
IV-6-1	Грязь лечебные	ПМ		Абадах, пос.	109
IV-6-2	Железо, марганец	ПМ		Суола, р.	109
IV-10-1	Свинец	ПМ		Белая, р.	98

Индекс квадрата и номер объекта	Полезное ископаемое	Характер* объекта		Название объекта или географическая привязка	Номер лите-ратурного источника
		промышлен-ная освое-ность	ность		
IV-10-2	Медь	ПМ		Белая, р.	98
IV-10-3	Медь	ПМ		Белая, р.	98
IV-10-4	Свинец, цинк	ПМ		Белая, р.	98
IV-10-5	Свинец, цинк	ПМ		Агдан, р.	98
IV-10-6	Медь	ПМ		Агдан, р.	98
IV-10-7	Золото	ПМ		Агдан, р.	131
IV-10-8	Алюминий	ПМ		Агдан, р.	88
IV-10-9	Доломит	ММ/З		Белореченское	88
IV-10-10	Песчаник	ММ/З		Агдан, р.	131
IV-10-11	Барит	ПМ		Агдан, р.	88
IV-10-12	Свинец, цинк	ПМ		Агдан, р.	127
IV-10-13	Железо	ПМ		Агдан, р.	98
IV-10-14	Свинец	ПМ		Керби, р.	88
IV-10-15	Фосфорит	ПМ		Керби, р.	88
IV-10-16	Свинец, цинк	ПМ		Агдан, р.	98
IV-10-17	Известняк	МС/З		Агдан, р.	88
IV-11-1	Медь	ПМ		Суржа, р.	71
IV-11-2	Медь	ПМ		Керби, р.	71
IV-11-3	Свинец, цинк	ПМ		Белая, р.	71
IV-11-4	Свинец, цинк	ПМ		Белая, р.	71
IV-11-5	Медь	ПМ		Мугула, р.	71
IV-11-6	Свинец, цинк	ПМ		Мугула, р.	71
IV-11-7	Медь	ПМ		Мугула, р.	117
IV-11-8	Свинец, цинк	ПМ		Белая, р.	71
IV-11-9	Золото	ПМ		Белая, р.	71
IV-11-10	Медь	ПМ		Белая, р.	71
IV-11-11	Флюорит	ПМ		Мугула, р.	71
IV-11-12	Фосфорит	ПМ		Мугула, р.	71, 116
IV-11-13	Цинк	ПМ		Белая, р.	117
IV-11-14	Барит	ПМ		Мугула, р.	71
IV-11-15	Медь	ПМ		Мугула, р.	71
IV-11-16	Железо, марганец	ПМ		Белая, р.	117
IV-11-17	Флюорит	ПМ		Белая, р.	116
IV-11-18	Фосфорит	ПМ		Белая, р.	71, 116
IV-11-19	Барит	ПМ		Белая, р.	71
IV-11-20	Свинец, цинк	ПМ		Белая, р.	117
IV-11-21	Медь	ПМ		Белая, р.	117
IV-11-22	Железо, марганец	ПМ		Белая, р.	117
IV-11-23	Медь	ПМ		Белая, р.	117
IV-11-24	Флюорит	ПМ		Белая, р.	116
IV-11-25	Медь	ПМ		Белая, р.	71
IV-11-26	Барит	ПМ		Белая, р.	117
IV-11-27	Медь	ПМ		Керби, р.	117
IV-11-28	Медь	ПМ		Белая, р.	117
IV-11-29	Свинец, цинк	ПМ		Керби, р.	117
IV-11-30	Железо, марганец	ПМ		Белая, р.	117
IV-12-1	Золото	ПМ		Суржа, р.	88
IV-12-2	Золото	ПМ		Тыры, р.	72
IV-12-3	Золото	ПМ		Тыры, р.	72

Индекс квadrата и номер объекта	Полезное ископаемое	Характер* объекта		Название объекта или географическая привязка	Номер лите- ратурного источника
		промышлен- ная освое- нность	освоен- ность		
IV-12-4	Золото	П		Тыры, р.	72
IV-12-5	Золото	П		Тыры, р.	72
IV-12-6	Золото	П		Тыры, р.	72
IV-12-7	Золото	П		Тыры, р.	72
IV-12-8	Медь	ПМ		Суржа, р.	88
IV-12-9	Медь	ПМ		Суржа, р.	88
IV-12-10	Золото	П		Тыры, р.	72
IV-12-11	Золото	ПМ		Суржа, р.	88
IV-12-12	Фосфорит	П		Суржа, р.	100
IV-12-13	Медь	ПМ		Мутула, р.	88
IV-12-14	Золото	ПМ		Суржа, р.	88
IV-12-15	Золото	ПМ		Суржа, р.	88
IV-12-16	Медь	ПМ		Мутула, р.	88
IV-12-17	Золото	ПМ		Мутула, р.	88
IV-12-18	Золото	ПМ		Мутула, р.	88
IV-12-19	Золото	ПМ		Бурхала, р.	88
IV-12-20	Золото	ПМ		Мутула, р.	88
IV-12-21	Золото	П		Бурхала, р.	117
IV-12-22	Медь	П		Бурхала, р.	72
IV-12-23	Свинец, цинк	П		Мутула, р.	117
IV-12-24	Свинец, цинк	ПМ		Мутула, р.	117
IV-12-25	Золото	ПМ		Белая, р.	117
IV-12-26	Золото	П		Бурхала, р.	117
IV-12-27	Свинец, цинк	ПМ		Белая, р.	117
IV-12-28	Золото	П		Мутула, р.	117
IV-12-29	Золото	П		Бурхала, р.	117
IV-12-30	Свинец, цинк	П		Бурхала, р.	72
IV-12-31	Свинец, цинк	ПМ		Белая, р.	117
IV-12-32	Золото	П		Белая, р.	117
IV-12-33	Золото	П		Бурхала, р.	117
IV-12-34	Золото	П		Бурхала, р.	72
IV-12-35	Золото	П		Бурхала, р.	72
IV-12-36	Свинец, цинк	ПМ		Бурхала, р.	117
IV-12-37	Золото	П		Белая, р.	117
IV-12-38	Мраморы	П		Белая, р.	117
IV-12-39	Золото	ПМ		Белая, р.	117
IV-12-40	Золото	ПМ		Белая, р.	117
IV-12-41	Золото	П		Бурхала, р.	117
IV-12-42	Свинец, цинк	ПМ		Белая, р.	117
IV-12-43	Золото	ПМ		Белая, р.	117
IV-12-44	Барит	ПМ		Белая, р.	72
IV-12-45	Цинк	ПМ		Белая, р.	117
IV-12-46	Медь	ПМ		Белая, р.	131
IV-12-47	Золото	П		Белая, р.	72
IV-12-48	Золото	П		Белая, р.	117
IV-12-49	Золото	П		Белая, р.	72
IV-12-50	Золото	П		Белая, р.	131
IV-12-51	Медь	ПМ		Сетанья, р.уч.	72
IV-12-52	Золото	ММ(4)/В		Белая, р.	131
		ММ(4)/В		Золотой, р.уч.	72

Индекс квadrата и номер объекта	Полезное ископаемое	Характер* объекта		Название объекта или географическая привязка	Номер лите- ратурного источника
		промышлен- ная освое- нность	освоен- ность		
IV-12-53	Золото	П		Белая, р.	72
IV-12-54	Золото	ММ(4)/В		Светлый, р.уч.	72
IV-12-55	Золото	П		Белая, р.	72
IV-12-56	Золото	П		Белая, р.	72
IV-12-57	Золото	ММ(4)/В		Петка, р.уч.	72
IV-12-58	Золото	П		Белая, р.	72
IV-12-59	Золото	П		Белая, р.	72
IV-12-60	Золото	ММ(4)/В		Арында, р.уч.	72
IV-12-61	Золото	П		Белая, р.	72
IV-12-62	Золото	П		Белая, р.	72
V-1-1	Сланец порphyи	П		Синяя, р.	139
V-2-1	Свинец	П		Дена, р.	109
V-2-2	Марганец	ПМ		Дена, р.	109
V-2-3	Свинец	П		Дена, р.	109
V-2-4	Сланец порphyи	П		Дена, р.	109
V-3-1	Сулфинки кирпичные	ММ/З		Петровское	109
V-3-2	Песчано-гравийный материал	ММ/З		Булуняхтаское	114
V-3-3	Известняк	МК/Э		Дорожинское	114
V-3-4	Доломит	ММ/З		Еланское	114
V-3-5	Песок строительный	МК/НР		Денское	114
V-3-6	Известняк	МС/НР		Усть-Ботомское I	114
V-3-7	Песчано-гравийный материал	ММ/НР		Усть-Ботомское II	114
V-3-8	Железо, марганец	П		Ботома, р.	114
V-3-9	Железо, марганец	ММ(5)/З		Усть-Ботомское III	114
V-3-10	Железо, марганец	П		Ботома, р.	109
V-3-11	Железо, марганец	ММ(5)/З		Ботомское II	109
V-3-12	Железо, марганец	П		Ботома, р.	109
V-3-13	Золото	ПМ		Ботома, р.	109
V-3-14	Доломит	МК/З		Ботомское	114
V-3-15	Известняк	МК/НР		Ботомское	114
V-3-16	Железо, марганец	ММ(5)/З		Синзайчинское	109
V-3-17	Известняк	ММ/З		Ботомское I	109
V-3-18	Железо, марганец	П		Выснт-Юрвах	122
V-3-19	Железо, марганец	ПМ		Ботома, р.	109
V-3-20	Марганец	ПМ		Лютенге, р.	109
V-3-21	Золото	ПМ		Кучола, р.	114
V-3-22	Железо, марганец	ПМ		Кучола, р.	109
V-3-23	Железо, марганец	ПМ		Лютенге, р.	114
V-3-24	Железо, марганец	П		Кучола, р.	109
V-3-25	Золото	ПМ		Лютенге, р.	109
V-3-26	Железо, марганец	ПМ		Мундуруччу, р.	109
V-3-27	Доломит	ММ/З		Мундуруччу, р.	109
V-3-28	Золото	ПМ		Мундуруччу, р.	109
V-3-29	Железо, марганец	ПМ		Хайсардах, пос.	109
V-4-1	Железо, марганец	ММ(5)/З		Мундуруччу, р.	109
V-4-2	Железо, марганец	П		Лютенгское	98
V-4-3	Железо, марганец	ПМ		Джангыл, р.	98
				Менда, р.	98

Индекс квадрата и номер объекта	Полезное ископаемое	Характер* объекта		Название объекта или географическая привязка	Номер лите-ратурного источника
		объекта	промышлен-ная освое-ность		
V-4-4	Железо, марганец	П		Лютенге, р.	98
V-4-5	Железо, марганец	П		Лютенге, р.	98
V-4-6	Железо, марганец	П		Лютенге, р.	98
V-4-7	Железо, марганец	П		Лютенге, р.	98
V-4-8	Железо, марганец	П		Лютенге, р.	98
V-4-9	Железо, марганец	П		Лютенге, р.	98
V-5-1	Железо, марганец	ПМ		Менда, р.	98
V-6-1	Сулгинки кирпичные	ММ/З		Амгинское	98
V-6-2	Нефть	П		Амга, р.	87, 98
V-6-3	Песчано-гравийный материал	ММ/З		Улакхан-Торголдунское	98
V-6-4	Песок строительный	ММ/З		Улакхан-Торголдунское	98
V-6-5	Сулгинки кирпичные	МС/НР		Покровкинское I	98
V-6-6	Известняк	МС/НР		Покровкинское II	98
V-10-1	Железо, марганец	П		Алдан, р.	127
V-10-2	Свинец, цинк	ПМ		Керби, р.	127
V-10-3	Железо, марганец	ПМ		Алдан, р.	127
V-10-4	Железо, марганец	ПМ		Алдан, р.	88
V-10-5	Свинец, цинк	ПМ		Алдан, р.	88
V-10-6	Железо, марганец	ПМ		Алдан, р.	127
V-10-7	Свинец, цинк	ПМ		Керби, р.	127
V-10-8	Железо, марганец	ПМ		Алдан, р.	88
V-10-9	Алюминий	ПМ		Алдан, р.	127
V-10-10	Железо, марганец	П		Алдан, р.	127
V-10-11	Железо, марганец	ПМ		Алдан, р.	88
V-10-12	Алюминий	ПМ		Алдан, р.	88
V-10-13	Песчаник	МК/З		Алдан, р.	131
V-10-14	Свинец, цинк	П		Джонекян, р.	88
V-10-15	Свинец, цинк	ПМ		Джонекян, р.	88
V-10-16	Железо, марганец	ПМ		Джонекян, р.	88
V-11-1	Свинец, цинк	ПМ		Алдан, р.	98
V-11-2	Свинец	ПМ		Белая, р.	73
V-11-3	Алюминий	П		Белая, р.	117
V-11-4	Свинец, цинк	П		Белая, р.	141
V-11-5	Медь	П		Керби, р.	117
V-11-6	Золото	ПМ		Керби, р.	73
V-11-7	Фосфорит	ПМ		Керби, р.	73
V-11-8	Медь	П		Керби, р.	73
V-11-9	Цинк	ПМ		Чухоной, р.	73
V-11-10	Медь	ПМ		Чухоной, р.	73
V-11-11	Свинец, цинк	ПМ		Чухоной, р.	117
V-11-12	Золото	ПМ		Чухоной, р.	117
V-11-13	Свинец	ПМ		Чухоной, р.	73
V-11-14	Свинец	ПМ		Чухоной, р.	73
V-11-15	Барит	ПМ		Чухоной, р.	73
V-11-16	Доломит	МК/НР		Чухоной, р.	117
V-11-17	Свинец	ПМ		Чухоной, р.	141
V-11-18	Медь	ПМ		Чухоной, р.	73
V-11-19	Золото	ПМ		Чухоной, р.	117
	Цинк	ПМ		Джорону, р.	117

Индекс квадрата и номер объекта	Полезное ископаемое	Характер* объекта		Название объекта или географическая привязка	Номер лите-ратурного источника
		объекта	промышлен-ная освое-ность		
V-11-20	Цинк	ПМ		Джорону, р.	73
V-11-21	Медь	ПМ		Джорону, р.	73
V-11-22	Цинк	ПМ		Джорону, р.	73
V-11-23	Золото	ПМ		Джорону, р.	73
V-11-24	Медь	ПМ		Джорону, р.	73
V-11-25	Фосфорит	ПМ		Джонекян, р.	73
V-11-26	Медь	ПМ		Джонекян, р.	88
V-11-27	Золото	ПМ		Джорону, р.	73
V-11-28	Золото	ПМ		Сахара, р.	73
V-11-29	Свинец, цинк	П		Джонекян, р.	82
V-11-30	Алюминий	ПМ		Акра, р.	73
V-11-31	Известняк	МС/З		Эльдиканское	73
V-11-32	Цинк	ПМ		Акра, р.	73
V-11-33	Свинец, цинк	ПМ		Акра, р.	82
V-11-34	Медь	ПМ		Акра, р.	73
V-11-35	Фосфорит	ПМ		Акра, р.	73
V-11-36	Ванадий	П		Акра, р.	73
V-11-37	Цинк	ПМ		Сахара, р.	73
V-11-38	Золото	ПМ		Джонекян, р.	73
V-11-39	Свинец, цинк	ПМ		Джонекян, р.	73
V-11-40	Свинец, цинк	ПМ		Сахара, р.	73
V-12-1	Золото	ПМ		Сахара, р.	74
V-12-2	Медь	ПМ		Белая, р.	74
V-12-3	Ванадий	ПМ		Белая, р.	74
V-12-4	Золото	ММ(4)/В		Белая, р.	74
V-12-5	Медь	ПМ		Белая, р.	117
V-12-6	Золото	ПМ		Белая, р.	74
V-12-7	Золото	ПМ		Белая, р.	74
V-12-8	Золото	ПМ		Белая, р.	74
V-12-9	Барит	ПМ		Белая, р.	74
V-12-10	Золото	П		Белая, р.	110
V-12-11	Медь	П		Белая, р.	117
V-12-12	Золото	П		Белая, р.	74
V-12-13	Флюорит	П		Белая, р.	117
V-12-14	Золото	ММ(4)/В		Ср. Оночадах, р.	74
V-12-15	Золото	П		Белая, р.	117
V-12-16	Золото	ММ(2)/Н		Белая, р.	74, 100
V-12-17	Медь	ПМ		Оночадах	117
V-12-18	Золото	ММ(4)/В		Чухоной, р.	74
V-12-19	Золото	ММ(4)/В		Станья, р.	74
V-12-20	Золото	ММ(4)/В		Станья, р.	74
V-12-21	Золото	ПМ		От-Юрвах, р.	74
V-12-22	Золото	ПМ		Белая, р.	74
V-12-23	Медь	ПМ		Белая, р.	74
V-12-24	Медь	ПМ		Белая, р.	117
V-12-25	Золото	П		Чухоной, р.	117
V-12-26	Золото	ММ(2)/З		Белая, р.	74
V-12-27	Медь	ПМ		Буларское	74, 110
V-12-28	Золото	П		Чухоной, р.	117
		П		Белая, р.	74

Индекс квадрата и номер объекта	Полезное ископаемое	Характер* объекта		Название объекта или географическая привязка	Номер литературного источника
		промышленная освоенность	освоенность		
V-12-29	Золото	ММ(4)/Э		Холун-Юрх, р.уч.	74
V-12-30	Барит	ПМ		Чухоной, р.	74
V-12-31	Золото	ПМ		Белая, р.	74
V-12-32	Золото	ММ(4)/В		Селгах, р.уч.	74
V-12-33	Мель	ПМ		Чухоной, р.	117
V-12-34	Цинк	ПМ		Чухоной, р.	117
V-12-35	Мель	ПМ		Чухоной, р.	117
V-12-36	Золото	ММ(4)/Э		Хочуджкан, р.уч.	74
V-12-37	Золото	ПМ		Белая, р.	74
V-12-38	Золото	ПМ		Сахара, р.	74
V-12-39	Золото	ПМ		Чухоной, р.	74
V-12-40	Золото	ММ(4)/В		Бакая, р.уч.	117
V-12-41	Железо	ММ(4)/В		Джоронц, р.	74
V-12-42	Золото	ПМ		Батылы, р.уч.	82
V-12-43	Золото	ММ(4)/Э		Алгах-Юнь, р.	74
V-12-44	Золото	ММ(4)/Н		Алгах-Юнь, р.	74
V-12-45	Золото	ММ(4)/Н		Золотой, р.уч.	74
V-12-46	Золото	ПМ		Алгах-Юнь, р.	74
V-12-47	Золото	ММ(4)/В		Телкинджес, р.уч.	74
V-12-48	Золото	ПМ		Алгах-Юнь, р.	74
V-12-49	Тантал, ниобий	ММ(4)/В		Одниковий, р.уч.	74
V-12-50	Золото	ММ(4)/В		Сахара, р.	82
V-12-51	Свинц, цинк	ММ(4)/В		Силур, р.уч.	82
V-12-52	Золото	ПМ		Акра, р.	82
V-12-53	Золото	ММ(4)/Э		Пауг, р.уч.	74
V-12-54	Тантал, ниобий	ПМ		Сахара, р.	82
V-12-55	Алюминий	ММ(1)/Э		Гек	74
V-12-56	Свинц, цинк	ПМ		Сахара, р.	74
V-12-57	Золото	ММ(4)/Э		Сахара, р.	82
V-12-58	Золото	ПМ		Чаглыс, р.уч.	74
V-12-59	Мель	ПМ		Сахара, р.	74
V-12-60	Золото	ММ(4)/В		Широкитй, р.уч.	74
V-12-61	Золото	ММ(4)/В		Алгах-Юнь, р.	74
V-12-62	Золото	ММ(4)/В		Ниж. Сулакк, р.уч.	74
V-12-63	Мель	ММ(4)/Э		Сахара, р.	74
V-1-1	Золото	ПМ		Ботом, р.	82
V-1-2	Тантал, ниобий	ПМ		Ботом, р.	85
V-1-3	Цинк	ПМ		Арбай-Наглакк, р.	85
V-1-4	Золото	ПМ		Кюнкк, р.	85
V-1-5	Золото	ПМ		Кюнкк, р.	85
V-1-6	Цинк	ПМ		Арбай-Наглакк, р.	85
V-1-7	Тантал, ниобий	ПМ		Кюнкк, р.	85
V-1-8	Цинк	ОЛ		Арбай-Наглакк, р. Ботом—Кюнкк, меж- дурече	85
V-1-9	Молибден	ОЛ		Кюнкк, бассейн	85
V-1-2-1	Цинк	ОЛ		Сылтыльыр, р.	85
V-1-2-2	Цинк	ПМ		Улу, р.	85
V-1-2-3	Золото	ПМ		Кырбыкан, р.	85
V-1-2-4	Мель	ПМ		Кырбыкан, р.	85

Индекс квадрата и номер объекта	Полезное ископаемое	Характер* объекта		Название объекта или географическая привязка	Номер литературного источника
		промышленная освоенность	освоенность		
V-1-2-5	Доломит	ММ/Э		Улу	122
V-1-2-6	Мель	ОЛ		Хары-Юрх-Улу, во- дороден	85
V-1-2-7	Золото	ОЛ		Улу, р., правобережье	85
V-1-2-8	Мель	ПМ		Кырбыкан, р.	85
V-1-2-9	Мель	ОЛ		Кырбыкан, р., левобережье	85
V-1-2-10	Золото	ОЛ		Улу, р., правобережье	85
V-1-2-11	Доломит	ММ/Э		Кыбжкан	122
V-1-5-1	Золото	ПМ		Амга, р.	85
V-1-5-2	Золото	ПМ		Амга, р.	85
V-1-5-3	Золото	ПМ		Амга, р.	85
V-1-6-1	Золото	ПМ		Амга, р.	85
V-1-9-1	Суглинки кирпичные	ММ/Э		Усть-Майккес	89
V-1-9-2	Железо, марганец	П		Мая, р.	98
V-1-9-3	Железо, марганец	П		Мая, р.	98
V-1-9-4	Железо, марганец	П		Мая, р.	98
V-1-9-5	Железо, марганец	П		Мая, р.	98
V-1-9-6	Железо, марганец	П		Мая, р.	98
V-1-1-1	Свинц, цинк	П		Сахара, р.	132
V-1-1-2	Мель	ПМ		Сахара, р.	75
V-1-1-3	Свинц, цинк	ПМ		Сахара, р.	132
V-1-1-4	Цинк	ПМ		Алгах-Юнь, р.	75
V-1-1-5	Свинц	ПМ		Алгах-Юнь, р.	75
V-1-1-6	Мель	ПМ		Алгах-Юнь, р.	75
V-1-1-7	Флюорит	ПМ		Алгах-Юнь, р.	75
V-1-1-8	Свинц, цинк	П		Алгах-Юнь, р.	132
V-1-1-9	Мель	ПМ		Алгах-Юнь, р.	75
V-1-1-10	Фосфорит	ПМ		Алгах-Юнь, р.	75
V-1-1-11	Свинц, цинк	ПМ		Алгах-Юнь, р.	75
V-1-1-12	Свинц, цинк	ПМ		Алгах-Юнь, р.	75
V-1-1-13	Мель	ПМ		Алгах-Юнь, р.	75
V-1-1-14	Свинц, цинк	ПМ		Алгах-Юнь, р.	132
V-1-1-15	Свинц, цинк	ПМ		Алгах-Юнь, р.	75
V-1-1-16	Цинк	ПМ		Алгах-Юнь, р.	75
V-1-1-17	Цинк	ПМ		Алгах-Юнь, р.	75
V-1-1-18	Мель	ПМ		Алгах-Юнь, р.	75
V-1-1-19	Цинк	ПМ		Алгах-Юнь, р.	75
V-1-1-20	Свинц, цинк	ПМ		Алгах-Юнь, р.	75
V-1-1-21	Свинц, цинк	ПМ		Алгах-Юнь, р.	132
V-1-1-22	Свинц, цинк	ПМ		Алгах-Юнь, р.	75
V-1-1-23	Свинц, цинк	ПМ		Алгах-Юнь, р.	75
V-1-1-24	Золото	ПМ		Перевальное	75
V-1-1-25	Свинц, цинк	П		Хамна, р.	75
V-1-1-26	Цинк	ПМ		Хамна, р.	75
V-1-1-27	Свинц, цинк	МК(3)/Э		Хамна, р.	75
V-1-1-28	Свинц, цинк	П		Сардана	75
V-1-1-29	Золото	ПМ		Хамна, р.	75
V-1-12-1	Алюминий	П		Хамна, р. Сахара, р.	76

Индекс квартала и номер объекта	Полезное ископаемое	Характер* объекта		Название объекта или географическая привязка	Номер лите- ратурного источника
		промышлен- ная освое- нность	на освоен- ность		
VI-12-2	Тантал, ниобий	ПМ		Агдлах-Юнь, р.	76
VI-12-3	Медь	П		Сахара, р.	76
VI-12-4	Тантал, ниобий	МК(1)/3		Поворотный	76
VI-12-5	Золото	ММ(4)/В		Ударник, руч.	76
VI-12-6	Золото	ММ(4)/В		Кулаха, руч.	76
VI-12-7	Известняк	ММ/3		Сахара, р.	76
VI-12-8	Тантал, ниобий	ПМ		Агдлах-Юнь, р.	76
VI-12-9	Золото	ММ(4)/В		Агдлах-Юнь, р.	76
VI-12-10	Золото	ПМ		Каверзаний, руч.	76
VI-12-11	Флюорит	ПМ		Сахара, р.	76
VI-12-12	Тантал, ниобий	П		Сахара, р.	76
VI-12-13	Золото	ММ(4)/В		Курунг, руч.	76
VI-12-14	Золото	ММ(4)/В		Самыыр, руч.	76
VI-12-15	Золото	ММ(4)/В		Мелвезкий, руч.	76
VI-12-16	Золото	ММ(4)/В		Сахара, р.	76
VI-12-17	Тантал, ниобий	П		Агдлах-Юнь, р.	76
VI-12-18	Тантал, ниобий	ММ(4)/Н		Агдлах-Юнь, р.	76
VI-12-19	Золото	П		Сахара, р.	76
VI-12-20	Тантал, ниобий	ММ(4)/В		Таях, руч.	76
VI-12-21	Золото	ММ(4)/В		Агдлах-Юнь, р.	76
VI-12-22	Глины кирпичные	ММ/3		Сахара, р.	76
VI-12-23	Известняк	ММ/НР		Минор, руч.	76
VI-12-24	Золото	ММ(4)/В		Слу чайный, руч.	76
VI-12-25	Золото	ММ(4)/В		Агдлах-Юнь, р.	76
VI-12-26	Золото	П		Агдлах-Юнь, р.	76
VI-12-27	Золото	ПМ		Агдлах-Юнь, р.	76
VI-12-28	Медь	ПМ		Агдлах-Юнь, р.	132
VI-12-29	Золото	ПМ		Агдлах-Юнь, р.	76
VI-12-30	Медь	П		Агдлах-Юнь, р.	76
VI-12-31	Цинк	ПМ		Сахара, р.	133
VI-12-32	Золото	ММ(4)/В		Агдлах-Юнь, р.	132
VI-12-33	Золото	ПМ		Верный, руч.	76
VI-12-34	Свинец, цинк	ПМ		Агдлах-Юнь, р.	76
VI-12-35	Доломит	МС/3		Агдлах-Юнь, р.	133
VI-12-36	Золото	МС/3		Агдлах-Юнь, р.	76
VI-12-37	Медь	ПМ		Агдлах-Юнь, р.	76
VI-12-38	Глины керамзитовые	МС/3		Агдлах-Юнь, р.	133
VI-12-39	Медь	ПМ		Агдлах-Юнь, р.	76
VI-12-40	Золото	ПМ		Агдлах-Юнь, р.	133
VI-12-41	Золото	ПМ		Агдлах-Юнь, р.	76
VI-12-42	Золото	ММ(4)/В		Коро, руч.	76
VI-12-43	Золото	ПМ		Агдлах-Юнь, р.	76
VI-12-44	Золото	ПМ		Агдлах-Юнь, р.	76
VI-12-45	Золото	ПМ		Агдлах-Юнь, р.	76
VI-12-46	Золото	П		Агдлах-Юнь, р.	76
VI-12-47	Золото	П		Агдлах-Юнь, р.	76
VI-12-48	Золото	ПМ		Агдлах-Юнь, р.	76, 115
VI-12-49	Медь	ПМ		Агдлах-Юнь, р.	76
VI-12-50	Золото	ПМ		Агдлах-Юнь, р.	133

Индекс квартала и номер объекта	Полезное ископаемое	Характер* объекта		Название объекта или географическая привязка	Номер лите- ратурного источника
		промышлен- ная освое- нность	на освоен- ность		
VI-12-51	Золото	ПМ		Агдлах-Юнь, р.	76
VI-12-52	Золото	ПМ		Агдлах-Юнь, р.	76
VI-12-53	Золото	ПМ		Агдлах-Юнь, р.	76
VI-12-54	Золото	ПМ		Агдлах-Юнь, р.	76
VI-12-55	Золото	ПМ		Бам, р.	76
VI-12-56	Золото	ММ(4)/В		Гореший, руч.	76
VI-12-57	Золото	ММ(4)/В		Заря, руч.	76
VI-12-58	Золото	П		Агдлах-Юнь, р.	76
VI-12-59	Золото	ПМ		Агдлах-Юнь, р.	76
VI-12-60	Золото	ПМ		Агдлах-Юнь, р.	76
VI-12-61	Золото	П		Бам, р.	76
VI-12-62	Золото	ПМ		Бам, р.	76
VI-12-63	Золото	ММ(2)/3		Маринское	76, 115
VI-12-64	Золото	ПМ		Агдлах-Юнь, р.	76
VI-12-65	Золото	ММ(4)/В		Мар, руч.	76
VI-12-66	Золото	ММ(4)/В		Агдлах-Юнь, р.	76
VI-12-67	Золото	ПМ		Агдлах-Юнь, р.	76
VI-12-68	Золото	ММ(4)/3		Выньчан, руч.	76
VI-12-69	Золото	ММ(4)/В		Том, руч.	76
VI-12-70	Медь	ПМ		Агдлах-Юнь, р.	133
VI-12-71	Золото	ПМ		Агдлах-Юнь, р.	76
VI-12-72	Медь	ПМ		Агдлах-Юнь, р.	76
VI-12-73	Золото	ПМ		Агдлах-Юнь, р.	133
VI-12-74	Золото	ПМ		Агдлах-Юнь, р.	133
VI-12-75	Золото	ПМ		Агдлах-Юнь, р.	76
VI-12-76	Свинец, цинк	П		Агдлах-Юнь, р.	76
VI-12-77	Медь	ПМ		Агдлах-Юнь, р.	133
VI-12-78	Медь	ПМ		Агдлах-Юнь, р.	133
VI-12-79	Золото	ПМ		Агдлах-Юнь, р.	76
VI-12-80	Золото	ПМ		Агдлах-Юнь, р.	76
VI-12-81	Золото	ПМ		Агдлах-Юнь, р.	76
VI-12-82	Золото	ПМ		Агдлах-Юнь, р.	76
VI-12-83	Медь	ПМ		Агдлах-Юнь, р.	76
VI-12-84	Свинец, цинк	ПМ		Агдлах-Юнь, р.	133
VI-12-85	Золото	ПМ		Агдлах-Юнь, р.	133
VI-12-86	Золото	П		Бам, р.	76
VI-12-87	Золото	ПМ		Бам, р.	76
VI-12-88	Золото	П		Агдлах-Юнь, р.	76
VI-12-89	Золото	П		Бам, р.	76
VI-12-90	Золото	ПМ		Бам, р.	76
VI-12-91	Золото	ММ(4)/В		Бам, р.	76
VI-12-92	Медь	ПМ		Агдлах-Юнь, р.	76
VI-12-93	Золото	ПМ		Бам, р.	76
VI-12-94	Золото	ПМ		Агдлах-Юнь, р.	76
VI-12-95	Золото	П		Бам, р.	76
VI-12-96	Медь	ПМ		Бам, р.	133
VI-12-97	Золото	ММ(4)/В		Агдлах-Юнь, р.	76
VI-12-98	Золото	ПМ		Бам, р.	76
VI-12-99	Барит	ПМ		Агдлах-Юнь, р.	133

Индекс квадрата и номера объекта	Полезное ископаемое	Характер* объекта	Название объекта или географическая привязка	Номер литературного источника
VI-12-100	Золото	ММ(4)/В	Вилка, руч.	76
VI-12-101	Диабазы	МС/З	Аглах-Юнь, р.	76
VI-12-102	Золото	ПМ	Бам, р.	76, 95
VI-12-103	Глины кирпичные	ММ/З	Бам, р.	76
VI-12-104	Золото	ММ(4)/В	Бурдугунджа, руч.	76
VI-12-105	Золото	ПМ	Бам, р.	76
VI-12-106	Золото	П	Бам, р.	76
VI-12-107	Золото	ММ(2)/З	Некур	76, 115
VI-12-108	Золото	П	Бам, р.	76
VI-12-109	Золото	ПМ	Бам, р.	76
VI-12-110	Золото	П	Бридаки, пос.	90
VI-12-111	Золото	П	Аглах-Юнь, р.	76
VI-12-112	Золото	ПМ	Бам, р.	76
VI-12-113	Золото	ПМ	Бам, р.	90
VI-12-114	Цинк	ПМ	Аглах-Юнь, р.	133
VI-12-115	Золото	П	Бам, р.	90
VI-12-116	Золото	МС(2)/Н	Фин	76, 90, 115
VI-12-117	Золото	П	Бам, р.	90

СПИСОК ЛИТЕРАТУРЫ

Оублицованная

1. *Абрамов Б. С.* Биостратиграфия каменноугольных отложений Сетте-Дабана (Южное Верхоянье). М., Наука, 1970. 178 с.
2. *Алексеев М. Н., Гутерман Р. Е., Дубово И. А.* Местонахождение фауны триасового комплекса на р. Вилно (Восточная Сибирь). — В кн.: Геология и фауна нижнего и среднего плейстоцена Европы. М., Наука, 1972, с. 240—244.
3. *Андрианов В. Н.* Верхнепалеозойские отложения Западного Верхоянья. М., Наука, 1966. 130 с.
4. *Аршинов Ю. В.* Стратиграфия триасовых отложений Восточной Якутии. Якутск. кн. изд-во, 1974. 270 с.
5. *Белый В. Ф.* Формации и тектоника Охотско-Чукотского вулканического пояса. М., Наука, 1978. 148 с.
6. *Биджиев Р. А., Нампов Л. М.* Новые данные о геологическом строении Нижнеазиатской впадины. — Геология и геофизика, 1966, № 12, с. 48—55.
7. Биостратиграфия верхнего ордовика Северо-Востока СССР/Авт.: *Розман Х. С., Иванова В. А., Красилова И. Н.* и др. М., Наука, 1970. 230 с.
8. Возраст мраматазма антиклинория Сетте-Дабан по радиологическим данным (Восточная Якутия). — В кн.: Геологическая интерпретация данных геохронологии/Авт.: *Войткевич Г. В., Волкова И. П., Кожин А. В.* и др. Иркутск, 1977, с. 18—19.
9. *Волжская К. Н., Далингов Ю. Я., Хайникова К. Б.* Орловки и сигур Южного Верхоянья (биостратиграфия и палеонтология). М., Наука, 1978. 220 с.
10. Геологическое строение СССР и закономерности размещения полезных ископаемых. Т. 4. Сибирская платформа. Л., Недра, 1985. 448 с.
11. Геология месторождений угля и торфяных сланцев СССР. Т. 9, кн. 2. Якутская АССР. М., Недра, 1973. 399 с.
12. Геология нефти и газа Сибирской платформы/Авт.: *Анциферов А. С., Басин В. Е., Варламов И. П.* и др. М., Недра, 1981. 550 с.
13. Геология СССР. Т. XVIII. Западная часть Якутской АССР. М., Недра, 1970. 535 с.
14. Геология СССР. Т. XXX. Северо-Восток СССР. М., Недра, 1970. 547 с.
15. Геология Якутской АССР. М., Недра, 1981. 300 с.
16. Геологическая АССР. Т. 20. Якутская АССР. М., Недра, 1976. 384 с.
17. Глубинное строение восточной части Сибирской платформы и прилегающих складчатых сооружений Верхояньо-Чукотской области/Авт.: *Мокшанцев К. Б., Горшечный Д. К., Гудков А. А.* и др. М., Наука, 1968. 172 с.
18. *Гусев Г. С.* Структура и эволюция земной коры Якутии. М., Наука, 1985. 248 с.
19. *Давыдов Ю. В., Колосов П. Н., Адашева В. И.* Стратиграфический разрез верхнего докембрия Мокуйской скажины. — Бюл. НТИ. Якутск, 1982, с. 15—24.
20. *Ермакова С. Л., Тарасов С. Д.* Литостратиграфия триаса севера Восточного Верхоянья (Доклад на 4-м Межведомственном региональном совещании по докембрию—неогену). Препринт ЯНЦ СО АН СССР. Якутск, 1991. 34 с.
21. *Зоненшайн Л. П., Кузьмин М. И., Нампов Л. М.* Тектоника литосферных плит территории СССР. Кн. 2. М., Недра, 1990. 403 с.

22. Камелитидинов В. А., Минюк П. С. Биостратиграфия неогеновых отложений западной части Нижнеарктической впадины. — В кн.: Палеокапитализм фанерозойских отложений Востока и Северо-Востока Азии. Магadan, 1982, с. 78—84.
23. Князев В. Г., Дезятов В. П., Лушкова О. А. Тюрский ярус, его зональное деление и граница нижней и средней юры на Востоке Сибирской платформы. — В кн.: Проблемы ярусного расчленения систем фанерозоя Сибири. Новосибирск, 1984, с. 59—67. (СНИИПТИМС).
24. Колпачков В. В. Делниковы и перигляциальный рельеф Верхонской дельтиковой области и новые радиоуглеродные датировки. — В кн.: Региональная геоморфология районов нового освоения. М., 1979, с. 83—97.
25. Кошелева Э. В. Стратиграфия и двусторончатые моллюски юрских отложений Вилдской синеклизы и Приверхоанского краевого прогиба. — Труды СВКНИИ (Магadan), 1963, вып. 5. 221 с.
26. Кропачев А. П., Кропачева Г. С., Иогансон А. К. Стратиграфия нижнекаменноугольных отложений севера Сетте-Дабана (Южное Верхоянье). — Сов. геология, 1980, № 9, с. 56—67.
27. Давидов К. К. Среднепалеозойская рифтовая зона Сетте-Дабана. — Докл. АН СССР, 1974, т. 219, № 3, с. 689—692.
28. Дунгерсгаузен Г. Ф. О возрасте Верхоянского хребта. — Тезисы докладов Всесоюзного совещания по неогетонике. 1964, с. 148—151.
29. Минюк П. С. Палеомагнитные исследования верхней части разреза Мамонтова гора на р. Агдан. — В кн.: Геология кайнозоя Якутии. Якутск, Изд-во ЯФАН СССР, 1982, с. 22—27.
30. Миоцен Мамонтовой горы (стратиграфия и ископаемая флора). М., Наука, 1976, 284 с.
31. Мочалов Ю. А. Древнейший палеолит Диринга и проблема внутрпропийской прародины человека. — В кн.: Археология Якутии. Якутск, 1988, с. 15—54.
32. Марматические формации СССР. Т. 1. Д., Недра, 1979, 319 с.
33. Наматов Д. М. Тектоника Приверхоанского прогиба (в связи с перспективами нефтегазосности). Автореф. дис. на соиск. уч. степ. канд. геол.-минер. наук. М., 1968, 23 с.
34. Новейшая тектоника нефтегазосных областей Сибири. — Труды СНИИПТИМС, 1981, вып. 285. 239 с.
35. Давлов Д. И. Магнетитовое рудобразование при участии экзотенных хлоридных вод. М., Наука, 1975, 246 с.
36. Палеоген и неоген Северо-Востока СССР. Якутск, ЯНЦ СОАН СССР, 1989, 184 с.
37. Преображенский Б. В., Ян-жин-шин В. А. Новая схема стратиграфии ордовика и силура хр. Сетте-Дабан. — В кн.: Доклады и палеозой Северо-Востока СССР. Магadan, 1974, с. 139—147.
38. Проблемы геологии палеогетонического памятника Диринг-Юрж/Авт.: Алексеев М. Н., Камелитидинов В. А., Зисерт Х. и др. Якутск, 1990, 48 с.
39. Решение Межведомственного совещания по разработке унифицированных стратиграфических схем Якутской АССР. М., 1963, 60 с.
40. Решение 2-го Межведомственного стратиграфического совещания по докембрию и фанерозою Северо-Востока СССР. Магadan, 1978, 192 с.
41. Решение 3-го Межведомственного регионального стратиграфического совещания по мезозою и кайнозую Средней Сибири (г. Новосибирск, 1978). Новосибирск, 1981, 87 с.
42. Решение Всесоюзного стратиграфического совещания по докембрию, палеозою и четвертичной системе Средней Сибири. Ч. 1. Верхний протерозой и нижний палеозой. Новосибирск, 1983, 216 с.
43. Руканов Б. С. Биостратиграфия кайнозойских отложений Южной Якутии. М., Наука, 1968, 459 с.
44. Сейсмическое районирование Якутии и сопредельных территорий. Якутск, 1975, 90 с.
45. Семухатов М. А. Новая стратиграфическая шкала докембрия СССР, анализы и уроки. — Изв. АН СССР, сер. геол., 1979, № 11, с. 5—22.
46. Семухатов М. А., Семеновичев С. Н. Сибирский гипостратотип рифа. М., Наука, 1983, 138 с.
47. Стацев А. Д. О тектонике и металлогении краевых чешуйчато-надвиговых зон в обрамлении древних платформ. — Геология рудных месторождений, 1976, т. XVIII, № 1, с. 29—45.
48. Стариков А. И., Волкова И. Г. Меленосность среднекембрийских карбонатных отложений в бассейне р. Алдак-Юнь (Восточная Якутия). — В кн.: Стратиграфические междоузлия цветных металлов и золота Сибири и Дальнего Востока. Тезисы докладов. Чита, 1977, с. 47—48.
49. Тектоническая карта Якутской АССР масштаба 1 : 1 500 000. Под ред. Мокшанова К. Г., Горинштейна Д. К., Гусева Г. С. и др. Якутск, 1973.
50. Фрадкин А. Ф. Палинофлора неогена Северо-Востока Азии. М., Наука, 1983, 224 с.
51. Фрадкин А. Ф., Гринченко О. В., Камелитидинов В. А. Региональная стратиграфическая схема палеогеновых и неогеновых отложений Нижнеарктической впадины. — В кн.: Геология кайнозоя Якутии. Якутск, Изд-во ЯФАН СССР, 1982, с. 14—21.
52. Хоментовский В. В. Вена. Новосибирск, Наука, 1976, 180 с.
53. Хотина Е. Б., Жежель О. Н., Родж Г. М. Кайнозойские отложения Алдано-Амгинского района Южной Якутии. — В кн.: Кайнозойский седиментогенез и структурная геоморфология СССР (к XII конгрессу ИНКВА). Д., 1987, с. 44—51.
54. Шидовалова И. Г. Стратиграфия и стратотипы рифейских отложений северной части Юдомо-Майского прогиба. Новосибирск, Наука, 1974, 254 с.
55. Шлех Г. И. Глубинное строение и история тектонического развития Вилдской впадины. М., Наука, 1965, 185 с.
56. Ян-жин-шин В. А. Новые данные по стратиграфии ордовика и силура хр. Сетте-Дабан. — В кн.: Материалы по геологии и полезным ископаемым ЯАССР. 1960, вып. 2, с. 83—91.
57. Ян-жин-шин В. А. Тектоника Сетте-Дабанского горст-антиклинария. Якутск, 1983, 155 с.
58. Ярусное расчленение нижнего кембрия. Стратиграфия. М., Наука, 1984, 183 с.
- 59—63. Геологическая карта СССР масштаба 1 : 1 000 000
59. Лист Р-52 (Якутск). Объяснительная записка. Ред. Г. Ф. Дунгерсгаузен. М., Геолгизгиздат, 1957, 76 с. (Авт.: Р. А. Виджиев, Г. Ф. Дунгерсгаузен, Г. К. Земскова и др.).
60. Лист Р-53 (Усть-Мая). Объяснительная записка. Ред. Ю. К. Дзевановский. М., Геолгизгиздат, 1963, 76 с. (Авт.: Т. С. Кирусенко).
61. Лист О-52(53). — Томмот (новая серия). Объяснительная записка. Отв. ред. Е. П. Миронок. Д., 1986, 126 с. (Авт.: Е. П. Миронок, А. Н. Тимашков, Е. В. Хотина и др.).
62. Лист О-(53), 54 — Оюкск (новая серия). Объяснительная записка. Отв. ред. А. Л. Ставца. Д., 1986, 128 с. (Авт.: В. А. Вержховская, Т. Г. Девяткина, Д. Н. Кобцева и др.).
63. Лист Q-52, 53 — Верхоянск (новая серия). Объяснительная записка. Отв. ред. Л. М. Натанов. Д., 1984, 130 с. (Авт.: Н. А. Цейдлер, В. В. Колпачков, Ю. С. Кондратов и др.).
- 64—76. Геологическая карта СССР масштаба 1 : 200 000
64. Лист Р-53-П. Серия Нижнеарктическая. Объяснительная записка. Ред. Л. П. Зоненшайн. М., 1984, 93 с. (Авт.: Л. М. Натанов, М. Н. Сборщиков, М. Н. Егорова).
65. Лист Р-53-Ш. Серия Верхоянская. Объяснительная записка. Ред. В. Д. Шутов. М., 1982, 80 с. (Авт.: И. М. Сборщиков, С. В. Тищенко, М. Г. Овалдер).
66. Лист Р-53-IV. Серия Майская. Объяснительная записка. Ред. В. А. Ян-жин-шин. 1983 (в печати). (Авт. Е. Л. Мозалевский).
67. Лист Р-53-V. Серия Майская. Объяснительная записка. Ред. В. А. Ян-жин-шин. 1987 (в печати). (Авт.: Л. Н. Ковалев, Е. Л. Мозалевский).
68. Лист Р-53-VI. Серия Майская. Объяснительная записка. Ред. В. А. Ян-жин-шин. 1985 (в печати). (Авт. Л. Н. Ковалев).

69. Лист Р-53-ХII. Серия Майская. Объяснительная записка. Ред. В. А. Ян-жин-шин. 1988 (в печати). (Авт.: А. И. Старников, А. В. Филатов).
70. Лист Р-53-ХVIII. Серия Майская. Объяснительная записка. Ред. В. А. Ян-жин-шин. СПб., Изд-во Карфабрики ВСЕТЕИ, 1998. (Авт.: А. И. Старников, А. В. Филатов).
71. Лист Р-53-ХХIII. Серия Майская. Объяснительная записка. Ред. В. А. Ян-жин-шин. СПб., Изд-во Карфабрики ВСЕТЕИ, 1999. (Авт.: Д. Н. Ковалев).
72. Лист Р-53-ХХIV. Серия Майская. Объяснительная записка. Ред. В. А. Марченко. СПб., Изд-во Карфабрики ВСЕТЕИ, 1999. (Авт.: В. А. Ян-жин-шин).
73. Лист Р-53-ХХIX. Серия Майская. Объяснительная записка. Ред. В. А. Марченко. М., 1977. 60 с. (Авт.: В. А. Ян-жин-шин).
74. Лист Р-53-ХХХ. Серия Майская. Объяснительная записка. Ред. В. А. Ян-жин-шин. 1986 (в печати). (Авт.: А. И. Старников).
75. Лист Р-53-ХХХV. Серия Майская. Объяснительная записка. Ред. В. А. Ян-жин-шин. 1983 (в печати). (Авт.: А. И. Старников).
76. Лист Р-53-ХХХVI. Серия Майская. Объяснительная записка. Ред. В. А. Ян-жин-шин. 1987 (в печати). (Авт.: А. И. Старников, А. В. Филатов).

Фондовые*

77. Александрова В. А., Антропов В. Г., Каможина Д. А. и др. Окончательный геологический отчет о результатах поискового бурения на Урдакской площади. Сантар, 1988.
78. Александрова Д. К., Бессидина А. А., Ботва Н. А. и др. Отчет о геологических результатах геологизационных работ на нефть и газ ПГО «Ленанефтегазгеология» за 1985 г. (Хозяйская связкина). Якутск, 1986.
79. Алексеев Ю. П., Швароб В. Д., Демченко Н. С. и др. Геологическое строение и запасы угля участка «Восточный» Кангаласского месторождения ЯАССР. Отчет о детальной разведке участка «Восточный», проведенной в 1985—1989 гг. на Кангаласском месторождении (лист Р-52-ХVII). Кангалассы, 1989.
80. Афанасьева М. Г., Азизова Д. А., Афанасьева Е. К. Отчет о специализированных стратиграфических и литолого-геохимических работах по разработке стратиграфической легенды расчленения палеозойских отложений для карт масштаба 1 : 50 000 и 1 : 200 000 в пределах Южно-Ворхонского синклинория и Сетте-Дабанского антиклинория за 1979—1983 гг. Пис. Хандыга, 1983.
81. Афанасьева М. Г., Сухоруков В. И., Несенко Д. В. и др. Отчет о результатах изучения опорных разрезов протерозойских и палеозойских отложений в Кожном Верхонье в 1983—1987 гг. (Стратиграфическая партия). Пис. Хандыга, 1987.
82. Баганов А. Н., Кузьмин П. П. Отчет о групповой геологической съемке и геологическом доизучении масштаба 1 : 50 000 в бас. рек Сахара, Акра, Джорону на площади листов Р-53-117, 118, 119, 120-В-а, по работам Ситрянской партии за 1981—1986 гг. Пис. Хандыга, 1986.
83. Баташанова Д. В., Каможина Д. А. Окончательный геологический отчет о результатах бурения параметрической сква. № 1 на Ивановской площади. Сантар, 1985.
84. Башлаев Д. К., Белоусова Н. Н., Борисова Т. П. и др. Отчет по космофото-геологическому картированию масштаба 1 : 500 000 на площади листов Р-51-Г (часть), О-51-А (часть), Б, В, Г, Р-50-А (часть), В (часть); Р-51-А, Б; Р-52-А, Б за 1981—1985 гг. М., 1986.
85. Белях В. А., Иванов С. А., Ковалев Т. Г. и др. Геологическое строение Лено-Алданского междуречья. Отчет о аэрофотогеологическом картировании масштаба 1 : 200 000 на листах Р-52-ХХХI—ХХХVI; О-52-1, П, У, VIII, IX и геологическом доизучении того же масштаба на листах О-52-III, IV, X Амгинской партии № 5/76 по работам 1975—1979 гг. Якутск, 1980.
86. Белях В. А., Джитилев Е. М., Давголдян А. И. и др. Отчет о результатах комплексной гидрогеологической и инженерно-геологической съемки масштаба 1 : 200 000 территории строительства железной дороги Беркаит—Якутск на участке Томот—Якутск

на площади листов Р-52-ХХII, ХХVII, ХХVIII, ХХХII, ХХХIII; О-52-1, П по работам Трасовой партии № 10/81 в 1981—1985 гг. В. Бестях, 1985.

87. Бергер А. Я., Русецкая Г. А. Корреляция опорных разрезов нижнего палеозоя Сибирской платформы и Сетте-Дабана. Окончательный отчет по теме № 42 за 1983—1986 гг. Д., 1986.

88. Болонцев В. И., Булаев Г. П., Миклушинская М. В. Отчет о геологической съемке и геологическом доизучении масштаба 1 : 200 000 на территории листов Р-53-70-Г, 71-В; 80, 83, 92, 95, 104, 107, 116-В, Г, 119-А, В и Р-53-ХХIX (по работам Чухонской партии № 9/74 в 1974—1975 гг.). Якутск, 1976.

89. Борисов Н. С. Информационная записка о результатах разведки месторождений строительных материалов, учтенных отчетным балансом ЯАССР на 1.01.89 г. Якутск, 1990.

90. Буйвол В. М., Иванов Д. Н., Решетников А. И. и др. Отчет о результатах поисковых работ на северном фланге Юрско-Бринджикского рудного узла за 1978—1981 гг. (Верхнебринджикский отряд). Пис. Хандыга, 1981.

91. Владулин М. Х. Окончательный геологический отчет о результатах разведочного бурения на Нижневильюкской площади. Пис. Кызыл-Сыр, 1965.

92. Волкова И. Г., Буйлиева С. Ш., Кан Э. В. и др. Объяснительная записка к прогнозно-металлогенической карте Восточной Якутии масштаба 1 : 500 000. Якутск, 1985.

93. Волкова И. Г., Волкова Д. И., Архипов Д. А. и др. Металлогеническая карта Якутской АССР масштаба 1 : 1 500 000. Якутск, 1989.

94. Табеля В. А., Морозов Н. И. Геологический отчет о результатах разведочного бурения на Сантарской площади за 1955—1964 гг. Пис. Кызыл-Сыр, 1967.

95. Голубев О. Г., Горбунов А. И. Отчет о работе Ледянской поисково-съемочной партии масштаба 1 : 50 000 и Ледянского геофизического отряда за 1962 г. Якутск, 1963.

96. Горбунов А. И., Щербакоев М. С., Ковалев Д. Н. и др. Отчет о геологической съемке и геологическом доизучении масштаба 1 : 200 000 на площади листов Р-53-У, VI по работам Эхачанской геологосъемочной партии в 1976—1979 гг. Хандыга, 1979.

97. Горштыкин Д. К. Окончательный сводный отчет о результатах бурения Амгинской опорной скважины. Якутск, 1955.

98. Гриненко В. С., Саввин Н. И., Понов В. Т. и др. Отчет о аэрофотогеологическом картировании масштаба 1 : 200 000 в Лено-Алданском междуречье на территории листов Р-52-ХХVIII—ХХХ; Р-53-VIII—XI; XIV—XVI; XVII—57, 58—69, 70-А, В; XIX—XXI; XXII—79, 80-А, Б; 91; XXV—XXVII; XXVIII—103, 115, 116-А, В; XXXI—ХХХIV (по работам Алданской партии № 6/77 в 1979—1983 гг. в пяти томах). Якутск, 1983.

99. Дойин И. Г., Данилов В. П., Круковский П. Ю. и др. Отчет о групповой геологической съемке и поисках масштаба 1 : 50 000 в бас. рек Буркала, Муон, Леа. Натальи на площади листов Р-53-84; 96-А, Б, В-а, б; Г-а, б; Р-54-73-А-а, в по работам Муолинской партии в 1982—1986 гг. Якутск, 1986.

100. Ефимов В. В. Отчет о проведении геологической съемки масштаба 1 : 50 000 с применением специализированных литолого-геохимических исследований полуплутными по-исками разпояктивного сырья и других полезных ископаемых на площади листа Р-53-83 за 1985—1988 гг. Пис. Хандыга, 1988.

101. Жидков Д. А., Миклушинский И. И. Отчет о результатах поисковых работ на бокситы на юго-восточной окраине Сибирской платформы и в определенных областях (части листов Р-53, Р-54, О-53, О-54) масштаба 1 : 500 000 за 1970—1971 гг. М., 1972.

102. Засимов М. Н., Скрябин В. Х. Отчет о детальных поисках самородного оруднения в пределах Джалганского рудного поля за 1983—1984 гг. масштаба 1 : 25 000. Пис. Хандыга, 1985.

103. Земляной В. Д., Бабкин В. Ю. Подземные воды Лено-Амгинского междуречья и перспективы их использования в народном хозяйстве. В. Бестях, 1984.

104. Зифринг Д. В. Отчет о поисках подземных вод с целью хозяйственно-питьевого водоснабжения пос. Хандыга. Пис. Хандыга, 1990.

105. Зифринг Д. В. Отчет о поисках подземных вод с целью водоснабжения пос. Крест-Хальджай. Пис. Хандыга, 1990.

106. Зубков Ю. А., Осипов В. Н., Баскарев Д. С. и др. Отчет о групповой геологической съемке масштаба 1 : 50 000 в бас. рек Тьрди, Наталда, Качежуйан на площади листов Р-53-59-В-6, Г, Г, 71-А-6, Г, В-6, Г, Г; 72-В, Г, Р-54-61-В. Якутск, 1986.

* Литература хранится в объединении «Союзгеофонд».

107. *Зубков З. Б.* Понески подземных вод для водоснабжения десяти населенных пунктов Центральной Якутии. В. Вестях, 1990.
108. *Каложина Л. А., Федосеева О. А., Федосеева А. Г.* Окончательный геологический отчет о результатах бурения глубокой параметрической скважины № 1 на Мокунской площади (этап IV по объекту: Комплексная обработка геолого-геофизических материалов глубокого бурения по площадям и месторождениям Якутской АССР). Сангар, 1986.
109. *Камалетдинов В. А., Шербатов О. И., Борисов В. Н.* и др. Геологическое строение центральной части Якутской АССР. Отчет о результатах аэрофотогеологического картирования и геологического дознания масштаба 1 : 200 000 на территории листов Q-51, XIV—XVI, XIX—XXXVI, P-51-I—VI, IX—XII, XIV—XXIV, P-52-I—XXVI, P-53-I, VII, XIII по работам Центрально-Якутской партии № 14/76 в 1976—1984 гг. Якутск, 1984.
110. *Коробков Д. Н., Шилищев П. Р., Русанов В. Н.* и др. Отчет о геологической съемке и дознании масштаба 1 : 50 000 на площади листов P-53-108-Б, Г, 120-Б, Г, P-54-85-В, 97-А, В, 109-А, В, 121-А (по работам Сельякской партии в 1983—1987 гг.). Пос. Хандыга, 1987.
111. *Кочетов М. И., Охлопков П. М., Иванов В. Х.* и др. Геологическое строение междуречья Лена—Кенгема на участке Якутск—Намы. Отчет Якутской геологосъемочной партии по работам 1960 г. (Материалы к Государственной геологической карте масштаба 1 : 200 000 листа P-52-XXVI). Якутск, 1961.
112. *Кочетов М. И., Иванов В. Х., Нечкаев В. С.* и др. Геологическое строение лавобережья р. Лены на участке Якутск—Покровка. Отчет Покровской геологосъемочной партии по работам 1961 г. Материалы к Государственной геологической карте масштаба 1 : 200 000 листа P-52-XXII (северо-западная часть). Якутск, 1962.
113. *Кочетов М. И., Охлопков П. М., Нечкаев П. С.* и др. Геологическое строение правобережья р. Лены на участке Ниж. Вестях—нижнее течение р. Лентене. Материалы к Государственной геологической карте масштаба 1 : 200 000 листа P-52-XXII (юго-восточная половина). Якутск, 1963.
114. *Кочетов М. И., Охлопков П. М., Хан В. С.* и др. Геологическое строение правобережья р. Лены на участке д. Качыкаты—Улахан-Ан. Материалы к геологической карте СССР масштаба 1 : 200 000 листа P-52-XXVII (восточная часть). Якутск, 1964.
115. *Краснолюбовский В. С., Бардаковский Г. Э., Скрябин В. Х.* и др. Отчет о проведении геологического дознания масштаба 1 : 50 000, поисков месторождений золота на площади листов P-53-132, 144-А, Б, В; P-54-121-В; O-53-12-А, В-а, 6 за 1984—1988 гг. Пос. Хандыга, 1989.
116. *Механович В. Ф., Горбунов А. И.* Отчет о работе Нижнемугуйлинской геологосъемочной партии масштаба 1 : 200 000 за 1973—1975 гг. Якутск, 1975.
117. *Механович В. Ф., Баскарев Д. С.* Отчет о групповой геологической съемке и геологическом дознании масштаба 1 : 50 000, поиски полиметаллов, золота, бокситов и фосфоритов на площади листов P-53-94, 95, 106, 107. Якутск, 1980.
118. *Механович В. Ф., Кордонский М. П., Баскарев Д. С.* Отчет о групповой геологической съемке и геологическом дознании масштаба 1 : 50 000 территории листов P-53-60-В, Г, 72-А, В; P-54-49-В, Г, 50-В-а, в; 61-А, Б за 1980—1983 гг. Якутск, 1983.
119. *Масеев Е. В., Платонов С. С., Андреев А. С.* Отчет о результатах поисково-оценочных работ на строительные материалы в радиусе 50 км от г. Якутска. Якутск, 1986.
120. *Нечипоренко Н. В.* Отчет по оценке запасов подземных вод по административным районам для целей сельскохозяйственного водоснабжения (Кобякский, Горный, Орджоникидзевский районы). В. Вестях, 1984.
121. *Нечипоренко Н. В.* Отчет по оценке запасов подземных вод по административным районам для целей сельскохозяйственного водоснабжения. В. Вестях, 1988.
122. *Николова В. Т., Гаева В. М.* Отчет о результатах поисковых работ и предварительной разведки месторождений ППС и строительного камня для дорожного строительства вдоль АЗМ на участке Алдан—Якутск. Якутск, 1986.
123. *Новицкий Ю. В., Лакотин В. М.* Окончательный геологический отчет о результатах бурения на Бертеинской площади. Пос. Кызыл-Сыр, 1964.
124. *Новицкий Ю. В.* Окончательный геологический отчет по результатам бурения Нижнеалданской структурно-поисковой скважины № 1. Пос. Кызыл-Сыр, 1965.
125. *Обухов В. Б.* Отчет по результатам колонкового бурения на площади Томпуркуской гравиационной аномалии за 1960—1961 гг. Пос. Хандыга, 1962.

126. *Потанов В. А., Решетников А. М., Борисов Н. С.* и др. Отчет по результатам поисков месторождений строительного в Усть-Майском, Намском, Чурапчинском и Орджоникидзевском районах ЯАССР за 1985—1987 гг. В. Вестях, 1987.
127. *Проконев В. С., Сидоров П. Д.* Отчет о групповой геологической съемке масштаба 1 : 50 000 на территории листов P-53-80-В, Г; 92-А, В; 104-А, В-а, в, В, Г; 116-Б, Г. Якутск, 1981.
128. *Пушкарев Н. Н., Тарасова С. А., Сазид А. В.* и др. Отчет о групповой геологической съемке, геологическом дознании и поисках масштаба 1 : 50 000 на площади листов P-53-9-Г, 10-В, Г, 21-Б, 22-А, Б, В-а, 6; 23-А, Б, В-а, 6; Г-а, 6; 24-А, В (по работам Менкюленской партии в 1980—1985 гг.). Якутск, 1985.
129. *Сарычев Е. И.* Окончательный сводный отчет о результатах бурения Намской опорной скважины. Якутск, 1956.
130. *Соболев А. Е., Белоголовый А. Г., Калыгин И. Д.* Отчет о работе Лавыгастахской геологосъемочной партии масштаба 1 : 200 000 за 1974—1976 гг. Якутск, 1977.
131. *Смирников А. И., Панков Е. В., Волжкова И. Г.* Отчет «Геологическое строение и металлогения западной части Сетте-Дабана (Кылахахае подплате)». Металлогенная карта масштаба 1 : 100 000». (Кылахахае подплате). Пос. Хандыга, 1980.
132. *Сухоружов В. И., Несенко А. М.* Отчет о групповой геологической съемке масштаба 1 : 50 000 на территории листов P-53-129-Б, В-6, Г; 130; 131-А-а-в, В-а, в; 141-А-6, Б, Г; 142-А, Б (по работам Юкандинской партии за 1974—1977 гг.). Якутск, 1978.
133. *Сухоружов В. И., Горлова А. Д.* Отчет о групповой геологической съемке масштаба 1 : 50 000 на территории листов P-53-131-В-6, Г; Г-а, в; 143-А, Б-а, в; В, Г-а, в; O-53-11-А, В, Г-а, г. 23 по работам Каванской партии в 1978—1983 гг. Якутск, 1983.
134. *Сухоружов В. И.* Рабочая легенда Сетте-Дабанской серии листов геологической карты масштаба 1 : 50 000. Пос. Хандыга, 1985.
135. *Хадзикова К. Б.* Биостратиграфия и табулаты биогермных отложений раннего палеозоя (Южное Верхоянье). Материалы к легенде Государственной геологической карты масштаба 1 : 50 000. Якутск, 1986.
136. *Чуркин П. А.* Окончательный отчет о результатах бурения на Олюкской площади. Сангар, 1963.
137. *Щеглов В. Д., Сленица П. П., Прусаков В. М.* Гидрогеологические и инженерно-геологические условия Центральной Якутии в пределах листов P-52-Б, Г; P-53-А, В (сводный отчет Алданского отряда 7/71 по результатам геолого-гидрогеологической съемки масштаба 1 : 500 000 за 1966—1972 гг.). Якутск, 1973.
138. *Шербатов М. С., Моздлевский Е. Д.* Отчет о геологической съемке и геологическом дознании масштаба 1 : 200 000 на площади листа P-53-IV по работам Лосевой партии в 1979—1981 гг. Якутск, 1981.
139. *Шербатов О. И., Юганова Л. А., Раздьяконов Р. М.* Материалы к Государственной геологической карте масштаба 1 : 200 000. Лист P-52-XXV (северная часть). Якутск, 1987.
140. *Эпштейн Е. М., Нечкаев Е. А., Рыншин И. П.* и др. Оценка промышленных перспектив танталового и ниобиевого оруденения в массивах карбонатитов Ледянской зоны. 1966.
141. *Ян-жин-шин В. А., Варакин А. В.* Отчет о работе Акринской геолого-съемочной партии масштаба 1 : 200 000 за 1968—1970 гг. Якутск, 1971.

ОГЛАВЛЕНИЕ

Введение. <i>Н. А. Цейдлер</i>	3
Стратиграфия	7
Архей. <i>Н. А. Цейдлер</i>	7
Рифей. <i>Н. А. Цейдлер</i>	8
Венд. <i>Н. А. Цейдлер</i>	12
Кембрийская система. <i>Н. И. Гошца, Б. Н. Леонов</i>	13
Одновикская система. <i>Н. А. Цейдлер</i>	25
Силурийская система. <i>Н. А. Цейдлер</i>	28
Девонская система. <i>Т. П. Борисова</i>	29
Девонская—каменноугольная система. <i>Т. П. Борисова</i>	32
Каменноугольная система. <i>Н. А. Цейдлер</i>	33
Пермская система. <i>Н. А. Цейдлер</i>	37
Пермская и триасовая системы. <i>Н. А. Цейдлер</i>	41
Триасовая система. <i>В. Г. Дашков</i>	41
Юрская система. <i>Н. А. Цейдлер</i>	45
Юрская система. <i>Н. А. Цейдлер</i>	46
Меловая система. <i>Н. А. Цейдлер</i>	51
Меловая—палеогеновая системы. <i>Н. А. Цейдлер</i>	46
Палеогеновая система. <i>В. А. Камалетдинов</i>	53
Неогеновая система. <i>В. А. Камалетдинов</i>	53
Четвертичная система. <i>Д. В. Колпаков</i>	56
Интрузивные образования. <i>И. В. Стулбина</i>	60
Тектоника. <i>Т. П. Борисова, Д. М. Наматов</i>	69
Геоморфология. <i>Д. В. Колпаков</i>	78
Гидрогеология. <i>Т. П. Борисова</i>	92
Геодинамическая эволюция	97
Полезные ископаемые	111
Горючие ископаемые. <i>Н. А. Цейдлер</i>	113
Металлические ископаемые. <i>И. В. Оржеховский</i>	113
Неметаллические ископаемые. <i>Н. А. Цейдлер</i>	121
Строительные материалы	140
Прочие ископаемые	142
Грязи лечебные	153
Законмерности размещения полезных ископаемых. <i>И. В. Оржеховский</i>	153
Основные выводы	154
Указатель к карте полезных ископаемых	159
Список литературы	161
	179

ГОСУДАРСТВЕННАЯ ГЕОЛОГИЧЕСКАЯ КАРТА
РОССИЙСКОЙ ФЕДЕРАЦИИ

Масштаб 1 : 1 000 000 (новая серия)

Лист Р-52, 53 — Якутск

Объяснительная записка

Редактор *Т. В. Брежнева*

Технический редактор *Л. С. Челнокова*

ЛП № 000014 от 28.08.98

Подписано в печать 8.06.99. Формат 70×100/16. Гарнитурa Таймс. Печать офсетная.
Бумага офсетная. Печ. л. 11,75 + 8 вкл. Уч.-изд. л. 20,5. Тираж 100 экз.
Заказ 1947. Цена договорная

Всероссийский научно-исследовательский геологический институт им. А. П. Карпинского (ВСЕГИ)
199106, Санкт-Петербург, Средний пр., 74

Санкт-Петербургская картографическая фабрика ВСЕГИ
199178, Санкт-Петербург, Средний пр., 72
Тел. 321-8121, факс 321-8153

